

**Vibração de placas metálicas finas:
um estudo inspirado no problema de
Chladni**

Daniela Passos Maia Moura

DISSERTAÇÃO APRESENTADA
AO
INSTITUTO DE MATEMÁTICA E ESTATÍSTICA
DA
UNIVERSIDADE DE SÃO PAULO
PARA
OBTENÇÃO DO TÍTULO
DE
MESTRE EM CIÊNCIAS

Programa: **Matemática Aplicada**

Orientador: **Prof^o. Dr. Eduardo Colli**

Durante o desenvolvimento deste trabalho o autor recebeu auxílio financeiro do CNPq

São Paulo, Janeiro de 2017

**Vibração de placas metálicas finas:
um estudo inspirado no problema de Chladni**

Esta é a versão original da dissertação elaborada pela
candidata Daniela Passos Maia Moura, tal como
submetida à Comissão Julgadora.

Agradecimentos

Agradeço primeiramente a Deus, por ter me dado a oportunidade de estudar e aprender matemática e por ter me capacitado para isso.

Agradeço a minha família que sempre me apoiou nos estudos em todos os momentos, aos meus pais Haroldo e Conceição que sempre valorizaram a educação, incentivaram e apoiaram minha formação, e aos meus irmãos Lígia, Kaio Alexandre e Cíntia, pelo apoio. Agradeço em especial ao meu esposo Daniel de Andrade Moura que sempre esteve ao meu lado, acreditando e sendo paciente ao longo dessa jornada. Seu apoio e incentivo foram fundamentais.

Agradeço ao meu orientador, professor Dr. Eduardo Colli, pelos ensinamentos, apoio, incentivo, paciência e bom ânimo. Agradeço a professora Dra. Sônia Regina Leite Garcia, que me orientou no início do mestrado, sua sabedoria e conselhos foram muito valiosos nesta etapa.

Agradeço aos amigos que tive a oportunidade de conhecer e com os quais convivi ao longo desse período. O companheirismo foi de suma importância e sem dúvida, ajudou a tornar os desafios do mestrado mais leves: Janaina Baldan Santos, Verônica Leão Neves, Inocência Jaime Ferreira Zimba, Marcela Guerrini Alves, Carla Reis Evangelista, Rosângela Teixeira Guedes. Agradeço também ao suporte dado pelo Laboratório de Matemática Aplicada durante a etapa de programação. Agradeço aos colegas de laboratório Nelson Leonardo Vidaurre Navarrete, Nils Urmersbach e Evandro (ex-administrador do LabMap), a amizade e a ajuda desprendida foram muito valiosas. Agradeço também aos professores Drs. Saulo Rabello Maciel de Barros e Pedro da Silva Peixoto, pela disposição, ajuda e compartilhamento de seu conhecimento de análise numérica.

Agradeço ao Instituto de Matemática e Estatística (IME-USP) e ao departamento de Matemática Aplicada pelo acolhimento e oportunidade e ao CNPQ pelo auxílio financeiro.

Por fim, deixo um agradecimento especial à Matemateca do IME-USP, e toda a sua equipe, pelo acolhimento desde o período da minha graduação, pela motivação pelo estudo da matemática e pela inspiração ao tema de estudo neste trabalho.

Resumo

MOURA, D. P. M. **Vibração de placas metálicas finas: um estudo inspirado no problema de Chladni**. 2017. Dissertação (Mestrado) - Instituto de Matemática e Estatística, Universidade de São Paulo, São Paulo, 2017.

Os estudos descritos neste trabalho foram inspirados no experimento de vibração de placas metálicas finas realizado/investigado por Ernst Chladni no século XVIII, no qual era possível, através da vibração das placas, a observação das linhas nodais decorrentes dessa vibração. Nesse experimento, a placa é presa apenas pelo seu centro e sua borda permanece livre. Estudamos o problema de vibração de placas finas desde a sua modelagem física, que leva à equação diferencial parcial que governa o problema, até a implementação numérica. Na implementação numérica trabalhamos com uma condição de contorno que equivale a considerar a placa presa nas bordas. Apesar de essa condição de contorno ser diferente daquela do problema de Chladni, este trabalho apresenta discussões e apontamentos para trabalhos futuros com a condição de contorno de bordo livre. Caracterizamos a solução da equação diferencial, que consiste de uma parte temporal e uma parte espacial. A parte espacial é solução de um problema de autovalor, que nos propusemos a resolver numericamente, utilizando o Método de Elementos Finitos (MEF). Apresentamos (três) diferentes formulações dentro do mesmo método (MEF): uma aproximação polinomial quadrática não conforme e duas aproximações polinomiais de quinto grau, ambas conformes; e fizemos comparações entre elas. As conformes serão úteis para trabalhos futuros com a condição de contorno de bordo livre. A não conforme foi usada para a obtenção dos principais resultados: as imagens das linhas nodais que caracterizam os modos de vibração da placa e os autovalores correspondentes. Estudamos como os autovalores associados aos modos de vibração de uma placa retangular evoluem em função da proporção entre seus lados. Também apresentamos imagens de linhas nodais para placas de diferentes formatos poligonais.

Palavras-chave: Placas de Chladni, figuras de Chladni, método de elementos finitos, vibração

de placas finas, linhas nodais, bilaplaciano, método conforme, método não conforme.

Abstract

MOURA, D. P. M. **Vibration of thin metal plates: a study inspired by Chladni's problem.** 2017. Dissertação (Mestrado) - Instituto de Matemática e Estatística, Universidade de São Paulo, São Paulo, 2017.

The studies described in this work were inspired by the experiment of vibration of thin metal plates, carried out/investigated by Ernst Chladni in the eighteenth century, in which the observation of the nodal lines resulting from this vibration was possible through the vibration of the plates. In this experiment, the plate is clamped only by its center and its edge remains free. We studied the vibration problem of thin plates from their physical modeling, which leads to the partial differential equation that governs the problem, until the numerical implementation. In the numerical implementation, we worked with a boundary condition that is equivalent to considering the plate clamped by their edges. Although this boundary condition is different from that of the Chladni's problem, this work presents discussions and notes that can be used for future works with the condition of free boundary. We characterized the solution of the differential equation, which is composed of a temporal part and a spatial part. The spatial part is the solution of an eigenvalue problem, which we proposed to solve numerically, using the Finite Element Method (FEM). We present (three) different formulations within the same method (FEM): a nonconforming quadratic polynomial approximation and two fifth degree polynomial approximations, both conforming; and we made comparisons between them. The conforming ones will be useful for future works with the condition of free boundary. The nonconforming one was used to obtain the main results: the nodal line images that characterize the plate vibration modes and the corresponding eigenvalues. We study how the eigenvalues associated with the vibration modes of a rectangular plate evolve as a function of the proportion between its sides. Also we present images of nodal lines for plates of different polygonal formats.

Key-words: Chladni plates, Chladni figures, finite element method, thin vibration plates, nodal

lines, bilaplacian, conforming method, nonconforming method.

Sumário

Introdução	xi
1 Formulação	1
1.1 Modelagem dinâmica de uma placa fina de metal	1
1.1.1 Problemas elasto-mecânicos estáticos e dinâmicos	1
1.1.2 A energia potencial de um corpo elástico	2
1.1.3 Lagrangiano de um corpo elástico	4
1.1.4 Caso específico: vibração de uma placa fina	5
1.1.5 O funcional Ação	8
1.1.6 Minimização do funcional Ação	9
1.2 Condições de contorno	13
1.3 Solução	15
1.3.1 Análise e forma de apresentação dos resultados	16
1.4 Formulação variacional ou fraca do problema de autovalor	19
1.4.1 Conceito básicos	19
1.4.2 Forma fraca	21
1.4.3 Existência de solução, caracterização do espectro e autovalores	27
2 Implementação	35
2.1 O problema discreto	35
2.1.1 Discretização do domínio: espaços de elementos finitos, elementos conformes e não conformes	35
2.1.2 Discretização do funcional	39
2.1.3 Técnicas para discretização do funcional	40
2.2 Aproximação quadrática	46
2.3 Aproximação de Quinto Grau	51

3	Tratamentos alternativos para a aproximação de quinto grau	59
3.1	Evitando as várias inversões da matriz C_i	59
3.2	Reorganizando o elemento triangular conforme	60
3.2.1	Procedimento para relacionar as variáveis <i>novas</i> e as <i>clássicas</i> :	61
3.2.2	Interpolação - uma expressão para $p(s)$ em função dos valores de p, p' e p'' nas extremidades das arestas	63
3.2.3	Estrutura da matriz NC	65
3.2.4	Implementação do elemento triangular reorganizado	66
3.3	Aproximação de quinto grau com 18 variáveis nodais	72
4	Resultados	77
4.1	Autovalores/Coefficientes de frequência	78
4.2	Autofunções e modos de vibração de placas retangulares	79
4.3	Comparação das implementações	81
4.4	Varição do coeficiente de Poisson ν	88
4.5	Autovalores múltiplos - ressonâncias	90
5	Conclusão	103
A	Figuras: Modos de vibração de placas retangulares	107
B	Códigos em Fortran 90	115
B.1	Formulação quadrática	115
B.2	Formulação de quinto grau - <i>conforme</i>	121
B.3	Formulação de quinto grau - <i>conforme 18</i>	129
	Referências Bibliográficas	137

Introdução

Há cerca de 200 anos, Ernst Friedrich Chladni, da Saxônia, publicou trabalhos nos quais ele descrevia seu método bem conhecido de uso de areia aspergida sobre placas para mostrar as linhas nodais. Nesse método, a placa fina era presa apenas pelo centro, e a vibração era induzida passando um arco de violino sobre a aresta (livre) da placa. E. Chladni publicou *Entdeckungen über die Theorie des Klanges* em 1787 e *Die Akustik*, em 1802. As palestras de Chladni em cortes europeias atraíram personalidades famosas. Napoleão Bonaparte ficou tão encantado com suas demonstrações que financiou a tradução de *Die Akustik* para a língua francesa, e também forneceu ao *Institute of France* um prêmio de 3.000 francos a ser concedido para uma teoria matemática satisfatória de vibrações de placas. Este prêmio foi concedido, em 1815, a Marie-Sophie Germain, que forneceu uma modelagem correta para vibrações de placas com uma equação diferencial de quarta ordem, embora sua escolha para as condições de contorno estivesse incorreta [13]. Lagrange e Poisson também deram contribuições na teoria da vibração de placas finas [4].

Em 1850, G.R. Kirchhoff publicou dois artigos sobre a teoria de vibrações de placas finas, onde deu um tratamento mais preciso às condições de contorno [13]. Muitos outros cientistas estiveram envolvidos com o estudo dos padrões de Chladni gerados pela vibração de placas. Segundo T. Rossing [13], um dos estudos mais exaustivos foi feito por Mary Desirée Waller, que escreveu vários artigos a respeito, onde apresentou resultados e imagens de vibrações de placas quadradas (com o bordo livre).

O objetivo deste trabalho foi estudar a equação diferencial parcial que modela o problema de vibração de placas finas, a partir da modelagem física que determina essa equação, e estudar um método para resolução numérica do problema para placas de diferentes formatos. Embora inspirado nos experimentos de E. Chladni, o estudo e a implementação numérica apresentado nesse trabalho foram feitos para uma condição de contorno mais simples: a de *bordo preso*. As equações que descrevem as equações de contorno de *bordo livre* são mais complicadas e ficarão para estudos futuros. De fato, o problema de vibração de uma placa retangular com bordo livre, foi tido como de

dificuldade considerável por Rayleigh [12]. Nossa abordagem, no entanto, em vários aspectos deixa preparado o caminho para o tratamento do problema de bordo livre e centro preso, proposto por Chladni.

Embora a condição de *bordo preso* não represente o estudo feito por E. Chladni, mesmo assim as imagens das linhas nodais obtidas são bastante interessantes e, ao menos para o caso retangular, são parecidas com as da membrana vibrante.

No primeiro Capítulo, apresentamos a formulação da equação diferencial que governa o fenômeno, baseado na teoria de Kirchhoff, juntamente com as condições de contorno e indicamos nossa escolha pela condição de contorno de bordo preso. Desenvolvemos a equação diferencial parcial (EDP) até obter um problema de autovalor e caracterizamos a solução (autovalores e autofunções) procurada. No Capítulo 2, apresentamos a implementação numérica baseada no Método de Elementos Finitos (com duas formulações) para a solução do problema e geração de imagens das linhas nodais da vibração. A primeira formulação, usando polinômios quadráticos, apresentada é mais simples. A segunda, que usa polinômios de quinto grau, é mais complexa, mas permite o tratamento do problema com condição de contorno *bordo livre*. Os melhores resultados, no entanto, ocorreram com a primeira. A segunda formulação trouxe algumas dificuldades e as alternativas que implementamos para contorná-las estão descritas no Capítulo 3. Finalmente, no Capítulo 4, apresentamos os resultados obtidos numericamente e algumas análises desses.

Vale a pena observar que, durante o desenvolvimento deste trabalho, não foi encontrada nenhuma referência que tratasse o problema de forma completa, considerando todas as questões teóricas – como o tratamento correto a ser dados às condições de contorno – e de implementação numérica usando o Método de Elementos Finitos. Nem tampouco uma referência atualizada com resultados teóricos ou numéricos para diferentes formatos de placas e condições de contorno. Para ter parâmetros comparativos, utilizamos um livro de 1969 publicado pela NASA [8], que compila diversos resultados esparsos da literatura, obtidos seja por meio de experimentos seja por solução aproximada usando argumentos de expansão em séries. Este trabalho poderia ser, portanto, a semente para a criação de uma obra de referência semelhante que usasse a tecnologia atual.

A título de ilustração, as imagens a seguir mostram as linhas nodais da vibração de uma placa pentagonal. A primeira, Figura 1, foi obtida experimentalmente e a segunda, Figura 2, apesar de não representar exatamente o experimento da primeira – devido às diferentes condições de contorno – é um dos resultados deste trabalho.



Figura 1: *Linhas nodais para uma placa pentagonal geradas experimentalmente. Fonte: Matemateca (IME/USP)/Rodrigo Tetsuo Argenton.*



Figura 2: *Linhas nodais para uma placa pentagonal, com o bordo preso, geradas numericamente. Formulação quadrática.*

Capítulo 1

Formulação

O objetivo deste capítulo é apresentar, a partir de uma modelagem física (ou de um modelo físico), a formulação do problema de vibração de uma placa fina de metal e obter a equação que governa tal fenômeno.

Além disso, preparar o terreno teórico para as técnicas de solução numérica, quer serão apresentadas nos Capítulos 2 e 3.

1.1 Modelagem dinâmica de uma placa fina de metal

Definimos uma placa como sendo um corpo tridimensional (sólido e elástico) de espessura constante e de material isotrópico (i.e. cujas propriedades não dependem da orientação do sistema) e homogêneo (que possui as mesmas características em qualquer ponto). A equação diferencial parcial associada à vibração de uma placa fina, de espessura constante h e de material sólido e isotrópico é

$$D\Delta\Delta w + \rho w_{tt} = 0, \quad (1.1)$$

em que $w = w(x, y, t)$ é o deslocamento perpendicular ao plano da placa no ponto (x, y) e no instante de tempo t , ρ é a densidade de área e a constante $D = \frac{Eh^3}{12(1-\nu^2)}$ é chamada de rigidez da placa. Ela depende do coeficiente de Poisson ν (constante adimensional), do módulo de elasticidade de Yong E e da espessura da placa h .

Essa equação pode ser obtida através da teoria do Cálculo Variacional, que consiste na formulação e minimização do funcional Ação J associado à vibração de uma placa fina. Determinar um ponto crítico do funcional J equivale a determinar uma função que satisfaz a condição $\delta J = 0$, isto é, a primeira variação de J deve ser zero.

Para escrever o funcional Ação é preciso primeiro obter a energia potencial através da teoria da Elasticidade Linear, de onde também surgem as constantes físicas presentes na equação diferencial (1.1).

1.1.1 Problemas elasto-mecânicos estáticos e dinâmicos

Para o tratamento de problemas elasto-mecânicos estáticos e/ou dinâmicos existem princípios variacionais que surgem naturalmente da mecânica e que são bastante úteis. Como estamos trabalhando com o problema de vibração de uma placa de metal, utilizamos o princípio de minimização

do funcional Ação (que envolve a energia potencial e cinética do sistema). A definição de uma placa e suas características descritas na seção acima são importantes para a formulação da energia potencial de deformação da placa, onde utilizamos conceitos e relações provenientes da teoria de Elasticidade Linear. Tal teoria trata de entender como um corpo elástico se comporta (se deforma) quando está sob a ação de forças externas que geram tensões e deformações neste corpo [6]. Ela ainda estabelece relações entre as tensões e deformações sofridas. É dela que surgem as constantes elásticas, como o módulo de elasticidade de Yong e o coeficiente de Poisson, que aparecem na equação diferencial. Com base nas relações entre tensão e deformação, podemos escrever a energia potencial (elástica) em função dos vetores de deslocamento da placa. O efeito de uma vibração na placa pode ser modelado segundo a Lei Generalizada de Hooke, que relaciona, de maneira linear, a deformação e a tensão de uma estrutura plana ou espacial, de material elástico, isotrópico e cujas deformações sofridas são pequenas. Apresentaremos aqui as relações básicas, mas para um estudo mais profundo, indicamos o Capítulo 3 de [6] e [4].

1.1.2 A energia potencial de um corpo elástico

Considere um corpo elástico tridimensional que não sofre a ação de forças externas. A energia potencial desse corpo é dada por:

$$U = \frac{1}{2} \iiint_V \boldsymbol{\sigma}^T \boldsymbol{\varepsilon} \, dV \quad (1.2)$$

em que $\boldsymbol{\sigma}$ é o vetor de tensão, $\boldsymbol{\varepsilon}$ é o vetor deformação e V é o volume do corpo. Tal integral de volume corresponde ao trabalho (“força \times deslocamento”) realizado por tensões internas. Vejamos o que isso significa.

Seja \mathbf{f} o vetor deslocamento, dependente da posição num ponto $P = (x, y, z)$ do corpo. Ele é composto por três componentes w_1, w_2 e w_3 , nas direções espaciais x, y e z .

$$\mathbf{f} = (w_1, w_2, w_3)^T,$$

em que w_1, w_2 , e w_3 são funções de cada uma das variáveis espaciais x, y e z .

O vetor deformação $\boldsymbol{\varepsilon}$ é adimensional e dado por

$$\boldsymbol{\varepsilon} = (\varepsilon^x, \varepsilon^y, \varepsilon^z, \gamma^{xy}, \gamma^{yz}, \gamma^{zx})^T,$$

em que $\varepsilon^x, \varepsilon^y$ e ε^z são deformações nas direções x, y e z : elas caracterizam as mudanças nos comprimentos preservando ângulos; $\gamma^{xy}, \gamma^{yz}, \gamma^{zx}$ são chamadas de deformações de cisalhamento: elas correspondem à mudanças nos ângulos originalmente retos dos planos xy, yz e xz [6].

Na teoria da elasticidade linear, essas deformações são definidas, em termos das componentes do vetor deslocamento por

$$\varepsilon^x = \frac{\partial w_1}{\partial x}, \quad \varepsilon^y = \frac{\partial w_2}{\partial y}, \quad \varepsilon^z = \frac{\partial w_3}{\partial z}, \quad (1.3)$$

¹Em geral a notação, encontrada na literatura, para o vetor deformação é feita com índices na parte inferior. Optamos por utilizar índices na parte superior, pois índices inferiores serão usados para denotar derivações.

e

$$\gamma^{xy} = \frac{\partial w_2}{\partial x} + \frac{\partial w_1}{\partial y}, \quad \gamma^{yz} = \frac{\partial w_2}{\partial z} + \frac{\partial w_3}{\partial y}, \quad \gamma^{xz} = \frac{\partial w_3}{\partial x} + \frac{\partial w_1}{\partial z}. \quad (1.4)$$

Elas também podem ser escritas matricialmente como $\varepsilon = \mathbf{B}\mathbf{f}$, em que \mathbf{B} é o operador diferencial:

$$\mathbf{B} = \begin{bmatrix} \frac{\partial}{\partial x} & 0 & 0 \\ 0 & \frac{\partial}{\partial y} & 0 \\ 0 & 0 & \frac{\partial}{\partial z} \\ \frac{\partial}{\partial y} & \frac{\partial}{\partial x} & 0 \\ 0 & \frac{\partial}{\partial z} & \frac{\partial}{\partial y} \\ \frac{\partial}{\partial z} & 0 & \frac{\partial}{\partial x} \end{bmatrix}. \quad (1.5)$$

A tensão $\boldsymbol{\sigma}$ num ponto genérico $P = (x, y, z)$ dentro de um corpo deformado corresponde a força por unidade de área agindo sobre os planos normais aos eixos coordenados x , y e z . O vetor tensão pode ser decomposto em componentes normais (σ) à secção transversal do corpo e em componentes tangenciais (τ) à tal secção transversal. As componentes tangenciais são chamadas de tensões de cisalhamento. Considerando condições de equilíbrio interno, a tensão $\boldsymbol{\sigma}$ pode ser descrita por seis componentes:

$$\sigma^x, \sigma^y, \sigma^z, \tau^{xy}, \tau^{yz}, \tau^{xz},$$

em que σ^x , σ^y , σ^z são as tensões normais nas direções coordenadas e τ^{xy} , τ^{yz} , τ^{xz} , são as três tensão de cisalhamento. Temos então o vetor tensão :

$$\boldsymbol{\sigma} = (\sigma^x, \sigma^y, \sigma^z, \tau^{xy}, \tau^{yz}, \tau^{xz})^T$$

Existem leis físicas que relacionam a tensão e a deformação e descrevem o comportamento elástico-mecânico do material. No contexto da teoria da elasticidade linear, essa relação é dada pela forma geral da Lei de Hooke, que relaciona a tensão e a deformação de forma linear. Como estamos considerando um corpo de material isotrópico e homogêneo, tal lei é aplicável e obtêm-se (conforme Capítulo 3 de [6]) as relações:

$$\begin{aligned} \varepsilon^x &= \frac{1}{E}(\sigma^x - \nu\sigma^y - \nu\sigma^z), & \gamma^{xy} &= \frac{1}{G}\tau^{xy}, \\ \varepsilon^y &= \frac{1}{E}(-\nu\sigma^x + \sigma^y - \nu\sigma^z), & \gamma^{yz} &= \frac{1}{G}\tau^{yz}, \\ \varepsilon^z &= \frac{1}{E}(\nu\sigma^x - \nu\sigma^y - \sigma^z), & \gamma^{xz} &= \frac{1}{G}\tau^{xz}, \end{aligned} \quad (1.6)$$

em que E é o módulo de elasticidade de Yong, ν é o coeficiente de Poisson (adimensional) e $G = \frac{2(1+\nu)}{E}$ é o módulo de cisalhamento. Estas são constantes que descrevem o comportamento elástico do material. A constante E é usualmente expressa em MPa ou GPa ($1GPa = 10^3 MPa = 10^6 N/m^2$). O coeficiente de Poisson ν é adimensional e representa a razão entre deformações horizontais e verticais (Capítulo 3 de [6]). Se o material considerado não sofre tais deformações, a constante ν deve ser nula (Capítulo 10 de [12]). Segundo Rayleigh [12], $0 \leq \nu < 1$, e, para placas de metal, $\nu \approx 0.3$ [6, 12].

Resolvendo o sistema (1.6) para o vetor tensão $\boldsymbol{\sigma}$, obtemos:

$$\boldsymbol{\sigma} = D\boldsymbol{\varepsilon} ,$$

em que D é matriz simétrica e definida positiva, dada por:

$$D = \frac{E}{(1-2\nu)(1+\nu)} \begin{bmatrix} 1-\nu & \nu & \nu & 0 & 0 & 0 \\ \nu & 1-\nu & \nu & 0 & 0 & 0 \\ \nu & \nu & 1-\nu & 0 & 0 & 0 \\ 0 & 0 & 0 & \frac{(1-2\nu)}{2} & 0 & 0 \\ 0 & 0 & 0 & 0 & \frac{(1-2\nu)}{2} & 0 \\ 0 & 0 & 0 & 0 & 0 & \frac{(1-2\nu)}{2} \end{bmatrix} .$$

Assim, a expressão para a energia potencial (devido apenas à forças internas) fica assim:

$$U = \frac{1}{2} \iiint_V \boldsymbol{\sigma}^T \boldsymbol{\varepsilon} \, dV = \frac{1}{2} \iiint_V \boldsymbol{\varepsilon}^T D \boldsymbol{\varepsilon} \, dV . \quad (1.7)$$

Usando a relação entre os vetores de deformação e deslocamento dada por (1.5), também obtemos uma expressão para a energia potencial em termos do vetor deslocamento \mathbf{f} :

$$U = \frac{1}{2} \iiint_V \boldsymbol{\sigma}^T \boldsymbol{\varepsilon} \, dV = \frac{1}{2} \iiint_V \boldsymbol{\varepsilon}^T D \boldsymbol{\varepsilon} \, dV = \frac{1}{2} \iiint_V \mathbf{f}^T \mathbf{B}^T D \mathbf{B} \mathbf{f} \, dV . \quad (1.8)$$

1.1.3 Lagrangiano de um corpo elástico

Olhemos agora para as energias potencial e cinética do sistema. Consideramos o funcional Lagrangiano:

$$L = T - U$$

em que T é a energia cinética do sistema em consideração e U é a energia potencial de deformação. Para um corpo com densidade $\tilde{\rho}(x, y, z)$ a energia cinética pode ser escrita em função do vetor de deslocamento \mathbf{f} :

$$T = \frac{1}{2} \iiint_V \tilde{\rho} \dot{\mathbf{f}}^T \dot{\mathbf{f}} \, dV \quad (1.9)$$

em que $\dot{\mathbf{f}}$ representa a derivada do vetor deslocamento \mathbf{f} com respeito ao tempo, i.e. representa o vetor velocidade.

Assim, da equação (1.2), temos que o funcional Lagrangiano é dado por:

$$L = \frac{1}{2} \iiint_V \tilde{\rho} \dot{\mathbf{f}}^T \dot{\mathbf{f}} \, dV - \frac{1}{2} \iiint_V \boldsymbol{\sigma}^T \boldsymbol{\varepsilon} \, dV . \quad (1.10)$$

Segundo o princípio de Hamilton, entre dois instantes t_0 e t_1 , o movimento procede de tal modo que a integral

$$J = \int_{t_0}^{t_1} L \, dt \quad (1.11)$$

é estacionária em comparação à funções vizinhas cujos valores em t_0 e em t_1 coincidem com os

valores de L nesses mesmos instantes (Capítulo 4, P243 de [2]).

1.1.4 Caso específico: vibração de uma placa fina

Nesta etapa adequamos as equações obtidas acima, de maneira geral, para as condições do nosso caso particular: a vibração de uma placa fina de metal. Estamos considerando que uma placa é um corpo sólido, tridimensional, feito de material homogêneo e isotrópico e que a característica “fina” significa que sua espessura é pequena quando comparada com as duas outras dimensões. Essas características são importantes para que se possa considerar a Teoria de Kirchhoff para placas finas de metal. Kirchhoff foi o responsável pela formulação correta da formulação matemática da vibração de uma placa fina de metal, primeiramente apresentada por Sophie Germain, em 1815 [13].

Consideramos uma placa fina, de espessura constante h , cuja superfície média (ou central) coincide com o plano xy . Consideramos ainda as seguintes hipóteses (de Kirchhoff):

- (i) o deslocamento vertical w_3 da superfície média (central) e suas derivadas parciais são pequenos; assim, a superfície média é considerada como uma camada neutra que não sofre distorções (Seção 1.2 de [15]); isso implica que, no plano $z = 0$, $\varepsilon^x = \varepsilon^y = \gamma^{xy} = 0$;
- (ii) direções normais ao plano médio da placa não deformada permanecem normais sob deformações;
- (iii) a espessura da placa não muda durante a deformação;
- (iv) a tensão σ^z na direção normal ao plano xy é irrelevante quando comparada com as tensões σ^x e σ^y .

Sob essas hipóteses, a teoria de Kirchhoff estabelece uma relação entre as componentes do vetor deslocamento. Essa relação nos diz que os deslocamentos w_1 e w_2 variam com a altura z do ponto e dependem do deslocamento vertical w de um ponto $(x, y, 0)$ da superfície média [15].

Observe a Figura (1.1), onde foi considerada uma secção no plano $y = 0$, de modo que olharemos apenas para as deformações que ocorrem no plano xz da placa. Consideramos a placa (bem como a sua superfície média) em sua posição original, antes da deformação, e depois da deformação. Seja $w(x, y)$ a função que descreve a posição vertical da superfície média após a deformação.

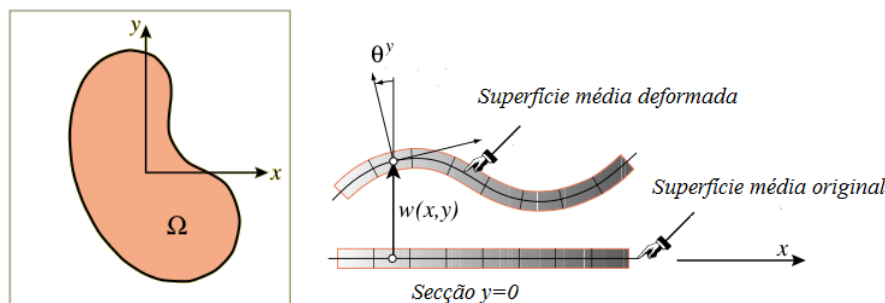


Figura 1.1: À esquerda: Domínio da placa visto de cima. À direita: deslocamento e variação angular no plano xz da placa. Figura grandemente exagerada, para melhor visibilidade. Na prática, w é muito menor que a espessura h , para que o modelo de Kirchhoff possa ser considerado. Figura baseada na referência [4].

Considere um ponto (x, y, z) fora da superfície média da placa e, portanto, a uma altura z desta. Olhando só para o plano da figura, no corte $y = 0$, temos que o ponto de altura z sofreu

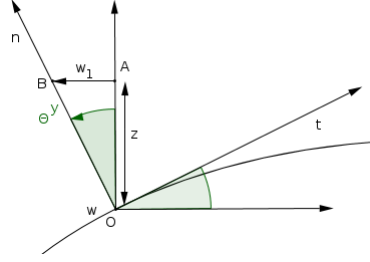


Figura 1.2: Região do ângulo θ^y aumentada.

um deslocamento horizontal $w_1(x, y, z)$ no sentido oposto à orientação do eixo horizontal x . A expressão desse deslocamento pode ser obtida com base no triângulo OAB da Figura 1.2, e é tal que $\tan \theta^y \cong \frac{w_1(x, y, z)}{z}$. Por outro lado, essa é a inclinação da reta tangente $w(x, y)$ na direção de x . Ou seja,

$$\frac{-w_1(x, y, z)}{z} \cong \tan \theta^y = \frac{\partial w}{\partial x} .$$

Logo, $w_1(x, y, z) = -z \frac{\partial w}{\partial x}$, em primeira ordem. Olhando para a secção no plano $x = 0$, obtemos de forma análoga, a relação entre o deslocamento vertical da superfície média $w(x, y)$ e o deslocamento w_2 na direção do eixo y .

Assim, temos que

$$w_1(x, y, z) = -z \frac{\partial w}{\partial x}(x, y) , \quad w_2(x, y, z) = -z \frac{\partial w}{\partial y}(x, y) \quad e \quad w_3(x, y, z) = w(x, y) . \quad (1.12)$$

Com base nas equações (1.3), (1.4) e (1.12), as componentes do vetor de deformação são:

$$\begin{aligned} \varepsilon^x &= -z \frac{\partial^2 w}{\partial x^2}, & \varepsilon^y &= -z \frac{\partial^2 w}{\partial y^2}, & \varepsilon^z &= 0, \\ \gamma^{xy} &= -2z \frac{\partial^2 w}{\partial x \partial y}, & \gamma^{yz} &= 0, & \gamma^{zx} &= 0. \end{aligned} \quad (1.13)$$

Quanto às forças de tensão, baseando-nos ainda nas hipóteses de Kirchhoff, consideramos que as tensões normais à superfície média são desconsideradas, o que nos leva a assumir que $\sigma^z = \tau^{xz} = \tau^{yz} = 0$.

Assim, aplicando a Lei geral de Hooke (1.6), obtemos as expressões

$$\sigma^x = \frac{E}{1 - \nu^2} (\varepsilon^x + \nu \varepsilon^y) ,$$

$$\sigma^y = \frac{E}{1 - \nu^2} (\nu \varepsilon^x + \varepsilon^y) ,$$

$$\tau^{xy} = \frac{E}{2(1 + \nu)} \gamma^{xy} ,$$

que se resumem à equação matricial $\boldsymbol{\sigma} = D\boldsymbol{\varepsilon}$, com

$$D = \frac{E}{1-\nu^2} \begin{bmatrix} 1 & \nu & 0 \\ \nu & 1 & 0 \\ 0 & 0 & \frac{(1-\nu)}{2} \end{bmatrix}.$$

Usando as equações em (1.13), obtemos as expressões das componentes de tensão em função da componente vertical $w(x, y)$ do deslocamento:

$$\begin{aligned} \sigma^x &= \frac{-Ez}{1-\nu^2} \left(\frac{\partial^2 w}{\partial x^2} + \nu \frac{\partial^2 w}{\partial y^2} \right), \\ \sigma^y &= \frac{-Ez}{1-\nu^2} \left(\nu \frac{\partial^2 w}{\partial x^2} + \frac{\partial^2 w}{\partial y^2} \right), \\ \tau^{xy} &= \frac{-Ez}{1+\nu} \frac{\partial^2 w}{\partial x \partial y}. \end{aligned} \quad (1.14)$$

No nosso caso, estamos considerando que não há forças externas envolvidas na vibração da placa, e a força gravitacional também está sendo desconsiderada. Desse modo, para obter a energia potencial, precisamos apenas calcular

$$\boldsymbol{\sigma}^T \boldsymbol{\varepsilon} = (D\boldsymbol{\varepsilon})^T \boldsymbol{\varepsilon} = \boldsymbol{\varepsilon}^T D\boldsymbol{\varepsilon}.$$

Como a matriz D é simétrica e definida positiva, podemos afirmar que a energia potencial é a integral de uma forma quadrática, definida positiva:

$$\iiint_V \boldsymbol{\sigma}^T \boldsymbol{\varepsilon} \, dx \, dy \, dz = \iiint_V \boldsymbol{\varepsilon}^T D\boldsymbol{\varepsilon} \, dx \, dy \, dz.$$

A partir daí, integramos na direção do eixo z , sobre a espessura da placa, (lembrando que o deslocamento w representa o deslocamento de pontos pertencentes à superfície média da placa e, portanto, independe da coordenada z).

A partir deste ponto, utilizaremos a notação de índice inferior para derivadas, isto é,

$$\frac{\partial^2 w}{\partial x^2} = w_{xx}, \quad \frac{\partial^2 w}{\partial xy} = w_{xy} \quad e \quad \frac{\partial^2 w}{\partial y^2} = w_{yy}.$$

Portanto,

$$\begin{aligned} U_{placa} &= \frac{1}{2} \iiint_V \boldsymbol{\varepsilon}^T D\boldsymbol{\varepsilon} \, dx \, dy \, dz = \\ &= \frac{1}{2} \iiint_V \frac{Ez^2}{1-\nu^2} [w_{xx}^2 + \nu w_{xx} w_{yy} + w_{yy}^2 + \nu w_{xx} w_{yy}] + \frac{Ez^2}{2(1+\nu)} 4z^2 w_{xy}^2 \, dx \, dy \, dz = \\ &= \frac{1}{2} \int_{-h/2}^{h/2} z^2 \, dz \int_{\Omega} \frac{E}{1-\nu^2} [w_{xx}^2 + 2\nu w_{xx} w_{yy} + w_{yy}^2 + 2(1-\nu)w_{xy}^2] \, dx \, dy = \\ &= \frac{1}{2} \frac{h^3}{12} \frac{E}{(1-\nu^2)} \int_{\Omega} [w_{xx}^2 + 2\nu w_{xx} w_{yy} + w_{yy}^2 + 2(1-\nu)w_{xy}^2] \, dx \, dy. \end{aligned} \quad (1.15)$$

A expressão dentro da integral dupla pode ser ajustada de modo que a expressão da energia potencial fique na forma:

$$U_{placa} = \frac{1}{2} \frac{Eh^3}{12(1-\nu^2)} \iint_{\Omega} (\Delta w)^2 - 2(1-\nu) (w_{xx}w_{xy} - w_{xy}^2) dx dy . \quad (1.16)$$

Considerando que a placa em questão pode ser considerada como uma superfície parametrizada como um gráfico de função, i.e. que a componente vertical do deslocamento pode ser escrita em função das coordenadas x e y do plano, $w(x, y)$, podemos identificar as expressões das curvaturas média e gaussiana dessa superfície:

$$\begin{aligned} \frac{1}{\rho_1} + \frac{1}{\rho_2} &= \Delta w : && \text{dobro da curvatura média} \\ \frac{1}{\rho_1\rho_2} &= w_{xx}w_{xy} - w_{xy}^2 : && \text{curvatura gaussiana} \end{aligned} \quad (1.17)$$

em que ρ_1 e ρ_2 são os raios de curvatura (da placa).

Assim, temos que

$$U_{placa} = \frac{1}{2} \frac{Eh^3}{12(1-\nu^2)} \iint_{\Omega} \left[\left(\frac{1}{\rho_1} + \frac{1}{\rho_2} \right)^2 - 2(1-\nu) \frac{1}{\rho_1\rho_2} \right] dx dy .$$

1.1.5 O funcional Ação

Para uma placa de espessura h e densidade de área ρ ($\tilde{\rho} = \frac{\rho}{h}$), com base na equação (1.9), temos

$$T = \frac{1}{2} \iiint_V \tilde{\rho} \dot{\mathbf{f}}^T \dot{\mathbf{f}} dV = \frac{1}{2} \iint_{\Omega} \rho w_t^2 dx dy . \quad (1.18)$$

Com a expressão para a energia potencial obtida acima, para aplicar o Princípio de Hamilton, basta minimizar o funcional

$$J = \int_{t_0}^{t_1} (T-U) dt = \int_{t_0}^{t_1} \iint_{\Omega} \left[\frac{1}{2} \rho w_t^2 - \frac{1}{2} \frac{Eh^3}{12(1-\nu^2)} [(\Delta w)^2 - 2(1-\nu) (w_{xx}w_{xy} - w_{xy}^2)] \right] dx dy dt . \quad (1.19)$$

Segundo Courant e Hilbert (P.243) [2], o Princípio de Hamilton afirma que entre dois instantes de tempo t_0 e t_1 , o movimento procede de tal modo que a integral do Lagrangiano (1.10), chamada de Ação, é estacionária em comparação à funções vizinhas \bar{w} tais que $\bar{w}(t_0) = w(t_0)$ e $\bar{w}(t_1) = w(t_1)$.

Em outras palavras: a função que representa o movimento real faz a integral J estacionária, com relação às outras funções do movimento, numa vizinhança, que vão da posição inicial à final no mesmo intervalo de tempo.

Assim, esse princípio nos leva ao problema de encontrar uma função admissível para a qual a integral (1.19) seja estacionária, quando comparada com todas as funções vizinhas contínuas $\bar{w}(t, x, y)$ e com derivadas contínuas (até quarta ordem, nesse caso [2]).

Para isso calculamos a variação δJ e impomos que ela seja nula. Essa é uma condição necessária para determinar a função crítica, ou mínimo do funcional Ação.

1.1.6 Minimização do funcional Ação

Considere o funcional J de (1.19), em que w é função contínua com derivadas contínuas até quarta ordem. Sejam $\bar{w} = w(x, y, t) + \eta(x, y, t)\varepsilon$ (com $\varepsilon > 0$ e pequeno) e

$$\phi(\varepsilon) = J[w(x, y, t) + \eta(x, y, t)\varepsilon] = J[\bar{w}] .$$

Estamos buscando um ponto crítico w para J , entre as funções $\bar{w} = w + \eta\varepsilon$, em que a função η é tal que $\eta(x, y, t_0) = \eta(x, y, t_1) = 0$. Ou seja, todas as funções \bar{w} coincidem com w em t_0 e em t_1 . Estamos considerando que $\eta, \eta_t, \eta_x, \eta_y, \eta_{xx}, \eta_{xy}$ e η_{yy} são funções contínuas e (a princípio, como não definimos valores para w em $\partial\Omega$) podem assumir qualquer valor em $\partial\Omega \times (t_0, t_1)$, em que $\partial\Omega$, fronteira do domínio Ω , é uma curva C^1 por partes.

Se w é ponto crítico de J , então,

$$\phi'(0) = \left. \frac{d}{d\varepsilon} \phi(\varepsilon) \right|_{\varepsilon=0} = 0 .$$

Lembrando que $D = \frac{Eh^3}{12(1-\nu^2)}$, explicitamos $\phi'(0)$:

$$\begin{aligned} \phi'(\varepsilon) &= \left. \frac{d}{d\varepsilon} \left[\int_{t_0}^{t_1} \iint_{\Omega} \frac{1}{2} \rho \bar{w}_t^2 - \frac{1}{2} D \left\{ (\Delta \bar{w})^2 - 2(1-\nu) [\bar{w}_{xx} \bar{w}_{yy} - \bar{w}_{xy}^2] \right\} dx dy dt \right] \right|_{\varepsilon=0} = \\ &= \int_{t_0}^{t_1} \iint_{\Omega} \rho w_t \cdot \eta_t - D [\Delta w \Delta \eta - (1-\nu)(w_{xx} \eta_{yy} + w_{yy} \eta_{xx} - 2w_{xy} \eta_{xy})] dx dy dt = \\ &= \underbrace{\int_{t_0}^{t_1} \iint_{\Omega} \rho w_t \eta_t - D \Delta w \Delta \eta dx dy dt}_1 + \underbrace{D(1-\nu) \int_{t_0}^{t_1} \iint_{\Omega} [w_{xx} \eta_{yy} + w_{yy} \eta_{xx} - 2w_{xy} \eta_{xy}] dx dy dt}_2 . \end{aligned} \quad (1.20)$$

Parte 1:

$$\begin{aligned} &\int_{t_0}^{t_1} \iint_{\Omega} \rho w_t \eta_t - D \Delta w \Delta \eta dx dy dt = \\ &\iint_{\Omega} \left(\int_{t_0}^{t_1} \rho w_t \eta_t dt \right) dx dy - \int_{t_0}^{t_1} \iint_{\Omega} D \Delta w \Delta \eta dx dy dt . \end{aligned} \quad (1.21)$$

Fazendo integração por partes em t ($u = w_t$ e $dv = \eta_t$) na primeira parcela, temos

$$\iint_{\Omega} \left(\int_{t_0}^{t_1} \rho w_t \eta_t dt \right) dx dy = \iint_{\Omega} \rho \left[\underbrace{w_t \eta}_{=0} \Big|_{t_0}^{t_1} - \int_{t_0}^{t_1} w_{tt} \eta dt \right] dx dy = \int_{t_0}^{t_1} \iint_{\Omega} -\rho w_{tt} \eta dx dy dt \quad (1.22)$$

e, utilizando a Segunda Identidade de Green ¹ para $\varphi = \Delta w$ e $\psi = \eta$ na segunda parcela, temos:

$$\begin{aligned}
\int_{t_0}^{t_1} \iint_{\Omega} D\Delta w \Delta \eta \, dx dy \, dt &= \int_{t_0}^{t_1} D \left[\iint_{\Omega} \Delta \Delta w \eta \, dx dy - \int_{\partial\Omega} \eta \nabla(\Delta w) \cdot \vec{n} \, ds + \int_{\partial\Omega} \Delta w \nabla \eta \cdot \vec{n} \, ds \right] dt = \\
&= \int_{t_0}^{t_1} \iint_{\Omega} D\Delta \Delta w \eta \, dx dy \, dt + D \int_{t_0}^{t_1} \left[\int_{\partial\Omega} \eta \nabla(\Delta w) \cdot \vec{n} \, ds - \int_{\partial\Omega} \Delta w \nabla \eta \cdot \vec{n} \, ds \right] dt = \\
&= \int_{t_0}^{t_1} \iint_{\Omega} D\Delta \Delta w \eta + D \int_{t_0}^{t_1} \left[\int_{\partial\Omega} \eta \frac{\partial}{\partial \vec{n}}(\Delta w) \, ds - \int_{\partial\Omega} \Delta w \frac{\partial}{\partial \vec{n}} \eta \, ds \right] dt . \tag{1.23}
\end{aligned}$$

Juntando as parcelas (1.22) e (1.23):

$$\int_{t_0}^{t_1} \iint_{\Omega} (-\rho w_{tt} - D\Delta \Delta w) \eta \, dx dy \, dt + D \int_{t_0}^{t_1} \left[\int_{\partial\Omega} \eta \frac{\partial}{\partial \vec{n}}(\Delta w) \, ds - \int_{\partial\Omega} \Delta w \frac{\partial}{\partial \vec{n}} \eta \, ds \right] dt . \tag{1.24}$$

Estamos considerando que cada parte de $\partial\Omega$ está parametrizada pelo comprimento de arco, para considerar o vetor tangente unitário. As componentes do vetor tangente \vec{t} à curva $\partial\Omega$ são $\left(\frac{dx}{ds}, \frac{dy}{ds}\right) = (-\sin \theta, \cos \theta)$ e as componentes do vetor normal \vec{n} a curva $\partial\Omega$ são $\left(\frac{dy}{ds}, -\frac{dx}{ds}\right) = (\cos \theta, \sin \theta)$, em que θ é o ângulo entre a normal unitária \vec{n} à fronteira $\partial\Omega$ e o eixo horizontal.

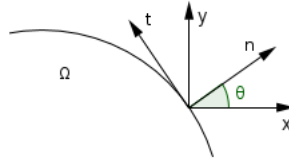


Figura 1.3: Relação entre vetores normal e tangente à fronteira do domínio

Parte 2:

$$\begin{aligned}
D(1 - \nu) \int_{t_0}^{t_1} \iint_{\Omega} w_{xx} \eta_{yy} + w_{yy} \eta_{xx} - 2w_{xy} \eta_{xy} \, dx dy \, dt = \\
D(1 - \nu) \int_{t_0}^{t_1} \iint_{\Omega} \frac{\partial}{\partial x} [\eta_x w_{yy} - \eta_y w_{xy}] - \frac{\partial}{\partial y} [-(\eta_x w_{xy} - \eta_y w_{xx})] \, dx dy \, dt . \tag{1.25}
\end{aligned}$$

¹A segunda identidade de Green afirma que, se $\Omega \in \mathbb{R}^2$ é um domínio limitado com fronteira $\partial\Omega$ de classe C^1 , orientada de modo que a normal unitária \vec{n} à curva $\partial\Omega$ aponta para fora de Ω , e se $\varphi, \psi \in C^2(\bar{\Omega})$, então vale a fórmula: $\iint_{\Omega} \varphi \Delta \psi - \psi \Delta \varphi \, dx dy = \int_{\partial\Omega} \varphi \nabla \psi \cdot \vec{n} - \psi \nabla \varphi \cdot \vec{n} \, ds = \int_{\partial\Omega} \varphi \frac{\partial \psi}{\partial \vec{n}} - \psi \frac{\partial \varphi}{\partial \vec{n}} \, ds$.

Aplicando o Teorema de Green² na integral dupla, (1.25) se torna

$$D(1 - \nu) \int_{t_0}^{t_1} \iint_{\Omega} w_{xx} \eta_{yy} + w_{yy} \eta_{xx} - 2w_{xy} \eta_{xy} \, dx dy \, dt =$$

$$D(1 - \nu) \int_{t_0}^{t_1} \int_{\partial\Omega} \left[-(\eta_y w_{xx} - \eta_x w_{xy}) \frac{dx}{ds} + (\eta_x w_{yy} - \eta_y w_{xy}) \frac{dy}{ds} \right] ds \, dt \quad (1.26)$$

e, como $\frac{dx}{ds}$ e $\frac{dy}{ds}$ são as componentes do vetor tangente (unitário) à curva $\partial\Omega$, obtemos

$$D(1 - \nu) \int_{t_0}^{t_1} \int_{\partial\Omega} -(\eta_y w_{xx} - \eta_x w_{xy})(-\sin \theta) \, ds + \int_{\partial\Omega} (\eta_x w_{yy} - \eta_y w_{xy}) \cos \theta \, ds \, dt = (*) . \quad (1.27)$$

Escrevendo η_x e η_y como combinação linear de $\frac{\partial\eta}{\partial\vec{n}}$ e $\frac{\partial\eta}{\partial s}$,

$$\begin{cases} \eta_x = \cos \theta \frac{\partial\eta}{\partial\vec{n}} - \sin \theta \frac{\partial\eta}{\partial s} \\ \eta_y = \sin \theta \frac{\partial\eta}{\partial\vec{n}} + \cos \theta \frac{\partial\eta}{\partial s} \end{cases}$$

de (1.27) segue que:

$$(*) = D(1 - \nu) \int_{t_0}^{t_1} \left[\int_{\partial\Omega} \frac{\partial\eta}{\partial\vec{n}} (w_{xx} \sin^2 \theta - 2w_{xy} \cos \theta \sin \theta + w_{yy} \cos^2 \theta) \, ds + \right.$$

$$\left. + \int_{\partial\Omega} \frac{\partial\eta}{\partial s} (w_{xx} \cos \theta \sin \theta + w_{xy} (\sin^2 \theta - \cos^2 \theta) - w_{yy} \sin \theta \cos \theta) \, ds \right] dt . \quad (1.28)$$

²O teorema de Green estabelece uma relação entre a integral de linha sobre uma curva fechada C e a integral dupla sobre a região D limitada por ela:

$$\int_C P dx + Q dy = \iint_D \left(\frac{\partial Q}{\partial x} - \frac{\partial P}{\partial y} \right) dx dy ,$$

em que C é curva simples, fechada, contínua por partes e orientada positivamente; D é a região limitada pela curva C e, P e Q são funções de x e y , continuamente diferenciáveis e definidas num domínio aberto contendo D . No nosso caso, a região D é o domínio Ω e a curva C , sua fronteira $\partial\Omega$.

Integrando por partes em s , na segunda parcela temos:

$$\begin{aligned}
(*) &= D(1 - \nu) \int_{t_0}^{t_1} \left\{ \int_{\partial\Omega} \frac{\partial\eta}{\partial\vec{n}} (w_{xx} \sin^2 \theta - 2w_{xy} \cos \theta \sin \theta + w_{yy} \cos^2 \theta) ds + \right. \\
&\quad \left. + \eta \underbrace{[w_{xx} \cos \theta \sin \theta + w_{xy}(\sin^2 \theta - \cos^2 \theta) - w_{yy} \sin \theta \cos \theta]}_{=0, \text{ pois } \partial(\partial\Omega) = \emptyset} \right|_{\partial\partial\Omega} \\
&\quad - \int_{\partial\Omega} \eta \frac{d}{ds} [w_{xx} \cos \theta \sin \theta + w_{xy}(\sin^2 \theta - \cos^2 \theta) - w_{yy} \sin \theta \cos \theta] \Bigg\} dt \\
&= D(1 - \nu) \int_{t_0}^{t_1} \left\{ \int_{\partial\Omega} \frac{\partial\eta}{\partial\vec{n}} (w_{xx} \sin^2 \theta - 2w_{xy} \cos \theta \sin \theta + w_{yy} \cos^2 \theta) ds + \right. \\
&\quad \left. - \int_{\partial\Omega} \eta \frac{d}{ds} [w_{xx} - w_{yy}] \cos \theta \sin \theta + w_{xy}(\sin^2 \theta - \cos^2 \theta) \Bigg\} dt . \tag{1.29}
\end{aligned}$$

Juntando as parcelas (1) e (2), temos então que :

$$\begin{aligned}
0 = \phi'(0) &= \int_{t_0}^{t_1} \left\{ \iint_{\Omega} -(\rho w_{tt} + D\Delta\Delta w) \eta \, dx dy + \right. \\
&\quad \left. + D \int_{\partial\Omega} \eta \left\{ \frac{\partial}{\partial\vec{n}} (\Delta w) - (1 - \nu) \frac{d}{ds} [(w_{xx} - w_{yy}) \cos \theta \sin \theta + w_{xy}(\sin^2 \theta - \cos^2 \theta)] \right\} ds \right. \\
&\quad \left. + D \int_{\partial\Omega} \frac{\partial\eta}{\partial\vec{n}} [-\Delta w + (1 - \nu)(w_{xx} \sin^2 \theta - 2w_{xy} \cos \theta \sin \theta + w_{yy} \cos^2 \theta)] ds \right\} dt \tag{1.30}
\end{aligned}$$

isto é, $\phi'(0)$ deve ser zero para toda função η . Em particular, quando olhamos para a classe de funções η tais que $\eta|_{\partial\Omega} = \frac{\partial\eta}{\partial\vec{n}}|_{\partial\Omega} = 0$, as duas últimas parcelas de (1.30) desaparecem e a condição necessária para termos $\phi'(0) = 0$ é que a integral da primeira parcela de (1.30) seja zero. Com isso temos que

$$\iint_{\Omega} -(\rho w_{tt} + D\Delta\Delta w) \eta \, dx dy = 0 \text{ se e somente se } (\rho w_{tt} + D\Delta\Delta w) \eta = 0$$

para toda função η nessa classe particular. Se essa condição deve ser satisfeita para essa classe particular, então essa é uma condição que ainda deverá ser satisfeita quando consideramos que η é arbitrária. Assim, w , o ponto crítico de J (que minimiza J) deve satisfazer a equação diferencial parcial

$$\rho w_{tt} + D\Delta\Delta w = 0 . \tag{1.31}$$

Seguindo o mesmo raciocínio anterior (de considerar classes específicas para a função η), é possível entender por que, para que J seja estacionário, cada uma das integrais de bordo de (1.30) deve ser zero. Olhando para a classe de funções η tais que $\eta = 0$ e $\frac{\partial\eta}{\partial\vec{n}}$ é arbitrária em $\partial\Omega$, temos que as duas primeiras parcelas de (1.30) desaparecem. A primeira integral deve ser zero pelo que

foi exposto acima, e a condição $\eta|_{\partial\Omega} = 0$ faz a segunda integral se anular. Assim, temos que

$$D \int_{\partial\Omega} \frac{\partial\eta}{\partial\vec{n}} [-\Delta w + (1 - \nu)(w_{xx} \sin^2 \theta - 2w_{xy} \cos \theta \sin \theta + w_{yy} \cos^2 \theta)] ds = 0$$

se torna condição necessária para que $\phi'(0)$ seja zero. Essa condição implica que a função entre colchetes

$$M(w) = -\Delta w + (1 - \nu)(w_{xx} \sin^2 \theta - 2w_{xy} \cos \theta \sin \theta + w_{yy} \cos^2 \theta) \quad (1.32)$$

deve ser zero.

Por outro lado, quando olhamos para a classe de funções η tais que $\frac{\partial\eta}{\partial\vec{n}}|_{\partial\Omega} = 0$, a última parcela de (1.30) desaparece e, como já vimos que o anulamento da primeira parcela é condição necessária, obtemos, para essa classe de funções η , que o anulamento da segunda parcela de (1.30) também é condição necessária para que $\phi'(0)$ seja zero, i.e., obtemos que:

$$D \int_{\partial\Omega} \eta \left\{ \frac{\partial}{\partial\vec{n}} (\Delta w) - (1 - \nu) \frac{d}{ds} [(w_{xx} - w_{yy}) \cos \theta \sin \theta + w_{xy} (\sin^2 \theta - \cos^2 \theta)] \right\} ds = 0 .$$

o que implica no anulamento da função entre colchetes

$$P(w) = \frac{\partial}{\partial\vec{n}} (\Delta w) + (1 - \nu) \frac{d}{ds} [(w_{yy} - w_{xx}) \cos \theta \sin \theta + w_{xy} (\cos^2 \theta - \sin^2 \theta)] . \quad (1.33)$$

Assim, mesmo quando voltamos a olhar η e $\frac{\partial\eta}{\partial\vec{n}}$ como funções arbitrárias em $\partial\Omega$, as duas condições obtidas acima continuam a ser necessárias para que J seja estacionária.

Concluimos então que para que w seja um ponto crítico de J , as três integrais de (1.30) devem se anular. O anulamento da primeira parcela nos fornece a EDP que governa o fenômeno e o anulamento das integrais de fronteira nos fornece as equações (1.32) e (1.33) que a função w deve satisfazer na fronteira $\partial\Omega$. Essas são as condições de contorno (naturais) associadas à EDP.

1.2 Condições de contorno

Considere novamente a equação (1.30), que deve valer para que J seja estacionário, e em que η é uma função arbitrária, contínua e com derivadas até segunda ordem contínuas em $\bar{\Omega}$.

Se a função $w(x, y, t)$ e sua derivada normal estiverem prescritas na fronteira, isto é, se

$$w(x, y, t)|_{\partial\Omega} = w_0(x, y, t) \quad \text{e} \quad \frac{\partial w}{\partial\vec{n}}|_{\partial\Omega} = f_0(x, y, t) ,$$

então w está sendo procurada dentre as funções \bar{w} tais que $\bar{w}(x, y, t)|_{\partial\Omega} = w_0(x, y, t)$ e $\frac{\partial\bar{w}}{\partial\vec{n}}|_{\partial\Omega} = f_0(x, y, t)$. Desse modo,

$$\bar{w}(x, y, t) = w(x, y, t) + \eta(x, y, t) = w_0(x, y, t) \iff \eta = 0 \text{ em } \partial\Omega$$

e

$$\frac{\partial\bar{w}}{\partial\vec{n}}(x, y, t) = \frac{\partial w}{\partial\vec{n}}(x, y, t) + \frac{\partial\eta}{\partial\vec{n}}(x, y, t) = f_0 \iff \frac{\partial\eta}{\partial\vec{n}} = 0 \text{ em } \partial\Omega .$$

Ou seja, quando a condição de contorno está prescrita dessa forma, a função η deve ser tal que $\eta = \frac{\partial \eta}{\partial \vec{n}} = 0$ na fronteira $\partial\Omega$. Isso garante que as integrais de fronteira de (1.30) se anulem e que w torne J estacionário. Este caso caracteriza a condição de contorno *bordo grampeado*. Neste trabalho, usaremos essa expressão para o caso particular em que $w = \frac{\partial w}{\partial \vec{n}} = 0$ em $\partial\Omega$. Reservaremos, a partir daqui, a expressão *bordo preso* para o caso em que somente $w = 0$ em $\partial\Omega$.

Se a função w não estiver prescrita na fronteira $\partial\Omega$, então η e $\frac{\partial \eta}{\partial \vec{n}}$ não serão necessariamente nulas em $\partial\Omega$. Para que as integrais de fronteira de (1.30) se anulem é necessário que as expressões $P(w)$ e $M(w)$ se anulem. Este é o caso de vibração de uma placa com a borda (fisicamente) livre (não presa e não apoiada) e será chamado de condição de *bordo livre*. Esse caso onde não são impostas, previamente, condições para w na fronteira de Ω , é conhecido como problema de *fronteira livre* [2], pois a fronteira do domínio está livre de condições preestabelecidas. As condições $P(w) = 0$ e $M(w) = 0$ que surgem naturalmente da minimização do funcional J são chamadas de *condições de contorno naturais*.

Se o valor de w estiver prescrito na fronteira e $\frac{\partial \eta}{\partial \vec{n}}$ for arbitrária, então, para que a integral da última parcela de (1.30) se anule, é necessário que $M(w) = 0$. O caso particular em que $w|_{\partial\Omega} = 0$ e $M(w) = 0$ é a condição de contorno chamada de *bordo simplesmente suportado*.

Nas próximas seções, onde trabalharemos com a solução do problema, optamos por trabalhar com a condição de contorno de *bordo grampeado*. Essa condição de contorno não expressa o problema original sobre as vibrações de placas finas segundo os experimentos de E. Chladni. Nesse caso, deveríamos estar considerando a condição de *bordo livre*, com o centro da placa preso. Optamos por essa condição, pelo menos para um estudo inicial, pelo fato de esta apresentar equações mais simples a serem satisfeitas na fronteira. Porém o tratamento desse caso será feito de modo que seja útil para o trabalho no caso de bordo livre.

Observação: As condições naturais de contorno podem ser obtidas apenas do funcional energia potencial. Em grande parte da literatura estudada, observamos que, apesar de termos um problema temporal e espacial, na busca das condições de contorno naturais, utiliza-se apenas o funcional energia potencial (ao invés de considerar juntamente a energia cinética e, portanto, a energia total). Entretanto as condições de contorno naturais dizem respeito a toda a equação diferencial parcial (com sua parte temporal) e, portanto, à energia total do sistema. O motivo de podermos olhar apenas para a parte espacial do funcional energia, e considerar, portanto, somente a energia potencial na busca por condições de contorno naturais é que, ao fazermos a variação do Lagrangiano (como foi feito na subseção acima), é possível integrar a parcela da energia cinética separadamente e por partes na variável temporal t . Essa integral resultará num termo de fronteira que envolve $\eta(x, t) \Big|_{t_0}^{t_1}$ (que por definição do princípio de Hamilton dever ser zero), e numa parte onde aparece o termo temporal da EDP (1.24). Deixando a integral temporal para fora (trocando-a com a integral da parte espacial) é possível tratar a parte espacial de maneira independente do tempo, e assim, obter a parte espacial da EDP e as condições de contorno relativas à essa parte, como é possível ver em (1.24) e (1.27). A conclusão é que mesmo trabalhando com a minimização do funcional Ação relativa à energia total, em algum momento, trabalhamos apenas com a parte espacial da energia potencial (dentro da integral temporal, mas independente dela) do problema, de onde surgem as condições de contorno da parte espacial. Daí percebemos que poderíamos ter buscado as condições de contorno somente com o funcional energia potencial.

1.3 Solução

Nesta seção, resolveremos, até certo ponto, a equação diferencial (1.1), considerando a condição inicial $w(x, y, t) = 0$ em $t = 0$ e a condição de contorno *bordo grampeado*: $w = 0$ e $\frac{\partial w}{\partial \vec{n}} = 0$.

Usamos a técnica de separação de variáveis, supondo que a função $w(x, y, t)$ procurada é da forma

$$w(x, y, t) = u(x, y) \cdot v(t) \quad (1.34)$$

e substituindo essa equação em (1.1):

$$\begin{aligned} D\Delta\Delta w + \rho w_{tt} &= D\Delta\Delta[u(x, y) \cdot v(t)] + \rho \frac{\partial^2 [u(x, y) \cdot v(t)]}{\partial t^2} = \\ &= D\Delta\Delta u(x, y) \cdot v(t) + \rho v''(t) \cdot u(x, y) . \end{aligned}$$

Impondo que

$$D\Delta\Delta w + \rho w_{tt} = 0$$

obtemos

$$D\Delta\Delta u(x, y) \cdot v(t) = -\rho v''(t) \cdot u(x, y) .$$

Como estamos buscando uma solução não trivial, consideramos as funções $u(x, y)$ e $v(t)$ não nulas e podemos dividir a expressão acima por $u(x, y) \cdot v(t)$, obtendo:

$$D \frac{\Delta\Delta u(x, y)}{u(x, y)} = -\rho \frac{v''(t)}{v(t)} ,$$

que nos leva à condição

$$\frac{\Delta\Delta u(x, y)}{u(x, y)} = -\frac{\rho}{D} \frac{v''(t)}{v(t)} = cte = \lambda ,$$

uma vez que os lados direito e esquerdo da igualdade dependem de variáveis distintas.

Então temos que :

$$\frac{\Delta\Delta u(x, y)}{u(x, y)} = \lambda \quad (1.35)$$

e

$$-\frac{\rho}{D} \frac{v''(t)}{v(t)} = \lambda . \quad (1.36)$$

Da equação (1.35), $u(x, y)$ deverá satisfazer o seguinte problema de autovalor nas variáveis x e y :

$$\Delta\Delta u(x, y) = \lambda u(x, y) ,$$

com condição de contorno

$$u(x, y) = 0 \quad \text{e} \quad \frac{\partial u(x, y)}{\partial \vec{n}} = 0 \quad \text{para} \quad (x, y) \in \partial\Omega .$$

A 2ª identidade de Green é útil neste momento, para entendermos algumas restrições para λ . Da expressão da 2ª Identidade de Green para $\varphi = u$ e $\psi = \Delta u$ temos que

$$\iint_{\Omega} u\Delta(\Delta u) - \Delta u\Delta u \, dx dy = \int_{\partial\Omega} u \frac{\partial}{\partial \vec{n}} \Delta u - \Delta u \frac{\partial u}{\partial \vec{n}} \, ds .$$

Aplicando a definição do problema de autovalor juntamente com as condições de contorno, temos que

$$\lambda \iint_{\Omega} u^2 = \iint_{\Omega} (\Delta u)^2 \, dx dy .$$

Como $u \neq 0$ (pois não consideramos a solução nula como autofunção), concluímos que $\lambda > 0$.

A partir daqui não é possível fazer a separação das variáveis espaciais x e y , de modo semelhante ao que foi feito no início da seção para separar variáveis espaciais e temporais, ou como é possível fazer no caso da equação da onda no retângulo (membrana vibrante). Assim, optamos por buscar uma solução numérica para esse problema de autovalor, utilizando o Método de Elementos Finitos, num domínio Ω que seja uma região simples qualquer de bordo poligonal.

De (1.36), obtemos o problema de autovalor na variável t :

$$-v''(t) = \frac{\lambda D}{\rho} v(t) ,$$

que resulta na equação diferencial ordinária

$$v''(t) + \omega^2 v(t) = 0$$

com

$$\omega^2 \stackrel{def}{=} \frac{\lambda D}{\rho} ,$$

uma vez que $\lambda > 0$ e, cuja solução $v(t)$, é uma combinação linear de funções da forma

$$e^{\omega it} \quad \text{e} \quad e^{-\omega it} .$$

Assim $v(t)$ deverá ser uma função do tipo

$$v(t) = A \cos(\omega t + \phi) , \tag{1.37}$$

em que ϕ é fase e ω representa a frequência angular do movimento. Além disso, λ depende dos parâmetros da EDP original: $\lambda = \frac{\omega^2 \rho}{D}$.

1.3.1 Análise e forma de apresentação dos resultados

O objetivo aqui é falar da apresentação dos resultados para o problema de autovalor nas variáveis espaciais:

$$\Delta \Delta u = \lambda u .$$

É bom ter em conta como os autovalores e, portanto, as frequências de vibração, são influenciados por variações no tamanho (homotetias) da placa. De forma geral, quanto maior a placa, menor é a frequência de vibração. Dessa forma, escolher uma maneira padronizada de se apresentar os resultados obtidos é importante, para que esses possam ser comparados com resultados provenientes de outros tamanhos de placas. Falaremos então sobre como apresentar os autovalores de uma forma padronizada (normalizada), de modo que os valores não dependam do tamanho da placa, mas apenas de seu formato.

Ao resolver o problema de autovalor $\Delta \Delta u = \lambda u$ obteremos autovalores λ e, para cada um deles,

uma autofunção associada $u(x, y)$, que nos fornece um modo de vibração. Vimos na seção acima uma expressão para o autovalor, que depende das constantes da EDP e da frequência de vibração:

$$\lambda = \frac{\omega^2 \rho}{D}. \quad (1.38)$$

Para observar como os autovalores e, portanto, as frequências de vibração variam sob homotetias, consideramos uma placa que chamaremos de “placa zero” de dimensão a . Aqui chamaremos de dimensão da placa alguma medida (cuja escolha depende do formato da placa) escolhida para caracterizar o tamanho da placa (por exemplo, se a placa for quadrada a dimensão pode ser o lado, se a placa for retangular, usamos o lado menor, no caso de um triângulo isósceles, usamos o tamanho de um dos lados congruentes).

Seja P uma placa de dimensão a e P' a placa α vezes maior, imagem da homotetia:

$$\begin{aligned} H : \mathbb{R}^2 &\longrightarrow \mathbb{R}^2 \\ (x, y) &\longmapsto (\alpha x, \alpha y) \end{aligned} \quad (1.39)$$

Seja $w_0(x, y, t) = u_0(x, y) \cdot v_0(t)$ a solução da EDP na placa P . Defina

$$w(x, y, t) = w_0\left(\frac{x}{\alpha}, \frac{y}{\alpha}, ct\right), \quad (1.40)$$

em que c é um fator que vai indicar a influência da homotetia sobre a parte temporal da solução, e portanto, sobre a frequência de vibração ω . Essa constante depende do parâmetro α da homotetia e será determinada a seguir.

Na placa P , $u_0(x, y)$ e $v_0(t)$ satisfazem

$$\Delta \Delta u_0 = \lambda_0 u_0 \quad \text{e} \quad v_0''(t) = \frac{-\lambda_0 D}{\rho} v_0(t)$$

e, portanto, $v_0(t) = A \cos(\omega_0 t)$ com $\omega_0 = \sqrt{\frac{\lambda_0 D}{\rho}}$ (estabelecemos a fase $\phi = 0$, sem perda de generalidade).

Calculamos as derivadas de w :

$$\begin{aligned} \frac{\partial^2}{\partial t^2} w(x, y, t) &= c^2 \frac{\partial^2}{\partial t^2} w_0\left(\frac{x}{\alpha}, \frac{y}{\alpha}, ct\right), \\ \Delta w(x, y, t) &= \frac{1}{\alpha^2} \Delta w_0\left(\frac{x}{\alpha}, \frac{y}{\alpha}, ct\right), \end{aligned}$$

e

$$\Delta \Delta w = \frac{1}{\alpha^4} \Delta \Delta w_0. \quad (1.41)$$

Na placa P' , w é solução de $D \Delta \Delta w + \rho \frac{\partial^2}{\partial t^2} w = 0$ se e somente se w_0 é solução de $D \frac{1}{\alpha^4} \Delta \Delta w_0 + \rho c^2 \frac{\partial^2}{\partial t^2} w_0 = 0$.

Então, w é solução se e somente se

$$c^2 \alpha^4 = 1 \Leftrightarrow c = \frac{1}{\alpha^2} .$$

Assim,

$$w(x, y, t) = u(x, y) \cdot v(t), \quad u(x, y) = u_0 \left(\frac{x}{\alpha}, \frac{y}{\alpha} \right) \quad \text{e} \quad v(t) = v_0 \left(\frac{t}{\alpha^2} \right) .$$

Da última expressão, temos que

$$\cos(\omega t) = \cos \left(\frac{\omega_0}{\alpha^2} t \right) ,$$

logo

$$\omega = \frac{\omega_0}{\alpha^2} \tag{1.42}$$

Da relação $\omega_0 = \sqrt{\frac{\lambda_0 D}{\rho}}$, temos que $\lambda_0 = \omega_0^2 \frac{\rho}{D}$ e então,

$$\lambda = \omega^2 \frac{\rho}{D} = \frac{\omega_0^2}{\alpha^4} \frac{\rho}{D} = \frac{\lambda_0}{\alpha^4} . \tag{1.43}$$

Assim, concluímos que a homotetia de fator α no tamanho da placa faz a frequência ω ficar dividida por α^2 e o autovalor λ por α^4 . Se a placa P tem tamanho a , a placa P' terá tamanho αa . Se ω_0 e λ_0 são a frequência e autovalor encontrado em P , a frequência ω e autovalor λ encontrados em P' são : $\omega = \frac{\omega_0}{\alpha^2}$ e $\lambda = \frac{\lambda_0}{\alpha^4}$.

Ou seja com o aumento no tamanho da placa, temos a diminuição do autovalor e da frequência, e portanto essas duas quantidades que caracterizam a vibração da placa dependem do tamanho da placa.

Uma maneira de apresentar os resultados obtidos para os autovalores é, ao invés de apresentar os valores em si, apresentar uma quantidade normalizada que represente esse parâmetro e o modo de vibração, que independa do tamanho da placa, mas apenas de seu formato. A quantidade escolhida para apresentar os resultados obtidos de autovalor será, neste trabalho, chamada de *coeficiente de frequência* e será representada pela letra κ :

$$\kappa = \omega \sqrt{\frac{\rho}{D}} a^2 . \tag{1.44}$$

Note que κ é uma constante adimensional e ela independe do tamanho da placa. Se κ_0 e κ são os coeficientes de frequência das placas P e P' , respectivamente, temos, para a placa P ,

$$\kappa_0 = \omega_0 \sqrt{\frac{\rho}{D}} a^2$$

e, para a placa P' ,

$$\kappa = \omega \sqrt{\frac{\rho}{D}} (\alpha a)^2 = \frac{\omega_0}{\alpha^2} \sqrt{\frac{\rho}{D}} \alpha^2 a^2 = \omega_0 \sqrt{\frac{\rho}{D}} a^2 = \kappa_0 .$$

Cada autovalor está associado a um modo de vibração. Para placas de mesmo formato, os autovalores se alteram, mas os modos de vibração não. Apresentar então o coeficiente de frequência κ nos dá uma única constante associada a cada modo de vibração.

Essa constante κ será utilizada na apresentação dos resultados obtidos.

1.4 Formulação variacional ou fraca do problema de autovalor

Estamos interessados em resolver, numericamente, o problema de autovalor

$$\Delta\Delta u = \lambda u \quad \text{em} \quad \Omega \subset \mathbb{R}^2, \quad (1.45)$$

com condição de contorno

$$u = 0 \quad \text{e} \quad \frac{\partial u}{\partial \vec{n}} = 0 \quad \text{em} \quad \Omega. \quad (1.46)$$

Para resolver esse problema pelo método de Elementos Finitos, precisamos escrevê-lo numa forma diferente, chamada de *forma fraca* ou *variacional*. É nessa forma que o problema será discretizado, e a partir dela buscaremos, numericamente, uma solução.

Uma solução clássica de (1.45) com condição de contorno (1.46) é uma função quatro vezes continuamente diferenciável em Ω e pelo menos continuamente diferenciável em $\partial\Omega$. Considere uma função $v \in C(\Omega)$. Multiplicando a equação (1.45) por v , podemos integrá-la e obtemos

$$\iint_{\Omega} (\Delta\Delta u)v \, dx dy = \iint_{\Omega} \lambda uv \, dx dy. \quad (1.47)$$

Por outro lado, se $u \in C^4(\Omega)$ e $v \in C(\Omega)$, e vale (1.47), então u é solução clássica de (1.45). Se v for $C^2(\bar{\Omega})$, então é possível usar a 2ª Identidade de Green e obter

$$\iint_{\Omega} \Delta u \Delta v \, dx dy = \iint_{\Omega} \lambda uv \, dx dy,$$

uma equação que faz sentido se $u, v \in C^2(\Omega)$, o que é uma exigência menor (para u) do que a que tínhamos antes em Ω . A ideia de apresentar o problema clássico (1.45) numa forma integral e relaxar condições sobre diferenciabilidade da solução é o que está por trás da *forma fraca*.

1.4.1 Conceito básicos

Nesta subseção, estabeleceremos conceitos e definições importantes para trabalharmos com a forma fraca de uma EDP. Consideraremos $\Omega \subset \mathbb{R}^n$ um subconjunto aberto e limitado e $x = (x_1, x_2, \dots, x_n) \in \mathbb{R}^n$. As definições e considerações a seguir foram baseadas em [7] e [1]. No tratamento clássico de EDP's, as soluções devem ser contínuas e por isso podemos trabalhar com espaços $C^k(\bar{\Omega})$, que contêm derivadas contínuas até ordem k , num certo domínio Ω . Quando a forma forte de uma EDP é passada para a forma fraca ou variacional, então, ao invés de diferenciabilidade ponto a ponto ser exigida, é preciso apenas garantir a existência de algumas integrais que contêm a função desconhecida e certas derivadas dela. Assim, faz sentido usar espaços de funções que são especialmente adequados à essa situação. Esses espaços, são os *Espaços de Sobolev*, que consistem numa generalização dos espaços L_p . Neste trabalho consideraremos a classe particular de espaços de Sobolev que consiste numa generalização do espaço de Hilbert

$$L_2(\Omega) = \left\{ v : \Omega \subset \mathbb{R}^n \longrightarrow \mathbb{R} : \int_{\Omega} |v(x)|^2 \, dx < +\infty \right\},$$

cuja norma é definida por

$$\|v\|_{L_2(\Omega)} = \left(\int_{\Omega} |v(x)|^2 \, dx \right)^{1/2},$$

proveniente do produto interno

$$\langle u, v \rangle = \int_{\Omega} u(x)v(x) \, dx, \quad \forall u, v \in L_2(\Omega).$$

Vale ressaltar que $L_2(\Omega)$ é, na verdade, o conjunto das classes de equivalência das funções que são iguais a menos de um conjunto de medida nula. Apesar disso, neste trabalho, trataremos os elementos de $L_2(\Omega)$ como funções, exceto nos casos que se fizerem necessários.

Precisaremos também do conceito de *derivada fraca* ou *generalizada*, definição importante para a definição de Espaços de Sobolev. Para isso, considere as definições a seguir.

Denotaremos por $cl_V A$ o fecho de um conjunto $A \subset V$ com respeito a topologia do espaço V . Para $v \in C(\bar{\Omega})$, o *suporte* de v é definido como

$$supp \, v = cl_{\mathbb{R}^n} \{x \in \Omega : v(x) \neq 0\}.$$

Definimos também

$$C_0^\infty(\Omega) = \{v \in C^\infty(\Omega) : supp \, v \subset \Omega\}.$$

Em particular, se $v \in C_0^\infty$ então v se anula em $\partial\Omega$.

Também é importante o teorema de integração por partes em várias variáveis. Para funções arbitrárias $u \in C^1(\bar{\Omega})$ e $v \in C_0^\infty(\Omega)$ temos que

$$\int_{\Omega} u \frac{\partial v}{\partial x_i} \, dx = \int_{\partial\Omega} u v n_i \, ds - \int_{\Omega} v \frac{\partial u}{\partial x_i} \, dx, \quad (1.48)$$

em que n_i é a i -ésima componente do vetor normal \vec{n} à fronteira $\partial\Omega$, apontando para fora. Como $v \in C_0^\infty(\Omega)$, então a integral de fronteira se anula, e obtemos a expressão

$$\int_{\Omega} u \frac{\partial v}{\partial x_i} \, dx = - \int_{\Omega} v \frac{\partial u}{\partial x_i} \, dx, \quad (1.49)$$

que é o ponto de partida para a definição de *derivada fraca* ou *generalizada*.

A seguinte notação, chamada de *multi-índice* será usada para denotar derivadas parciais de uma função $f : \mathbb{R}^n \rightarrow \mathbb{R}$. Um *múlti-índice* α é um vetor de \mathbb{N}^n , $\alpha = (\alpha_1, \alpha_2, \dots, \alpha_n)$, de tamanho $|\alpha| = \alpha_1 + \alpha_2 + \dots + \alpha_n$. A derivada parcial de f , de ordem $|\alpha|$, com respeito ao multi-índice α é denotada por

$$D^\alpha f = \frac{\partial^{|\alpha|}}{\partial x_1^{\alpha_1} \partial x_2^{\alpha_2} \dots \partial x_n^{\alpha_n}} f.$$

A expressão (1.49), motiva a seguinte definição.

Definição 1.4.1. Dizemos que uma função integrável u é diferenciável no sentido fraco ou generalizado, com relação ao multi-índice α , se existir uma função integrável w tal que

$$\int_{\Omega} w v \, dx = (-1)^{|\alpha|} \int_{\Omega} D^\alpha v u \, dx, \quad \forall v \in C_0^\infty(\Omega). \quad (1.50)$$

A função $w = D^\alpha u$ é chamada de derivada fraca (ou generalizada) da função u com respeito ao multi-índice α .

Agora estamos prontos para definir o espaço de Sobolev que vamos utilizar.

Definição 1.4.2. *Seja $l \in \mathbb{N}$ ($l \geq 0$). Considere o espaço de todas as funções de $L_2(\Omega)$ cujas derivadas fracas até ordem l existem e pertencem a $L_2(\Omega)$. Esse subespaço é chamado de espaço de Sobolev $H^l(\Omega)$. Em outras palavras:*

$$H^l(\Omega) = \left\{ v \in L_2(\Omega) : \int_{\Omega} |D^\alpha v|^2 dx < +\infty, \quad \forall \alpha \text{ tal que } |\alpha| \leq l \right\} .$$

$H^l(\Omega)$ é um espaço de Hilbert, com produto interno dado por

$$\langle u, v \rangle = \int_{\Omega} \left(\sum_{|\alpha| \leq l} D^\alpha u D^\alpha v \right) dx ,$$

e norma dada por

$$\|u\|_{H^l(\Omega)} = \langle u, u \rangle^{1/2} = \left(\int_{\Omega} \left(\sum_{|\alpha| \leq l} D^\alpha u D^\alpha v \right) dx \right)^{1/2} .$$

Também é frequente o uso da semi-norma

$$|u|_{H^l(\Omega)} = \left(\int_{\Omega} \left(\sum_{|\alpha|=l} D^\alpha u D^\alpha v \right) dx \right)^{1/2} .$$

É possível mostrar que $C^\infty(\Omega)$ é denso em $H^l(\Omega)$. Isso quer dizer que funções em espaços de Sobolev podem ser aproximadas por funções diferenciáveis no sentido clássico. Definimos $H_0^l(\Omega)$ como o fecho de $C_0^\infty(\Omega)$ em $H^l(\Omega)$ e, para $l = 1$ e $l = 2$, seguem as seguintes caracterizações ¹:

$$H_0^1(\Omega) = \{ u \in H^1(\Omega); u = 0 \text{ sobre } \partial\Omega \} ,$$

e

$$H_0^2(\Omega) = \{ u \in H^2(\Omega); u = \partial_n u = 0 \text{ sobre } \partial\Omega \} .$$

No tratamento de problemas elípticos de ordem 4, é adequado o uso de $\bar{H}^2(\Omega)$ ou $H_0^2(\Omega)$, dependendo das condições de contorno consideradas.

1.4.2 Forma fraca

Agora que já sabemos o espaços de funções onde buscaremos nossa solução, vamos formular a forma fraca para o problema (1.45). Por enquanto, diferentemente do exemplo na introdução desta seção, não vamos prescrever condições de contorno para os valores de u e de $\frac{\partial u}{\partial \bar{n}}$, consideraremos esse problema de autovalor “livre de condição de fronteira” i.e., sem predeterminar a condição de fronteira. Desse modo, como vimos na Seção (1.2), chegaremos as expressões $M(u)$ e $P(u)$ das condições de contorno naturais para u .

¹Essas caracterizações decorrem do *Lema do Traço*, um resultado que permite caracterizar/atribuir valores de u e de sua derivada ao longo da fronteira $\partial\Omega$ do domínio aberto Ω . Para mais detalhes a respeito deste Lema, as referências [3] e [1] podem ser consultadas.

A forma fraca pode ser obtida multiplicando-se a equação (1.45) por uma função $v \in C^2(\bar{\Omega})$ e integrando a expressão resultante em Ω .

$$\iint_{\Omega} (\Delta \Delta u) v \, dx dy = \lambda \iint_{\Omega} uv \, dx dy . \quad (1.51)$$

Aplicando a 2ª Identidade de Green para $\varphi = \Delta u$ e $\psi = v$, obtemos:

$$\iint_{\Omega} \Delta u \Delta v \, dx dy - \int_{\partial \Omega} \Delta u \frac{\partial v}{\partial \bar{n}} \, ds + \int_{\partial \Omega} v \frac{\partial}{\partial \bar{n}} (\Delta u) \, ds = \lambda \iint_{\Omega} uv \, dx dy . \quad (1.52)$$

Antes de prosseguirmos, é bom nos determos um pouco sobre essa equação. Da mesma maneira que analisamos (1.30) à luz das condições de contorno, o mesmo podemos tentar fazer agora.

Se nosso objetivo é procurar funções u tais que $u = \frac{\partial u}{\partial \bar{n}} = 0$ em Ω , então faz sentido exigir o mesmo para v : $v = \frac{\partial v}{\partial \bar{n}} = 0$. Neste caso as duas integrais de fronteira seriam nulas, restando-nos a equação

$$\iint_{\Omega} \Delta u \Delta v \, dx dy = \iint_{\Omega} \lambda uv \, dx dy \quad (1.53)$$

como forma fraca de (1.45).

Caso contrário, $v = 0$ ou $\frac{\partial v}{\partial \bar{n}} = 0$ não serão exigidos, o que não permitirá concluir que pelo menos uma das integrais é nula. Uma alternativa para manter (1.53) como forma fraca quando nem v nem $\frac{\partial v}{\partial \bar{n}}$ podem ser consideradas nulas é impor as condições de contorno

$$\begin{aligned} \Delta u &= 0 , \\ \frac{\partial}{\partial \bar{n}} (\Delta u) &= 0 . \end{aligned}$$

que seriam de 2ª e 3ª ordens.

O problema dessa abordagem é que não nos livraríamos das condições naturais discutidas na Seção (1.2), e ficaríamos com quatro condições no total, o que poderia nos levar a um problema sem solução.

Para compatibilizar tudo isso olhamos para (1.32) e (1.33) e, agora sem a dependência temporal, definimos

$$\begin{aligned} M(u) &= -\Delta u + (1 - \nu)(u_{xx} \sin^2 \theta - 2u_{xy} \cos \theta \sin \theta + u_{yy} \cos^2 \theta) \\ P(u) &= \frac{\partial}{\partial \bar{n}} (\Delta u) + (1 - \nu) \frac{d}{ds} [(u_{yy} - u_{xx}) \cos \theta \sin \theta + u_{xy} (\cos^2 \theta - \sin^2 \theta)] . \end{aligned} \quad (1.54)$$

Colocando Δu em função de $M(u)$ e $\frac{\partial}{\partial \bar{n}} (\Delta u)$ em função de $P(u)$, o lado esquerdo de (1.52) se

torna

$$\begin{aligned}
& \iint_{\Omega} \Delta u \Delta v \, dx dy - \int_{\partial\Omega} \frac{\partial v}{\partial \vec{n}} [-M(u) + (1 - \nu)(u_{xx} \sin^2 \theta - 2u_{xy} \cos \theta \sin \theta + u_{yy} \cos^2 \theta)] \, ds \\
& \quad + \int_{\partial\Omega} v [P(u) - (1 - \nu)] \frac{d}{ds} [(u_{yy} - u_{xx}) \cos \theta \sin \theta + u_{xy}(\cos^2 \theta - \sin^2 \theta)] \, ds = \\
& \iint_{\Omega} \Delta u \Delta v \, dx dy - \int_{\partial\Omega} (1 - \nu) \frac{\partial v}{\partial \vec{n}} [u_{xx} \sin^2 \theta - 2u_{xy} \cos \theta \sin \theta + u_{yy} \cos^2 \theta] \, ds + \\
& \quad + \int_{\partial\Omega} (1 - \nu) v \frac{d}{ds} [(u_{xx} - u_{yy}) \cos \theta \sin \theta + u_{xy}(\sin^2 \theta - \cos^2 \theta)] \, ds + \\
& \quad \quad \quad + \int_{\partial\Omega} \frac{\partial v}{\partial \vec{n}} M(u) + \int_{\partial\Omega} v P(u) \, ds \quad (1.55)
\end{aligned}$$

A partir daqui trabalharemos com a segunda e terceira parcelas de (1.55). Para facilitar, chamaremos essas parcelas de (A) e (B).

$$\begin{aligned}
& \underbrace{\int_{\partial\Omega} (1 - \nu) v \frac{d}{ds} [(u_{xx} - u_{yy}) \cos \theta \sin \theta + u_{xy}(\sin^2 \theta - \cos^2 \theta)] \, ds}_{(A)} + \\
& \quad - \underbrace{\int_{\partial\Omega} (1 - \nu) \frac{\partial v}{\partial \vec{n}} [u_{xx} \sin^2 \theta - 2u_{xy} \cos \theta \sin \theta + u_{yy} \cos^2 \theta] \, ds}_{(B)} \quad (1.56)
\end{aligned}$$

Em (A), vamos integrar por partes em s , e usar como as derivadas parciais de v nas direções canônicas se relacionam com as derivadas parciais de v nas direções normal e tangente:

$$\begin{bmatrix} \partial_{\vec{n}} v \\ \partial_s v \end{bmatrix} = \begin{bmatrix} \cos \theta & \sin \theta \\ -\sin \theta & \cos \theta \end{bmatrix} \begin{bmatrix} v_x \\ v_y \end{bmatrix}. \quad (1.57)$$

Daí, temos que:

$$\begin{aligned}
(A) &= \int_{\partial\Omega} (1-\nu)v \frac{d}{ds} [(u_{xx} - u_{yy}) \cos\theta \sin\theta + u_{xy}(\sin^2\theta - \cos^2\theta)] ds = \\
&= (1-\nu)v \underbrace{[\sin\theta \cos\theta(u_{xx} - u_{yy}) + (\sin^2\theta - \cos^2\theta)u_{xy}] \Big|_{\partial(\partial\Omega)}}_{=0 \text{ pois } \partial(\partial\Omega) = \emptyset} + \\
&(1-\nu) \int_{\partial\Omega} \frac{dv}{ds} [\sin\theta \cos\theta(u_{yy} - u_{xx}) + (\cos^2\theta - \sin^2\theta)u_{xy}] ds = \\
&= (1-\nu) \int_{\partial\Omega} (-\sin\theta v_x + \cos\theta v_y) [\sin\theta \cos\theta(u_{yy} - u_{xx}) + (\cos^2\theta - \sin^2\theta)u_{xy}] ds. \\
(A) &= (1-\nu) \int_{\partial\Omega} -\sin^2\theta \cos\theta v_x (u_{yy} - u_{xx}) + (-\sin\theta)v_x (\cos^2\theta - \sin^2\theta)u_{xy} ds + \\
&(1-\nu) \int_{\partial\Omega} \sin\theta \cos^2\theta v_y (u_{yy} - u_{xx}) + (\cos\theta)v_y (\cos^2\theta - \sin^2\theta)u_{xy} ds. \tag{1.58}
\end{aligned}$$

Em (B), usando novamente a relação (1.57):

$$\begin{aligned}
(B) &= - \int_{\partial\Omega} (1-\nu) \frac{\partial v}{\partial \vec{n}} [u_{xx} \sin^2\theta - 2u_{xy} \cos\theta \sin\theta + u_{yy} \cos^2\theta] ds = \\
&- (1-\nu) \int_{\partial\Omega} (\cos\theta v_x + \sin\theta v_y) [u_{xx} \sin^2\theta - 2u_{xy} \cos\theta \sin\theta + u_{yy} \cos^2\theta] ds = \\
&- (1-\nu) \int_{\partial\Omega} v_x u_{xx} \cos\theta \sin^2\theta + v_x u_{yy} \cos\theta \cos^2\theta - 2v_x u_{xy} \cos^2\theta \sin\theta ds + \\
&- (1-\nu) \int_{\partial\Omega} v_y u_{xx} \sin\theta \sin^2\theta + v_y u_{yy} \sin\theta \cos^2\theta - 2v_y u_{xy} \cos\theta \sin^2\theta ds \tag{1.59}
\end{aligned}$$

Somando (A) e (B), e colocando w_{xx} , w_{xy} e w_{yy} em evidência temos:

$$\begin{aligned}
(A) + (B) = & (1 - \nu) \int_{\partial\Omega} -\sin^2 \theta \cos \theta v_x (u_{yy} - u_{xx}) + (-\sin \theta) v_x (\cos^2 \theta - \sin^2 \theta) u_{xy} \, ds + \\
& (1 - \nu) \int_{\partial\Omega} \sin \theta \cos^2 \theta v_y (u_{yy} - u_{xx}) + (\cos \theta) v_y (\cos^2 \theta - \sin^2 \theta) u_{xy} \, ds + \\
& - (1 - \nu) \int_{\partial\Omega} v_x \cos \theta u_{xx} \sin^2 \theta + v_x \cos \theta u_{yy} \cos^2 \theta - 2v_x \cos^2 \theta \sin \theta u_{xy} \, ds + \\
& - (1 - \nu) \int_{\partial\Omega} v_y \sin \theta u_{xx} \sin^2 \theta + v_y \sin \theta u_{yy} \cos^2 \theta - 2v_y \cos \theta \sin^2 \theta u_{xy} \, ds = \\
& - (1 - \nu) \int_{\partial\Omega} u_{xx} [-\sin^2 \theta \cos \theta v_x + \sin^2 \theta \sin \theta v_y + \sin^2 \theta \cos \theta v_x + \sin \theta \cos^2 \theta v_y] \, ds + \\
& - (1 - \nu) \int_{\partial\Omega} u_{yy} [\cos \theta \cos^2 \theta v_x + \cos^2 \theta \sin \theta v_y + \sin^2 \theta \cos \theta v_x - \sin \theta \cos^2 \theta v_y] \, ds + \\
& - (1 - \nu) \int_{\partial\Omega} u_{xy} [-2 \cos^2 \theta \sin \theta v_x - 2 \sin^2 \theta \cos \theta v_y + \sin \theta (\cos^2 \theta - \sin^2 \theta) v_x] \, ds + \\
& - (1 - \nu) \int_{\partial\Omega} -u_{xy} [v_y \cos \theta (\cos^2 \theta - \sin^2 \theta)] \, ds = \\
& - (1 - \nu) \int_{\partial\Omega} u_{xx} [\sin \theta v_y (\sin^2 \theta + \cos^2 \theta)] + u_{yy} [\cos \theta v_x (\cos^2 \theta + \sin^2 \theta)] \, ds + \\
& - (1 - \nu) \int_{\partial\Omega} u_{xy} [-\cos^2 \theta \sin \theta v_x - \sin^2 \theta \cos \theta v_y - \sin^3 \theta v_x - \cos^3 \theta v_y] \, ds = \\
& - (1 - \nu) \int_{\partial\Omega} \sin \theta (u_{xx} v_y - \sin^2 \theta v_x u_{xy} - \cos^2 \theta v_x u_{xy}) + \cos \theta (u_{yy} v_x - \sin^2 \theta u_{xy} v_y - \cos^2 \theta u_{xy} v_y) \, ds = \\
& - (1 - \nu) \int_{\partial\Omega} \sin \theta (u_{xx} v_y - v_x u_{xy}) + \cos \theta (u_{yy} v_x - u_{xy} v_y) \, ds = (*) \tag{1.60}
\end{aligned}$$

Substituindo em (*): $\sin \theta = -\frac{dx}{ds}$ e $\cos \theta = \frac{dy}{ds}$, e usando o Teorema de Green na primeira igualdade temos que:

$$\begin{aligned}
(A) + (B) = & - (1 - \nu) \int_{\partial\Omega} \left[-(u_{xx} v_y - v_x u_{xy}) \left(\frac{dx}{ds} \right) + (u_{yy} v_x - u_{xy} v_y) \left(\frac{dy}{ds} \right) \right] \, ds = \\
& - (1 - \nu) \iint_{\Omega} \frac{d}{dx} (u_{yy} v_x - u_{xy} v_y) + \frac{d}{dy} (u_{xx} v_y - u_{xy} v_x) \, dxdy = \\
& - (1 - \nu) \iint_{\Omega} u_{yyx} v_x + u_{yy} v_{xx} - u_{xxy} v_y - u_{xy} v_{yx} + u_{xxy} v_y + u_{xx} v_{yy} - u_{xy} v_{yx} - v_x u_{xyy} \, dxdy = \\
& - (1 - \nu) \iint_{\Omega} u_{yy} v_{xx} - u_{xy} v_{yx} + u_{xx} v_{yy} - u_{xy} v_{yx} \, dxdy = \\
& - (1 - \nu) \iint_{\Omega} u_{yy} v_{xx} - 2u_{xy} v_{yx} + u_{xx} v_{yy} \, dxdy \tag{1.61}
\end{aligned}$$

Voltando à equação (1.55) e substituindo o desenvolvimento de (A)+(B) temos

$$\begin{aligned} \iint_{\Omega} \Delta u \Delta v - \underbrace{(1-\nu)[u_{yy}v_{xx} - 2u_{xy}v_{yx} + u_{xx}v_{yy}]}_{(A)+(B)} dx dy + \\ + \int_{\partial\Omega} v P(u) ds + \int_{\partial\Omega} \frac{\partial v}{\partial \bar{n}} M(u) ds \end{aligned} \quad (1.62)$$

e da equação (1.52), chegamos em

$$\begin{aligned} \iint_{\Omega} \Delta u \Delta v - (1-\nu)[u_{yy}v_{xx} - 2u_{xy}v_{yx} + u_{xx}v_{yy}] dx dy + \\ + \int_{\partial\Omega} v P(u) ds + \int_{\partial\Omega} \frac{\partial v}{\partial \bar{n}} M(u) ds = \iint_{\Omega} \lambda uv dx dy \end{aligned} \quad (1.63)$$

A partir desta expressão (1.63), podemos definir a forma fraca para o problema de autovalor para diferentes condições de contorno, e, levando em conta que tal expressão faz sentido se considerarmos funções u e v cujas derivadas até segunda ordem são integráveis (ao invés de considerarmos $u \in C^4(\Omega)$ e $v \in C^1(\Omega)$) utilizaremos espaços de Sobolev para isso.

1. Para

$$\begin{cases} \Delta \Delta u & = \lambda u \\ u = 0 & \text{e } \frac{\partial u}{\partial \bar{n}} = 0 \end{cases}$$

Temos a condição de *bordo grampeado*. Nesse caso, as duas integrais de fronteira desaparecem e a forma fraca se torna: *Encontrar* $u \in H_0^2(\Omega)$ *tal que*

$$\iint_{\Omega} \Delta u \Delta v - (1-\nu)[u_{yy}v_{xx} - 2u_{xy}v_{xy} + v_{xx}u_{yy}] dx dy = \lambda \iint_{\Omega} uv dx dy \quad \forall v \in H_0^2(\Omega). \quad (1.64)$$

2. Para

$$\begin{cases} \Delta \Delta u & = \lambda u \\ u = 0 & \text{e } M(u) = 0 \quad \left(\frac{\partial u}{\partial \bar{n}} \text{ qualquer}\right) \end{cases}$$

Temos a condição de contorno *bordo simplesmente suportado*. As integrais de fronteira também desaparecem e, para definir a forma fraca, é preciso considerar um espaço de Sobolev V em que as condições de contorno $u = M(u) = 0$ façam sentido. Para a condição $u = 0$ em $\partial\Omega$ podemos considerar o espaço $H^2(\Omega) \cap H_0^1(\Omega) = \{u \in H^2(\Omega), v = 0 \text{ sobre } \partial\Omega\}$.

Encontrar $u \in V$ *tal que*

$$\iint_{\Omega} \Delta u \Delta v - (1-\nu)[u_{yy}v_{xx} - 2u_{xy}v_{xy} + v_{xx}u_{yy}] dx dy = \lambda \iint_{\Omega} uv dx dy \quad \forall v \in V. \quad (1.65)$$

3. Para

$$\begin{cases} \Delta \Delta u & = \lambda u \\ M(u) = 0 & \text{e } P(u) = 0 \end{cases}$$

Temos a condição de contorno *bordo livre*. As duas integrais de fronteira desaparecem e, se V é um espaço de Sobolev em que as condições de contorno $P(u) = M(u) = 0$ fazem sentido, obtemos a forma fraca:

Encontrar $u \in V$ tal que

$$\iint_{\Omega} \Delta u \Delta v - (1 - \nu) [u_{yy}v_{xx} - 2u_{xy}v_{xy} + v_{xx}u_{yy}] dx dy = \lambda \iint_{\Omega} uv dx dy \quad \forall v \in V. \quad (1.66)$$

Aqui vale a pena retomar a discussão iniciada após a equação (1.52). Agora a forma fraca se traduz na equação integral

$$\iint_{\Omega} \Delta u \Delta v - (1 - \nu) [u_{yy}v_{xx} - 2u_{xy}v_{xy} + v_{xx}u_{yy}] dx dy = \lambda \iint_{\Omega} uv dx dy, \quad (1.67)$$

que deve ser usada no problema de *fronteira livre*, mas também pode ser usada no problema de *bordo grampeado*.

Então, para o bordo grampeado quaisquer das formulações (1.53) e (1.67) são igualmente válidas.

Sendo assim, no que tange às soluções de (1.67) – autofunções e autovalores, o valor de ν é irrelevante, já que não aparece em (1.53). Ou seja, na condição de bordo grampeado o coeficiente de Poisson não influencia nos autovalores e nas autofunções.

Por outro lado, não se pode esquecer que o coeficiente de Poisson também está associado à frequência de vibração. Vimos na Seção (1.3) que

$$\omega = \sqrt{\frac{\lambda D}{\rho}},$$

em que $D = \frac{Eh^3}{12(1 - \nu^2)}$. Quando ν tende a 1 a frequência tende a infinito. No entanto, estando a parte temporal separada da espacial, pode-se muito bem considerar o coeficiente de Poisson correto (i.e. adequado ao tipo de material) para a frequência de vibração, ao mesmo tempo escolhendo um valor arbitrário, digamos $\tilde{\nu}$ para ser usado na equação (1.67).

Este assunto será retomado na Subseção (4.4) quando testaremos a dependência em ν das soluções espaciais, do ponto de vista do resultado numérico.

1.4.3 Existência de solução, caracterização do espectro e autovalores

Vamos continuar nosso estudo teórico do problema de autovalor (1.45). O objetivo desta subseção é mostrar que a solução fraca para esse problema existe e apresentar uma maneira de buscar (numericamente) essa solução.

Considere o problema de autovalor (1.45)

$$\begin{cases} \Delta \Delta u & = \lambda u \\ u = 0 & \text{e } \frac{\partial u}{\partial \bar{n}} = 0 \end{cases}$$

em que $u \in C^4(\Omega) \cap C^1(\bar{\Omega})$ e $\lambda \in \mathbb{R}_+^*$, cuja formulação fraca é encontrar $u \in H_0^2(\Omega)$ e $\lambda \in \mathbb{R}_+^*$ tais

que

$$\iint_{\Omega} \Delta u \Delta v - (1 - \nu) [u_{yy}v_{xx} - 2u_{xy}v_{xy} + v_{xx}u_{yy}] \, dx dy = \lambda \iint_{\Omega} uv \, dx dy \quad \forall v \in H_0^2(\Omega). \quad (1.68)$$

com $0 \leq \nu < 1$.

Vamos mostrar, com base na literatura, que existe uma base ortonormal enumerável $\{u_i\}_{i \in \mathbb{N}}$ de $H_0^2(\Omega)$ e uma sequência $\{\lambda_i\}_{i \in \mathbb{N}} \subset \mathbb{R}_+^*$ tal que $\lambda_i \rightarrow \infty$, tais que para cada $i \in \mathbb{N}$, o par (u_i, λ_i) satisfaz (1.68). Essa é uma forma de se responder ao problema de autovalor formulado em (1.45). Vamos reduzir o estudo desse problema variacional ao estudo do espectro de um operador compacto e auto-ajunto em um espaço de Hilbert adequado.

Para isso, precisaremos de mais alguns conceitos e resultados importantes que apresentaremos a seguir. Nos baseamos nas referências [1], [7] [11], que podem ser consultadas para um estudo mais profundo.

Lema 1.4.1. *Quando o conjunto Ω é limitado, a seminorma $|\cdot|_{H_0^1(\Omega)}$ é uma norma em $H_0^1(\Omega)$, equivalente ² à norma $\|\cdot\|_{H_0^1(\Omega)}$.*

A demonstração pode ser consultada em [1].

Lema 1.4.2. *Para toda função $v \in H_0^2(\Omega)$, $\|\Delta v\|_{L_2(\Omega)} = |v|_{H_0^2(\Omega)}$. Isso implica que, sobre $H_0^2(\Omega)$, a semi-norma $v \mapsto \|\Delta v\|_{L_2(\Omega)}$ é uma norma equivalente a norma $\|\cdot\|_{H_0^2(\Omega)}$.*

Demonstração:

$$(\|\Delta v\|_{L_2(\Omega)})^2 = \iint_{\Omega} |\Delta u|^2 \, dx dy = \iint_{\Omega} (u_{xx} + u_{yy})^2 \, dx dy = \iint_{\Omega} u_{xx}^2 + u_{yy}^2 + 2u_{xx}u_{yy} \, dx dy$$

e

$$\left(|v|_{H_0^2(\Omega)}\right)^2 = \iint_{\Omega} \sum_{|\alpha|=2} |\partial^\alpha u|^2 \, dx dy = \iint_{\Omega} u_{xx}^2 + u_{yy}^2 + 2u_{xy}^2 \, dx dy.$$

Para mostrar a igualdade entre as normas, basta mostrar que $\iint_{\Omega} u_{xx}u_{yy} \, dx dy = \iint_{\Omega} u_{xy}^2 \, dx dy$. Isso é feito usando a fórmula de integral por partes (1.48) duas vezes:

$$\begin{aligned} \iint_{\Omega} u_{xy}u_{xy} \, dx dy &= \int_{\partial\Omega} u_x u_{xy} \, dx dy - \int_{\Omega} u_x u_{xxy} \, dx dy = \\ &= \int_{\partial\Omega} u_x u_{xy} \, dx dy - \left[\int_{\partial\Omega} u_x u_{yy} \, dx dy - \int_{\Omega} u_{xx}u_{yy} \, dx dy \right] = \\ &= \underbrace{\int_{\partial\Omega} u_x u_{xy} \, dx dy - \int_{\partial\Omega} u_x u_{yy} \, dx dy}_{=0, \text{ pois } u \in H_0^2(\Omega)} + \int_{\Omega} u_{xx}u_{yy} \, dx dy \end{aligned} \quad (1.69)$$

Logo, $\|\Delta v\|_{L_2(\Omega)} = |v|_{H_0^2(\Omega)}$, como queríamos. \square

²Duas normas $\|\cdot\|_1$ e $\|\cdot\|_2$, num mesmo espaço normado X , são equivalentes se existirem constantes reais e positivas β_1, β_2 tais que $\beta_1\|u\|_1 \leq \|u\|_2 \leq \beta_2\|u\|_1$, $\forall u \in X$.

Definição 1.4.3 (Coercividade). *Seja V um espaço vetorial normado sobre \mathbb{R} . Uma forma bilinear $a : V \times V \rightarrow \mathbb{R}$ é dita coerciva (ou V-elíptica) se existe uma constante $\alpha > 0$ tal que*

$$a(u, u) \geq \alpha \|u\|^2 \quad \forall u \in V .$$

Teorema 1.4.1 (Lax-Milgram). *Sejam V um espaço de Hilbert, $f : V \rightarrow \mathbb{R}$ um funcional linear e $a : V \times V \rightarrow \mathbb{R}$ uma forma bilinear contínua e coerciva. Então o problema variacional abstrato*

$$a(u, v) = f(v) , \quad \forall v \in V$$

possui uma única solução $u \in V$.

Seja $a(u, v)$ o lado esquerdo da equação (1.68):

$$a(u, v) = \iint_{\Omega} \Delta u \Delta v - (1 - \nu) [u_{yy} v_{xx} - 2u_{xy} v_{xy} + v_{xx} u_{yy}] \, dx dy .$$

Teorema 1.4.2. *A função $a : H_0^2(\Omega) \times H_0^2(\Omega) \rightarrow \mathbb{R}$ definida pela expressão acima é uma forma bilinear, simétrica, contínua, coerciva e definida positiva.*

Dem.: A simetria e a bilinearidade de $a(u, v)$ são imediatas. Continuidade:

$$\begin{aligned} |a(u, v)| &= \left| \iint_{\Omega} \Delta u \Delta v \, dx dy - (1 - \nu) \iint_{\Omega} [u_{yy} v_{xx} - 2u_{xy} v_{xy} + v_{xx} u_{yy}] \, dx dy \right| \leq \\ &\leq \left| \iint_{\Omega} \Delta u \Delta v \, dx dy \right| + |(1 - \nu)| \left| \iint_{\Omega} [u_{yy} v_{xx} - 2u_{xy} v_{xy} + v_{xx} u_{yy}] \, dx dy \right| \leq \\ &\leq \left| \iint_{\Omega} \Delta u \Delta v \, dx dy \right| + \left\{ \left| \iint_{\Omega} u_{yy} v_{xx} \, dx dy \right| + \left| \iint_{\Omega} 2u_{xy} v_{xy} \, dx dy \right| + \left| \iint_{\Omega} v_{xx} u_{yy} \, dx dy \right| \right\} , \end{aligned} \tag{1.70}$$

onde usamos a desigualdade triangular e o fato de $0 \leq \nu < 1$. Aplicando a desigualdade de Hölder³ em cada parcela, utilizando o Lema 1.4.2 e considerando que $\|D^\alpha u\|_{L_2} \leq \|u\|_{H_0^2(\Omega)}$, $\forall \alpha$ tal que $|\alpha| = 2$ obtemos

$$\begin{aligned} |a(u, v)| &\leq \|\Delta u\|_{L_2(\Omega)} \|\Delta v\|_{L_2(\Omega)} + \|u_{xx}\|_{L_2(\Omega)} \|v_{yy}\|_{L_2(\Omega)} + \|u_{yy}\|_{L_2(\Omega)} \|v_{xx}\|_{L_2(\Omega)} + 2\|u_{xy}\|_{L_2(\Omega)} \|v_{xy}\|_{L_2(\Omega)} \leq \\ &\leq \|u\|_{H_0^2(\Omega)} \|v\|_{H_0^2(\Omega)} + \|u\|_{H_0^2(\Omega)} \|v\|_{H_0^2(\Omega)} + \|u\|_{H_0^2(\Omega)} \|v\|_{H_0^2(\Omega)} + 2\|u\|_{H_0^2(\Omega)} \|v\|_{H_0^2(\Omega)} = 5\|u\|_{H_0^2(\Omega)} \|v\|_{H_0^2(\Omega)} . \end{aligned} \tag{1.71}$$

A equivalência entre a norma e a seminorma de $H_0^2(\Omega)$, (lema 1.4.1) nos permite concluir que existe uma constante $M > 0$ tal que

$$|a(u, v)| \leq M \|u\|_{H_0^2} \|v\|_{H_0^2}$$

e, portando, a forma bilinear $a(u, v)$ é contínua.

³A desigualdade de Hölder afirma que $\left| \int_{\Omega} f(x)g(x) \, dx \right| \leq \left(\int_{\Omega} |f(x)|^p \right)^{1/p} \left(\int_{\Omega} |g(x)|^q \right)^{1/q}$ em que $f, g : \Omega \subset \mathbb{R}^n \rightarrow \mathbb{R}$, $f \in L^p(\Omega)$ e $g \in L^q(\Omega)$. Aqui, a desigualdade foi usada para $p = q = 2$.

Coercividade: $a(u, u) = \iint_{\Omega} (\Delta u)^2 dx dy - (1 - \nu) \iint_{\Omega} [2u_{yy}u_{xx} - 2u_{xy}^2] dx dy$ pode ser escrita da forma $a(u, u) = \iint_{\Omega} \nu(\Delta u)^2 + (1 - \nu)u_{xx}^2 + u_{yy}^2 + 2u_{xy}^2 dx dy$. A partir daí temos

$$\begin{aligned} a(u, u) &= \iint_{\Omega} \nu(\Delta u)^2 + (1 - \nu)u_{xx}^2 + u_{yy}^2 + 2u_{xy}^2 dx dy = \\ &= \nu \iint_{\Omega} |\Delta u|^2 dx dy + (1 - \nu) \iint_{\Omega} |u_{xx}|^2 + |u_{yy}|^2 + 2|u_{xy}|^2 dx dy = \\ &= \nu(\|\Delta u\|_{L_2(\Omega)})^2 + (1 - \nu)\|u\|_{H_0^2}^2 = \nu(\|u\|_{H_0^2})^2 + (1 - \nu)\|u\|_{H_0^2}^2 = \|u\|_{H_0^2}^2 \geq \alpha\|u\|_{H_0^2}^2, \text{ com } \alpha > 0. \end{aligned} \quad (1.72)$$

em que na penúltima igualdade utilizamos o Lema 1.4.2 e a constante $\alpha > 0$ vem da equivalência entre a norma e a seminorma de $H_0^2(\Omega)$ (Lema 1.4.1).

A coercividade garante que $a(u, v)$ é definida positiva. \square

Agora, considere a função

$$\begin{aligned} \Lambda : H_0^2(\Omega) &\longrightarrow (H_0^2(\Omega))' \\ u &\longmapsto \Lambda[u] \end{aligned} \quad (1.73)$$

que mapeia o espaço de Hilbert $H_0^2(\Omega)$ no seu dual. Para cada $u \in H_0^2(\Omega)$, o funcional linear

$$\begin{aligned} \Lambda[u] : H_0^2(\Omega) &\longrightarrow \mathbb{R} \\ v &\longmapsto \Lambda[u](v) \end{aligned} \quad (1.74)$$

é definido por $\Lambda[u](v) = a(u, v)$, para $v \in H_0^2(\Omega)$.

Lema 1.4.3. $\Lambda : H_0^2(\Omega) \longrightarrow (H_0^2(\Omega))'$ é um homeomorfismo linear entre $H_0^2(\Omega)$ e seu dual.

Demonstração: A bilinearidade, a continuidade e a coercividade de $a(u, v)$, estabelecidas pelo Teorema 1.4.2, colocam a forma bilinear $a(u, v)$ nas condições do Teorema de Lax-Milgram (1.4.1) e, portanto, para cada funcional $f \in (H_0^2(\Omega))'$ existe uma única $u \in H_0^2(\Omega)$ tal que $a(u, v) = f(v) \forall v \in H_0^2(\Omega)$. Assim, temos que $\Lambda[u](v) = a(u, v) = f(v) \forall v \in H_0^2(\Omega)$, de onde segue a identidade de $\Lambda[u] = f$, que nos mostra que Λ é uma bijeção, e Λ é contínua pois a é contínua.

Além disso, a inversa Λ^{-1} também é contínua: dada uma $f \in (H_0^2(\Omega))'$, arbitrária, considere $u \in H_0^2(\Omega)$, tal que $\Lambda[u] = f$. Do Teorema de Lax-Milgram temos que $a(u, v) = f(v)$, $\forall v \in H_0^2(\Omega)$, então, em particular, para $v = u$ tem-se que $a(u, u) = f(u)$. Da coercividade de $a(u, v)$ e da continuidade de f segue que

$$\alpha\|u\|_{H_0^2}^2 \leq a(u, u) = f(u) \leq \|f\|^* \|u\|_{H_0^2}$$

em que $\|\cdot\|^*$ denota a norma em $(H_0^2(\Omega))'$. Logo,

$$\|\Lambda^{-1}(f)\|_{H_0^2(\Omega)} = \|u\|_{H_0^2(\Omega)} \leq \frac{1}{\alpha} \|f\|^*, \forall f \in (H_0^2(\Omega))'. \square$$

Considere a inclusão canônica $i : H_0^2(\Omega) \hookrightarrow L_2(\Omega)$. Pela definição do espaço $H_0^2(\Omega)$, é claro que $H_0^2(\Omega) \subset L_2(\Omega)$. Além disso, tal inclusão é um mergulho compacto. A compacidade dessa inclusão é

uma consequência do Teorema de Rellich-Kondrachov⁴. Assim, o espaço $H_0^2(\Omega)$ está compactamente mergulhado em $L_2(\Omega)$, o que significa que existe uma constante $K > 0$ tal que

$$\|u\|_{L_2(\Omega)} \leq K \|u\|_{H_0^2(\Omega)} .$$

Considere também

$$\begin{aligned} J : L_2(\Omega) &\longrightarrow (H_0^2(\Omega))' \\ \phi &\mapsto J[\phi] \end{aligned} \quad (1.75)$$

em que

$$\begin{aligned} J[\phi] : H_0^2(\Omega) &\longrightarrow \mathbb{R} \\ v &\mapsto J[\phi](v) = \iint_{\Omega} \phi v \, dx dy . \end{aligned} \quad (1.76)$$

J é linear, contínua e injetora. A linearidade é imediata. A continuidade vem do fato que

$$\begin{aligned} |J[\phi](v)| &= \left| \iint_{\Omega} \phi v \, dx dy \right| \leq \left(\iint_{\Omega} |\phi|^2 \, dx dy \right)^{1/2} \left(\iint_{\Omega} |v|^2 \, dx dy \right)^{1/2} = \\ &= \|\phi\|_{L_2(\Omega)} \|v\|_{L_2(\Omega)} \leq K \|\phi\|_{L_2(\Omega)} \|v\|_{H_0^2(\Omega)} , \text{ com } K > 0. \end{aligned} \quad (1.77)$$

Então,

$$\|J[\phi]\|_* = \sup_{v \neq 0} \frac{|J[\phi](v)|}{\|v\|_{H_0^2}} \leq K \|\phi\|_{L_2(\Omega)} .$$

Além disso, se $J[\phi] \equiv 0$, então $J[\phi](v) = \iint_{\Omega} \phi v \, dx dy = 0$, $\forall v \in H_0^2(\Omega)$. Logo, $\phi \equiv 0$. Assim, $\text{Ker} J = \{0\}$ e, portanto, J é injetora.

Considere agora a função $T : H_0^2(\Omega) \longrightarrow H_0^2(\Omega)$ dada pela composição a seguir:

$$\begin{array}{ccccccc} H_0^2(\Omega) & \xrightarrow{i} & L_2(\Omega) & \xrightarrow{J} & H_0^2(\Omega)' & \xrightarrow{\Lambda^{-1}} & H_0^2(\Omega) \\ & & & & \searrow & \nearrow & \\ & & & & & & T = \Lambda^{-1} \circ J \circ i \end{array} .$$

Como $a(u, v)$ é forma bilinear, simétrica e definida positiva (1.4.2), então $a(u, v)$ é um produto interno em $H_0^2(\Omega)$. Além disso, por causa da continuidade e coercividade de $a(u, v)$, a norma induzida por este produto interno é uma norma equivalente à norma $\|\cdot\|_{H_0^2(\Omega)}$ em $H_0^2(\Omega)$. Chamaremos de $\mathcal{H}_0^2(\Omega)$ o espaço de Hilbert $H_0^2(\Omega)$ equipado com o produto interno $\langle \cdot, \cdot \rangle_{\mathcal{H}_0^2} \equiv a(\cdot, \cdot)$.

É com o operador linear $T : \mathcal{H}_0^2(\Omega) \longrightarrow \mathcal{H}_0^2(\Omega)$, sobre o espaço de Hilbert $\mathcal{H}_0^2(\Omega)$ que trabalharemos para caracterizar as soluções do nosso problema (1.68).

Teorema 1.4.3. *T é um operador compacto e autoadjunto em $\mathcal{H}_0^2(\Omega)$. Além disso, seus autovalores correspondem aos inversos dos autovalores do problema (1.45).*

Antes da demonstração desse teorema, vale lembrar que, na Seção 1.3, estabelecemos que os

⁴O Teorema Rellich-Kondrachov estabelece inclusões entre espaços de Sobolev e espaços L_p . Em particular, estabelece que a inclusão $H^1(\Omega) \subset L_2(\Omega)$ é compacta. Como, por definição, $H^2(\Omega) \subset H^1(\Omega)$, concluímos que a inclusão $H^2(\Omega) \subset L_2(\Omega)$ é compacta. O enunciado completo pode ser consultado em [1] e [3].

autovalores do problema $\Delta\Delta u = \lambda u$ são estritamente positivos. Logo, quando olhamos para a formulação fraca desse problema, consideramos $\lambda > 0$ e, portanto, faz sentido falarmos nos inversos λ^{-1} .

Demonstração: A compacidade de T segue da compacidade de i e da continuidade J e Λ^{-1} . Ainda,

$$\begin{aligned} \langle Tu, v \rangle_{\mathcal{H}_0^2} &= \langle \Lambda^{-1} \circ J \circ i(u), v \rangle_{\mathcal{H}_0^2} = a(\Lambda^{-1} \circ J \circ i(u), v) = \Lambda[\Lambda^{-1} \circ J \circ i(u)](v) = \\ &= J[i(u)](v) = \iint_{\Omega} i(u)v \, dx dy = \iint_{\Omega} i(v)u \, dx dy = J[i(v)](u) = \\ &= \Lambda[\Lambda^{-1} \circ J \circ i(v)](u) = a(\Lambda^{-1} \circ J \circ i(v), u) = \langle Tv, u \rangle_{\mathcal{H}_0^2} = \langle u, Tv \rangle_{\mathcal{H}_0^2}, \end{aligned}$$

que mostra que T é autoadjunto.

O problema de autovalor

$$Tu = \lambda^{-1}u$$

equivale a

$$\lambda(\Lambda^{-1} \circ J \circ i)u = u$$

e, aplicando a função Λ de ambos os lados, obtemos funcionais lineares

$$\lambda J[i(u)] \equiv \Lambda[u],$$

que são tais que

$$\lambda J[i(u)](v) = \Lambda[u](v) = a(u, v), \quad \forall v \in H_0^2(\Omega).$$

A expressão acima equivale ao problema (1.68), o que nos mostra que o problema

$$Tu = \lambda^{-1}u, \quad \lambda \in \mathbb{R}_+^* \text{ e } u \in \mathcal{H}_0^2(\Omega)$$

é equivalente ao problema (1.68). \square

A Teoria Espectral para operadores compactos e autoadjuntos nos garante que os autovalores de T são reais, formam uma sequência decrescente $\left\{ \frac{1}{\lambda_i} \right\}_{i \in \mathbb{N}} \subset \mathbb{R}_+^*$ tal que $\frac{1}{\lambda_i} \rightarrow 0$ e que os autovetores associados aos autovalores formam uma base ortonormal enumerável (uma base de Hilbert) $\{u_i\}_{i \in \mathbb{N}}$ para o subespaço complemento ortogonal de $\text{Ker}T$. Como J é injetora, então T também é injetora, $\text{Ker}T = \{0\}$ e, portanto, o complemento ortogonal de $\text{Ker}T$ é $\mathcal{H}_0^2(\Omega)$.

Assim, concluímos que os autovalores do problema (1.68) são reais, estritamente positivos, formam uma sequência crescente $\{\lambda_i\}$, tal que $\lambda_i \rightarrow \infty$ e os autovetores formam uma base enumerável de $H_0^2(\Omega)$. Assim, caracterizamos os autovalores e autofunções para o problema (1.68).

Uma maneira de buscar a solução é observar que

Proposição 1.4.1. *Seja V um espaço de Hilbert e $a : V \times V \rightarrow \mathbb{R}$ uma forma bilinear simétrica. Então u satisfaz a expressão*

$$a(u, v) = \lambda \iint_{\Omega} uv \, dx dy, \quad \forall v \in V$$

se, e somente se, u é ponto crítico de $Q(u) = a(u, u) - \lambda \iint_{\Omega} u^2 dx dy$.

Demonstração: u é ponto crítico de $Q(u)$ se, e somente se

$$\lim_{h \rightarrow 0} \frac{Q(u + hv) - Q(u)}{h} = 0, \forall v \in V.$$

$$\begin{aligned} \frac{Q(u + hv) - Q(u)}{h} &= \frac{a(u + hv, u) - \lambda \iint_{\Omega} (u + hv)^2 dx dy - [a(u, u) - \lambda \iint_{\Omega} u^2 dx dy]}{h} = \\ &= \frac{2h [a(u, v) - \lambda \iint_{\Omega} uv dx dy] + h^2 [a(v, v) - \lambda \iint_{\Omega} v^2 dx dy]}{h} = \\ &= 2 \left[a(u, v) - \lambda \iint_{\Omega} uv dx dy \right] + h \left[a(v, v) - \lambda \iint_{\Omega} v^2 dx dy \right]. \end{aligned} \quad (1.78)$$

Assim,

$$\begin{aligned} \lim_{h \rightarrow 0} \frac{Q(u + hv) - Q(u)}{h} = 0 \quad \forall v \in V \quad \text{se, e somente se} \\ \lim_{h \rightarrow 0} 2 \left[a(u, v) - \lambda \iint_{\Omega} uv dx dy \right] + h \left[a(v, v) - \lambda \iint_{\Omega} v^2 dx dy \right] = 0 \quad \forall v \in V \quad \text{se, e somente se} \\ a(u, v) - \lambda \iint_{\Omega} uv dx dy = 0 \quad \forall v \in V. \quad \square \end{aligned} \quad (1.79)$$

Assim, para buscar numericamente a solução para nosso problema, buscaremos pontos críticos do funcional $Q(u)$ descrito acima. A implementação numérica baseada nessa proposição será descrita no próximo capítulo.

Capítulo 2

Implementação

O objetivo deste capítulo é apresentar a implementação numérica que utilizamos para resolver o nosso problema. O Método escolhido foi o Método de Elementos Finitos (MEF).

Nosso objetivo neste trabalho foi implementar um software capaz de fornecer dados para a geração de imagens das linhas nodais, mas para o caso da vibração de uma placa fina de metal. Utilizamos o mesmo método (o MEF), e partimos do modelo de vibração de uma placa fina de metal, que consiste numa EDP de ordem 4, e cuja formulação foi descrita no Capítulo 1. Apresentamos também dois tipos de formulação (conforme e não conforme) para o mesmo problema, e as implementações feitas com base nesses tipos.

2.1 O problema discreto

Como vimos no Capítulo 1, estamos interessados em resolver, numericamente, o problema de autovalor

$$\Delta\Delta u + \lambda u = 0 \quad \text{em} \quad \Omega \subset \mathbb{R}^2, \quad (2.1)$$

com a condição de contorno de *bordo grampeado* em que

$$u(x, y) = 0 \quad \text{e} \quad \frac{\partial u}{\partial \vec{n}} = 0 \quad \text{em} \quad \partial\Omega. \quad (2.2)$$

O método de elementos finitos está baseado na formulação fraca (ou variacional) do problema. Para implementá-lo, é preciso transformar a forma quadrática $Q(u) = a(u, u) - \lambda \iint_{\Omega} u^2 dx dy$, baseada na integral variacional (1.64), num problema discreto e, em seguida, à luz do que foi feito no Capítulo 1, encontrar pontos críticos não triviais da forma quadrática

$$\mathcal{J} = Q(u) = \iint_{\Omega} (\Delta u)^2 - (1 - \nu) [u_{yy}u_{xx} - 2u_{xy}^2 + u_{xx}u_{yy}] - \lambda u^2 dx dy. \quad (2.3)$$

2.1.1 Discretização do domínio: espaços de elementos finitos, elementos conformes e não conformes

Para resolver, numericamente o problema de autovalor, começamos com a discretização do domínio $\Omega \subset \mathbb{R}^2$ onde o problema será resolvido. Nesta etapa, o domínio é dividido em regiões poligonais fechadas, não vazias, chamadas de *elementos*. O conjunto dessas regiões e, portanto, o domínio discretizado, é chamado de *malha*.

Nosso domínio Ω será sempre fechado, limitado e poligonal. O tipo de *elemento* escolhido para a discretização foi o triangular. Com isso podemos chamar nossa discretização do domínio Ω de *triangulação*. Cada elemento triangular da malha será chamado de T_i . A triangularização tem as seguintes características:

(i) Não contém buracos ou superposições. Os elementos se intersectam apenas nas arestas dos triângulos.

(ii) A união de todos os elementos aproxima o domínio Ω : $\bigcup_{i=1}^N T_i = \Omega$. (Se o domínio não fosse exatamente um polígono, então teríamos $\bigcup_{i=1}^N T_i \subseteq \Omega$).

Em cada elemento triangular T_i , a função $u(x, y)$ será aproximada por uma função polinomial $u_i(x, y)$, que se anula fora de T_i . Assim, $u(x, y) \approx \sum_{i=1}^N u_i(x, y)$, onde N é o número total de elementos triangulares da malha.

Os pontos de T_i onde a função aproximadora u_i (e, possivelmente, suas derivadas) será calculada são chamados de *nós*. Cada elemento finito pode ser caracterizado pela quantidade, localização de seus nós e pelo tipo de função (valor da função u_i ou de suas derivadas) calculada neles. As funções escolhidas para terem seus valores calculados nos nós da malha são chamadas de *variáveis nodais*. Os parâmetros da função u_i são unicamente determinados pelas variáveis nodais.

Ao definir a discretização de Ω em elementos T_i , e os polinômios u_i para cada T_i , estamos definido um espaço de dimensão finita onde buscaremos a solução discreta. Esse espaço contém funções polinomiais por partes, $p(x, y)$, definidas em todo o domínio (poligonal e fechado) Ω . Sua restrição a cada elemento T_i nos fornece o polinômio aproximador u_i , isto é, $u_i = p|_{T_i}$. Este espaço será chamado de *espaço de elementos finitos* e, aqui, será denotado por E . E o espaço dos polinômios u_i , para cada T_i , será chamado de P_{T_i} : $P_{T_i} = \{u_i = p|_{T_i}; p \in E\}$.

Uma característica importante do espaço de elementos finitos é que sob certas condições sobre os polinômios p e u_i , E se torna um subespaço do espaço de funções onde buscamos a solução e, que no nosso caso é o $H_0^2(\Omega)$. Quando isso acontece, utilizamos a terminologia *elemento finito conforme* para caracterizar a aproximação e o elemento finito utilizados, caso contrário, dizemos que a aproximação é *não conforme*.

A seguir, apresentaremos um teorema que apresenta condições para que o espaço de elementos finitos E seja um subespaço do espaço de funções em que estamos trabalhando: $H_0^2(\Omega)$, e portanto, para que a aproximação seja considerada conforme. Esse resultado foi baseado na referência [1].

Teorema 2.1.1. *Considere E um espaço de elementos finitos como descrito acima. Se $E \subset C^1(\bar{\Omega})$ e $P_{T_i} \subset H^2(T_i)$, $\forall i$, $1 \leq i \leq N$, então as inclusões a seguir são satisfeitas:*

$$\begin{aligned} E &\subset H^2(\Omega) \\ E_0 &= \{p \in E : p = 0 \text{ sobre } \partial\Omega\} \subset H^2(\Omega) \cap H_0^1(\Omega) \quad e \\ E_{00} &= \{p \in E : p = \partial_n p = 0 \text{ sobre } \partial\Omega\} \subset H_0^2(\Omega) \quad . \end{aligned} \tag{2.4}$$

Demonstração: Vamos mostrar a primeira inclusão. Seja $u \in E$. Como $u|_{T_i}$ é um polinômio, em cada T_i , $u|_{T_i}$ é L_2 integrável, i.e., $\iint_{T_i} (u|_{T_i})^2 dx dy < \infty$. Assim, como a integral de u^2 em Ω consiste de uma soma finita de integrais de $(u|_{T_i})^2$ em cada T_i e, como ∂T_i tem medida nula, $\iint_{\Omega} u^2 dx dy < \infty$ e portanto, $u \in L_2(\Omega)$.

Para mostrar que $u \in H_0^2(\Omega)$, precisamos mostrar que todas as derivadas (fracas) de ordem α , com $|\alpha| \leq 2$, existem e pertencem a $L_2(\Omega)$. Vamos começar com as derivadas de primeira ordem ($|\alpha| = 1$), e mostrar que, para cada $k = 1, 2$, existem funções $\partial_k u$ que satisfazem a definição de derivada fraca (1.50)

$$\iint_{\Omega} (\partial_k u) v \, dxdy = - \iint_{\Omega} u (\partial_k v) \, dxdy, \quad \forall v \in C_0^\infty(\Omega). \quad (2.5)$$

Para cada $k = 1, 2$, escolhemos como candidato à $\partial_k u$, a função θ , que é a derivada da restrição de u no interior de cada elemento T_i : $\theta|_{T_i} = \partial_k(u|_{T_i})$. Assim como argumentamos para u , também θ está em $L_2(\Omega)$. Aplicando a fórmula da integral por partes (1.48) em T_i obtemos

$$\iint_{T_i} (\theta|_{T_i}) v \, dxdy = \iint_{T_i} \partial_k(u|_{T_i}) v \, dxdy = - \iint_{T_i} u \partial_k v \, dxdy + \int_{\partial T_i} u v n_k \, ds, \quad \forall v \in C_0^\infty(\Omega)$$

em que n_k é a k -ésima componente do vetor normal \vec{n} ao longo da fronteira ∂T_i . Somando em todos os N elementos T_i , obtemos

$$\iint_{\Omega} \theta v \, dxdy = \sum_{i=1}^N \left(\iint_{T_i} (\theta|_{T_i}) v \, dxdy \right) = - \sum_{i=1}^N \left(\iint_{T_i} u \partial_k v \, dxdy \right) + \sum_{i=1}^N \left(\int_{\partial T_i} u v n_k \, ds \right)$$

e, portanto,

$$\iint_{\Omega} \theta v \, dxdy = - \iint_{\Omega} u \partial_k v \, dxdy + \sum_{i=1}^N \left(\int_{\partial T_i} u v n_k \, ds \right).$$

Na última parcela, cada aresta da triangulação que não está contida em $\partial\Omega$ aparece duas vezes na soma, com integrandos de mesmo valor absoluto mas com sinais trocados, por causa da inversão no sentido da normal em triângulos adjacentes. O valor absoluto é o mesmo porque u e v são funções contínuas. Com isso, sobram apenas as arestas em $\partial\Omega$ e, portanto,

$$\sum_{i=1}^N \int_{\partial T_i} u v n_k \, ds = \int_{\partial\Omega} u v n_k \, ds,$$

que, por sua vez, é uma integral nula, já que $v \in C_0^\infty(\Omega)$.

Portanto

$$\iint_{\Omega} u (\partial_k v) \, dxdy = - \iint_{\Omega} \theta v \, dxdy, \quad \forall v \in C_0^\infty(\Omega), \forall k = 1, 2,$$

isto é, θ é a derivada fraca procurada $\partial_k u$. Isto mostra que $u \in H^1(\Omega)$.

Agora, precisamos mostrar que as derivadas de segunda ordem ($|\alpha| = 2$) existem e estão em $L_2(\Omega)$. Para isso, para cada derivada de primeira ordem u_k , vamos mostrar que existe, para cada $j = 1, 2$, uma função (u_{kj}) que satisfaz a condição (2.5). A candidata natural será a função $u_{kj} = \partial_{kj}(u|_{T_i})$. Novamente, podemos utilizar a fórmula de integração por partes em T_i e obtemos, para

cada $j = 1, 2$:

$$\iint_{T_i} u_{kj}v \, dx dy = \iint_{T_i} (\partial_{kj}(u|_{T_i})v \, dx dy = - \iint_{T_i} (\partial_k u)(\partial_j v) \, dx dy + \int_{\partial T_i} u_k v n_j \, ds .$$

Aplicamos de novo a integração por partes no primeiro termo, de onde segue

$$\iint_{T_i} u_{kj}v \, dx dy = \iint_{T_i} u \partial_{jk} v \, dx dy - \int_{\partial T_i} u(\partial_j v) n_k \, ds + \int_{\partial T_i} (\partial_k u) v n_j \, ds .$$

Como u e $\partial_j v$ são contínuas,

$$\sum_{i=1}^N \int_{\partial T_i} u \partial_j v n_k \, ds = \int_{\partial \Omega} u \partial_j v n_k \, ds$$

e, como $\partial_k u$ e v são contínuas,

$$\sum_{i=1}^N \int_{\partial T_i} (\partial_k u) v n_j \, ds = \int_{\partial \Omega} (\partial_k u) v n_j \, ds .$$

Ambos os termos, porém são nulos, porque $v \in C_0^\infty(\Omega)$ implica que $v = 0$ e $\partial_j v = 0$ em $\partial \Omega$.

Logo

$$\iint_{\Omega} u \partial_{kj} v \, dx dy = \iint_{\Omega} u \partial_{jk} v \, dx dy = \sum_{i=1}^N \iint_{T_i} u \partial_{jk} v \, dx dy = \sum_{i=1}^N \iint_{T_i} u_{kj} v \, dx dy = (-1)^2 \iint_{\Omega} u_{kj} v \, dx dy .$$

Isto prova a primeira inclusão. As outras inclusões seguem da caracterização dos espaços $H_0^1(\Omega)$ e $H_0^2(\Omega)$. \square

Assim, para que a aproximação seja considerada *conforme*, é necessário garantir que todas as derivadas do polinômio local u_i , de ordem menor que 2, sejam contínuas na fronteira entre os elementos T_i , para que o espaço de elementos finitos E esteja contido em $C^1(\bar{\Omega})$. Essa condição será usada nas próximas seções para caracterizarmos os elementos finitos escolhidos segundo esse critério e com a seguinte caracterização:

Considere dois elementos adjacentes T_1 e T_2 e a aresta comum a eles. A parametrização da aresta pelo parâmetro s , é feita com base nos pontos inicial (x_I, y_I) e final (x_F, y_F) da aresta:

$$x = x_I + (x_F - x_I)s \quad ; \quad y = y_I + (y_F - y_I)s$$

com $0 \leq s \leq 1$, como indica a Figura 2.1. Um polinômio aproximador u_i de grau m é, ao longo da aresta, um polinômio de grau m na variável s :

$$u_i(x(s), y(s)) = u_i(s) = e_1 + e_2 s + \dots + e_{m+1} s^m$$

e é unicamente determinado por $m+1$ parâmetros. Garantir a continuidade de u_i é garantir que seus $m+1$ parâmetros podem ser unicamente determinados pelas variáveis nodais presentes na aresta

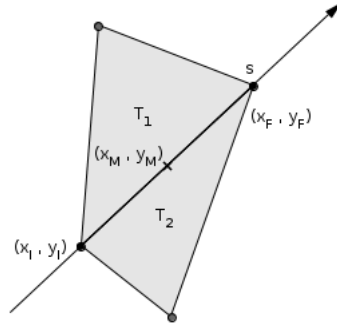


Figura 2.1: Aresta comum aos elementos T_1 e T_2 . Os índices I , F e M indicam os pontos inicial, final e médio da aresta, respectivamente.

comum aos elementos. Também é preciso garantir a continuidade da derivada normal à aresta $\frac{\partial u_i}{\partial \vec{n}}$, o que pode ser feito pelo mesmo critério, já que, ao longo da aresta, a derivada normal também é um polinômio na variável s .

A condição de conformidade da aproximação impõe condições sobre o grau do polinômio aproximador, e, inversamente, ao escolhermos o grau do polinômio aproximador, já é possível caracterizar a aproximação segundo esse critério e definir as variáveis nodais apropriadas. Trabalhar com elementos conformes pode trazer dificuldades computacionais, devido ao alto grau exigido para os polinômios aproximadores [1].

Neste trabalho utilizamos esses dois tipos de aproximação: uma quadrática não conforme e uma de quinto grau, conforme. A escolha da aproximação conforme se justifica pelo fato de que, além de a aproximação com elementos conformes ser feita “por dentro” do espaço de funções $H_0^2(\Omega)$, as variáveis nodais que aparecem em elementos desse tipo são favoráveis para o tratamento do problema com outras condições de contorno, por exemplo, a de bordo livre ou simplesmente suportado, como veremos nas próximas seções, porque envolvem derivadas de ordem mais alta.

2.1.2 Discretização do funcional

A forma quadrática (2.3) será calculada em cada triângulo T_i da malha. Por isso, separamos \mathcal{J} em integrais locais \mathcal{J}_i , com $i \in 1, 2, 3, \dots, N$ (uma para cada elemento triangular). Em cada T_i a integral \mathcal{J}_i é calculada utilizando a função aproximadora u_i e suas derivadas.

Para facilitar a discretização, separamos da integral \mathcal{J} (2.3) as duas integrais:

$$\mathcal{J}^{(1)} = \iint_{T_i} u_{xx}^2 + u_{yy}^2 + 2\nu u_{xx} u_{yy} + 2(1 - \nu) u_{xy}^2 \, dxdy \quad (2.6)$$

e

$$\mathcal{J}^{(2)} = \iint_{T_i} u^2 \, dxdy. \quad (2.7)$$

Em cada triângulo, elas serão representadas por formas quadráticas do tipo $\vec{u}_i^T S_i \vec{u}_i$ e $\vec{u}_i^T M_i \vec{u}_i$, em que $\vec{u}_i \in \mathbb{R}^n$ é o vetor de variáveis nodais, e S_i , M_i são matrizes quadradas simétricas, chamadas de *matriz de rigidez* e *matriz de massa* locais, respectivamente. Quando olhamos para o problema globalmente, i.e., considerando todos os elementos triangulares e, portanto, a malha sobre Ω como um todo, teremos matrizes simétricas de rigidez e de massa globais, S e M , e um vetor de variáveis

nodais globais $\vec{\mathbf{u}} \in \mathbb{R}^m$, onde m é o número de variáveis nodais da malha. As matrizes S e M serão montadas a partir das matrizes de rigidez e massa locais, S_i e M_i , assim como o vetor $\vec{\mathbf{u}}$.

As matrizes de rigidez e massa globais, S e M , representam as formas quadráticas discretizadas $\mathcal{J}^{(1)}$ e $\mathcal{J}^{(2)}$ respectivamente, a partir das quais obtemos um problema discreto a partir do problema contínuo, no qual o objetivo é determinar o vetor de variáveis nodais global $\vec{\mathbf{u}}$ ao invés da função u . O próximo passo é achar pontos críticos não triviais de $\mathcal{J} = \mathcal{J}^{(1)} - \lambda \mathcal{J}^{(2)}$, já discretizado, ou seja, achar pontos críticos (não triviais) de $\vec{\mathbf{u}} \mapsto \vec{\mathbf{u}}^T (S - \lambda M) \vec{\mathbf{u}}$. Vejamos qual equação discreta o vetor $\vec{\mathbf{u}}$ deverá satisfazer.

Seja A matriz simétrica e $Q(\vec{\mathbf{u}}) = \vec{\mathbf{u}}^T A \vec{\mathbf{u}} = \langle \vec{\mathbf{u}}, A \vec{\mathbf{u}} \rangle$.

Então, $\vec{\mathbf{u}}$ é ponto crítico de Q se e somente se

$$\lim_{t \rightarrow 0} \frac{Q(\vec{\mathbf{u}} + tv) - Q(\vec{\mathbf{u}})}{t} = 0$$

para qualquer $v \in \mathbb{R}^m$. Mas

$$Q(\vec{\mathbf{u}} + tv) - Q(\vec{\mathbf{u}}) = \langle \vec{\mathbf{u}} + tv, A(\vec{\mathbf{u}} + tv) \rangle - \langle \vec{\mathbf{u}}, A \vec{\mathbf{u}} \rangle = t \langle v, A \vec{\mathbf{u}} \rangle + t \langle \vec{\mathbf{u}}, Av \rangle + t^2 \langle v, Av \rangle ,$$

e, sendo A simétrica,

$$\lim_{t \rightarrow 0} \frac{Q(\vec{\mathbf{u}} + tv) - Q(\vec{\mathbf{u}})}{t} = \frac{2t \langle v, A \vec{\mathbf{u}} \rangle + t^2 \langle v, A \vec{\mathbf{u}} \rangle}{t} = 2 \langle v, A \vec{\mathbf{u}} \rangle .$$

Portanto, $\vec{\mathbf{u}}$ é crítico de Q se e somente se $\langle v, A \vec{\mathbf{u}} \rangle = 0$, para todo $v \in \mathbb{R}^m$, que equivale à condição $A \vec{\mathbf{u}} = 0$.

Como S e M são simétricas, então $\vec{\mathbf{u}}$ é ponto crítico de $\vec{\mathbf{u}} \mapsto \vec{\mathbf{u}}^T (S - \lambda M) \vec{\mathbf{u}}$ se e somente se

$$S \vec{\mathbf{u}} = \lambda M \vec{\mathbf{u}} .$$

Obtemos assim um problema de autovalor (generalizado) discreto relativo ao problema inicial (2.1).

A discretização do funcional consiste, essencialmente, na escolha do polinômio aproximador u_i em cada T_i e na montagem das matrizes de rigidez e massa locais e globais. Neste trabalho, usamos dois tipos de aproximação polinomial: uma em que o polinômio u_i é de segundo grau (quadrática) e outra em que o polinômio u_i é de quinto grau, das quais trataremos na próxima seção. Apesar do grau distinto das aproximações, é possível olhar esse processo de uma maneira geral, antes da escolha do grau do polinômio.

2.1.3 Técnicas para discretização do funcional

A integral discretizada pode ser organizada e escrita com uma estrutura matricial, envolvendo produto de matrizes. Cada etapa do processo de integração poderá ser representada (ou caracterizada) por uma matriz. Desse modo, as matrizes de rigidez e massa locais poderão ser representadas por uma composição (multiplicação) das matrizes de cada etapa. Nessa pequena subseção, falaremos de etapas que podem estar presentes no processo de discretização e integração. Isso será útil na hora de olharmos para os casos particulares.

Seja p_i um polinômio de grau n escolhido para aproximar a função $u(x, y)$ num elemento trian-

gular T_i .

$$p_i(x, y) = a_1 + a_2x + a_3y + a_4x^2 + a_5xy + a_6y^2 + a_7x^3 + \dots + a_{k-1}xy^{n-1} + a_ky^n ,$$

em que $k = (n + 1)(n + 2)/2$.

(i) Matrizes de derivação

Para compor a parte 1 (2.6) da integral variacional (2.3), precisaremos das derivadas de segunda ordem de p_i . Quando derivamos um polinômio p , de grau n , 2 vezes, o resultado é um novo polinômio q , cujo grau é $m = n - 2$. Esse novo polinômio tem menos termos e portanto um número menor de coeficientes. Além disso, os coeficientes de q estão linearmente relacionados com os coeficientes de p , através do operador linear que chamaremos aqui de *operador derivação*.

Vamos olhar para o operador derivação D_{xx} que deriva p duas vezes com relação à variável x .

$$\begin{aligned} D_{xx} : \mathbb{R}^k &\longrightarrow \mathbb{R}^l \\ (a_1, a_2, \dots, a_k) &\mapsto (b_1, b_2, \dots, b_l) \end{aligned} \quad (2.8)$$

em que $\vec{a} = (a_1, a_2, \dots, a_k)$ é o vetor de coeficientes de p e $\vec{b} = (b_1, b_2, \dots, b_l)$ vetor de coeficientes de q com $l = (m + 1)(m + 2)/2$. O operador D_{xx} pode ser representado por uma matriz $[D_{xx}]_{l \times k}$, que chamaremos de *matriz de derivação* e que nos fornece a relação matricial

$$\vec{b} = [D_{xx}]\vec{a} .$$

(ii) Relação entre variáveis nodais e coeficientes da aproximação polinomial

Os coeficientes (a_1, a_2, \dots, a_k) de p estão relacionados com as variáveis nodais locais \vec{u}_i de cada T_i . Essa relação pode ser estabelecida de forma linear – calculando $p_i(x, y)$ em cada nó do elemento triangular – e pode ser representada através de uma matriz, que chamaremos de C_i :

$$\vec{u}_i = C_i\vec{a}$$

e

$$\vec{a} = \bar{C}_i^{-1}\vec{u}_i .$$

(iii) Mudança de coordenadas

Em alguns casos, dependendo do tipo de variáveis nodais usadas no elemento finito, é conveniente o uso de uma mudança de coordenadas, que leva o triângulo T_i , de vértices $P_1 = (x_1, y_1)$, $P_2 = (x_2, y_2)$ e $P_3 = (x_3, y_3)$, num triângulo padrão T_0 , de coordenadas $(0,0)$, $(1,0)$ e $(0,1)$. Para escrevê-la, localizaremos esse triângulo padrão no plano $\xi\eta$. Essa mudança de coordenadas é dada por

$$\begin{aligned} F : \mathbb{R}^2 &\longrightarrow \mathbb{R}^2 \\ (x, y) &\mapsto (\xi, \eta) . \end{aligned} \quad (2.9)$$

Sua inversa, $F^{-1} : \mathbb{R}^2 \longrightarrow \mathbb{R}^2$, que leva T_0 em T_i é tal que

$$\begin{cases} x = x_1 + (x_2 - x_1)\xi + (x_3 - x_1)\eta \\ y = y_1 + (y_2 - y_1)\xi + (y_3 - y_1)\eta \end{cases} \quad (2.10)$$

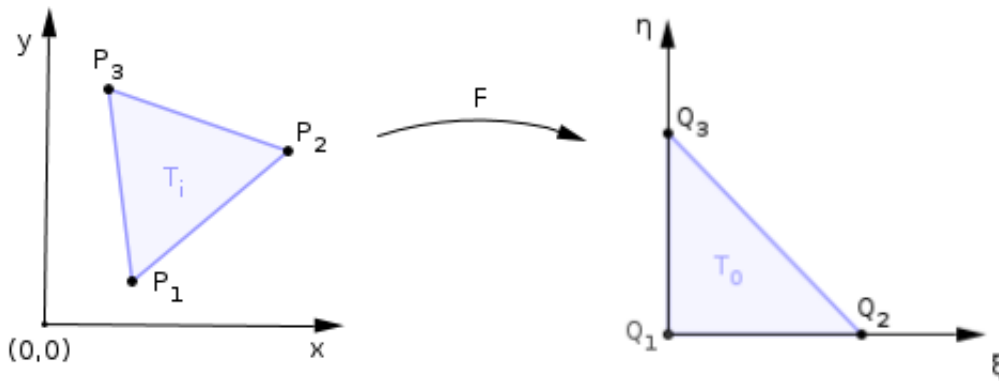


Figura 2.2: Mudança de coordenadas. $P_j = (x_j, y_j)$, para $j = 1, 2, 3$ e $Q_1 = (0, 0)$; $Q_2 = (1, 0)$ e $Q_3 = (0, 1)$.

A aproximação polinomial pode ser feita diretamente em T_0 e, se essa transformação for usada para isso, a matriz C_i se torna constante (independente da malha).

A transformação acima também pode ser útil simplesmente para facilitar o cálculo de integrais em T_i , usando o teorema de mudança de variável na integral. Nesse caso, obteremos do polinômio p , definido no plano xy , um novo polinômio $\tilde{p} = (p \circ F^{-1})(\xi, \eta)$, de mesmo grau, definido no plano $\xi\eta$. Se uma mudança de variáveis na integral for feita, obteremos:

$$\iint_{T_i} p(x, y) \, dx dy = \iint_{T_0} J_i (p \circ F^{-1})(\xi, \eta) \, d\xi d\eta \quad (2.11)$$

em que J_i é o determinante da matriz jacobiana da transformação afim F^{-1} :

$$J_i = \begin{vmatrix} \frac{\partial x}{\partial \xi} & \frac{\partial y}{\partial \xi} \\ \frac{\partial x}{\partial \eta} & \frac{\partial y}{\partial \eta} \end{vmatrix} = \begin{vmatrix} x_2 - x_1 & y_2 - y_1 \\ x_3 - x_1 & y_3 - y_1 \end{vmatrix} = (x_2 - x_1)(y_3 - y_1) - (x_3 - x_1)(y_2 - y_1) = \bar{x}_2 \bar{y}_3 - \bar{x}_3 \bar{y}_2, \quad (2.12)$$

em que $\bar{x}_j = x_j - x_1$ para $j = 2, 3$.

Os coeficientes dos polinômios p e \tilde{p} se relacionam linearmente, e essa relação também pode ser representada por uma matriz. Se (b_1, b_2, \dots, b_k) são os coeficientes de p no plano xy e $(\beta_1, \beta_2, \dots, \beta_k)$ são os coeficientes de \tilde{p} em $\xi\eta$, a relação entre essas duas famílias de coeficientes é dada por

$$\beta = Db. \quad (2.13)$$

Tal relação pode ser estabelecida substituindo $(x, y) = F^{-1}(\xi, \eta)$ na expressão do polinômio $p(x, y)$. E é o que veremos a seguir.

A transformação $F : T_i \subset \mathbb{R}^2 \rightarrow T_0 \subset \mathbb{R}^2$ é composta por uma translação e por uma parte linear. Vamos considerar essas duas partes separadamente. Chamamos a translação de F_1 e a parte linear de F_2 .

Começamos com a translação, que leva o polinômio $p(x, y)$ do plano xy , com coeficientes a'_i s,

num polinômio no plano $\bar{x}\bar{y}$ e com coeficientes b'_i s:

$$\begin{aligned} F_1 : \mathbb{R}^2 &\longrightarrow \mathbb{R}^2 \\ (x, y) &\mapsto (\bar{x}, \bar{y}) \end{aligned} \quad (2.14)$$

é tal que

$$\begin{cases} \bar{x} = x - x_1 \\ \bar{y} = y - y_1 \end{cases} .$$

Substituindo tal translação no polinômio p com coeficientes a'_i s, obtemos outro polinômio \bar{p} , de mesmo grau, agora com coeficientes b'_i s. A relação entre os coeficientes pela translação pode ser representada pela matriz $D_1 : \vec{b} = D_1 \vec{a}$.

D_1 é uma matriz diagonal superior, possui entrada igual a 1 na diagonal principal, suas entradas dependem apenas do ponto (ou as coordenadas do vetor de translação) (x_1, y_1) e sua primeira linha possui as parcelas do polinômio aplicado a este ponto.

No caso de um polinômio cúbico, por exemplo,

$$D_1 = \begin{bmatrix} 1 & x_1 & y_1 & x_1^2 & x_1 y_1 & y_1^2 & x_1^3 & x_1^2 y_1 & x_1 y_1^2 & y_1^3 \\ & 1 & 0 & 2x_1 & y_1 & 0 & 3x_1^2 & 2x_1 y_1 & y_1^2 & 0 \\ & & 1 & 0 & x_1 & 2y_1 & 0 & x_1^2 & 2x_1 y_1 & 3y_1^2 \\ & & & 1 & 0 & 0 & 3x_1 & y_1 & 0 & 0 \\ & & & & 1 & 0 & 0 & 2x_1 & 2y_1 & 0 \\ & & & & & 1 & 0 & 0 & x_1 & 3y_1 \\ & & 0 & & & & 1 & 0 & 0 & 0 \\ & & & & & & & 1 & 0 & 0 \\ & & & & & & & & 1 & 0 \\ & & & & & & & & & 1 \end{bmatrix}$$

Agora, consideramos a transformação F_2 que é a parte linear de F . Sem a parte da translação, as substituições ficam mais simples.

$$\begin{aligned} F_2 : \mathbb{R}^2 &\longrightarrow \mathbb{R}^2 \\ (\bar{x}, \bar{y}) &\mapsto (\xi, \eta) \end{aligned} \quad (2.15)$$

e F_2^{-1} é tal que

$$\begin{cases} x = \bar{x}_2 \xi + \bar{x}_3 \eta \\ y = \bar{y}_2 \xi + \bar{y}_3 \eta \end{cases} . \quad (2.16)$$

Para obter a matriz que representa F_2 , representaremos um polinômio p em duas variáveis da seguinte forma:

$$\sum_{j=0}^{gr(p)} \sum_{l=0}^j b_{j-l,l} x^{j-l} y^l$$

Essa notação é diferente, daquela apresentada no início da seção: ela apresenta dois somatórios e coeficientes duplamente indexados, mas é conveniente para expressar a relação que queremos para um polinômio de grau arbitrário. Seja $N = gr(p)$.

em que P é matriz cujas entradas são as integrais dos monômios $\iint_{T_0} \xi^p \eta^q d\xi d\eta$. A seguir descreveremos o comportamento da matriz P em função dos polinômios cujo produto será integrado, e apresentaremos uma maneira sistemática de montar a matriz P .

A matriz P está associada à forma bilinear simétrica proveniente da integral, do produto de dois polinômios de mesmo grau N , no triângulo padrão T_0 . A dimensão k de P depende do grau N dos polinômios envolvidos da seguinte forma:

$$k = \text{soma dos } N \text{ primeiros termos da progressão aritmética (P.A) de razão } 1 = \frac{(N+1)(N+2)}{2}.$$

Para representar os polinômios envolvidos e seus produtos, usaremos uma notação (diferente daquela usada no item anterior) que permite expressar o polinômio com apenas um somatório e de modo que os coeficientes α 's ou β 's sejam indexados por apenas uma variável. Isso facilitará a escrita do produto de tais polinômios. Para isso, faremos uso da Tabela (2.1) que associa cada índice i (ou j) a um par (i_1, i_2) (ou (j_1, j_2)).

i	1	2	3	4	5	6	7	8	9	10	...	$k - N$	$k - N + 1$...	k-1	k
i_1	0	1	0	2	1	0	3	2	1	0	...	N	$N - 1$...	1	0
i_2	0	0	1	0	1	2	0	1	2	3	...	0	1	...	$N - 1$	N

Tabela 2.1: Potências dos monômios de um polinômio em duas variáveis.

A partir daí escrevemos

$$p(\xi, \eta) = \sum_{i=1}^k \alpha_i \xi^{i_1} \eta^{i_2}$$

e

$$q(\xi, \eta) = \sum_{j=1}^k \beta_j \xi^{j_1} \eta^{j_2}.$$

O produto fica assim:

$$p(\xi, \eta)q(\xi, \eta) = \left(\sum_{i=1}^k \alpha_i \xi^{i_1} \eta^{i_2} \right) \left(\sum_{j=1}^k \beta_j \xi^{j_1} \eta^{j_2} \right) = \sum_{i=1}^k \sum_{j=1}^k \alpha_i \beta_j \xi^{i_1+j_1} \eta^{i_2+j_2}.$$

Então,

$$\iint_{T_0} \sum_{i=1}^k \sum_{j=1}^k \alpha_i \beta_j \xi^{i_1+j_1} \eta^{i_2+j_2} d\xi d\eta = \sum_{i=1}^k \sum_{j=1}^k \alpha_i \beta_j \iint_{T_0} \xi^{i_1+j_1} \eta^{i_2+j_2} d\xi d\eta = \sum_{i=1}^k \sum_{j=1}^k \alpha_i \beta_j p_{ij} = \vec{\alpha}^T P \vec{\beta}.$$

A matriz P pode ser definida como $P = (p_{ij})_{k \times k}$ onde

$$p_{ij} = \iint_{T_0} \xi^{i_1+j_1} \eta^{i_2+j_2} d\xi d\eta = I_{i_1+j_1, i_2+j_2} = \frac{(i_1 + j_1)!(i_2 + j_2)!}{[(i_1 + j_1) + (i_2 + j_2) + 2]}.$$

A última igualdade vem da Proposição (2.1.1), a partir do qual também podemos observar a simetria de P , uma vez que $I_{pq} = I_{qp}$. Quando os polinômios envolvidos no produtos são iguais, então P está associada a uma forma quadrática:

$$\begin{aligned} \iint_{T_0} p(\xi, \eta)^2 d\xi d\eta &= \iint_{T_0} \left(\sum_{i=1}^k \alpha_i \xi^{i_1} \eta^{i_2} \right)^2 = \iint_{T_0} \left(\sum_{i=1}^k \sum_{j=1}^k \alpha_i \alpha_j \xi^{i_1+j_1} \eta^{i_2+j_2} \right) d\xi d\eta = \\ &= \sum_{i=1}^k \sum_{j=1}^k \alpha_i \alpha_j \iint_{T_0} \xi^{i_1+j_1} \eta^{i_2+j_2} = \vec{\alpha}^T P \vec{\alpha}. \end{aligned}$$

Nas próximas seções apresentaremos as diferentes aproximações que usamos para implementar o problema numericamente: a aproximação quadrática e a de quinto grau. Usaremos, para tanto, as considerações feitas nesta seção.

2.2 Aproximação quadrática

O objetivo dessa seção é apresentar a implementação numérica do método de elementos finitos para o problema de autovalor (2.1) usando uma aproximação polinomial de segundo grau. Tal implementação consiste na montagem das matrizes de massa e rigidez que compõem o problema de autovalor.

Primeiramente, apresentaremos as características do elemento finito triangular que usamos nesse caso; em seguida, a aproximação polinomial que será usada localmente e como ela transforma o funcional contínuo em um discreto. Por fim, apresentamos a “cara” das matrizes locais e a montagem das matrizes globais a partir delas.

O elemento finito que será utilizado nesse caso possui seis variáveis nodais que estão distribuídas nos vértices e pontos médios das arestas de cada triângulo T_i como mostra a figura (2.3).

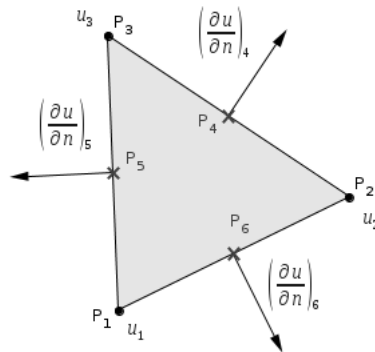


Figura 2.3: Elemento finito da aproximação quadrática

As variáveis $u_1, u_2, u_3, \left(\frac{\partial u}{\partial \vec{n}_1} \right)_4, \left(\frac{\partial u}{\partial \vec{n}_2} \right)_5, \left(\frac{\partial u}{\partial \vec{n}_3} \right)_6$ presentes no elemento finito compõem o vetor de variáveis nodais \vec{u}_i . Para facilitar a notação, denotaremos a derivada normal $\left(\frac{\partial u}{\partial \vec{n}_j} \right)$ por $\partial_{n_j} u$, e os índices das variáveis nodais, que indicam os nós do elemento triangular serão colocados na parte superior: $\vec{u}_i = (u^1, u^2, u^3, (\partial_{n_1} u)^4, (\partial_{n_2} u)^5, (\partial_{n_3} u)^6)$.

A aproximação quadrática é *não conforme*. Tendo em mente o Teorema 2.1.1 e a caracterização dada no início do capítulo, isso se dá porque os polinômios aproximadores u_i e u_j não se emendam

continuamente ao longo de uma aresta (arbitrária) entre dois elementos. Ao longo da aresta, u_i é um polinômio de grau 2 na variável s :

$$u_i(s) = u_i(x(s), y(s)) = e_1 + e_2s + e_3s^2$$

Entretanto, não há variáveis nodais suficientes para determinar os parâmetros e_1, e_2, e_3 (e, portanto, para determinar u_i de maneira única). As variáveis nodais presentes nos vértices nos fornecem apenas duas relações

$$\begin{aligned} u_i(x_I, y_I) &= u_i(s = 0) = e_1 \\ u_i(x_F, y_F) &= u_i(s = 1) = e_1 + e_2 + e_3 \end{aligned} \quad (2.17)$$

A derivada normal no ponto médio $\partial_n u_i$ é um polinômio de primeiro grau em parâmetros distintos dos e_i 's, de modo que ela não contribui para a continuidade de u_i . Portanto, temos garantida a continuidade de u_i apenas nos vértices da aresta e a continuidade da derivada normal $\partial_n u_i$ apenas no ponto médio da aresta.

Considere as duas partes (2.6) e (2.7) do funcional (2.3), num triângulo arbitrário T_i da malha:

$$\mathcal{J}_i^{(1)} = \iint_{T_i} u_{xx}^2 + u_{yy}^2 + 2\nu u_{xx}u_{yy} + 2(1 - \nu)u_{xy}^2 \, dxdy$$

e

$$\mathcal{J}_i^{(2)} = \iint_{T_i} u^2 \, dxdy .$$

A função $u(x, y)$ foi aproximada por um polinômio u_i , de grau 2, nas variáveis x e y :

$$u_i(x, y) = a_1 + a_2x + a_3y + a_4x^2 + a_5xy + a_6y^2 \quad (2.18)$$

Substituindo tal expressão em (2.6), teremos quatro parcelas de integrais de produtos de derivadas segundas de u_i . Essas integrais serão calculadas em função dos coeficientes a_1, a_2, \dots, a_6 de u_i . Para o cálculo do integrando da primeira integral $\mathcal{J}_i^{(1)}$, podemos usar matrizes de derivação descritas no item (i) da seção anterior. Nesse caso, como estamos derivando duas vezes um polinômio de grau 2, o resultado é um polinômio de grau 0 (constante), e por isso as matrizes de derivação têm dimensão 1×6 :

$$[D_{xx}] = \begin{bmatrix} 0 & 0 & 0 & 2 & 0 & 0 \end{bmatrix}, \quad [D_{yy}] = \begin{bmatrix} 0 & 0 & 0 & 0 & 0 & 2 \end{bmatrix} \quad e \quad [D_{xy}] = \begin{bmatrix} 0 & 0 & 0 & 0 & 1 & 0 \end{bmatrix} \quad (2.19)$$

Denotaremos $[D_{xx}](a_1, a_2, a_3, \dots, a_6)^T = 2a_4 = D_{xx}u_i$, $[D_{yy}](a_1, a_2, a_3, \dots, a_6)^T = 2a_6 = D_{yy}u_i$ e $[D_{xy}](a_1, a_2, a_3, \dots, a_6)^T = a_5 = D_{xy}u_i$.

Assim, para a primeira parcela, temos que

$$\iint_{T_i} (u_{i,xx})^2 \, dxdy = \iint_{T_i} (D_{xx}u_i)^2 \, dxdy = \iint_{T_i} (2a_4)^2 \, dxdy = 4a_4^2 \iint_{T_i} 1 \, dxdy = 4a_4^2 A_i ,$$

em que A_i é a área do triângulo T_i . Cada parcela como a integral acima é uma forma quadrática do

vetor de coeficientes $\vec{a} = (a_1, a_2, \dots, a_6)$, que pode ser calculada em função de matrizes de derivação. Mas, nesse caso, em que o polinômio resultante da derivação é constante, os cálculos se simplificam, de modo que o uso das matrizes de derivação se torna até desnecessário:

$$\begin{aligned} \mathcal{J}_i^{(1)} &= \iint_{T_i} 4a_4^2 + 4a_6^2 + 2\nu 4a_4a_6 + 2(1-\nu)a_5^2 \, dxdy = \\ &= 4a_4^2 \left(\iint_{T_i} 1 \, dxdy \right) + 4a_6^2 \left(\iint_{T_i} 1 \, dxdy \right) + 8\nu a_4a_6 \left(\iint_{T_i} 1 \, dxdy \right) + 2(1-\nu)a_5^2 \left(\iint_{T_i} 1 \, dxdy \right) = \\ &= 4a_4^2 A_i + 4a_6^2 A_i + 8\nu a_4a_6 A_i + 2(1-\nu)a_5^2 A_i = A_i [4a_4^2 + 4a_6^2 + 8\nu a_4a_6 + 2(1-\nu)a_5^2] , \end{aligned} \quad (2.20)$$

em que a área A_i do triângulo T_i pode ser calculada através do determinante

$$\begin{aligned} A_i &= \begin{vmatrix} x_1 & y_1 & 1 \\ x_2 & y_2 & 1 \\ x_3 & y_3 & 1 \end{vmatrix} = x_1y_2 + y_1x_3 + y_3x_2 - (y_2x_3 + y_3x_1 + x_2y_1) = \\ &= y_3(x_2 - x_1) + y_2(x_1 - x_3) + y_1(x_3 - x_2) = \\ &= (x_2 - x_1)(y_3 - y_1) - (x_3 - x_1)(y_2 - y_1) . \end{aligned} \quad (2.21)$$

Portanto, $\mathcal{J}_i^{(1)}$ é uma forma quadrática dos coeficientes a_1, a_2, \dots, a_6 de u_i e pode ser escrita como $a^T \tilde{S}_i a$, em que

$$\tilde{S}_i = A_i \begin{bmatrix} 0 & 0 & 0 & 0 & 0 & 0 \\ 0 & 0 & 0 & 0 & 0 & 0 \\ 0 & 0 & 0 & 0 & 0 & 0 \\ 0 & 0 & 0 & 4 & 0 & 4\nu \\ 0 & 0 & 0 & 0 & 2(1-\nu) & 0 \\ 0 & 0 & 0 & 4\nu & 0 & 4 \end{bmatrix} \quad (2.22)$$

é uma matriz simétrica que, exceto pelo fator A_i , não depende do triângulo T_i e, portanto, não depende da geometria da malha. Para escrever $\mathcal{J}_i^{(1)}$ como forma quadrática em função do vetor de variáveis nodais $\vec{u}_i = (u^1, u^2, u^3, (\partial_{n_1}u)^4, (\partial_{n_2}u)^5, (\partial_{n_3}u)^6)$, usaremos a relação que existe entre este vetor e o vetor de coeficientes de $u_i : (a_1, \dots, a_6)$

$$\vec{u}_i = C_i \vec{a} ,$$

como descrito no item (ii) da seção anterior. A relação $\vec{u}_i = C_i \vec{a}$ é construída escrevendo os valores de $u_i(x, y)$ e de $\partial_n u_i(x, y)$ em cada um dos nós (vértices e pontos médios, respectivamente) do elemento finito:

$$\begin{aligned}
u_1 &= u_i(x_1, y_1) = a_1 + a_2x_1 + a_3y_1 + a_4x_1^2 + a_5x_1y_1 + a_6y_1^2 \\
u_2 &= u_i(x_2, y_2) = a_1 + a_2x_2 + a_3y_2 + a_4x_2^2 + a_5x_2y_2 + a_6y_2^2 \\
u_3 &= u_i(x_3, y_3) = a_1 + a_2x_3 + a_3y_3 + a_4x_3^2 + a_5x_3y_3 + a_6y_3^2 \\
(\partial_{n_1} u_i)_4 &= A_1 u_{i_x}(x_4, y_4) + B_1 u_{i_y}(x_4, y_4) = A_1(a_2 + 2a_4x_4 + y_4) + B_1(a_3 + x_4a_5 + 2a_6y_4) \\
(\partial_{n_2} u_i)_5 &= A_2 u_{i_x}(x_5, y_5) + B_2 u_{i_y}(x_5, y_5) = A_2(a_2 + 2a_4x_5 + y_5) + B_2(a_3 + x_5a_5 + 2a_6y_5) \\
(\partial_{n_3} u_i)_6 &= A_3 u_{i_x}(x_6, y_6) + B_3 u_{i_y}(x_6, y_6) = A_3(a_2 + 2a_4x_6 + y_6) + B_3(a_3 + x_6a_5 + 2a_6y_6) .
\end{aligned} \tag{2.23}$$

Os coeficientes A_j e B_j , $j = 1, 2, 3$ são coeficientes do vetor normal, quando escrito como combinação linear das derivadas de u nas direções canônicas. i.e., $(\partial_{n_j} u_i)_{j+3} = A_j u_{i_x} + B_j u_{i_y}$, onde as derivadas parciais são calculadas nos nós (x_{j+3}, y_{j+3}) , para $j = 1, 2, 3$.

Assim, a matriz C_i depende da geometria da malha e é dada por

$$C_i = \begin{bmatrix} 1 & x_1 & y_1 & x_1^2 & x_1y_1 & y_1^2 \\ 1 & x_2 & y_2 & x_2^2 & x_2y_2 & y_2^2 \\ 1 & x_3 & y_3 & x_3^2 & x_3y_3 & y_3^2 \\ 0 & A_1 & B_1 & 2A_1x_4 & (A_1y_4 + B_1x_4) & 2B_1y_4 \\ 0 & A_2 & B_2 & 2A_2x_5 & (A_2y_5 + B_2x_5) & 2B_2y_5 \\ 0 & A_3 & B_3 & 2A_3x_6 & (A_3y_6 + B_3x_6) & 2B_3y_6 \end{bmatrix} .$$

Sua inversa C_i^{-1} nos fornece a relação $a = C_i^{-1}u_i$ e assim temos que

$$\mathcal{I}_i^{(1)} = (C_i^{-1}u_i)^T \tilde{S}_i C_i^{-1}u_i = u_i^T (C_i^{-T} \tilde{S}_i C_i) u_i = u_i^T S_i u_i , \tag{2.24}$$

em que $S_i = (C_i^{-1})^T \tilde{S}_i C_i$ é a matriz de rigidez local.

Para a segunda parte (2.7) do funcional, a equação (2.18) foi substituída na equação (2.7), de onde obtivemos a integral

$$\mathcal{I}_i^{(2)} = \iint_{T_i} u_i^2 dx dy = \iint_{T_i} [a_1 + a_2x + a_3y + a_4x^2 + a_5xy + a_6y^2]^2 dx dy .$$

Neste caso, foi preciso aplicar uma mudança de variável na integral para facilitar o cálculo. Utilizamos a mudança de coordenadas $F : T_i \subset \mathbb{R}^2 \rightarrow T_0 \subset \mathbb{R}^2$, descrita no item (iii) da seção anterior – que mapeia de forma biunívoca o triângulo T_i no triângulo padrão T_0 . Considerando sua inversa $F^{-1} : T_0 \subset \mathbb{R}^2 \rightarrow T_i \subset \mathbb{R}^2$ (2.10), a integral $\mathcal{I}_i^{(2)}$ fica assim:

$$\begin{aligned}
\mathcal{I}_i^{(2)} &= \iint_{T_i} u_i^2 dx dy = \iint_{T_i} [a_1 + a_2x + a_3y + a_4x^2 + a_5xy + a_6y^2]^2 dx dy = \\
&= \iint_{T_0} [\alpha_1 + \alpha_2\xi + \alpha_3\eta + \alpha_4\xi^2 + \alpha_5\xi\eta + \alpha_6\eta^2]^2 J_i d\xi d\eta
\end{aligned} \tag{2.25}$$

em que $dx dy = J_i d\xi d\eta$ e J_i (2.12) é o determinante da matriz Jacobiana de F^{-1} .

Como vimos no item (iii) da seção anterior, para cada T_i os coeficientes $\alpha_1, \dots, \alpha_6$ se relacionam com os coeficientes a_1, \dots, a_6 pela relação $\vec{\alpha} = D_i \vec{a}$. Nesse caso a matriz D_i é facilmente calculada:

$$D_i = \begin{bmatrix} 1 & \bar{x}_1 & \bar{y}_1 & \bar{x}_1^2 & \bar{x}_1\bar{y}_1 & \bar{y}_1^2 \\ \bar{x}_2 & \bar{y}_2 & 2\bar{x}_1\bar{x}_2 & \bar{x}_1\bar{y}_2 + \bar{x}_2\bar{y}_1 & 2\bar{y}_1\bar{y}_2 & \\ \bar{x}_3 & \bar{y}_3 & 2\bar{x}_1\bar{x}_3 & \bar{x}_1\bar{y}_3 + \bar{x}_3\bar{y}_1 & 2\bar{y}_1\bar{y}_3 & \\ & & \bar{x}_2^2 & \bar{y}_2\bar{x}_2 & \bar{y}_2^2 & \\ & & \bar{x}_2\bar{x}_3 & \bar{y}_2\bar{x}_3 + \bar{y}_3\bar{x}_2 & \bar{y}_2\bar{y}_3 & \\ & & \bar{x}_3^2 & \bar{y}_3\bar{x}_3 & \bar{y}_3^2 & \end{bmatrix}.$$

Continuando a expansão da integral $\mathcal{J}^{(2)}$, temos:

$$\begin{aligned} \mathcal{J}_i^{(2)} &= \iint_{T_0} [\alpha_1 + \alpha_2\xi + \alpha_3\eta + \alpha_4\xi^2 + \alpha_5\xi\eta + \alpha_6\eta^2]^2 J_i d\xi d\eta = \\ &J_i \iint_{T_0} [\alpha_1^2 + 2\alpha_1\alpha_2\xi + 2\alpha_1\alpha_3\eta + (2\alpha_1\alpha_4 + \alpha_2^2)\xi^2 + 2(\alpha_1\alpha_5 + \alpha_2\alpha_3)\xi\eta + \\ &J_i \iint_{T_0} (\alpha_3^2 + 2\alpha_1\alpha_6)\eta^2 + 2\alpha_2\alpha_4\xi^3 + 2(\alpha_2\alpha_5 + \alpha_3\alpha_4)\xi^2\eta + 2(\alpha_2\alpha_6 + \alpha_3\alpha_5)\xi\eta^2 + \\ &J_i \iint_{T_0} 2\alpha_3\alpha_6\eta^3 + \alpha_4^2\xi^4 + 2\alpha_4\alpha_5\xi\eta^3 + (2\alpha_4\alpha_6 + \alpha_5^2)\xi^2\eta^2 + 2\alpha_5\alpha_6\xi\eta^3 + \alpha_6^2\eta^4] d\xi d\eta. \end{aligned} \quad (2.26)$$

As integrais de cada parcela são da forma $\iint_{T_0} \xi^p \eta^q d\xi d\eta$ e foram calculadas usando o teorema (2.1.1). Daí, obtemos de (2.26) que

$$\begin{aligned} \mathcal{J}_i^{(2)} &= J_i \left(\frac{1}{2}\alpha_1^2 + 2\alpha_1\alpha_2\frac{1}{6} + 2\alpha_1\alpha_3\frac{1}{6} + (2\alpha_1\alpha_4 + \alpha_2^2)\frac{1}{12} + 2(\alpha_1\alpha_5 + \alpha_2\alpha_3)\frac{1}{24} + \right. \\ &+ (\alpha_3^2 + 2\alpha_1\alpha_6)\frac{1}{12} + 2\alpha_2\alpha_4\frac{1}{20} + 2(\alpha_2\alpha_5 + \alpha_3\alpha_4)\frac{1}{60} + 2(\alpha_2\alpha_6 + \alpha_3\alpha_5)\frac{1}{60} + \\ &+ 2\alpha_3\alpha_6\frac{1}{20} + \alpha_4^2\frac{1}{30} + 2\alpha_4\alpha_5\frac{1}{120} + (2\alpha_4\alpha_6 + \alpha_5^2)\frac{1}{180} + 2\alpha_5\alpha_6\frac{1}{120} + \alpha_6^2\frac{1}{30} \Big) = \\ &= J_i \vec{\alpha}^T P \vec{\alpha}, \end{aligned} \quad (2.27)$$

em que P é a matriz simétrica e definida positiva

$$P = \begin{bmatrix} 1/2 & 1/6 & 1/6 & 1/12 & 1/24 & 1/12 \\ & 1/12 & 1/24 & 1/20 & 1/60 & 1/60 \\ & & 1/12 & 1/60 & 1/60 & 1/20 \\ & \text{simétrica} & & 1/30 & 1/120 & 1/180 \\ & & & & 1/180 & 1/120 \\ & & & & & 1/30 \end{bmatrix}.$$

Portanto, $\mathcal{J}_i^{(2)}$ é forma quadrática e pode ser escrita da seguinte forma:

$$\begin{aligned} \mathcal{J}_i^{(2)} &= J_i (\vec{\alpha}^T P \vec{\alpha}) = J_i ((D_i \vec{\alpha})^T P D_i \vec{\alpha}) = J_i (\vec{\alpha}^T D_i^T P D_i \vec{\alpha}) = \\ &= J_i ((C_i^{-1} \vec{u}_i)^T D_i^T P D_i C_i^{-1} \vec{u}_i) = J_i (\vec{u}_i^T (C_i^{-T} D_i^T P D_i C_i^{-1}) \vec{u}_i). \end{aligned} \quad (2.28)$$

A matriz $M_i = C_i^{-T} D_i^T P D_i C_i^{-1}$ é a *matriz de massa* local relativa ao problema de autovalor. A dimensão das matrizes de massa e rigidez globais depende do número de nós da malha e do número de variáveis incidentes em cada um desses nós.

Nesta aproximação, temos apenas uma variável nodal incidente em cada vértice. Logo, a dimensão da matriz será igual ao número total de nós da malha. A montagem das matrizes globais é feita da seguinte forma: para cada triângulo T_i da malha a matriz global recebe na posição (i_m, i_n) o valor que está na posição (m, n) da matriz local, para $m, n \in \{1, 2, 3, 4, 5, 6\}$. Ou seja: $S_{i_m, i_n} = S_{i_m, i_n} + S_{mn}^i$ no caso da matriz de rigidez e $M_{i_m, i_n} = M_{i_m, i_n} + M_{mn}^i$ no caso da matriz de massa.

Depois da montagem das matrizes globais a partir das matrizes locais, o último passo para finalizar esse processo é contabilizar as condições de contorno do problema. Estamos considerando a placa com bordo grampeado, em que os valores de u e de suas derivadas normais se anulam no bordo $\partial\Omega$ do domínio Ω . Sendo assim, os valores de u e $\partial_n u$ estão prescritos e são ambos iguais a zero. Assim, para todos os nós da fronteira de Ω , o valor de u e $\partial_n u$ já são conhecidos e portanto o problema de autovalor não precisa ser resolvido para eles. Aplicar essas condições de contorno, consiste, então, em eliminar das matrizes globais as linhas e colunas relativas àqueles nós que pertencem à fronteira do domínio.

2.3 Aproximação de Quinto Grau

O objetivo desta seção é apresentar a implementação numérica do método de elementos finitos para o problema de autovalor (2.1) usando uma aproximação polinomial de quinto grau. Assim como na seção anterior, tal implementação consiste na montagem das matrizes de massa e rigidez, que compõem as formas quadráticas relativas às partes $\mathcal{J}^{(1)}$ (2.6) e $\mathcal{J}^{(2)}$ (2.7) do funcional \mathcal{J} (2.3) do problema de autovalor.

Novamente, como na seção anterior, apresentamos as características do elemento finito triangular que usamos neste caso, a aproximação polinomial que será usada localmente, as matrizes de massa e rigidez locais e a montagem das matrizes globais a partir delas.

O elemento finito que utilizamos para a aproximação de grau 5 possui 21 variáveis nodais, sendo elas: o valor da função u e de suas derivadas de até segunda ordem: $u, u_x, u_y, u_{xx}, u_{xy}, u_{yy}$ nos vértices do triângulo, e o valor das derivadas normais $\frac{\partial u}{\partial \bar{n}}$, nos pontos médios das arestas do triângulo, como mostra a Figura 2.4. A derivada normal será denotada por $\partial_n u$.

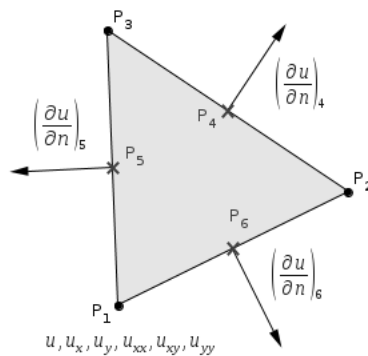


Figura 2.4: Elemento finito da aproximação de quinto grau.

O vetor de variáveis nodais foi organizado por tipo de variável:

$$\vec{u}_i = (u^1, u^2, u^3, u_x^1, u_x^2, u_x^3, u_y^1, u_y^2, u_y^3, u_{xx}^1, u_{xx}^2, u_{xx}^3, u_{xy}^1, u_{xy}^2, u_{xy}^3, u_{yy}^1, u_{yy}^2, u_{yy}^3, \partial_n u^4, \partial_n u^5, \partial_n u^6),$$

em que o índice acima de cada variável indica o nó (vértice ou ponto médio) do triângulo T_i em que seus valores foram calculados. Aproximamos localmente (i.e., em cada elemento triangular) a função $u(x, y)$ por um polinômio de quinto grau u_i nas variáveis x e y

$$\begin{aligned} u_i(x, y) = & a_1 + a_2x + a_3y + a_4x^2 + a_5xy + a_6y^2 + a_7x^3 + a_8x^2y + a_9xy^2 + a_{10}y^3 + a_{11}x^4 + a_{12}x^3y + \\ & + a_{13}x^2y^2 + a_{14}xy^3 + a_{15}y^4 + a_{16}x^5 + a_{17}x^4y + a_{18}x^3y^2 + a_{19}x^2y^3 + a_{20}xy^4 + a_{21}y^5. \end{aligned} \quad (2.29)$$

Optamos por essa implementação de grau 5, por dois motivos: esse elemento finito possui variáveis presentes nas condições de contorno do problema de vibração de uma placa com o *bordo livre* ou com o *bordo simplesmente suportado*. Saber trabalhar com essa implementação e com essas variáveis prepara o caminho para implementação do problema com essas diferentes condições de contorno.

Além disso, essa aproximação tem a característica de ser *conforme*. Tendo em mente o Teorema 2.1.1, isso significa que o polinômio aproximador u_i e sua derivada normal $\partial_n u_i$ são funções contínuas entre os elementos, o que pode ser concluído mostrando que as funções u_i e $\partial_n u_i$ são unicamente determinadas, ao longo de uma aresta (arbitrária) que liga dois elementos, pelas variáveis nodais presentes nesta aresta. Ao longo da aresta, u_i é um polinômio de grau 5:

$$u_i(x(s), y(s)) = u_i(s) = e_1 + e_2s + e_3s^2 + e_4s^3 + e_5s^4 + e_6s^5$$

e precisa de seis parâmetros para ser determinado.

Usaremos os valores de $\partial_s u_i$ e de $\partial_s(\partial_n u_i)$ nos pontos inicial e final da aresta, uma vez que esses valores são unicamente determinados pelas variáveis nodais presentes nos vértices do elemento triangular:

$$\begin{aligned} u_i(x_I, y_I) = u_i(s = 0) = e_1 & & u_i(x_F, y_F) = u_i(s = 1) = e_1 + e_2 + e_3 + e_4 + e_5 + e_6 \\ \partial_s u_i(x_I, y_I) = \partial_s u_i(s = 0) = e_2 & & \partial_s u_i(x_F, y_F) = \partial_s u_i(s = 1) = e_2 + 2e_3s + 3e_4s^2 + 4e_5s^3 + 5e_6s^4 \\ \partial_s(\partial_s u_i)(x_I, y_I) = \partial_s(\partial_s u_i)(s = 0) = e_3 & & \partial_s(\partial_s u_i)(x_F, y_F) = \partial_s(\partial_s u_i)(s = 1) = 2e_3 + 6e_4s + 12e_5s^2 + 20e_6s^3 \end{aligned} \quad (2.30)$$

Essas seis equações são suficientes para determinar os coeficientes e_1, \dots, e_6 do polinômio u_i . Portanto, u_i é contínuo entre os elementos. A derivada normal $\partial_n(s)$ é um polinômio de grau 4 ao longo da aresta: $\partial_n u_i(s) = d_1 + d_2s + d_3s^2 + d_4s^3 + d_5s^4$, que pode ser determinado pelas cinco relações abaixo

$$\begin{aligned} \partial_n u_i(x_M, y_M) = \partial_n u_i(s = 1/2) = d_1 + \frac{1}{2}d_2 + \frac{1}{4}d_3 + \frac{1}{8}d_4 + \frac{1}{16}d_5 \\ \partial_n u_i(x_I, y_I) = \partial_n u_i(s = 0) = d_1 & & \partial_n u_i(x_F, y_F) = \partial_n u_i(s = 1) = d_1 + d_2 + d_3 + d_4 \\ \partial_s(\partial_n u_i)(x_I, y_I) = \partial_s(\partial_n u_i)(s = 0) = d_2 & & \partial_s(\partial_n u_i)(x_F, y_F) = \partial_s(\partial_n u_i)(s = 1) = d_2 + 2d_3 + 3d_4 + 4d_5 \end{aligned} \quad (2.31)$$

de onde concluímos que a derivada normal também é contínua ao longo da aresta.

Nessa aproximação, as matrizes de rigidez e massa locais têm dimensão 21. Denotaremos por $\vec{a}_i = (a_1, \dots, a_{21})$ o vetor formado pelos coeficientes a_1, \dots, a_{21} do polinômio de quinto grau. Tais coeficientes são unicamente determinados pelas variáveis nodais pela relação $\vec{u}_i = C_i \vec{a}$, onde C_i é uma matriz que é obtida de maneira análoga àquela da aproximação quadrática, tem dimensão 21×21 e depende da geometria da malha – isto é, para cada elemento triangular, temos uma matriz C_i . Sua inversa C_i^{-1} nos fornece a relação $\vec{a} = C_i^{-1} \vec{u}$ que será utilizada posteriormente.

Começemos pela primeira parte do funcional $\mathcal{J}: \mathcal{S}^{(1)}$, calculada em cada triângulo T_i da malha. Calculamos suas parcelas separadamente:

$$\iint_{T_i} u_{xx}^2 dx dy \quad (1)$$

$$\iint_{T_i} u_{yy}^2 dx dy \quad (2)$$

$$\iint_{T_i} u_{xy}^2 dx dy \quad (3)$$

$$\iint_{T_i} u_{xx} u_{yy} dx dy \quad (4)$$

O polinômio u_i (2.29) foi substituído em cada uma dessas quatro expressões para o cálculo das integrais. Como $u(x, y)$ é polinômio de grau 5, os integrandos serão compostos por produtos de dois polinômios de grau 3. Descreveremos o procedimento detalhado para uma delas.

Para a integral (1):

$$u_{xx} = 2a_4 + 6a_7x + 2a_8y + 12a_{11}x^2 + 6a_{12}xy + 2a_{13}y^2 + 20a_{16}x^3 + 12a_{17}x^2y + 6a_{18}xy^2 + 2a_{19}y^3 .$$

Considere o operador derivação $D_{xx} : \mathbb{R}^{21} \rightarrow \mathbb{R}^{10}$, como descrito em no item (i) da seção anterior (2.8). D_{xx} leva os 21 coeficientes a_1, \dots, a_{21} , que determinam o polinômio de grau 5, em 10 coeficientes que determinam um polinômio de grau 3. No caso de $u_{i_{xx}}$, $(a_1, \dots, a_{21}) \mapsto (2a_4, 6a_7, 2a_8, 12a_{11}, 6a_{12}, 2a_{13}, 20a_{16}, 12a_{17}, 6a_{18}, 2a_{19})$. A matriz associada a esse operador, $[D_{xx}]$, considerando bases canônicas do \mathbb{R}^{21} e \mathbb{R}^{10} , tem dimensão 10×21 e é dada por

$$[D_{xx}] = \begin{bmatrix} 0 & 0 & 0 & 2 & 0 & 0 & 0 & 0 & 0 & 0 & 0 & 0 & 0 & 0 & 0 & 0 & 0 & 0 & 0 & 0 \\ 0 & 0 & 0 & 0 & 0 & 0 & 6 & 0 & 0 & 0 & 0 & 0 & 0 & 0 & 0 & 0 & 0 & 0 & 0 & 0 \\ 0 & 0 & 0 & 0 & 0 & 0 & 0 & 2 & 0 & 0 & 0 & 0 & 0 & 0 & 0 & 0 & 0 & 0 & 0 & 0 \\ 0 & 0 & 0 & 0 & 0 & 0 & 0 & 0 & 0 & 0 & 12 & 0 & 0 & 0 & 0 & 0 & 0 & 0 & 0 & 0 \\ 0 & 0 & 0 & 0 & 0 & 0 & 0 & 0 & 0 & 0 & 0 & 6 & 0 & 0 & 0 & 0 & 0 & 0 & 0 & 0 \\ 0 & 0 & 0 & 0 & 0 & 0 & 0 & 0 & 0 & 0 & 0 & 0 & 2 & 0 & 0 & 0 & 0 & 0 & 0 & 0 \\ 0 & 0 & 0 & 0 & 0 & 0 & 0 & 0 & 0 & 0 & 0 & 0 & 0 & 0 & 0 & 20 & 0 & 0 & 0 & 0 \\ 0 & 0 & 0 & 0 & 0 & 0 & 0 & 0 & 0 & 0 & 0 & 0 & 0 & 0 & 0 & 0 & 12 & 0 & 0 & 0 \\ 0 & 0 & 0 & 0 & 0 & 0 & 0 & 0 & 0 & 0 & 0 & 0 & 0 & 0 & 0 & 0 & 0 & 6 & 0 & 0 \\ 0 & 0 & 0 & 0 & 0 & 0 & 0 & 0 & 0 & 0 & 0 & 0 & 0 & 0 & 0 & 0 & 0 & 0 & 2 & 0 \end{bmatrix}$$

Denotemos o vetor $[D_{xx}] \vec{a} = (2a_4, 6a_7, 2a_8, 12a_{11}, 6a_{12}, 2a_{13}, 20a_{16}, 12a_{17}, 6a_{18}, 2a_{19})$ por

$$\vec{b} = (b_1, b_2, b_3, b_4, b_5, b_6, b_7, b_8, b_9, b_{10}) .$$

Assim, a integral $\iint_{T_i} u_{i_{xx}}^2 dx dy = \iint_{T_i} (D_{xx} u_i)^2 dx dy$ é a integral do quadrado de um polinômio cúbico (o produto de dois polinômios cúbicos iguais), determinado pelos 10 coeficientes b_1, \dots, b_{10} .

Diferentemente do caso da aproximação quadrática, as expressões (1), (2), (3) e (4) não apresentam apenas constantes, o que torna os cálculos de tais integrais mais complicados, pois ficam dependentes de cada triângulo T_i . Para simplificar os cálculos, foi feita uma mudança de coordenadas na integral, através da transformação F (2.9), para que a integral pudesse ser calculada no triângulo padrão T_0 , utilizando o teorema (2.1.1).

A transformação F leva o polinômio cúbico $u_{i_{xx}}$, definido no plano xy e com coeficientes $\vec{b} = (b_1, b_2, b_3, b_4, b_5, b_6, b_7, b_8, b_9, b_{10})$ em um polinômio cúbico nas variáveis $\xi\eta$ e com vetor de coeficientes $\vec{\beta} = (\beta_1, \beta_2, \beta_3, \beta_4, \beta_5, \beta_6, \beta_7, \beta_8, \beta_9, \beta_{10})$.

Como vimos no início do capítulo, a relação entre as famílias de coeficientes $\beta_1, \dots, \beta_{10}$, do polinômio no plano xy , e b_1, \dots, b_{10} , é dada por $\vec{\beta} = D_i \vec{b}$. Assim, de (2.11) e utilizando o teorema (2.1.1) temos que

$$\begin{aligned} \iint_{T_i} u_{i_{xx}}^2 dx dy &= \\ &= \iint_{T_0} J_i [\beta_1 + \beta_2 \xi + \beta_3 \eta + \beta_4 \xi^2 + \beta_5 \xi \eta + \beta_6 \eta^2 + \beta_7 \xi^3 + \beta_8 \xi^2 \eta + \beta_9 \xi \eta^2 + \beta_{10} \eta^3]^2 d\xi d\eta = \\ &= J_i (\vec{\beta}^T P \vec{\beta}) . \end{aligned} \quad (2.32)$$

Ou seja, a integral pode ser escrita como uma forma quadrática dos coeficientes $\beta_1, \dots, \beta_{10}$, onde P é uma matriz quadrada, de dimensão 10×10 , simétrica, positiva definida e cujas entradas são obtidas por integrais de monômios do tipo $\iint_{T_i} \xi^p \eta^q d\xi d\eta$.

Então podemos escrever:

$$\begin{aligned} \iint_{T_i} u_{i_{xx}}^2 dx dy &= J_i \vec{\beta}^T P \vec{\beta} = J_i (D_i \vec{b})^T P (D_i \vec{b}) = J_i \vec{b}^T (D_i^T P D_i) \vec{b} = \\ &= J_i (D_{xx} \vec{a})^T D^T P D (D_{xx} \vec{a}) = J_i \vec{a}^T (D_{xx}^T D^T P D D_{xx}) \vec{a} = \\ &= J_i (C_i^{-1} \vec{u})^T D_{xx}^T D_i^T P D_i D_{xx} (C_i^{-1} \vec{u}) = J_i \vec{u}^T ((C_i^{-1})^T D_{xx}^T D_i^T P D_i D_{xx} C_i^{-1}) \vec{u} . \end{aligned}$$

Tal integral é uma forma quadrática, representada pela matriz $((C_i^{-1})^T D_{xx}^T D_i^T P D_i D_{xx} C_i^{-1})$. Os produtos entre matrizes são coerentes: P e D são matrizes 10×10 , logo, $D_i^T P D_i$ é matriz 10×10 . D_{xx} é matriz 10×21 o que faz com que $D_{xx}^T D_i^T P D_i D_{xx}$ seja matriz 21×21 , por último, C_i^{-1} é 21×21 e, portanto, a matriz da forma quadrática (1) tem dimensão 21×21 . Ainda, tais produtos preservam a simetria de P . Para o cálculo das integrais (2), (3) e (4), o procedimento é análogo.

De uma maneira mais geral, podemos dizer que a integral do produto de dois polinômios em duas variáveis pode ser vista como uma forma bilinear (simétrica) dos coeficientes de cada um desses polinômios. No caso da integral (1) os dois fatores de tal produto foram o mesmo polinômio e por isso obtivemos diretamente uma forma quadrática. Já a integral (4), por exemplo, apresenta um produto de dois polinômios distintos. Nesse caso, passamos primeiramente por uma forma bilinear, mas em seguida, obtemos também uma forma quadrática, como será mostrado a seguir. Aqui, usaremos que “Uma forma quadrática pode ser escrita como um polinômio homogêneo de grau 2 em suas variáveis. Ela pode ser representada matricialmente e tal representação é única se a matriz for simétrica.”

Notemos que apesar de uma matriz quadrada e simétrica definir uma única forma quadrática,

essa não é a única maneira de definir uma forma quadrática. A representação matricial não é única quando olhamos para todo o espaço das matrizes quadradas (é única apenas quando nos restringimos ao subespaço das matrizes quadradas e simétricas).

As matrizes P , D_i e C_i são as mesmas para todas as parcelas de (1) a (4), as únicas mudanças se dão na matriz da transformação derivação e nos vetores de coeficientes do plano $\xi\eta$ relativo à mudança de variáveis F .

Considerando $\vec{c} = D_{yy}\vec{a}$; $\vec{d} = D_{xy}\vec{a}$; $\vec{\gamma} = D_i\vec{c}$ e $\vec{\delta} = D_i\vec{d}$, temos:

Para (2) :

$$\begin{aligned} \iint_{T_i} u_{iyy}^2 dx dx &= J_i \vec{\gamma}^T P \vec{\gamma} = J_i (D_i \vec{c})^T P (D_i \vec{c}) = J_i \vec{c}^T (D_i^T P D_i) \vec{c} = J_i (D_{yy} \vec{a})^T D_i^T P D_i (D_{yy} \vec{a}) = \\ &= J_i \vec{a}^T (D_{yy}^T D_i^T P D_i D_{yy}) \vec{a} = J_i (C_i^{-1} \vec{u})^T D_{yy}^T D_i^T P D_i D_{yy} (C_i^{-1} \vec{u}) = J_i \vec{u} (C_i^{-1T} D_{yy}^T D_i^T P D_i D_{yy} C_i^{-1}) \vec{u} \end{aligned} \quad (2.33)$$

Para (3):

$$\begin{aligned} \iint_{T_i} u_{ixy}^2 dx dx &= J_i \vec{\delta}^T P \vec{\delta} = J_i (D_i \vec{d})^T P (D_i \vec{d}) = J_i \vec{d}^T (D_i^T P D_i) \vec{d} = J_i (D_{xy} \vec{a})^T D_i^T P D_i (D_{xy} \vec{a}) = \\ &= J_i \vec{a}^T (D_{xy}^T D_i^T P D_i D_{xy}) \vec{a} = J_i (C_i^{-1} \vec{u})^T D_{xy}^T D_i^T P D_i D_{xy} (C_i^{-1} \vec{u}) = J_i \vec{u} (C_i^{-1T} D_{xy}^T D_i^T P D_i D_{xy} C_i^{-1}) \vec{u} \end{aligned} \quad (2.34)$$

Para a integral (4) que apresenta o produto de dois polinômios cúbicos distintos, obtemos:

$$\iint_{T_i} u_{ixx} u_{iyy} dx dx = J_i \vec{\beta}^T P \vec{\gamma} = J_i (D_i \vec{b})^T P (D_i \vec{c}) = J_i \vec{b}^T (D_i^T P D_i) \vec{c}.$$

Até esse ponto, temos uma forma bilinear simétrica, representada pela matriz $(D_i^T P D_i)$. Tal matriz é simétrica, pois P é simétrica e D_i é não singular. Ao substituímos os vetores \vec{b} e \vec{c} pela relação que os define: $D_{xx}\vec{a}$ e $D_{yy}\vec{a}$, respectivamente, obtemos uma forma quadrática

$$J_i D_{xx} \vec{a}^T (D_i^T P D_i) D_{yy} \vec{a} = J_i \vec{a} D_{xx}^T D_i^T P D_i D_{yy} \vec{a}.$$

Notemos que a matriz que representa tal forma quadrática não é simétrica. A simetria foi perdida pois as matrizes D_{xx}^T e D_{yy} , que foram multiplicadas à esquerda e a direita de $(D_i^T P D_i)$, respectivamente, são distintas. Entretanto, continuamos obtendo um polinômio homogêneo de grau dois nos coeficientes (a_1, \dots, a_{21}) do polinômio de grau cinco e, portanto, temos ainda uma forma quadrática. Continuando, obtemos

$$\begin{aligned} \iint_{T_i} u_{ixx} u_{iyy} dx dx &= J_i \vec{\beta}^T P \vec{\gamma} = J_i (D_i \vec{b})^T P (D_i \vec{c}) = J_i \vec{b}^T (D_i^T P D_i) \vec{c} = J_i (D_{xx} \vec{a})^T D_i^T P D_i (D_{yy} \vec{a}) = \\ &= J_i \vec{a}^T (D_{xx}^T D_i^T P D_i D_{yy}) \vec{a} = J_i C_i^{-1} \vec{u}^T (D_{xx}^T D_i^T P D_i D_{yy}) C_i^{-1} \vec{u} = J_i \vec{u}^T (C_i^{-1})^T D_{xx}^T D_i^T P D_i D_{yy} C_i^{-1} \vec{u} \end{aligned} \quad (2.35)$$

Dessa forma, a integral (4) consiste numa forma quadrática, apesar de sua representação matricial (natural, i.e. intrínseca da montagem) $J_i [(C_i^{-1})^T D_{xx}^T D_i^T P D_i D_{yy} C_i^{-1}]$ não ser simétrica.

Como essa etapa é parte de um processo que visa construir uma matriz simétrica, vamos utilizar o fato de que

Teorema 2.3.1. *Dada uma forma quadrática, existe uma única matriz simétrica que a define. E dada uma matriz simétrica, existe uma única forma quadrática definida por ela, ou seja, existe um isomorfismo entre o espaço das formas quadráticas e das matrizes quadradas simétricas.*

E o fato de que

Teorema 2.3.2. *Dada uma matriz quadrada A , a matriz $B = \frac{1}{2}(A + A^T)$ é simétrica e define a mesma forma quadrática que A .*

Substituímos então a matriz não simétrica $(C^{-1T} D_{xx}^T D_i^T P D_i D_{yy} C^{-1})$, por sua simetriação:

$$\begin{aligned} & \frac{1}{2} \{ (C^{-1T} D_{xx}^T D_i^T P D_i D_{yy} C^{-1}) + (C^{-1T} D_{xx}^T D_i^T P D_i D_{yy} C^{-1})^T \} = \\ & \frac{1}{2} \{ (C^{-1T} D_{xx}^T D_i^T P D_i D_{yy} C^{-1}) + (C^{-1T} D_{yy}^T D_i^T P D_i D_{xx} C^{-1}) \}. \end{aligned} \quad (2.36)$$

E então a forma quadrática $\iint_{T_i} u_{i_{xx}} u_{i_{yy}} dx dx$ pode ser escrita como

$$\iint_{T_i} u_{i_{xx}} u_{i_{yy}} dx dx = J_i \vec{u}^T \left\{ \frac{1}{2} (C_i^{-1T} D_{xx}^T D_i^T P D_i D_{yy} C_i^{-1} + C_i^{-1T} D_{yy}^T D_i^T P D_i D_{xx} C_i^{-1}) \right\} \vec{u}.$$

Combinando as parcelas (1), (2), (3) e (4) com os devidos coeficientes a integral $\mathcal{J}^{(1)}$ fica assim:

$$\begin{aligned} \mathcal{J}^{(1)} = \iint_{T_i} u_{i_{xx}}^2 + u_{i_{yy}}^2 + 2\nu u_{i_{xx}} u_{i_{yy}} + 2(1-\nu) u_{i_{xy}}^2 dx dy = J_i \{ [(1) + (2) + 2(1-\nu)(3) + 2\nu(4)] \} = \\ J_i \{ \vec{u} [(C_i^{-1T} D_{xx}^T D_i^T P D_i D_{xx} C_i^{-1}) + (C_i^{-1T} D_{yy}^T D_i^T P D_i D_{yy} C_i^{-1}) + \\ 2(1-\nu)(C_i^{-1T} D_{xy}^T D_i^T P D_i D_{xy} C_i^{-1}) + 2\nu(C_i^{-1T} D_{xx}^T D_i^T P D_i D_{yy} C_i^{-1})] \vec{u} \}. \end{aligned}$$

E, assim, fica definida a matriz de rigidez local:

$$\begin{aligned} S_i = J_i [(C_i^{-1T} D_{xx}^T D_i^T P D_i D_{xx} C_i^{-1}) + (C_i^{-1T} D_{yy}^T D_i^T P D_i D_{yy} C_i^{-1}) + \\ 2(1-\nu)(C_i^{-1T} D_{xy}^T D_i^T P D_i D_{xy} C_i^{-1}) + 2\nu(C_i^{-1T} D_{xx}^T D_i^T P D_i D_{yy} C_i^{-1})] \end{aligned} \quad (2.37)$$

Quanto à integral $\mathcal{J}^{(2)} = \iint_{T_i} u_i^2 dx dy$, estamos integrando o quadrado de um polinômio de grau 5, nas variáveis x e y . Para isso, usaremos novamente a mudança de coordenadas F usada na montagem das parcelas de $\mathcal{J}^{(1)}$. Com isso, a integral passa a ser calculada no triângulo padrão T_0 do plano $\xi\eta$. Usaremos as “mesmas” matrizes (em termos de estrutura e finalidade) D_i , P e C_i^{-1} usadas anteriormente, mas agora, com P e D_i de dimensão 21. Sendo $\vec{\alpha} = D_i \vec{a}$ e $\vec{a} = C_i^{-1} \vec{u}_i$, ficamos

com o seguinte:

$$\begin{aligned}
\mathcal{J}^{(2)} &= \iint_{T_i} u_i^2 dx dy = J_i \iint_{T_0} (u_i(F^{-1}(\xi, \eta)))^2 d\xi d\eta = \\
&= J_i [\alpha_1 + \alpha_2\xi + \alpha_3\eta + \alpha_4\xi^2 + \alpha_5\xi\eta + \alpha_6\eta^2 + \alpha_7\xi^3 + \alpha_8\xi^2\eta + \alpha_9\xi\eta^2 + \alpha_{10}\eta^3 + \alpha_{11}\xi^4 + \alpha_{12}\xi^3\eta + \\
&\quad + \alpha_{13}\xi^2\eta^2 + \alpha_{14}\xi\eta^3 + \alpha_{15}\eta^4 + \alpha_{16}\xi^5 + \alpha_{17}\xi^4\eta + \alpha_{18}\xi^3\eta^2 + \alpha_{19}\xi^2\eta^3 + \alpha_{20}\xi\eta^4 + \alpha_{21}\eta^5]^2 d\xi d\eta = \\
&= J_i \vec{\alpha}^T P \vec{\alpha} = J_i (D_i \vec{\alpha})^T P D_i \vec{\alpha} = J_i \vec{\alpha} (D_i^T P D_i) \vec{\alpha} = J_i (C_i^{-1} \vec{u})^T D_i^T P D_i C_i^{-1} \vec{u} = J_i \vec{u} (C_i^{-T} D_i^T P D_i C_i^{-1}) \vec{u}.
\end{aligned} \tag{2.38}$$

Assim, definimos $M_i = J_i (C_i^{-T} D_i^T P D_i C_i^{-1})$, que é a matriz de massa local. Esse produto de matrizes é coerente, pois todas as matrizes envolvidas têm dimensão 21. A simetria de P é mantida nesse produto e, se as matrizes D_i e C_i são não singulares, M_i é positiva definida como P . Isso é devido ao

Teorema 2.3.3. *Seja P uma matriz quadrada, de dimensão n , simétrica e positiva definida. Se Q é matriz de dimensão n , não singular, então o produto $Q^T P Q$ é matriz positiva definida.*

Demonstração: Como P é positiva definida, então $\langle u, P u \rangle > 0$, $\forall u \in \mathbb{R}^n$, $u \neq 0$. Seja $v \in \mathbb{R}^n$, $v \neq 0$. Como Q é não singular, $Q v \neq 0$ e, portanto, $\langle Q v, P Q v \rangle > 0$. Mas

$$0 < \langle Q v, P Q v \rangle = \langle v, Q^T P Q v \rangle, \quad \forall v \neq 0$$

de onde concluímos que $Q^T P Q$ é matriz positiva definida. \square

Agora, utilizamos as matrizes de massa e rigidez locais para a montagem das matrizes de massa e rigidez globais. Novamente como na aproximação quadrática, para cada triângulo T_i da malha, a matriz global recebe na posição (i_m, i_n) o valor que está na posição (m, n) da matriz local, para $m, n \in \{1, 2, 3, 4, 5, 6\}$. Ou seja: $S_{i_m, i_n} = S_{m, n} + S_{mn}^i$ no caso da matriz de rigidez e $M_{i_m, i_n} = M_{m, n} + M_{mn}^i$ no caso da matriz de massa, onde i_m indica a numeração global do nó local m do triângulo T_i . Assim, cada triângulo local dá a sua contribuição na malha e portanto, cada nó incorpora as informações das variáveis de cada triângulo que nele incide.

Depois da montagem das matrizes globais a partir das matrizes locais, o último passo para finalizar o processo de montagem das matrizes que serão usadas no problema de autovalor, é contabilizar as condições de contorno do problema. A condição de *bordo grampeado* $u = \partial_n u = 0$, no problema de vibração de uma placa fina de metal tem como consequência o anulamento dos valores de u e de sua derivada normal $\partial_n u$ na fronteira $\partial\Omega$ do domínio Ω . Assim, para todos os nós da fronteira de Ω , o valor de u e $\partial_n u$ já são conhecidos e portanto o problema de autovalor não precisa ser resolvido para eles.

Nesse caso da aproximação de quinto grau, devemos considerar que, além dos valores de u e de $\partial_n u$, temos como variáveis nodais nos vértices do triângulo as derivadas de primeira e segunda ordem de u : $u_x, u_y, u_{xx}, u_{xy}, u_{yy}$. Como o valor da função u deve se anular na fronteira, isso implica que a derivada de u na direção tangente é zero. Como $\partial_n u$ pode ser escrito em função dos valores de u_x e u_y e $\partial_n u = 0$ na fronteira, segue que $u_x = u_y = 0$ em $\partial\Omega$. Aplicar essas condições de contorno, consiste em eliminar das matrizes globais, as linhas e colunas relativas às variáveis u, u_x, u_y e $\partial_n u$ daqueles nós que pertencem à fronteira do domínio. Foi necessário tomar um certo cuidado

na implementação desta etapa, uma vez que num mesmo nó que é vértice de triângulo incidem seis variáveis nodais (e não apenas uma como no caso da aproximação quadrática) e dessas seis, apenas três foram eliminadas dos vértices de fronteira.

Observações sobre a matriz C_i

A matriz C_i , como na seção anterior, depende da geometria da malha e terá que ser invertida tantas vezes quanto o número de triângulos que a malha contém. Nesse caso da aproximação de quinto grau, em que temos muito mais variáveis, se comparada com a aproximação quadrática, essa inversão nos causou alguns problemas computacionais, já que trabalhamos com a inversão de matrizes muito grandes. Falaremos adiante, no Capítulo 3 sobre duas alternativas encontradas para tentar contornar esse problema.

Essa primeira abordagem descrita até aqui não nos forneceu resultados satisfatórios. O programa é “instável” sob a mudança de malhas, no sentido de que para certas malhas a matriz de massa numérica perde sua característica de ser positiva definida, condição necessária para que o problema de autovalores generalizado possa ser resolvido numericamente.

Capítulo 3

Tratamentos alternativos para a aproximação de quinto grau

3.1 Evitando as várias inversões da matriz C_i

Vimos que, na implementação do elemento conforme de quinto grau, a matriz C_i depende da geometria da malha, o que a torna diferente para cada triângulo. Com isso, ela deve ser montada e invertida tantas vezes quanto for o número de elementos da malha. Foi observado que numa mesma malha, a matriz C_i foi encontrada singular, e portanto não inversível, para vários elementos T_i 's da malha, impossibilitando a solução numérica do problema. Acreditamos que isso possa ter acontecido devido ao refinamento da malha, que torna cada elemento triangular cada vez menor.

De modo geral, por construção, a matriz C_i fica dependente da malha quando a aproximação da função deslocamento $u(x, y)$ pelo polinômio u_i é feita num triângulo arbitrário no plano xy . Se essa aproximação é feita no triângulo padrão T_0 do no plano $\xi\eta$, a matriz C_i passa a ser independente da geometria da malha e portanto não precisa ser montada e invertida para cada triângulo. A matriz C_i só precisa ser calculada uma vez, o que nos permite chamar C_i apenas de C .

Uma ideia, então, foi estabelecer uma maneira de fazer a aproximação polinomial de quinto grau diretamente no triângulo padrão. Para isso, aplicaríamos a mudança de coordenadas F ao elemento finito T_i , de grau 5, levando-o, juntamente com suas variáveis nodais, para o triângulo padrão. A dificuldade de se fazer essa transformação é controlar o mapeamento das direções normais de T_i para T_0 , uma vez que a direção normal fica distorcida por essa transformação, e cada distorção depende da geometria de cada triângulo T_i .

A fim de melhorar essa situação desenvolvemos uma maneira de realizar a aproximação polinomial no triângulo padrão, através da mudança de algumas das variáveis nodais que compõem o elemento finito triangular. Optamos por trocar a derivada normal do ponto médio das arestas por outras variáveis que independem da direção normal, de modo a não haver preocupação com o controle da direção do vetor normal sob a transformação F .

Queremos deixar claro aqui que a ideia não foi começar uma implementação totalmente nova, definindo um novo tipo de elemento finito, mas, foi aproveitar o elemento conforme de quinto grau e usar a nova organização de variáveis (o novo elemento) como mais uma etapa da implementação, uma etapa “facilitadora”. Nessa etapa, o objetivo é reorganizar as novas variáveis a partir das originais, relacionando os dois conjuntos de variáveis nodais. Essa relação pôde ser estabelecida

através de uma matriz, que denotaremos por NC .

3.2 Reorganizando o elemento triangular conforme

Nesta seção definiremos o elemento triangular que foi obtido da substituição de algumas variáveis nodais, com o objetivo de fazer a aproximação no triângulo padrão T_0 do plano $\xi\eta$. Para diferenciar o novo conjunto de variáveis nodais escolhido, nos referenciaremos ao conjunto de variáveis nodais originais do elemento de quinto grau por *variáveis clássicas*.

As variáveis escolhidas para compor esse novo elemento foram as seguintes: nos vértices do triângulo, os valores da função u e de suas derivadas de segunda ordem u_{xx}, u_{yy} e u_{xy} , e, nos pontos médios das arestas os valores de u e suas derivadas de primeira ordem u_x e u_y . Os valores de u e suas derivadas de segunda ordem nos vértices também aparecem no conjunto das variáveis *clássicas*. A novidade são as derivadas de primeira ordem que passaram dos vértices para os pontos médios, substituindo as derivadas normais. Definimos uma notação para cada um desses conjuntos de variáveis que leva em conta o número de variáveis nodais nos vértices do triângulo e no ponto médio das suas arestas. O conjunto de variáveis clássico será do tipo 6-1, devido às seis variáveis nodais nos vértices e a única variável nodal nos pontos médios. O conjunto de variáveis novas, será do tipo 4-3 (quatro variáveis nodais nos vértices e três variáveis nodais nos pontos médios). Os vetores para cada conjunto de variáveis serão denotado por \vec{u}_S e \vec{u}_Q , respectivamente (“S” de seis e “Q” de quatro).

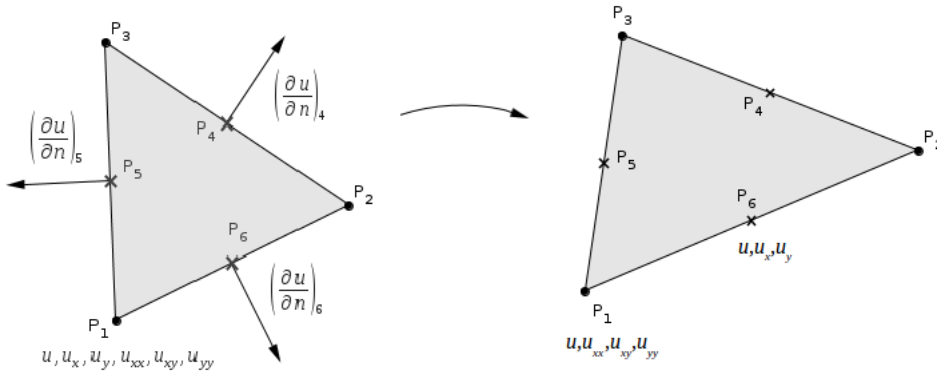


Figura 3.1: Elemento finito de quinto grau. Organização dos conjunto de variáveis clássica: tipo 6-1 e conjunto de variáveis novas: tipo 4-3.

Sendo assim, temos:

$$\vec{u}_Q = (u^1, u^2, u^3, u^4, u^5, u^6, u_x^4, u_x^5, u_x^6, u_y^4, u_y^5, u_y^6, u_{xx}^1, u_{xx}^2, u_{xx}^3, u_{xy}^1, u_{xy}^2, u_{xy}^3, u_{yy}^1, u_{yy}^2, u_{yy}^3)$$

e

$$\vec{u}_S = (u^1, u^2, u^3, u_x^1, u_x^2, u_x^3, u_y^1, u_y^2, u_y^3, u_{xx}^1, u_{xx}^2, u_{xx}^3, u_{xy}^1, u_{xy}^2, u_{xy}^3, u_{yy}^1, u_{yy}^2, u_{yy}^3, \partial_n u^4, \partial_n u^5, \partial_n u^6) .$$

O índice acima de cada variável indica a numeração do nó do elemento onde esse valor será calculado. Para relacionar esses dois vetores, foi necessário escrever cada uma das novas variáveis nodais em função daquelas que aparecem no vetor de variáveis nodais clássicas. Mas como os valores

de u nos vértices do triângulo e as derivadas de segunda ordem aparecem em ambos vetores, essa variáveis se relacionam de forma trivial. O maior trabalho se dá na construção dessa relação para os valores de u nos pontos médios das arestas e para o valor das derivadas de primeira ordem u_x e u_y nesses pontos. Para isso utilizamos a técnica de interpolação com diferenças divididas.

A seguir apresentamos como foi estabelecida tal relação entre as *variáveis novas* e *clássicas*, bem como o processo de interpolação. Mais adiante, apresentamos como ficam as expressões dos funcionais $\mathcal{J}^{(1)}$ e \mathcal{J}^2 nessa nova formulação.

3.2.1 Procedimento para relacionar as variáveis novas e as clássicas:

O objetivo é escrever o valor de $u(x, y)$ e de suas derivadas de primeira ordem u_x e u_y , nos pontos médios das arestas, como combinação das *variáveis nodais clássicas*. Para isso, consideramos a função polinomial $u(x, y)$ restrita a uma aresta do triângulo, onde ela se torna um polinômio $p(s)$ na variável s .

Consideramos a parametrização de uma aresta com um parâmetro de comprimento de arco s :

$$t(s) = P_I + \frac{s}{\ell}(P_F - P_I) = (x(s), y(s)),$$

em que ℓ é o comprimento da aresta, $P_I = (x_I, y_I)$ e $P_F = (x_F, y_F)$ são seus pontos inicial e final, respectivamente. Assim, em cada aresta j , o vetor (unitário) na direção da aresta j é dado por:

$$\vec{s}_j = (a_j, b_j) = \left(\frac{x_{F_j} - x_{I_j}}{\ell}, \frac{y_{F_j} - y_{I_j}}{\ell} \right) = \frac{dt(s)}{ds},$$

em que $\ell = \|\vec{s}_j\| = \sqrt{(x_{F_j} - x_{I_j})^2 + (y_{F_j} - y_{I_j})^2}$.

Os pontos inicial e final das arestas locais são fixados de forma que a direção da aresta, s_j , ao ser girada por 90 graus no sentido anti-horário, fique na direção normal apontada para fora do triângulo. Foi dessa forma que o vetor normal foi obtido: através da rotação do vetor \vec{s}_j por 90 graus no sentido anti-horário. Dessa forma, então definimos a direção do vetor normal (unitário) como:

$$\vec{n}_j = (n_{x_j}, n_{y_j}) = \begin{bmatrix} 0 & -1 \\ 1 & 0 \end{bmatrix} \cdot (a_j, b_j) = (-b_j, a_j)$$

As coordenadas cartesianas do vetor normal \vec{n} (ou do vetor aresta \vec{s}) nos fornece uma relação entre as derivadas nas direções cartesianas e as derivadas nas direções normal e tangente.

$$\partial_{\vec{s}} u = \nabla u \cdot \vec{s} = a_j u_x + b_j u_y$$

e

$$\partial_{\vec{n}} u = \nabla u \cdot \vec{n} = (-b_j) u_x + a_j u_y$$

Podemos escrever essa relação em notação matricial.

$$\begin{bmatrix} \partial_{\vec{s}} u \\ \partial_{\vec{n}} u \end{bmatrix} = A \cdot \begin{bmatrix} u_x \\ u_y \end{bmatrix} \quad e \quad \begin{bmatrix} u_x \\ u_y \end{bmatrix} = A^{-1} \cdot \begin{bmatrix} \partial_{\vec{s}} u \\ \partial_{\vec{n}} u \end{bmatrix},$$

em que

$$A = \begin{bmatrix} a_j & b_j \\ -b_j & a_j \end{bmatrix} \quad e \quad A^{-1} = \begin{bmatrix} a_j & -b_j \\ b_j & a_j \end{bmatrix}.$$

Seja $p(s) = u(t(s)) = u(x(s), y(s))$ a restrição de $u(x, y)$ a uma aresta j . Vamos usar esse polinômio para descrever o valor de $u(x, y)$ nos extremos e nos pontos médios das arestas. Denotaremos os valores de u e de suas derivadas calculados nos pontos inicial, final ou médio das arestas por índices superiores I , F e M , respectivamente.

Assim, obtemos as relações:

$$\begin{aligned} p(0) &= u(x_{I_j}, y_{I_j}) = u^I \\ p(\ell) &= u(x_{F_j}, y_{F_j}) = u^F \\ p(\ell/2) &= u(x_{M_j}, y_{M_j}) = u^M \end{aligned} \quad (3.1)$$

$$p'(s) = \frac{d}{ds}(u \circ t(s)) = \nabla u(x(s), y(s)) \cdot \frac{dt}{ds} = \nabla u \cdot \vec{s} = \frac{\partial u}{\partial \vec{s}}(x(s), y(s)).$$

$$\begin{aligned} p'(0) &= \frac{\partial u}{\partial \vec{s}}(x(0), y(0)) = \frac{\partial u}{\partial \vec{s}}(x_{I_j}, y_{I_j}) = u_s^I = a_j u_x^I + b_j u_y^I \\ p'(\ell/2) &= \frac{\partial u}{\partial \vec{s}}(x(\ell/2), y(\ell/2)) = \frac{\partial u}{\partial \vec{s}}(x_{M_j}, y_{M_j}) = u_s^M = a_j u_x^M + b_j u_y^M \end{aligned} \quad (3.2)$$

Também vamos precisar expressar o valor de $p''(s)$.

$$p''(s) = \frac{d}{ds} \left(\frac{\partial u}{\partial \vec{s}}(x(s), y(s)) \right) = \frac{d}{ds} \left[a_j \frac{\partial u}{\partial x}(x(s), y(s)) + b_j \frac{\partial u}{\partial y}(x(s), y(s)) \right],$$

em que a_j e b_j são as coordenadas do vetor aresta \vec{s}_j . Sendo

$$G(x(s), y(s)) = \left[a_j \frac{\partial u}{\partial x}(x(s), y(s)) + b_j \frac{\partial u}{\partial y}(x(s), y(s)) \right],$$

então

$$\begin{aligned} p''(s) &= \nabla G \cdot \vec{s} = \left(\frac{\partial G}{\partial x}, \frac{\partial G}{\partial y} \right) \cdot (a_j, b_j) = \\ &= \left(a_j \frac{\partial^2 u}{\partial x^2}(x(s), y(s)) + b_j \frac{\partial^2 u}{\partial x \partial y}(x(s), y(s)), a_j \frac{\partial^2 u}{\partial x \partial y}(x(s), y(s)) + b_j \frac{\partial^2 u}{\partial y^2}(x(s), y(s)) \right) \cdot (a_j, b_j) = \\ &= a_j^2 \frac{\partial^2 u}{\partial x^2}(x(s), y(s)) + 2b_j a_j \frac{\partial^2 u}{\partial x \partial y}(x(s), y(s)) + b_j^2 \frac{\partial^2 u}{\partial y^2}(x(s), y(s)). \end{aligned}$$

Assim, para uma aresta j , ($j = 1, 2, 3$) temos:

$$\begin{aligned} p''(0) &= a_j^2 \frac{\partial^2 u}{\partial x^2}(x_{I_j}, y_{I_j}) + 2b_j a_j \frac{\partial^2 u}{\partial x \partial y}(x_{I_j}, y_{I_j}) + b_j^2 \frac{\partial^2 u}{\partial y^2}(x_{I_j}, y_{I_j}) = a_j^2 u_{xx}^I + 2b_j a_j u_{xy}^I + b_j^2 u_{yy}^I \\ p''(\ell) &= a_j^2 \frac{\partial^2 u}{\partial x^2}(x_{F_j}, y_{F_j}) + 2b_j a_j \frac{\partial^2 u}{\partial x \partial y}(x_{F_j}, y_{F_j}) + b_j^2 \frac{\partial^2 u}{\partial y^2}(x_{F_j}, y_{F_j}) = a_j^2 u_{xx}^F + 2b_j a_j u_{xy}^F + b_j^2 u_{yy}^F. \end{aligned} \quad (3.3)$$

Com essas expressões em mãos, escrevemos as novas variáveis nodais em função das variáveis nodais originais. Os valores de $u(x, y)$ nos vértices do elemento triangular serão mantidos. Precisamos expressar $u(x, y)$, $u_x(x, y)$ e $u_y(x, y)$ nos pontos médios de cada aresta, i.e. temos que escrever $u^k = u(x_{m_j}, y_{m_j})$, $u_x^k(x_{m_j}, y_{m_j})$ e $u_y^k(x_{m_j}, y_{m_j})$, em função das variáveis nodais clássicas, para $k = 4, 5, 6$ (k varia segundo a numeração local das arestas) e $j = 1, 2, 3$ (j varia no número de arestas por elemento triangular):

$$\begin{aligned} u(x_{m_j}, y_{m_j}) &= p(l/2) \\ u_x(x_{m_j}, y_{m_j}) &= a_j \frac{\partial u}{\partial \bar{s}}(x_m, y_m) + (-b_j) \frac{\partial u}{\partial \bar{n}}(x_m, y_m) = a_j p'(l/2) - b_j \frac{\partial u}{\partial \bar{n}}(x_m, y_m) \\ u_y(x_{m_j}, y_{m_j}) &= b_j \frac{\partial u}{\partial \bar{s}}(x_m, y_m) + a_j \frac{\partial u}{\partial \bar{n}}(x_m, y_m) = b_j p'(l/2) + a_j \frac{\partial u}{\partial \bar{n}} \end{aligned} \quad (3.4)$$

em que os valores de p e p' , serão obtidas por interpolação, como veremos na Subseção 3.2.2.

3.2.2 Interpolação - uma expressão para $p(s)$ em função dos valores de p, p' e p'' nas extremidades das arestas

Nessa relação entre as variáveis modais novas e clássicas (originais), teremos que escrever variáveis nos pontos médios em função dos valores de u e suas primeiras derivadas nos vértices e vice-versa. Para isso, estamos usando o valor de $p(s)$ como um "passo intermediário". Mas, segundo o que a variáveis nodais clássicas nos fornece, só é conhecido o valor de $p(s)$ nos extremos das arestas. Para que seja possível expressar $p(s)$ em qualquer ponto da aresta, faremos uso da interpolação polinomial, escrevendo o polinômio $p(s)$ em função dos seus valores nos pontos inicial e final de cada aresta. Esses pontos foram tomados como base, pois é neles que se encontram as variáveis nodais do problema.

A função $u(x, y)$ é polinômio de grau cinco em cada elemento triangular. Restrito a uma aresta j , tal polinômio se torna um polinômio também de grau 5, mas apenas na variável s . Assim, escrevemos $p(s)$ em função das expressões de $p(0)$, $p(\ell)$, $p'(0)$, $p'(\ell)$, $p''(0)$ e $p''(\ell)$, usando diferenças divididas.

$$p(s) = p(0) + p'(0)s + 1/2 p''(0)s^2 + As^3 + B(s-l)s^3 + C(s-l)^2 s^3,$$

em que

$$\begin{aligned} A &= \frac{p(\ell) - p(0) - lp'(0) - \frac{1}{2}\ell^2 p''(0)}{\ell^3} \\ B &= \frac{3p(0) - 3p(\ell) + 2lp'(0) + lp'(\ell) + \frac{1}{2}\ell^2 p''(0)}{\ell^4} \\ C &= \frac{\frac{1}{2}p''(\ell)\ell^2 - \frac{1}{2}p''(0)\ell^2 - 3lp'(\ell) - 3lp'(0) + 6p(\ell) - 6p(0)}{\ell^5} \end{aligned} \quad (3.5)$$

Substituindo s por $l/2$ na equação acima obtemos:

$$p(l/2) = \frac{1}{2}p(0) + \frac{1}{2}p(\ell) + \frac{5\ell}{32}p'(0) + \frac{-5\ell}{32}p'(\ell) + \frac{\ell^2}{64}p''(0) + \frac{\ell^2}{64}p''(\ell).$$

Usando os valores de p , p' e p'' em 0 e em ℓ encontrados em (3.1), (3.2) e (3.3), obtemos:

$$\begin{aligned} p(\ell/2) &= \frac{1}{2}u^I + \frac{1}{2}u^F + \frac{5\ell}{32}(a_j u_x^I + b_j u_y^I) + \frac{-5\ell}{32}(a_j u_x^F + b_j u_y^F) + \\ &= \frac{\ell^2}{64}(u_{xx}^I a_j^2 + 2u_{xy}^I b_j a_j + u_{yy}^I b_j^2) + \frac{\ell^2}{64}u_{xx}^F a_j^2 + 2u_{xy}^F b_j a_j + u_{yy}^F b_j^2). \end{aligned} \quad (3.6)$$

Vamos precisar escrever o valor de $p'(\ell/2)$ em função dos valores de p , p' e p'' nos pontos inicial e final, e portanto, em função dos valores de $u(x, y)$ nos vértices das arestas; $p'(\ell/2)$ é obtida derivando o polinômio interpolador $p(s)$ e calculando-o em $\ell/2$:

$$\begin{aligned} p(s) &= p(0) + p'(0)s + 1/2p''(0)s^2 + As^3 + B(s-l)s^3 + C(s-l)^2s^3 \\ p'(s) &= p'(0) + p''(0)s + 3As^2 + B(s^3 + (s-l)3s^2) + C(2(s-l)s^3 + (s-l)^23s^2) \end{aligned} \quad (3.7)$$

de onde

$$\begin{aligned} p'(\ell/2) &= \frac{-30}{16\ell}p(0) + \frac{30}{16\ell}p(\ell) + \frac{-7}{16}p'(0) + \frac{-7}{16}p'(\ell) + \frac{-1}{32}p''(0) + \frac{1}{32}p''(\ell) = \\ &= \frac{-30}{16\ell}u^I + \frac{30}{16\ell}u^F + \frac{-7}{16}(a_j u_x^I + b_j u_y^I) + \frac{-7}{16}(a_j u_x^F + b_j u_y^F) + \\ &+ \frac{-1}{32}(u_{xx}^I a_j^2 + 2u_{xy}^I b_j a_j + u_{yy}^I b_j^2) + \frac{1}{32}(u_{xx}^F a_j^2 + 2u_{xy}^F b_j a_j + u_{yy}^F b_j^2). \end{aligned} \quad (3.8)$$

Agora, escrevemos os valores de $u(x_M, y_M)$, $u_x(x_M, y_M)$ e $u_y(x_M, y_M)$ em função de $p(\ell/2)$ e de $p'(\ell/2)$:

$$\begin{aligned} u^M &= u(x_M, y_M) = p(\ell/2) = \frac{1}{2}p(0) + \frac{1}{2}p(\ell) + \frac{5\ell}{32}p'(0) + \frac{-5\ell}{32}p'(\ell) + \frac{\ell^2}{64}p''(0) + \frac{\ell^2}{64}p''(\ell) = \\ &= \frac{1}{2}u^I + \frac{1}{2}u^F + \frac{5\ell}{32}(a_j u_x^I + b_j u_y^I) + \frac{-5\ell}{32}(a_j u_x^F + b_j u_y^F) + \\ &+ \frac{\ell^2}{64}(u_{xx}^I a_j^2 + 2u_{xy}^I b_j a_j + u_{yy}^I b_j^2) + \frac{\ell^2}{64}u_{xx}^F a_j^2 + 2u_{xy}^F b_j a_j + u_{yy}^F b_j^2). \end{aligned} \quad (3.9)$$

$$\begin{aligned} u_x^M &= u_x(x_M, y_M) = a_j u_s^M + (-b_j)u_n^M = a_j p'(\ell/2) - b_j u_n^M = \\ &= a_j \left(\frac{-30}{16\ell}p(0) + \frac{30}{16\ell}p(\ell) + \frac{-7}{16}p'(0) + \frac{-7}{16}p'(\ell) + \frac{-1}{32}p''(0) + \frac{1}{32}p''(\ell) \right) - b_j u_n^M = \\ &= a_j \left(\frac{-30}{16\ell}u^I + \frac{30}{16\ell}u^F + \frac{-7}{16}(a_j u_x^I + b_j u_y^I) + \frac{-7}{16}(a_j u_x^F + b_j u_y^F) + \right. \\ &\left. + \frac{-1}{32}(u_{xx}^I a_j^2 + 2u_{xy}^I b_j a_j + u_{yy}^I b_j^2) + \frac{1}{32}(u_{xx}^F a_j^2 + 2u_{xy}^F b_j a_j + u_{yy}^F b_j^2) \right) - b_j u_n^M. \end{aligned} \quad (3.10)$$

$$\begin{aligned} u_y^M &= u_y(x_M, y_M) = b_j u_s^M + a_j u_n^M = b_j p'(\ell/2) + a_j u_n^M = \\ &= b_j \left(\frac{-30}{16\ell}p(0) + \frac{30}{16\ell}p(\ell) + \frac{-7}{16}p'(0) + \frac{-7}{16}p'(\ell) + \frac{-1}{32}p''(0) + \frac{1}{32}p''(\ell) \right) + a_j u_n^M = \end{aligned} \quad (3.11)$$

$$\begin{aligned} &= b_j \left(\frac{-30}{16\ell}u^I + \frac{30}{16\ell}u^F + \frac{-7}{16}(a_j u_x^I + a_j u_y^I) + \frac{-7}{16}(a_j u_x^F + b_j u_y^F) + \right. \\ &\left. + \frac{-1}{32}(u_{xx}^I a_j^2 + 2u_{xy}^I b_j a_j + u_{yy}^I b_j^2) + \frac{1}{32}(u_{xx}^F a_j^2 + 2u_{xy}^F b_j a_j + u_{yy}^F b_j^2) \right) + a_j u_n^M \end{aligned} \quad (3.12)$$

Agora já temos tudo o que precisamos para relacionar as variáveis novas com as originais. Essa relação será feita através da matriz NC , cuja estrutura descreveremos a seguir, da seguinte forma:

$$\vec{u}_Q = (NC)\vec{u}_S .$$

3.2.3 Estrutura da matriz NC

A matriz NC tem estrutura segundo o esquema abaixo. Possui muitas entradas nulas e dois blocos de identidade. Em algumas entradas, o sinal poderá mudar conforme o elemento triangular, por isso elas foram indicadas com o sinal \pm . O sinal será definido conforme for definido qual vértice de cada aresta assume o papel de vértice inicial e vértice final. É importante construir um método para fazer tal distinção.

Neste esquema, letras iguais representam valores (teoricamente/estruturalmente) iguais. O que eu quero dizer com isso é que, mesmo já tendo fixado um triângulo i , os valores de x_I , x_F , y_I e y_F ainda dependem de cada aresta j , $j = 1, 2, 3$ deste triângulo.

Os valores a seguir são que compõe a matriz NC , com $j = 1, 2, 3$, são:

$$\begin{aligned} a &= \frac{5\ell}{32}a_j = \frac{5}{32}(x_{F_j} - x_{I_j}) & b &= \frac{5\ell}{32}b_j = \frac{5}{32}(y_{F_j} - y_{I_j}) \\ c &= \frac{\ell^2}{64}a_j^2 = \frac{l}{64}(x_{F_j} - x_{I_j})^2 & d &= \frac{\ell^2}{32}a_j b_j = \frac{l}{32}(x_{F_j} - x_{I_j})(y_{F_j} - y_{I_j}) \\ e &= \frac{\ell^2}{64}b_j^2 = \frac{l}{64}(y_{F_j} - y_{I_j})^2 & f &= \frac{30}{16\ell}a_j = \frac{30}{16\ell^2}(x_{F_j} - x_{I_j}) \\ g &= \frac{-7}{16}a_j^2 = \frac{-7}{16\ell^2}(x_{F_j} - x_{I_j})^2 & h &= \frac{-7}{16}a_j b_j = \frac{-7}{16\ell^2}(x_{F_j} - x_{I_j})(y_{F_j} - y_{I_j}) \\ i &= \frac{\ell}{32}a_j^3 = \frac{1}{32\ell^2}(x_{F_j} - x_{I_j})^3 & j &= \frac{\ell}{16}a_j^2 b_j = \frac{1}{16\ell^2}(x_{F_j} - x_{I_j})^2(y_{F_j} - y_{I_j}) \\ k &= \frac{\ell}{32}a_j b_j^2 = \frac{1}{32\ell^2}(x_{F_j} - x_{I_j})(y_{F_j} - y_{I_j})^2 & l &= \frac{30}{16\ell}b_j = \frac{30}{16\ell^2}(y_{F_j} - y_{I_j}) \\ m &= \frac{-7}{16}a_j b_j = \frac{-7}{16\ell^2}(x_{F_j} - x_{I_j})(y_{F_j} - y_{I_j}) & n &= \frac{-7}{16}b_j^2 = \frac{-7}{16\ell^2}(y_{F_j} - y_{I_j})^2 \\ o &= \frac{\ell}{32}b_j a_j^2 = \frac{1}{32\ell^2}(y_{F_j} - y_{I_j})(x_{F_j} - x_{I_j})^2 & p &= \frac{\ell}{16}a_j b_j^2 = \frac{1}{16\ell^2}(x_{F_j} - x_{I_j})(y_{F_j} - y_{I_j})^2 \\ q &= \frac{\ell}{32}b_j^3 = \frac{1}{32\ell^2}(y_{F_j} - y_{I_j})^3 & r &= -b_j = \frac{-(y_{F_j} - y_{I_j})}{\ell} \\ s &= a_j = \frac{(x_{F_j} - x_{I_j})}{\ell} \end{aligned}$$

Estrutura da matriz NC :

$Id_{3 \times 3}$			0						0						0					
0	$\frac{1}{2}$	$\frac{1}{2}$	0	$\pm a$	$\pm a$	0	$\pm b$	$\pm b$	0	c	c	0	d	d	0	e	e	0		
$\frac{1}{2}$	0	$\frac{1}{2}$	$\pm a$	0	$\pm a$	$\pm b$	0	$\pm b$	c	0	c	d	0	d	e	0	e			
$\frac{1}{2}$	$\frac{1}{2}$	0	$\pm a$	$\pm a$	0	b	b	0	c	c	0	d	d	0	e	e	0			
0	$\pm f$	$\pm f$	0	g	g	0	h	h	0	$\pm i$	$\pm i$	0	$\pm j$	$\pm j$	0	$\pm k$	$\pm k$	r	0	0
$\pm f$	0	$\pm f$	g	0	g	h	0	h	$\pm i$	0	$\pm i$	$\pm j$	0	$\pm j$	$\pm k$	0	$\pm k$	0	r	0
$\pm f$	$\pm f$	0	g	g	0	h	h	0	$\pm i$	$\pm i$	0	$\pm j$	$\pm j$	0	$\pm k$	$\pm k$	0	0	0	r
0	$\pm l$	$\pm l$	0	m	m	0	n	n	0	$\pm o$	$\pm o$	0	$\pm p$	$\pm p$	0	$\pm q$	$\pm q$	s	0	0
$\pm l$	0	$\pm l$	m	0	m	n	0	n	$\pm o$	0	$\pm o$	$\pm p$	0	$\pm p$	$\pm q$	0	$\pm q$	0	s	0
$\pm l$	$\pm l$	0	m	m	0	n	n	0	$\pm o$	$\pm o$	0	$\pm p$	$\pm p$	0	$\pm q$	$\pm q$	0	0	0	s
0			0						$Id_{9 \times 9}$						0					

3.2.4 Implementação do elemento triangular reorganizado

Depois de estabelecida a relação entre as variáveis do tipo 4-3 e as do tipo 6-1, aplicamos a mudança de variáveis F que leva o triângulo T_i no triângulo padrão T_0 . A aproximação da função u por um polinômio de quinto grau u_i foi feita então no plano $\xi\eta$. Ou seja, a função $u(\xi, \eta)$ foi aproximada por um polinômio

$$\begin{aligned}
 u_i(\xi, \eta) = & \alpha_1 + \alpha_2\xi + \alpha_3\eta + \alpha_4\xi^2 + \alpha_5\xi\eta + \alpha_6\eta^2 + \alpha_7\xi^3 + \alpha_8\xi^2\eta + \alpha_9\xi\eta^2 + \alpha_{10}\eta^3 + \alpha_{11}\xi^4 + \alpha_{12}\xi^3\eta + \\
 & + \alpha_{13}\xi^2\eta^2 + \alpha_{14}\xi\eta^3 + \alpha_{15}\eta^4 + \alpha_{16}\xi^5 + \alpha_{17}\xi^4\eta + \alpha_{18}\xi^3\eta^2 + \alpha_{19}\xi^2\eta^3 + \alpha_{20}\xi\eta^4 + \alpha_{21}\eta^5.
 \end{aligned} \tag{3.13}$$

Calculamos a partir daí as derivadas de segunda ordem que compõem o funcional, levando em conta que as variáveis x e y são dependentes de ξ e η e, portanto, a regra da cadeia deve ser utilizada. A partir daqui, suprimimos o índice inferior i do polinômio aproximador u_i , para não carregar a notação.

$$\begin{aligned}
 u_x &= u_\xi\xi_x + u_\eta\eta_x \\
 u_y &= u_\xi\xi_y + u_\eta\eta_y
 \end{aligned} \tag{3.14}$$

$$\begin{aligned}
u_{xx} &= (u_{\xi\xi}\xi_x + u_{\eta\xi}\eta_x)\xi_x + (u_{\xi\eta}\xi_x + u_{\eta\eta}\eta_x)\eta_x = u_{\xi\xi}\xi_x^2 + 2u_{\xi\eta}\xi_x\eta_x + u_{\xi\xi}\eta_x^2 \\
u_{yy} &= (u_{\xi\xi}\xi_y + u_{\eta\xi}\xi_y)\xi_y + (u_{\xi\eta}\xi_y + u_{\eta\eta}\eta_y)\eta_y = u_{\xi\xi}\xi_y^2 + 2u_{\xi\eta}\xi_y\eta_y + u_{\eta\eta}\eta_y^2 \\
u_{xy} &= (u_{\xi\xi}\xi_x + u_{\eta\xi}\eta_x)\xi_y + (u_{\xi\eta}\xi_x + u_{\eta\eta}\eta_x)\eta_y = u_{\xi\xi}\xi_x\xi_y + u_{\xi\eta}(\eta_x\xi_y + \eta_y\xi_x) + u_{\eta\eta}\eta_y\eta_x
\end{aligned} \tag{3.15}$$

Então,

$$\begin{aligned}
(u_{xx})^2 &= (u_{\xi\xi}\xi_x^2 + 2u_{\xi\eta}\xi_x\eta_x + u_{\xi\xi}\eta_x^2)^2 = u_{\xi\xi}^2\xi_x^4 + u_{\eta\eta}^2\eta_x^4 + \\
&\quad 2u_{\xi\xi}u_{\eta\eta}\xi_x^2\eta_x^2 + 4u_{\xi\xi}u_{\eta\eta}\xi_x^3\eta_x + 4u_{\xi\eta}u_{\eta\eta}\eta_x^3\xi_x + 4u_{\xi\eta}^2\xi_x^2\eta_x^2
\end{aligned}$$

$$\begin{aligned}
(u_{yy})^2 &= (u_{\xi\xi}\xi_y^2 + 2u_{\xi\eta}\xi_y\eta_y + u_{\eta\eta}\eta_y^2)^2 = u_{\xi\xi}^2\xi_y^4 + u_{\eta\eta}^2\eta_y^4 + \\
&\quad 2u_{\xi\xi}u_{\eta\eta}\xi_y^2\eta_y^2 + 4u_{\xi\xi}u_{\eta\eta}\xi_y^3\eta_y + 4u_{\xi\eta}u_{\eta\eta}\eta_y^3\xi_y + 4u_{\xi\eta}^2\xi_y^2\eta_y^2
\end{aligned}$$

$$\begin{aligned}
(u_{xy})^2 &= (u_{\xi\xi}\xi_x\xi_y + u_{\xi\eta}(\eta_x\xi_y + \eta_y\xi_x) + u_{\eta\eta}\eta_y\eta_x)^2 = u_{\xi\xi}^2\xi_x^2\xi_y^2 + u_{\eta\eta}^2\eta_y^2\eta_x^2 + 2u_{\xi\xi}u_{\eta\eta}\xi_x^2\xi_y\eta_y\eta_x + \\
&\quad 2u_{\xi\xi}u_{\eta\eta}\xi_x\xi_y(\xi_y\eta_x + \xi_x\eta_y) + 2u_{\xi\eta}u_{\eta\eta}\eta_x\eta_y(\xi_y\eta_x + \eta_y\xi_x) + u_{\xi\eta}^2(\xi_y\eta_x + \eta_y\xi_x)^2
\end{aligned} \tag{3.16}$$

$$u_{xx}u_{yy} = (u_{\xi\xi}\xi_x^2 + 2u_{\xi\eta}\xi_x\eta_x + u_{\xi\xi}\eta_x^2)(u_{\xi\xi}\xi_y^2 + 2u_{\xi\eta}\xi_y\eta_y + u_{\eta\eta}\eta_y^2) = \tag{3.17}$$

$$u_{\xi\xi}^2\xi_x^2\xi_y^2 + u_{\eta\eta}^2\eta_x^2\eta_y^2 + u_{\xi\xi}u_{\eta\eta}(\xi_y^2\eta_x^2 + \eta_y^2\xi_x^2) + 2u_{\xi\xi}u_{\xi\eta}(\xi_x^2\xi_y\eta_y + \xi_y^2\xi_x\eta_x) + \tag{3.18}$$

$$2u_{\xi\eta}u_{\eta\eta}(\eta_x\xi_x\eta_y^2 + \eta_y\eta_x^2\xi_y) + 4u_{\xi\eta}^2\xi_y\xi_x\eta_x\eta_y \tag{3.19}$$

Assim, substituindo as expressões de (3.15) no funcional e agrupando os fatores $u_{\xi\xi}^2$, $u_{\xi\eta}^2$, $u_{\eta\eta}^2$, $u_{\xi\xi}u_{\eta\eta}$, $u_{\xi\xi}u_{\xi\eta}$, $u_{\xi\eta}u_{\eta\eta}$, obtemos:

$$\begin{aligned}
\mathcal{J}^{(1)} &= \iint_{T_i} u_{xx}^2 + u_{yy}^2 + 2\nu u_{xx}u_{yy} + 2(1-\nu)u_{xy}^2 \, dxdy = \\
&\iint_{T_0} J_i \left\{ u_{\xi\xi}^2 \left[\xi_x^4 + \xi_y^4 + 2\nu(\xi_x^2\xi_y^2) + 2(1-\nu)(\xi_x^2\xi_y^2) \right] + u_{\eta\eta}^2 \left[\eta_x^4 + \eta_y^4 + 2(1-\nu)\eta_x^2\eta_y^2 + 2\nu\eta_x^2\eta_y^2 \right] + \right. \\
&\quad u_{\xi\xi}u_{\eta\eta} \left[2\xi_x^2\eta_x^2 + 2\xi_y^2\eta_y^2 + 4(1-\nu)2\xi_x\xi_y\eta_x\eta_y + 2\nu(\xi_y\eta_x\xi_x\eta_y) \right] + \\
&\quad u_{\xi\xi}u_{\xi\eta} \left[4\xi_x^3\eta_x + 4\xi_y^3\eta_y + 4(1-\nu)\xi_x\xi_y(\eta_x\xi_y + \eta_y\xi_x) + 4\nu(\xi_x^2\xi_y\eta_y + \xi_y^2\xi_x\eta_x) \right] + \\
&\quad u_{\eta\eta}u_{\xi\eta} \left[4\eta_x^3\xi_x + 4\eta_y^3\xi_y + 4(1-\nu)\eta_x\eta_y(\eta_x\xi_y + \eta_y\xi_x) + 4\nu(\eta_y^2\xi_x\eta_x + \eta_x^2\xi_y\eta_y) \right] + \\
&\quad \left. u_{\xi\eta}^2 \left[4\eta_x^2\xi_x^2 + 4\eta_y^2\xi_y^2 + 2(1-\nu)(\eta_x\xi_y + \eta_y\xi_x)^2 + 8\nu\eta_x\eta_y\xi_x\xi_y \right] \right\} d\xi d\eta = \\
&\iint_{T_0} f_1 u_{\xi\xi}^2 + f_2 u_{\xi\xi}u_{\xi\eta} + f_3 u_{\xi\xi}u_{\eta\eta} + f_4 u_{\xi\eta}^2 + f_5 u_{\xi\eta}u_{\eta\eta} + f_6 u_{\eta\eta}^2 \, d\xi d\eta. \tag{3.20}
\end{aligned}$$

Em que f_1, \dots, f_6 , são dados por:

$$\begin{aligned}
f_1 &= J_i(\xi_x^2 + \xi_y^2)^2 & f_4 &= J_i[4(\xi_x\eta_x + \xi_y\eta_y)^2 + 2(1-\nu)(\xi_y\eta_x - \xi_x\eta_y)^2] \\
f_2 &= 4J_i(\xi_x^2 + \xi_y^2)(\xi_x\eta_x + \xi_y\eta_y) & f_5 &= 4J_i(\xi_x^2 + \xi_y^2)(\xi_x\eta_x + \xi_y\eta_y) \\
f_3 &= 2J_i(\xi_x\eta_x + \xi_y\eta_y)^2 + \nu(\xi_y\eta_x - \xi_x\eta_y)^2 & f_6 &= J_i(\eta_x^2 + \eta_y^2)^2
\end{aligned}$$

em que $J_i = \bar{x}_2\bar{y}_3 - \bar{x}_3\bar{y}_2$ é o determinante da matriz jacobiana da mudança de variáveis F^{-1} (2.10) e $\bar{x}_i = x_i - x_1$ para $j = 2, 3$.

Considerando a transformação $F : T_0 \rightarrow T_i$, obtemos as expressões para f_1, f_2, \dots, f_6 em função das coordenadas do triângulo T_i .

$$\begin{aligned} f_1 &= \frac{(\bar{y}_3^2 + \bar{x}_3^2)^2}{J_i^3} & f_4 &= \frac{4[(\bar{y}_3\bar{y}_2 + \bar{x}_3\bar{x}_2)^2] + 2(1 - \nu)(\bar{x}_3\bar{y}_2 - \bar{y}_3\bar{x}_2)^2}{J_i^3} \\ f_2 &= \frac{-4(\bar{y}_3^2 + \bar{x}_3^2)(\bar{y}_3\bar{y}_2 + \bar{x}_3\bar{x}_2)}{J_i^3} & f_5 &= \frac{-4(\bar{y}_2^2 + \bar{x}_2^2)(\bar{y}_3\bar{y}_2 + \bar{x}_3\bar{x}_2)}{J_i^3} \\ f_3 &= \frac{2(\bar{y}_3\bar{y}_2 + \bar{x}_3\bar{x}_2)^2 + \nu(\bar{x}_3\bar{y}_2 - \bar{y}_3\bar{x}_2)^2}{J_i^3} & f_6 &= \frac{(\bar{y}_2^2 + \bar{x}_2^2)^2}{J_i^3} \end{aligned}$$

Notemos que devido à mudança de coordenadas que nos levou ao triângulo padrão T_0 , o número de parcelas do funcional aumentou (devido à regra da cadeia). A integração foi, portanto, feita diretamente em T_0 , o que dispensou a mudança de variáveis na integral, como nos casos anteriores. Assim, não há duas famílias de coeficientes (uma do plano xy e outra do $\xi\eta$) a serem relacionadas, o que tornou a matriz D_i desnecessária nesse processo. Entretanto, é necessário relacionar o novo (i.e., depois da reorganização do elemento) conjunto de variáveis nodais do triângulo padrão T_0 : $\tilde{u}, \tilde{u}_\xi, \tilde{u}_\eta, \tilde{u}_{\xi\xi}, \tilde{u}_{\xi\eta}, \tilde{u}_{\eta\eta}$ com aquele do triângulo arbitrário T_i : $u, u_x, u_y, u_{xx}, u_{xy}, u_{yy}$.

Consideramos a definição $\tilde{u}(\xi, \eta) := u \circ F(\xi, \eta)$, em que F é a mudança de coordenadas (2.9) que leva T_i em T_0 . A partir daí, estabelecemos a relação entre as variáveis nodais do plano xy e as do plano $\xi\eta$.

A relação entre as derivadas são obtidas das equações de (3.14) e (3.15). Ela pode ser escrita matricialmente: $\vec{\tilde{u}} = \tilde{D}_i \vec{u}$, em que

$$\vec{\tilde{u}} = (\tilde{u}^1, \tilde{u}^2, \tilde{u}^3, \tilde{u}^4, \tilde{u}^5, \tilde{u}^6, \tilde{u}_\xi^4, \tilde{u}_\xi^5, \tilde{u}_\xi^6, \tilde{u}_\eta^4, \tilde{u}_\eta^5, \tilde{u}_\eta^6, \tilde{u}_{\xi\xi}^1, \tilde{u}_{\xi\xi}^2, \tilde{u}_{\xi\xi}^3, \tilde{u}_{\xi\eta}^1, \tilde{u}_{\xi\eta}^2, \tilde{u}_{\xi\eta}^3, \tilde{u}_{\eta\eta}^1, \tilde{u}_{\eta\eta}^2, \tilde{u}_{\eta\eta}^3),$$

$$\vec{u} = (u^1, u^2, u^3, u^4, u^5, u^6, u_x^4, u_x^5, u_x^6, u_y^4, u_y^5, u_y^6, u_{xx}^1, u_{xx}^2, u_{xx}^3, u_{xy}^1, u_{xy}^2, u_{xy}^3, u_{yy}^1, u_{yy}^2, u_{yy}^3),$$

e $\tilde{D}_{21 \times 21}$ é

$\begin{matrix} 1 & & & & & \\ & 1 & & & & \\ & & 1 & & & \\ & & & 1 & & \\ & & & & 1 & \\ & & & & & 1 \end{matrix}$						
	$\begin{matrix} \bar{x}_2 & & \bar{y}_2 & & & \\ & \bar{x}_2 & & \bar{y}_2 & & \\ & & \bar{x}_2 & & \bar{y}_2 & \\ \bar{x}_3 & & \bar{y}_3 & & & \\ & \bar{x}_3 & & \bar{y}_3 & & \\ & & \bar{x}_3 & & \bar{y}_3 & \end{matrix}$					
		$\begin{matrix} \bar{x}_2^2 & & 2\bar{y}_2\bar{x}_2 & & \bar{y}_2^2 & \\ & \bar{x}_2^2 & & 2\bar{y}_2\bar{x}_2 & & \bar{y}_2^2 \\ & & \bar{x}_2^2 & & 2\bar{y}_2\bar{x}_2 & \bar{y}_2^2 \\ 2\bar{x}_2\bar{x}_3 & & \bar{y}_2\bar{x}_3 + \bar{y}_3\bar{x}_2 & & 2\bar{y}_2\bar{y}_3 & \\ & 2\bar{x}_2\bar{x}_3 & & \bar{y}_2\bar{x}_3 + \bar{y}_3\bar{x}_2 & & 2\bar{y}_2\bar{y}_3 \\ & & 2\bar{x}_2\bar{x}_3 & & \bar{y}_2\bar{x}_3 + \bar{y}_3\bar{x}_2 & 2\bar{y}_2\bar{y}_3 \\ \bar{x}_3^2 & & 2\bar{y}_3\bar{x}_3 & & \bar{y}_3^2 & \\ & \bar{x}_3^2 & & 2\bar{y}_3\bar{x}_3 & & \bar{y}_3^2 \\ & & \bar{x}_3^2 & & 2\bar{y}_3\bar{x}_3 & \bar{y}_3^2 \end{matrix}$				

Para concluir, vamos considerar as relações $\vec{b} = D_{\xi\xi}\vec{\alpha}$, $\vec{c} = D_{\eta\eta}\vec{\alpha}$, $\vec{d} = D_{\xi\eta}\vec{\alpha}$, que envolvem matrizes de derivação, e as relações entre os vetores de variáveis de cada etapa:

$$\vec{\alpha} = C^{-1}\vec{u}_Q, \quad \vec{u}_Q = \tilde{D}\vec{u}_Q \text{ e } \vec{u}_Q = NC\vec{u}_S.$$

Olhemos para cada parcela da integral $\mathcal{I}^{(1)}$ (3.20) separadamente:

$$\begin{aligned} \iint_{T_0} u_{\xi\xi}^2 d\xi d\eta &= \iint_{T_0} J_i [b_1 + b_2\xi + b_3\eta + b_4\xi^2 + b_5\xi\eta + b_6\eta^2 + b_7\xi^3 + b_8\xi^2\eta + b_9\xi\eta^2 + b_{10}\eta^3]^2 d\xi d\eta = J_i \vec{b}^T P \vec{b} \\ &= J_i [(D_{\xi\xi}\vec{\alpha})^T P (D_{\xi\xi}\vec{\alpha})] = J_i [\vec{\alpha}^T D_{\xi\xi}^T P D_{\xi\xi}\vec{\alpha}] = J_i [((C^{-1})\vec{u}_Q)^T D_{\xi\xi}^T P D_{\xi\xi}(C^{-1}\vec{u}_Q)] \\ &= J_i [\vec{u}_Q^T (C^{-1})^T D_{\xi\xi}^T P D_{\xi\xi}(C^{-1}\vec{u}_Q)] = J_i [(\tilde{D}\vec{u}_Q)^T (C^{-1})^T D_{\xi\xi}^T P D_{\xi\xi} C^{-1}(\tilde{D}\vec{u}_Q)] \\ &= J_i [\vec{u}_Q^T \tilde{D}^T (C^{-1})^T D_{\xi\xi}^T P D_{\xi\xi} C^{-1} \tilde{D}\vec{u}_Q] = J_i [((NC)\vec{u}_S)^T \tilde{D}^T (C^{-1})^T D_{\xi\xi}^T P D_{\xi\xi} C^{-1} \tilde{D}(NC)\vec{u}_S] \\ &= J_i [\vec{u}_S^T NC^T \tilde{D}^T (C^{-1})^T D_{\xi\xi}^T P D_{\xi\xi} C^{-1} \tilde{D} NC \vec{u}_S]. \end{aligned} \tag{3.21}$$

$$\begin{aligned}
\iint_{T_0} u_{\eta\eta}^2 d\xi d\eta &= \iint_{T_0} J_i [c_1 + c_2\xi + c_3\eta + c_4\xi^2 + c_5\xi\eta + c_6\eta^2 + c_7\xi^3 + c_8\xi^2\eta + c_9\xi\eta^2 + c_{10}\eta^3]^2 d\xi d\eta = J_i \vec{c}^T P \vec{c} = \\
&= J_i [(D_{\eta\eta}\vec{\alpha})^T P (D_{\eta\eta}\vec{\alpha})] = J_i [\vec{\alpha}^T D_{\eta\eta}^T P D_{\eta\eta}\vec{\alpha}] = J_i [((C^{-1})\vec{u}_Q)^T D_{\eta\eta}^T P D_{\eta\eta} (C^{-1}\vec{u}_Q)] \\
&= J_i [\vec{u}_Q^T (C^{-1})^T D_{\eta\eta}^T P D_{\eta\eta} (C^{-1}\vec{u}_Q)] = J_i [(\tilde{D}\vec{u}_Q)^T (C^{-1})^T D_{\eta\eta}^T P D_{\eta\eta} C^{-1} (\tilde{D}\vec{u}_Q)] = \\
&= J_i [\vec{u}_Q^T \tilde{D}^T (C^{-1})^T D_{\eta\eta}^T P D_{\eta\eta} C^{-1} \tilde{D}\vec{u}_Q] = J_i [((NC)\vec{u}_S)^T \tilde{D}^T (C^{-1})^T D_{\eta\eta}^T P D_{\eta\eta} C^{-1} \tilde{D} (NC)\vec{u}_S] \\
&= J_i [\vec{u}_S^T NC^T \tilde{D}^T (C^{-1})^T D_{\eta\eta}^T P D_{\eta\eta} C^{-1} \tilde{D} NC \vec{u}_S]. \tag{3.22}
\end{aligned}$$

$$\begin{aligned}
\iint_{T_0} u_{\xi\eta}^2 d\xi d\eta &= \iint_{T_0} J_i [d_1 + d_2\xi + d_3\eta + d_4\xi^2 + d_5\xi\eta + d_6\eta^2 + d_7\xi^3 + d_8\xi^2\eta + d_9\xi\eta^2 + d_{10}\eta^3]^2 d\xi d\eta = J_i \vec{d}^T P \vec{d} = \\
&= J_i [(D_{\xi\eta}\vec{\alpha})^T P (D_{\xi\eta}\vec{\alpha})] = J_i [\vec{\alpha}^T D_{\xi\eta}^T P D_{\xi\eta}\vec{\alpha}] = J_i [((C^{-1})\vec{u}_Q)^T D_{\xi\eta}^T P D_{\xi\eta} (C^{-1}\vec{u}_Q)] \\
&= J_i [\vec{u}_Q^T (C^{-1})^T D_{\xi\eta}^T P D_{\xi\eta} (C^{-1}\vec{u}_Q)] = J_i [(\tilde{D}\vec{u}_Q)^T (C^{-1})^T D_{\xi\eta}^T P D_{\xi\eta} C^{-1} (\tilde{D}\vec{u}_Q)] = \\
&= J_i [\vec{u}_Q^T \tilde{D}^T (C^{-1})^T D_{\xi\eta}^T P D_{\xi\eta} C^{-1} \tilde{D}\vec{u}_Q] = J_i [((NC)\vec{u}_S)^T \tilde{D}^T (C^{-1})^T D_{\xi\eta}^T P D_{\xi\eta} C^{-1} \tilde{D} (NC)\vec{u}_S] \\
&= J_i [\vec{u}_S^T NC^T \tilde{D}^T (C^{-1})^T D_{\xi\eta}^T P D_{\xi\eta} C^{-1} \tilde{D} NC \vec{u}_S]. \tag{3.23}
\end{aligned}$$

Para as parcelas que contêm produtos de polinômios cúbicos, o processo é análogo ao realizado na seção (2.3). Obteremos formas quadráticas, representadas por uma matriz G não simétrica e que será substituída por sua simetrização $\frac{1}{2}(G^T + G)$.

$$\begin{aligned}
\iint_{T_0} u_{\xi\xi} u_{\xi\eta} d\xi d\eta &= \iint_{T_0} J_i [b_1 + b_2\xi + b_3\eta + b_4\xi^2 + b_5\xi\eta + b_6\eta^2 + b_7\xi^3 + b_8\xi^2\eta + b_9\xi\eta^2 + b_{10}\eta^3] \cdot \\
&[d_1 + d_2\xi + d_3\eta + d_4\xi^2 + d_5\xi\eta + d_6\eta^2 + d_7\xi^3 + d_8\xi^2\eta + d_9\xi\eta^2 + d_{10}\eta^3] d\xi d\eta = \\
&= J_i \vec{b}^T P \vec{d} = J_i [(D_{\xi\xi}\vec{\alpha})^T P (D_{\xi\eta}\vec{\alpha})] = J_i [\vec{\alpha}^T D_{\xi\xi}^T P D_{\xi\eta}\vec{\alpha}] = \\
&= J_i [((C^{-1})\vec{u}_Q)^T D_{\xi\xi}^T P D_{\xi\eta} (C^{-1}\vec{u}_Q)] = J_i [\vec{u}_Q^T (C^{-1})^T D_{\xi\xi}^T P D_{\xi\eta} (C^{-1}\vec{u}_Q)] = \\
&= J_i [(\tilde{D}\vec{u}_Q)^T (C^{-1})^T D_{\xi\xi}^T P D_{\xi\eta} C^{-1} (\tilde{D}\vec{u}_Q)] = J_i [\vec{u}_Q^T \tilde{D}^T (C^{-1})^T D_{\xi\xi}^T P D_{\xi\eta} C^{-1} \tilde{D}\vec{u}_Q] = \\
&= J_i [((NC)\vec{u}_S)^T \tilde{D}^T (C^{-1})^T D_{\xi\xi}^T P D_{\xi\eta} C^{-1} \tilde{D} (NC)\vec{u}_S] \\
&= J_i [\vec{u}_S^T \underbrace{NC^T \tilde{D}^T (C^{-1})^T D_{\xi\xi}^T P D_{\xi\eta} C^{-1} \tilde{D} NC}_{G} \vec{u}_S]. \tag{3.24}
\end{aligned}$$

$$\begin{aligned}
\iint_{T_0} u_{\eta\eta} u_{\xi\eta} \, d\xi d\eta &= \iint_{T_0} J_i [c_1 + c_2\xi + c_3\eta + c_4\xi^2 + c_5\xi\eta + c_6\eta^2 + c_7\xi^3 + c_8\xi^2\eta + c_9\xi\eta^2 + c_{10}\eta^3] \cdot \\
& [d_1 + d_2\xi + d_3\eta + d_4\xi^2 + d_5\xi\eta + d_6\eta^2 + d_7\xi^3 + d_8\xi^2\eta + d_9\xi\eta^2 + d_{10}\eta^3] \, d\xi d\eta = \\
&= J_i \vec{c}^T P \vec{d} = J_i [(D_{\eta\eta} \vec{\alpha})^T P (D_{\xi\eta} \vec{\alpha})] = J_i [\vec{\alpha}^T D_{\eta\eta}^T P D_{\xi\eta} \vec{\alpha}] = \\
& J_i [((C^{-1}) \vec{u}_Q)^T D_{\eta\eta}^T P D_{\xi\eta} (C^{-1} \vec{u}_Q)] = J_i [\vec{u}_Q^T (C^{-1})^T D_{\eta\eta}^T P D_{\xi\eta} (C^{-1}) \vec{u}_Q] = \\
&= J_i [(\tilde{D} \vec{u}_Q)^T (C^{-1})^T D_{\eta\eta}^T P D_{\xi\eta} C^{-1} (\tilde{D} \vec{u}_Q)] = J_i [\vec{u}_Q^T \tilde{D}^T (C^{-1})^T D_{\eta\eta}^T P D_{\xi\eta} C^{-1} \tilde{D} \vec{u}_Q] = \\
&= J_i [((NC) \vec{u}_S)^T \tilde{D}^T (C^{-1})^T D_{\eta\eta}^T P D_{\xi\eta} C^{-1} \tilde{D} (NC) \vec{u}_S] \\
&= J_i [\vec{u}_S^T \underbrace{[NC^T \tilde{D}^T (C^{-1})^T D_{\eta\eta}^T P D_{\xi\eta} C^{-1} \tilde{D} NC]}_G \vec{u}_S]. \quad (3.25)
\end{aligned}$$

$$\begin{aligned}
\iint_{T_0} u_{\xi\xi} u_{\eta\eta} \, d\xi d\eta &= \iint_{T_0} J_i [b_1 + b_2\xi + b_3\eta + b_4\xi^2 + b_5\xi\eta + b_6\eta^2 + b_7\xi^3 + b_8\xi^2\eta + b_9\xi\eta^2 + b_{10}\eta^3] \cdot \\
& [c_1 + c_2\xi + c_3\eta + c_4\xi^2 + c_5\xi\eta + c_6\eta^2 + c_7\xi^3 + c_8\xi^2\eta + c_9\xi\eta^2 + c_{10}\eta^3] \, d\xi d\eta = \\
&= J_i \vec{b}^T P \vec{c} = J_i [(D_{\xi\xi} \vec{\alpha})^T P (D_{\eta\eta} \vec{\alpha})] = J_i [\vec{\alpha}^T D_{\xi\xi}^T P D_{\eta\eta} \vec{\alpha}] = \\
& J_i [((C^{-1}) \vec{u}_Q)^T D_{\xi\xi}^T P D_{\eta\eta} (C^{-1} \vec{u}_Q)] = J_i [\vec{u}_Q^T (C^{-1})^T D_{\xi\xi}^T P D_{\eta\eta} (C^{-1}) \vec{u}_Q] = \\
&= J_i [(\tilde{D} \vec{u}_Q)^T (C^{-1})^T D_{\xi\xi}^T P D_{\eta\eta} C^{-1} (\tilde{D} \vec{u}_Q)] = J_i [\vec{u}_Q^T \tilde{D}^T (C^{-1})^T D_{\xi\xi}^T P D_{\eta\eta} C^{-1} \tilde{D} \vec{u}_Q] = \\
&= J_i [((NC) \vec{u}_S)^T \tilde{D}^T (C^{-1})^T D_{\xi\xi}^T P D_{\eta\eta} C^{-1} \tilde{D} (NC) \vec{u}_S] \\
&= J_i [\vec{u}_S^T \underbrace{[NC^T \tilde{D}^T (C^{-1})^T D_{\xi\xi}^T P D_{\eta\eta} C^{-1} \tilde{D} NC]}_G \vec{u}_S]. \quad (3.26)
\end{aligned}$$

Combinando as seis parcelas (3.21) a (3.26) com os devidos coeficientes f_1, \dots, f_6 , obtemos a matriz de rigidez S_i , relativa à forma quadrática de

$$\begin{aligned}
\mathcal{J}^{(1)} &= \iint_{T_i} u_{xx}^2 + u_{yy}^2 + 2\nu u_{xx} u_{yy} + 2(1 - \nu) u_{xy}^2 \, dxdy = \\
\iint_{T_i} f_1 u_{\xi\xi}^2 + f_2 u_{\xi\xi} u_{\xi\eta} + f_3 u_{\xi\xi} u_{\eta\eta} + f_4 u_{\xi\eta}^2 + f_5 u_{\xi\eta} u_{\eta\eta} + f_6 u_{\eta\eta}^2 \, d\xi d\eta &= \dots = \vec{u}^T S_i \vec{u}. \quad (3.27)
\end{aligned}$$

em que S_i é a matriz de rigidez local.

Quanto à integral $\mathcal{J}^{(2)}$, temos que

$$\begin{aligned}
\mathcal{J}^{(2)} &= \iint_{T_i} u_i^2 \, dxdy = J_i \iint_{T_0} (u_i(F^{-1}(\xi, \eta)))^2 \, d\xi d\eta = \\
&= J_i [\alpha_1 + \alpha_2\xi + \alpha_3\eta + \alpha_4\xi^2 + \alpha_5\xi\eta + \alpha_6\eta^2 + \alpha_7\xi^3 + \alpha_8\xi^2\eta + \alpha_9\xi\eta^2 + \alpha_{10}\eta^3 + \alpha_{11}\xi^4 + \alpha_{12}\xi^3\eta + \\
&+ \alpha_{13}\xi^2\eta^2 + \alpha_{14}\xi\eta^3 + \alpha_{15}\eta^4 + \alpha_{16}\xi^5 + \alpha_{17}\xi^4\eta + \alpha_{18}\xi^3\eta^2 + \alpha_{19}\xi^2\eta^3 + \alpha_{20}\xi\eta^4 + \alpha_{21}\eta^5]^2 \, d\xi d\eta = \\
&= J_i \vec{\alpha}^T P \vec{\alpha} = J_i \vec{u}_Q^T (C^{-1})^T P (C^{-1}) \vec{u}_Q = J_i \vec{u}_Q^T \tilde{D}^T (C^{-1})^T P (C^{-1}) \tilde{D} \vec{u}_Q = \\
& J_i \vec{u}_S^T (NC)^T \tilde{D}^T (C^{-1})^T P (C^{-1}) \tilde{D} (NC) \vec{u}_S. \quad (3.28)
\end{aligned}$$

E assim definimos $M_i = (NC)^T \tilde{D}^T (C^{-1})^T P (C^{-1}) \tilde{D} (NC)$, a matriz de massa local.

As matrizes de massa e rigidez globais são montadas com base nas matrizes globais, como

exposto na seção (2.3).

3.3 Aproximação de quinto grau com 18 variáveis nodais

Nesta seção, descreveremos uma formulação baseada na aproximação polinomial de quinto grau que apresentamos na seção (2.3). Essa formulação foi motivada pelo fato de o elemento de quinto grau, originalmente, apresentar uma quantidade diferente de variáveis nodais por nó (ele apresenta seis variáveis nodais nos vértices dos triângulos: valores da função, as primeiras e segundas derivadas; e uma variável nodal: a derivada normal, em cada ponto médio de aresta dos triângulos). A ideia é trabalhar com um elemento finito triangular que não apresente essa heterogeneidade na quantidade de variáveis nodais por nó. Trabalharemos com 18 variáveis nodais distribuídas igualmente entre os três vértices do triângulo, e isso será feito a partir do elemento triangular usado até agora na aproximação polinomial de quinto grau, eliminando dele a derivada normal dos pontos médios das arestas.

A maneira fazer isso, segundo [15] e [18], é *impor que a derivada normal seja um polinômio cúbico ao longo da aresta do triângulo*. Com os valores de $\frac{\partial u}{\partial \bar{n}}$ e $\frac{\partial^2 u}{\partial n \partial s}$ nos extremos de cada aresta é possível determinar unicamente¹ o polinômio cúbico $\frac{\partial u}{\partial \bar{n}}$, de modo que o valor da derivada normal no ponto médio fica automaticamente determinado. Ainda, numa aresta comum a dois elementos triangulares o polinômio de grau 3 é único, o que garante a continuidade da derivada normal entre os elementos e, portanto, a conformidade desse elemento finito. Isso é possível no nosso elemento triangular pois $\frac{\partial u}{\partial \bar{n}}$ e $\frac{\partial^2 u}{\partial n \partial s}$ são determinadas pelas seis variáveis nodais presentes nos vértices desse elemento: $u, u_x, u_y, u_{xx}, u_{xy}, u_{yy}$.

Desse modo, a derivada normal nos pontos médios das arestas deixa de ser variável nodal, e assim, passamos a trabalhar apenas com as 18 variáveis nodais, 6 por vértice, obtendo assim, uma homogeneidade no número de variáveis por vértice.

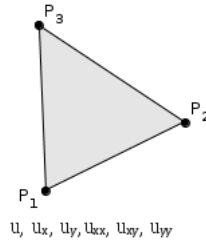


Figura 3.2: Elemento finito de quinto grau, com 18 coeficientes.

A implementação nesse caso segue de forma análoga ao que já foi feito nas seções anteriores: vamos montar as matrizes de massa e rigidez que compõem as formas quadráticas relativas às partes $\mathcal{J}^{(1)}$ (2.6) e $\mathcal{J}^{(2)}$ (2.7) do funcional \mathcal{J} (2.3) do problema de autovalor.

Em cada elemento triangular T_i , consideraremos as 18 variáveis nodais

$$\vec{u}_i = \left(u^1, u^2, u^3, u_x^1, u_x^2, u_x^3, u_y^1, u_y^2, u_y^3, u_{xx}^1, u_{xx}^2, u_{xx}^3, u_{xy}^1, u_{xy}^2, u_{xy}^3, u_{yy}^1, u_{yy}^2, u_{yy}^3 \right).$$

A aproximação polinomial u_i continua sendo por um polinômio de grau 5, e essa será feita no

¹Um polinômio cúbico precisa de 4 parâmetros para ser determinado. Segundo a interpolação de Hermite [15], os valores necessários para determinar um polinômio cúbico, ao longo de um segmento, são os valores do polinômio e de sua primeira derivada nos extremos do segmento considerado.

triângulo padrão T_0 , do plano $\xi\eta$.

$$u_i(\xi, \eta) = \alpha_1 + \alpha_2\xi + \alpha_3\eta + \alpha_4\xi^2 + \alpha_5\xi\eta + \alpha_6\eta^2 + \alpha_7\xi^3 + \alpha_8\xi^2\eta + \alpha_9\xi\eta^2 + \alpha_{10}\eta^3 + \alpha_{11}\xi^4 + \alpha_{12}\xi^3\eta + \alpha_{13}\xi^2\eta^2 + \alpha_{14}\xi\eta^3 + \alpha_{15}\eta^4 + \alpha_{16}\xi^5 + \alpha_{17}\xi^4\eta + \alpha_{18}\xi^3\eta^2 + \alpha_{19}\xi^2\eta^3 + \alpha_{20}\xi\eta^4 + \alpha_{21}\eta^5. \quad (3.29)$$

Os 21 coeficientes $\alpha_1, \alpha_2, \dots, \alpha_{21}$ deste polinômio serão unicamente determinados pelas variáveis nodais do triângulo padrão T_0

$$\vec{u}_i = \left(\tilde{u}^1, \tilde{u}^2, \tilde{u}^3, \tilde{u}_\xi^1, \tilde{u}_\xi^2, \tilde{u}_\xi^3, \tilde{u}_\eta^1, \tilde{u}_\eta^2, \tilde{u}_\eta^3, \tilde{u}_{\xi\xi}^1, \tilde{u}_{\xi\xi}^2, \tilde{u}_{\xi\xi}^3, \tilde{u}_{\xi\eta}^1, \tilde{u}_{\xi\eta}^2, \tilde{u}_{\xi\eta}^3, \tilde{u}_{\eta\eta}^1, \tilde{u}_{\eta\eta}^2, \tilde{u}_{\eta\eta}^3 \right).$$

pela relação $\vec{u} = C\vec{\alpha}$, feita através da matriz C , de dimensão 18×21 . Com a “inversa C^{-1} ” (e teremos que dar sentido à inversão), obtemos a relação $\alpha = “C^{-1}”\vec{u}$, que usaremos posteriormente.

A pergunta natural que surge nesse ponto é como determinar essa matriz “ C^{-1} ”, de dimensão 21×18 , que relaciona os coeficientes da aproximação com as variáveis nodais?

Para responder a essa pergunta, primeiro vamos considerar as condições/restrições que surgem da imposição de que a derivada normal ao longo da aresta seja um polinômio cúbico. Essas restrições são dadas por equações que envolvem os coeficientes $\alpha_1, \dots, \alpha_{21}$ da aproximação, e serão úteis para esse processo.

Para definir essas condições, considere, no triângulo padrão T_0 , $\tilde{u}_i(\xi, \eta)$ o polinômio de quinto grau (3.29) nas variáveis ξ e η ; $\tilde{u}_i(\xi, \eta)$ é a imagem de $u_i(x, y)$ no triângulo T_i .

Considere a mudança de coordenadas $F : \mathbb{R}^2 \rightarrow \mathbb{R}^2$ que leva o triângulo T_i , de coordenadas $P_1 = (x_1, x_2)$, $P_2 = (x_1, x_2)$ e $P_3 = (x_1, x_2)$ no triângulo padrão T_0 , de coordenadas $Q_1 = (0, 0)$, $Q_2 = (1, 0)$ e $Q_3 = (0, 1)$.

Sejam n_1, n_2 e n_3 os vetores normais às arestas P_2P_3 , P_1P_3 e P_1P_2 , respectivamente (nesta notação, usada aqui e nas demais implementações, consideramos que o i -ésimo vetor normal está na aresta oposta ao i -ésimo vértice). As imagens, no plano $\xi\eta$, dos vetores normais n_1, n_2 e n_3 do plano xy são os vetores v_1, v_2 e v_3 . Cada v_i tem coordenadas (v_{i1}, v_{i2}) e $v_i = DF n_i$, $\forall i \in \{1, 2, 3\}$, em que $DF : \mathbb{R}^2 \rightarrow \mathbb{R}^2$ é a derivada da transformação F .

A derivada normal $\partial_n \tilde{u}(x(s), y(s))$ em T_0 é dada por

$$\tilde{u}_n(x(s), y(s)) = \nabla \tilde{u}(F(x(s), y(s))) \cdot \vec{v} = \nabla \tilde{u}(x(s), y(s)) \cdot DF \vec{n}$$

A partir de (3.29), no triângulo padrão T_0 temos que

$$\begin{aligned} u_\xi &= a_2 + 2a_4\xi + a_5\eta + 3a_7\xi^2 + 2a_8\xi\eta + a_9\eta^2 + 4a_{11}\xi^3 + \\ & 3a_{12}\xi^2\eta + 2a_{13}\xi\eta^2 + a_{14}\eta^3 + 5a_{16}\xi^4 + 4a_{17}\xi^3\eta + 3a_{18}\xi^2\eta^2 + 2a_{19}\xi\eta^3 + a_{20}\eta^4. \\ u_\eta &= a_3 + a_5\xi + 2a_6\xi + a_8\xi^2 + 2a_9\xi\eta + 3a_{10}\eta^2 + a_{12}\xi^2\eta + 3a_{14}\xi\eta^2 + \\ & 3a_{12}\xi^2\eta + 2a_{13}\xi\eta^2 + 3a_{14}\xi\eta^2 + 4a_{15}\eta^3 + a_{17}\xi^4 + 2a_{18}\xi^3\eta + 3a_{19}\xi^2\eta^2 + 4a_{20}\xi\eta^3 + 5a_{21}\eta^4 \end{aligned} \quad (3.30)$$

Assim, nas arestas

$$Q_1Q_2 : \tilde{u}_n(x(s), y(s)) = \tilde{u}_\xi(\xi, 0)v_{31} + \tilde{u}_\eta(\xi, 0)v_{32};$$

$$Q_2Q_3 : \tilde{u}_n(x(s), y(s)) = \tilde{u}_\xi(\xi, 1 - \xi)v_{11} + \tilde{u}_\eta(\xi, 1 - \xi)v_{12};$$

$$Q_3Q_1 : \tilde{u}_n(x(s), y(s)) = \tilde{u}_\xi(0, \eta)v_{21} + \tilde{u}_\eta(0, \eta)v_{22}.$$

$$\begin{array}{ccccc} \mathbb{R}^{21} & \xrightarrow{C} & \mathbb{R}^{18} & \xrightarrow{i} & \mathbb{R}^{21} \\ & & & \searrow & \nearrow \\ & & & & i \circ C \end{array} .$$

em que $i : \mathbb{R}^{18} \rightarrow \mathbb{R}^{21}$ leva um vetor de \mathbb{R}^{18} em \mathbb{R}^{21} zerando as três últimas componentes. Assim, a composição $i \circ C$ leva vetores de \mathbb{R}^{21} em vetores de \mathbb{R}^{21} com as três últimas coordenadas nulas.

Por outro lado, \tilde{L} também leva o $\text{Ker}L'$, que tem dimensão 18^2 , em \mathbb{R}^{21} com as três últimas coordenadas nulas. Ou seja, \tilde{L} e $i \circ C$ coincidem em $\text{Ker}L'$. Portanto,

$$\tilde{L}^{-1} \circ i : \mathbb{R}^{18} \rightarrow \text{Ker}L'$$

é a inversa de C restrita a $\text{Ker}L'$.

Em outras palavras: o núcleo de L' determina, no espaço de polinômios de grau 5 escritos na base canônica, um subespaço de dimensão 18. A restrição de C a $\text{Ker}L'$ é um isomorfismo cuja inversa é dada pela composição $\tilde{L}^{-1} \circ i$.

As demais etapas desse processo, para a discretização das integrais $\mathcal{J}^{(1)}$ e $\mathcal{J}^{(2)}$ permanecem análogas ao que foi feito na Seção 3.2.4, já que a aproximação é feita em T_0 do plano $\xi\eta$. O que muda aqui é que as matrizes de rigidez e massa locais resultantes tem dimensão 18×18 .

Essa característica é importante do ponto de vista numérico, pois isso faz com que as dimensões das matrizes globais, relativas a uma mesma malha, sejam menores.

²Na verdade, seria preciso demonstrar que as equações de (3.31) são LD.

Capítulo 4

Resultados

O objetivo deste capítulo é apresentar os resultados que obtivemos ao resolver o problema de autovalor $\Delta\Delta u = \lambda u$ (2.1), com condição de contorno *bordo grampeado* (2.2), numericamente. Faremos isso com base nas formulações quadrática *não conforme* e nas duas variações da formulação de quinto grau: aquela com interpolação, que chamaremos aqui de *conforme*, e a que utiliza apenas 18 variáveis nodais, que chamaremos de *conforme18*, e cujos detalhes já foram descritos nos Capítulos 2 e 3. Utilizamos o livro “*Vibration of plates*”, de Arthur W. Leissa [8], uma coleção de resultados (experimentais e numéricos) de vários autores, que apresenta tabelas e imagens relativas às primeiras frequências e modos de vibração de placas de diversos formatos, além de várias combinações de condições de contorno.

A escolha dos domínios poligonais utilizados para a obtenção dos resultados computacionais foi baseada, para efeito de comparação, nos formatos presentes nessa referência. Utilizamos principalmente formatos retangular e triangular para as placas, apesar de o programa implementado permitir o uso de qualquer formato poligonal, como veremos com alguns exemplos adicionais.

Alguns dos resultados foram selecionados e tomados como parâmetro para analisar nossas formulações e compará-las entre si. Essa comparação foi feita utilizando-se uma sequência de autovalores obtidos conforme o refinamento das malhas e, com base nela, elegemos a “melhor” formulação, e esta foi utilizada para a geração da maior parte das imagens onde visualizamos os modos de vibração. Analisamos também a variação do parâmetro ν (o coeficiente de Poisson), presente na EDP, as linhas nodais de placas retangulares de diferentes tamanhos e observamos o efeito de combinações lineares de autofunções relativas a um mesmo autovalor, fenômeno que aqui chamamos de *ressonância*.

As malhas triangulares, que usamos para a discretização do domínio e seus refinamentos, foram geradas pelo software *Triangle Mesh Generator* [16]. A implementação foi programada na linguagem FORTRAN 90 e, para a solução do problema de autovalor generalizado, utilizamos a rotina *DSYGV* do LAPACK (Liner Algebra Package), que fornece como solução uma lista dos autovalores e autovetores associados. As imagens das linhas nodais foram obtidas através de uma pequena rotina feita no software Scilab 5.3.3 (Scientific Software Package for Numerical Computations).

Os programas implementados (e cujos códigos podem ser vistos no Apêndice B) fornecem como resultado uma lista de autovalores λ – organizada em ordem crescente – e uma lista de autovetores \vec{u} (que aproximam as autofunções) associados a cada um deles. O número total de autovalores e autovetores obtidos é a dimensão final das matrizes envolvidas no problema de autovalor generalizado. Escolhemos trabalhar com os 25 primeiros pares (λ, \vec{u}) obtidos – quantidade suficiente para as análises e considerações que fizemos.

4.1 Autovalores/Coefficientes de frequência

Neste capítulo, os autovalores λ obtidos serão, muitas vezes, representados por uma quantidade normalizada que chamamos de *coeficiente de frequência* $\kappa = \omega \sqrt{\frac{\rho}{D}} a^2$ (1.44), em que a representa uma medida linear da placa, escolhida para comparação com [8]: para retângulos, a é o comprimento do menor lado e, para triângulos isósceles, a é o comprimento de um dos lados congruentes, como descrito na subseção 1.3.1 do Capítulo 1. Esse parâmetro depende apenas do formato placa e é invariante por homotetias. Como $\lambda = \omega^2 \frac{\rho}{D}$, o valor de κ fica em função de λ : $\kappa = a^2 \sqrt{\lambda}$. Comparamos os nossos valores de κ com o valor de referência (κ_{ref}) da tabela 4.44 de [8].

Um primeiro aspecto a observar é como a sequência de cada autovalor – ou de cada coeficiente de frequência – evolui com o refinamento da malha. Esperamos resultados melhores a cada refinamento da malha, isto é, com o aumento do número de elementos triangulares, e olhar para essa evolução foi uma maneira de comparar as diferentes formulações entre si.

Observamos essa evolução para o primeiro autovalor, representado aqui pelo coeficiente de frequência κ . As tabelas a seguir mostram essa evolução para placas quadrada (tabela 4.1), retangular (tabela 4.2) e triangular (um triângulo retângulo isósceles) (tabela 4.3) para cada uma das três formulações. Em cada coluna é possível observar como os valores obtidos se aproximam do valor de referência conforme a malha é refinada. As lacunas presentes nessas tabelas indicam resultados não obtidos para a malha correspondente. No caso da tabela 4.1 isso deve ao fato de as formulações de quinto grau serem mais “pesadas” (ou dispendiosas) – no sentido de consumo de tempo de processamento e espaço de memória –, o que não nos permitiu rodá-las em malhas tão finas quanto foi possível para a formulação quadrática. No caso da Tabela 4.2, isso se deve a problemas numéricos e limitações da própria implementação, que no meio da execução impossibilitaram a solução completa do problema.

Placa quadrada - coeficientes de frequência κ				
n° de elementos da malha	Quadrática	Quinto grau		Valor de referência κ_{ref} [8]
	não conforme	conforme	conforme18	
319	33.5841318	35.23495326	32.35117814	35,9866 (tab. 4.22a) 35,99 (tab. 4.22b)
632	34.67142199	35.34212194	32.94295204	
1227	35.33139219	35.39459758	32.9528213	
2538	35.65701631	35.33908992	33.12628812	
3107	35.7269665	35.42744491	33.27039132	
3629	35.76559433	35.43789648	33.32938938	
3826	35.77696973	35.43782546	33.37521013	
5142	35.82776304	-	-	

Tabela 4.1: Coeficientes de frequência $\kappa = a^2 \sqrt{\lambda}$ por formulação. Placa quadrada de dimensão 1.0.

Os valores apresentados nessas tabelas nos mostram que a sequência dos primeiros coeficientes de frequência é crescente e, no caso da formulação quadrática, se aproxima do valor de referência tabelado. No caso das formulações de quinto grau, o crescimento é mais lento e uma primeira impressão é que, para obter valores mais próximos daqueles esperados, precisaríamos trabalhar com malhas muito mais finas que essas. A formulação *conforme* apresenta valores maiores, com malhas mais grossas, mas não evolui tanto quanto a formulação quadrática. Já a formulação *conforme18* possui valores bem menores do que as duas anteriores. Na Seção 4.3 apresentaremos uma análise mais detalhada para comparação dessas três formulações.

4.2 Autofunções e modos de vibração de placas retangulares

Cada autofunção obtida na solução do problema, representa a função deslocamento transversal $u(x, y)$ da placa em função dos pontos (x, y) do plano. O gráfico da função u é, originalmente, tridimensional, mas estamos interessados na sua representação plana, em duas dimensões, em que o valor de $u(x, y)$ é representado em escala de cores. As autofunções estão sendo representadas (aproximadas) por vetores no \mathbb{R}^n (n é o número de vértices de triângulos da malha) dos valores de u nesses vértices. Esse vetor é extraído do autovetor discreto \vec{u}_i (o vetor de variáveis nodais que contém valores de u e de suas derivadas nos nós da malha) obtido na solução numérica e consiste de uma lista com o valor da função u nos nós da malha que são vértices de algum triângulo.

Utilizamos uma função do Scilab própria para a manipulação de elementos finitos que possuem esses valores como variáveis nodais. Essa função recebe informações sobre a malha triangular (as coordenadas dos nós que são vértices do triângulo) e os valores da função u que serão atribuídos a eles, e gera um gráfico em 2D, em escala de cores, automaticamente. Optamos por utilizar a escala de cinza de modo semelhante ao apresentado em [9], a fim de permitir a visualização das curvas no plano para as quais $u(x, y) = 0$, chamadas de *linhas nodais*. As linhas nodais são curvas ao longo das quais a placa permanece em repouso durante a vibração. Essas curvas caracterizam o *modo de vibração* da placa.

A construção desse gráfico foi feita tomando o valor absoluto das autofunções e organizando a escala de cinza de modo que a cor preta correspondesse às regiões do plano que possuem deslocamento nulo ($u(x, y) = 0$) e a cor branca correspondesse ao valor de deslocamento máximo (amplitude

Placa retangular - coeficientes de frequência κ				
nº de elementos da malha	Quadrática	Quinto grau		Valor de referência κ_{ref} [8]
	não conforme	conforme	conforme18	
296	22.0221654	23.98485366	-	24.09 (tab. 4.29)
627	23.41443928	24.16683788	22.47220767	
767	23.62005658	24.17894531	22.68108988	24.56 (tab. 4.28)
994	23.82941881	24.16442392	-	
1528	24.08008887	24.15969971	22.86074454	
3112	24.32646342	24.24799705	22.80703459	
3861	24.37815486	24.22625462	22.82143195	

Tabela 4.2: Coeficientes de frequência $\kappa = a^2\sqrt{\lambda}$ por formulação. Placa retangular de dimensão 2.0×1.0 .

Placa triangular - coeficientes de frequência κ				
nº de elementos da malha	Quadrática	Quinto grau		Valor de referência κ_{ref} [8]
	não conforme	conforme	conforme18	
311	85.37310338	91.52395119	83.03166215	93.60 (tab. 7.2)
519	88.73446013	91.96032881	84.58281455	
634	89.59648672	92.02291664	85.15543253	
770	90.34319415	92.00013615	84.98697688	
1032	91.12934193	92.12988043	85.63462458	
1559	92.00662042	92.12988043	85.29307103	
2059	92.46434819	92.3429864	86.1435161	
3846	93.05849089	92.43861774	86.02196328	

Tabela 4.3: Coeficientes de frequência $\kappa = a^2\sqrt{\lambda}$ por formulação. Placa em formato de triângulo retângulo isósceles. Lado congruente mede $a = 2.0$.

máxima). Assim, as linhas nodais ficam evidentes e destacadas na cor preta. Ao analisar as imagens usaremos essas linhas e as regiões entre elas como referência.

Cada autofunção que representa um modo de vibração está associada a um autovalor λ e, portanto, a um coeficiente de frequência κ .

Cada figura foi organizada com a imagem dos 25 primeiros modos de vibração de uma placa. Veja os exemplos a seguir, gerados pela formulação quadrática, para placas de diferentes formatos. O número abaixo de cada modo é o autovalor λ correspondente (ou coeficiente de frequência, conforme o caso).

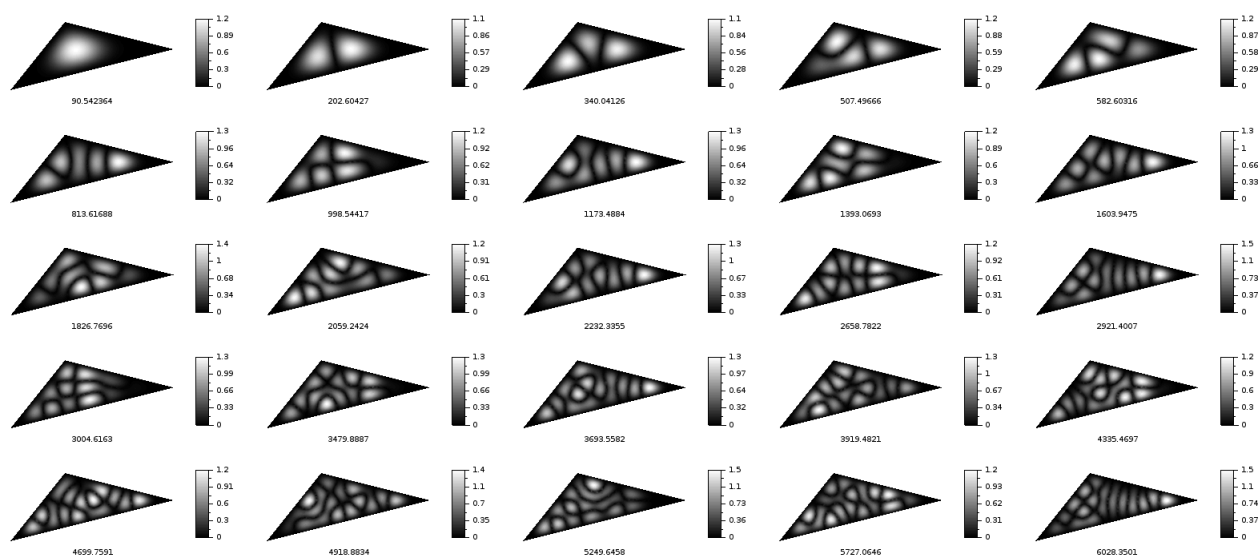


Figura 4.1: Primeiros modos de vibração e autovalores correspondentes de uma placa no formato de um triângulo escaleno de coordenadas $(0,0)$, $(6,1.5)$ e $(2,2.5)$.

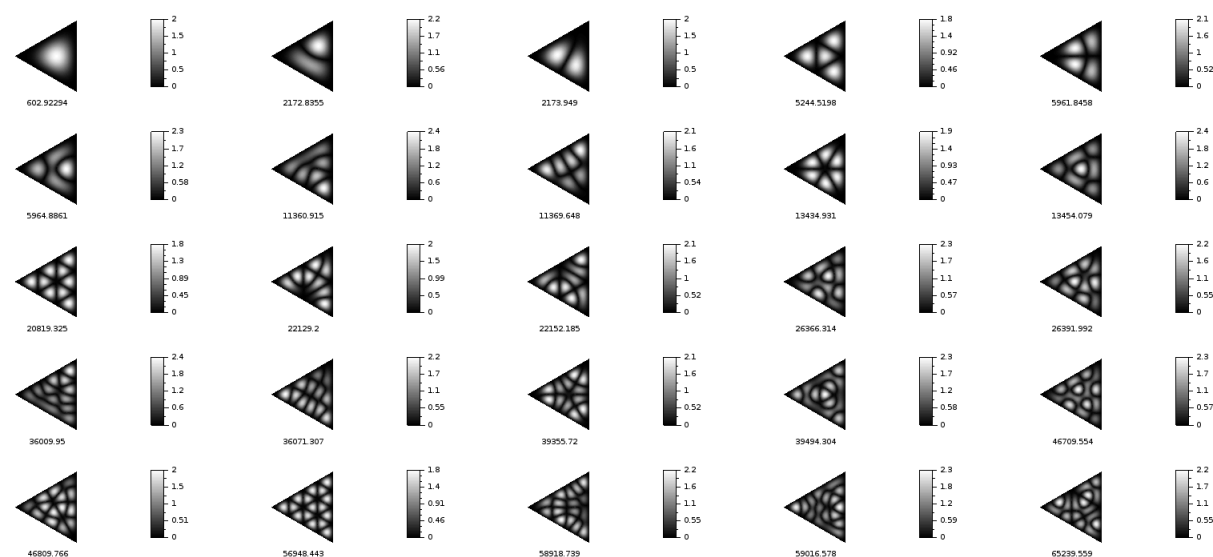


Figura 4.2: Primeiros modos de vibração e autovalores correspondentes de uma placa no formato de um triângulo equilátero de lado $a = 2.0$.

No caso de uma placa retangular, a notação utilizada para identificação dos modos de vibração foi dada pelo par ordenado (m,n) , em que m,n são números naturais que indicam o número de subdivisões do maior e do menor lado do retângulo, respectivamente. Por exemplo, os quatro

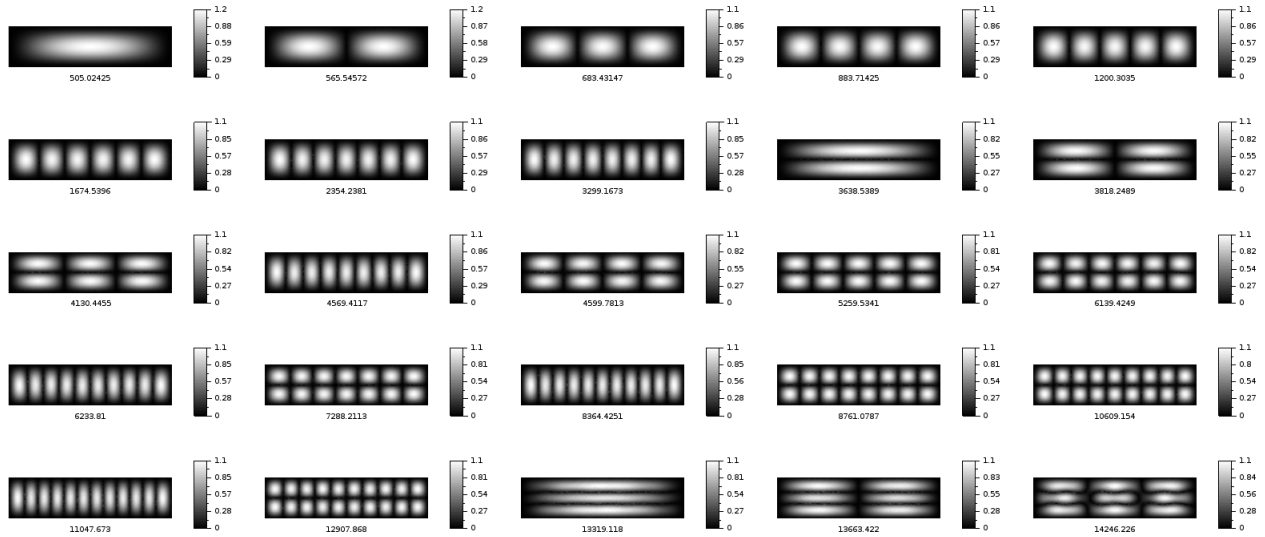


Figura 4.3: Primeiros modos de vibração e autovalores correspondentes de uma placa retangular, de dimensão 4.0×1.0 .

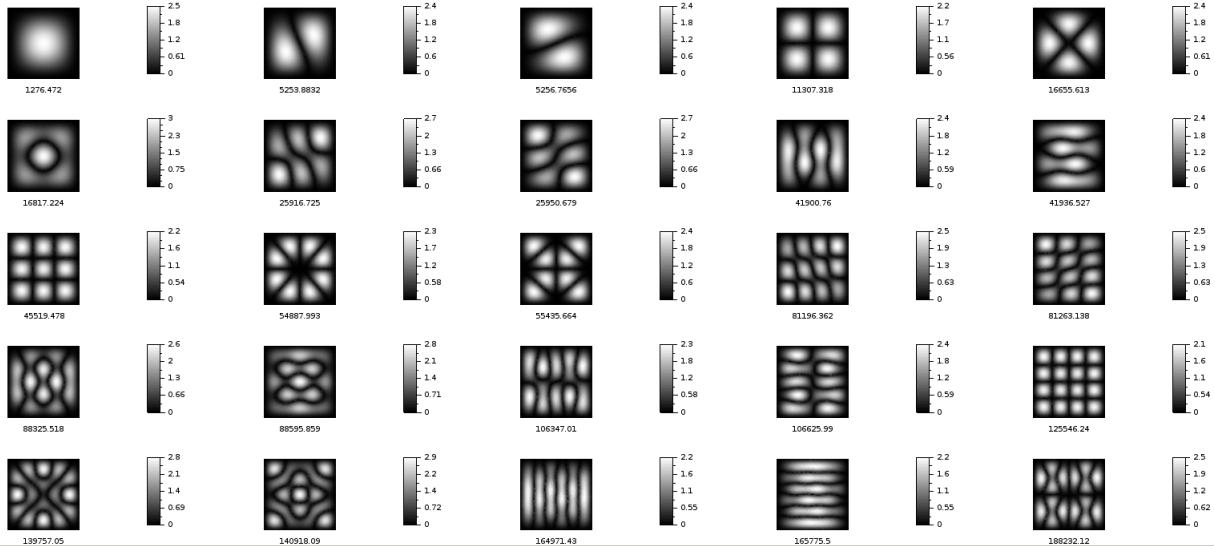


Figura 4.4: Primeiros modos de vibração e autovalores correspondentes da placa quadrada de lado de lado $a = 1.0$.

primeiros modos de vibração da placa retangular de dimensão 4.0×1.0 , que aparecem na Figura 4.3 são, respectivamente, $(1, 1)$, $(2, 1)$, $(3, 1)$ e $(4, 1)$ e as imagens n° 9,10,11 e 13 correspondem aos modos $(1, 2)$, $(2, 2)$, $(3, 2)$ e $(4, 2)$, respectivamente. No caso da placa quadrada da Figura 4.4, identificamos claramente os modos $(1,1)$ e $(2,2)$, $(3,3)$ (são o 1°, 4° e 11° modos, respectivamente). A placa quadrada também apresenta modos cujas linhas nodais não são exatamente as linhas dessa classificação. As curvas que aparecem podem ser resultados de combinações de diferentes modos de vibração. Veremos isso na Seção 4.5.

4.3 Comparação das implementações

O objetivo dessa seção é comparar as três formulações (quadrática *não conforme* e as de quinto grau *conforme* e *conforme18*) a partir dos resultados obtidos para o primeiro autovalor e coeficientes

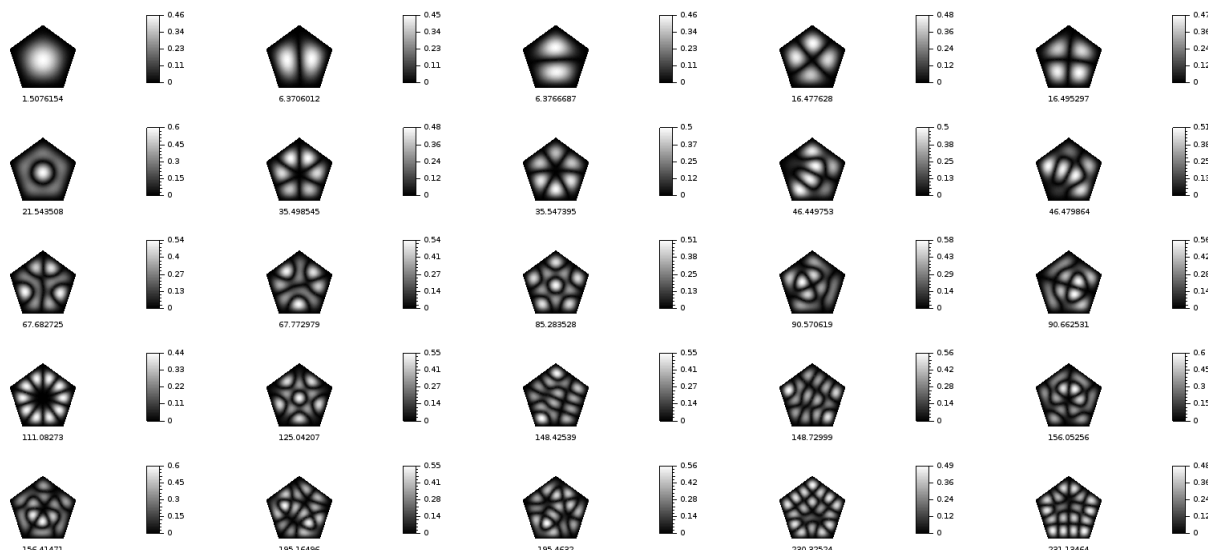


Figura 4.5: Primeiros modos de vibração e autovalores correspondentes de uma placa pentagonal de lado de lado $a = 2.0$.

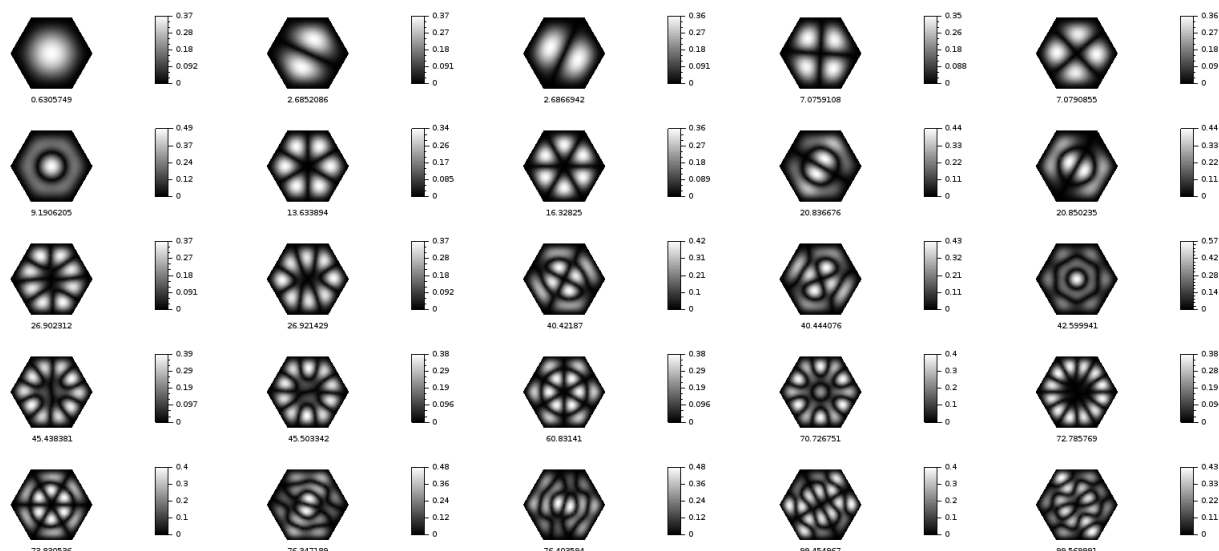


Figura 4.6: Primeiros modos de vibração e autovalores correspondentes de uma placa hexagonal de lado de lado $a = 2.0$.

de frequência. Analisamos a sequência dos primeiros coeficientes de frequência de uma placa com formato fixado e cuja malha foi refinada, isto é, fixado um formato para o domínio Ω , criamos uma lista de refinamentos da malha inicial, nas quais o programa foi executado, gerando uma lista dos primeiros coeficientes de frequência, ou seja, cada coeficiente de frequência da sequência formada corresponde a um refinamento da malha. Olhamos para essa sequência a fim de verificar se, e como, os valores se aproximam dos valores de referência de [8], à medida que a malha ia ficando mais fina. Fizemos isso para as três formulações, a fim de comparar a “convergência” do primeiro coeficiente de frequência para as três. Um pouco disto pôde ser visto nas primeiras tabelas 4.1, 4.2 e 4.3 que apresentamos no início do capítulo. Esse teste foi feito para os domínios quadrado, retangular e triangular (um triângulo retângulo isósceles) das tabelas acima citadas. Utilizamos as mesmas malhas para cada formulação.

No caso da formulação *não conforme*, observamos que a sequência dos primeiros coeficientes de



Figura 4.7: Primeiros modos de vibração e autovalores correspondentes de uma placa no formato de estrela de cinco pontas.

frequência é crescente e está se aproximando do valor esperado de [8] por valores menores que ele. Para cada formulação, é possível observar que a aproximação acontece, mas não da mesma forma. No caso da formulação de quinto grau as sequências não são sempre crescentes. A formulação *conforme* apresenta valores maiores – se comparada à formulação quadrática – logo de início, mas seu crescimento vai perdendo velocidade ao longo do refinamento das malhas. No caso da formulação *conforme18* a sequência como um todo possui valores bem menores do que aqueles esperados.

Para nos ajudar na análise desses dados (coeficiente de frequência para cada refinamento de malha) foi feito um ajuste dos mesmos, a uma função do tipo $\kappa = a - bN^c$, via Método dos Mínimos Quadrados (MMQ) linear, em que $\kappa = a^2\sqrt{\lambda}$ é o coeficiente de frequência, N é o número de elementos triangulares dos refinamentos da malha e a, b e c são os parâmetros que serão ajustados. O ajuste dos três parâmetros foi feito da seguinte forma: definimos um valor inicial a_0 para o parâmetro a e o fixamos. Para a_0 fixo, ajustamos $bN^c = \kappa - a_0$ usando a linearização com a função logarítmica

$$(\log b) + c(\log N) = \log(\kappa - a_0) .$$

Nesse ajuste, obtivemos valores b_1 e c_1 para os parâmetros b e c . Com b_1 e c_1 fixos, obtivemos o valor a_1 para a , pelo ajuste de $\kappa + b_1N^{c_1} = a$. Com a_1 fixado voltamos ao passo inicial e ajustamos b e c novamente. Esse processo iterativo foi realizado 100 vezes para obtenção dos valores finais de a, b e c . Também calculamos o erro relativo médio e do ajuste dos pontos $(N_i, \kappa_i), 1 \leq i \leq n$, em que n é o total de pontos:

$$e = \frac{1}{n} \sum_{i=1}^n \frac{|\kappa_i - f(N_i)|}{f(N_i)} , \quad (4.1)$$

Para cada formato de placa, o valor inicial para o parâmetro a foi um valor aproximado do valor de referência κ_{ref} de [8], para o coeficiente de frequência. No caso da placa quadrada, $a_0 = 36.0$, para a placa retangular, $a_0 = 24.56$ e para a placa triangular $a_0 = 93.60$. Os dados ajustados são aqueles das tabelas 4.1, 4.2 e 4.3. Os resultados obtidos para cada formulação estão resumidos na tabela da Figura 4.8, na qual é possível comparar os valores das três formulações para cada formato. Os gráficos dos ajuste estão apresentados a seguir. Para a formulação quadrática, placa quadrada,

Parâmetros do ajuste MMQ e erro relativo médio

parâmetros	Quadrado		
	Formulações		
	não conforme	conforme	conforme18
a	36.017	35.907	35.834
b	532.30	1.2834	6.6509
c	-0.93258	-0.11976	-0.11877
erro relativo médio	3.8968e-04	7.6278e-04	0.0021349
% ~	0.04	0.07	0.2

parâmetros	Retângulo		
	Formulações		
	não conforme	conforme	conforme18
a	24.550	24.300	24.340
b	907.80	5.6869	3.1533
c	-1.0350	-0.54142	-0.091721
erro relativo médio	3.9276e-04	0.0011400	0.0032821
% ~	0.04	0.1	0.3

parâmetros	Triângulo		
	Formulações		
	não conforme	conforme	conforme18
a	93.790	92.517	92.329
b	2178.9	40.149	19.025
c	-0.96885	-0.67218	-0.14103
erro relativo médio	2.9341e-04	9.4142e-04	0.0043728
% ~	0.03	0.09	0.4

Figura 4.8: Parâmetros do ajuste MMQ para cada formulação e formato de placa.

obtivemos $a = 36.017$, $b = 532.30$ e $c = -0.93258$, o que significa que aos pontos dados foi ajustada a função $\kappa = 36.017 + 532.30N^{-0.93258}$, cuja curva vemos na Figura 4.9. O erro relativo médio deste ajuste foi de 0.04%.

O gráfico nos mostra que, visualmente, essa função se ajustou bem aos nossos dados, de modo que podemos nos valer das suas características para entender e confirmar a tendência de convergência dos nossos dados para o valor esperado κ_{ref} , como já tínhamos percebido olhando para as tabelas. É interessante observar que o valor assintótico a é pouco maior que 36.0 e que o expoente c é próximo de -1.0. Isso significa que os dados tendem a se aproximar do valor de referência 36.0 a uma taxa aproximada de $1/N$. Quando o número de elementos N da malha cresce o “preço” de tempo e espaço pago pelo uso de uma malha mais fina é compensado pois atingimos valores cada vez mais próximos do esperado. Além disso, o erro relativo médio de 0.04% pode nos servir de parâmetro para comparar as demais formulações.

Uma análise e conclusão análoga pode ser obtida para o ajuste dos dados da placa retangular e triangular para essa mesma formulação. Para a placa retangular (Figura 4.10), obtivemos os parâmetros $a = 24.550$, $b = 907.80$ e $c = -1.0350$, com erro relativo médio de 0.04% e, para a placa triangular (Figura 4.11), obtivemos $a = 93.790$, $b = 2178.9$ e $c = -0.96885$, com erro relativo médio

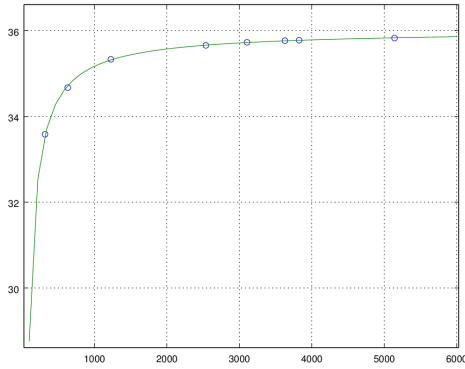


Figura 4.9: Ajuste MMQ da convergência do primeiro coeficiente de frequência. Placa quadrada. Formulação não conforme.

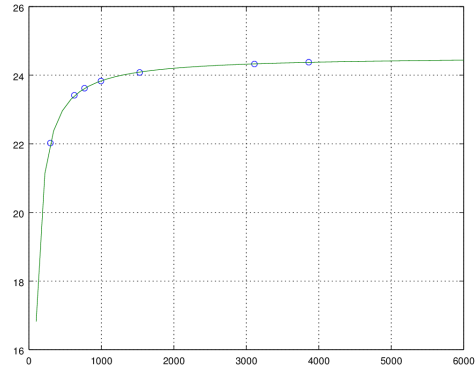


Figura 4.10: Ajuste MMQ da convergência do primeiro coeficiente de frequência. Placa retangular. Formulação não conforme.

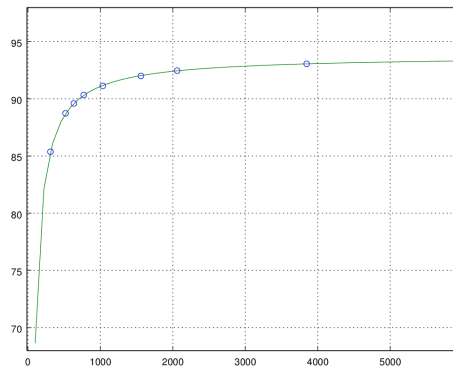


Figura 4.11: Ajuste MMQ da convergência do primeiro coeficiente de frequência. Placa triangular. Formulação não conforme.

0.03%.

Novamente como no caso do quadrado, nestes dois casos o valor assintótico a é próximo aos valores de referência $\kappa = 24.56$ e $\kappa = 93.60$, respectivamente e, o coeficiente c também é próximo a -1.0 , o que nos indica uma tendência de convergência para o valor esperado a uma taxa próxima de $1/N$.

Vejamos agora o comportamento das formulações de quinto grau.

Para a formulação *conforme*, obtivemos, para a placa quadrada, os parâmetros $a = 35.907$, $b = 1.2834$ e $c = -0.11976$, cujo ajuste pode ser visto no gráfico da Figura 4.12. Visualmente, parece se ajustar bem aos dados, exceto pelo 4º ponto, que indica uma quebra no crescimento da sequência. O valor assintótico encontrado também é próximo do valor de referência. Entretanto, a constante c nos indica uma convergência bem mais lenta, como já observado nas tabelas, se comparada à formulação quadrática. Por outro lado, apesar de o valor assintótico encontrado a não estar tão longe do valor de referência $\kappa_{ref} = 36.0$, o ajuste não está bom o suficiente para que a interpretação dos seus parâmetros nos indique um comportamento real dos nossos dados à medida que a malha é refinada. Além disso, o erro relativo médio encontrado para esse caso foi de 0.07%, maior que o da formulação quadrática para esse formato de placa.

A mesma conclusão de qualidade do ajuste pode ser tirada para os ajustes dos dados das placas

retangular e triangular. Para a placa retangular obtivemos: $a = 24.300$, $b = 5.6869$ e $c = -0.54142$, com erro relativo médio de 0.1% e, para a placa triangular, obtivemos $a = 92.517$, $b = 40.149$ e $c = -0.67218$, com erro relativo médio 0.09%. Os ajustes nesses casos podem ser vistos nos gráficos das Figuras 4.13 e 4.14.

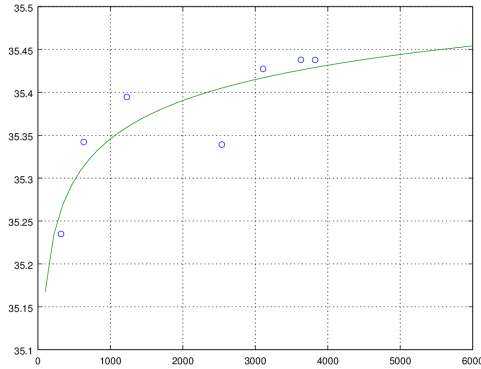


Figura 4.12: Ajuste MMQ da convergência do primeiro coeficiente de frequência para a formulação conforme. Placa quadrada.

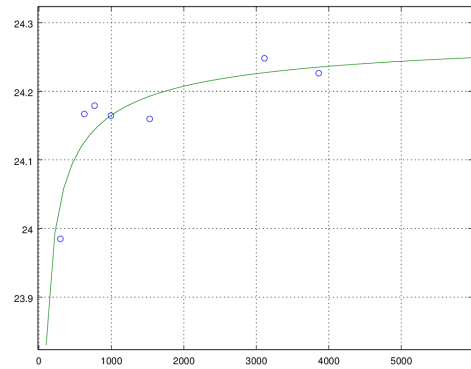


Figura 4.13: Ajuste MMQ da convergência do primeiro coeficiente de frequência para a formulação conforme. Placa retangular.

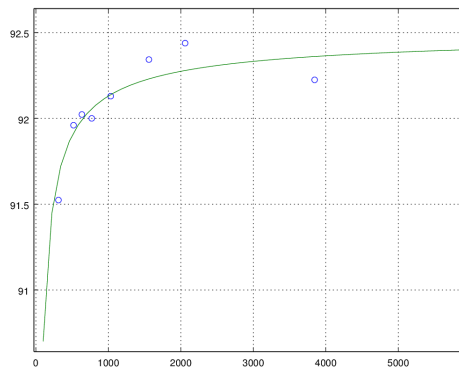


Figura 4.14: Ajuste MMQ da convergência do primeiro coeficiente de frequência da formulação conforme. Placa triangular.

Para a formulação *conforme18* temos uma situação parecida observável em todos os domínios. Esse é um caso que o conjunto de dados como um todo está longe do valor esperado – se comparado aos conjuntos de dados das formulações anteriores. Os gráficos das Figuras 4.15, 4.16 e 4.17 nos mostram os ajustes e por eles percebemos como os dados flutuam e se distanciam da função ajustada, principalmente no caso da placa retangular. O erro relativo médio obtido para cada formato nos ajuda a perceber a má qualidade do ajuste – principalmente quando o comparamos com a formulação quadrática. Os valores obtidos para os parâmetros a , b e c foram $a = 35.834$, $b = 6.6509$ e $c = -0.11877$, com erro relativo médio de 0.2% para a placa quadrada, $a = 24.340$, $b = 3.1533$ e $c = -0.091721$, com erro relativo médio 0.3% para a placa retangular e $a = 92.329$, $b = 1.025$ e $c = -0.14103$, com erro relativo médio de 0.4% para a placa triangular.

Nesse caso, o valor assintótico não fica tão perto do valor esperado e, acreditamos que isso se dá porque todo o conjunto de dados está bem abaixo do valor esperado. Vale lembrar que dispúnhamos de menos dados para o ajuste da placa retangular devido a uma limitação/erro computacional que

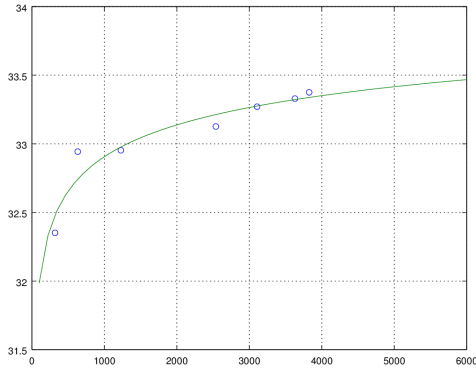


Figura 4.15: Ajuste MMQ da convergência do primeiro coeficiente de frequência. Placa quadrada. Formulação conforme 18.

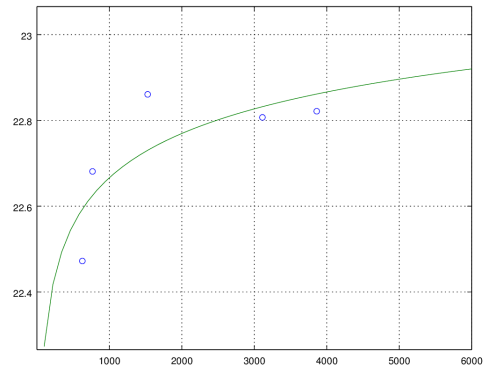


Figura 4.16: Ajuste MMQ da convergência do primeiro coeficiente de frequência. Placa retangular. Formulação conforme 18.

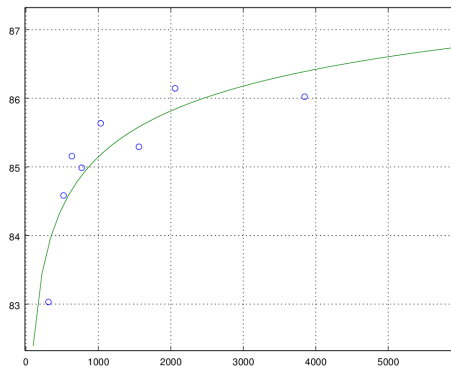


Figura 4.17: Ajuste MMQ da convergência do primeiro coeficiente de frequência. Placa triangular. Formulação conforme 18.

não permitiu que o programa fosse inteiramente executado para algumas malhas.

Segundo o critério da análise de convergência do primeiro autovalor que foi escolhido aqui, e devido ao ajuste satisfatório dos dados da formulação quadrática, elegemos essa formulação como a que apresenta os melhores resultados e possui o melhor desempenho em termos de refinamento de malha. Desse modo, ela foi eleita para a obtenção dos demais resultados.

Entretanto, em termos das autofunções e imagens das linhas nodais obtidas, as formulações de quinto grau apresentam bons resultados, como podemos ver nas Figuras a seguir - 4.18, 4.19 e 4.20 para as placas quadradas; 4.21, 4.22 e 4.23 para as placas retangulares, 4.24, 4.25 e 4.26, para as placas triangulares – em que apresentamos as imagens das linhas nodais para as placas quadrada (malha com 3107 elementos) retangular (malha com 3112 elementos) e triangular (malha com 3846 elementos), que usamos nessa análise e onde é possível comparar as três formulações. Isso nos motiva a continuar com o estudo e o aprimoramento dessas formulações.

Escolhemos apresentar a maior parte das imagens deste trabalho obtidas pela formulação quadrática, pois foi com ela que conseguimos executar o programa para malhas mais finas com menos gasto de tempo de execução e espaço de memória.

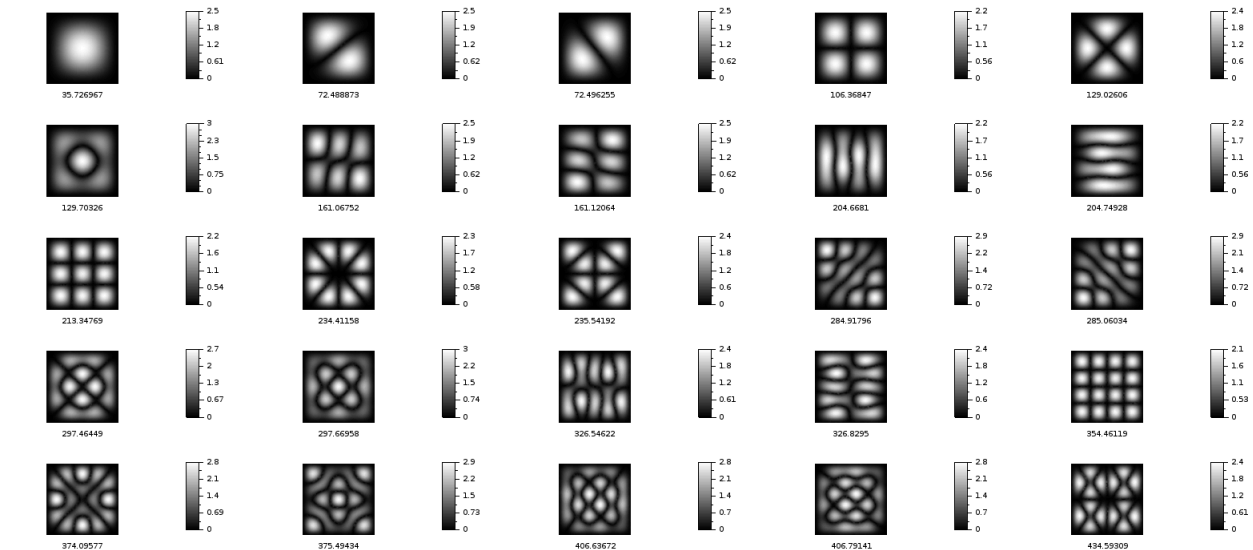


Figura 4.18: Autofunções/linhas nodais. Placa quadrada de dimensão 1.0. Formulação não conforme.

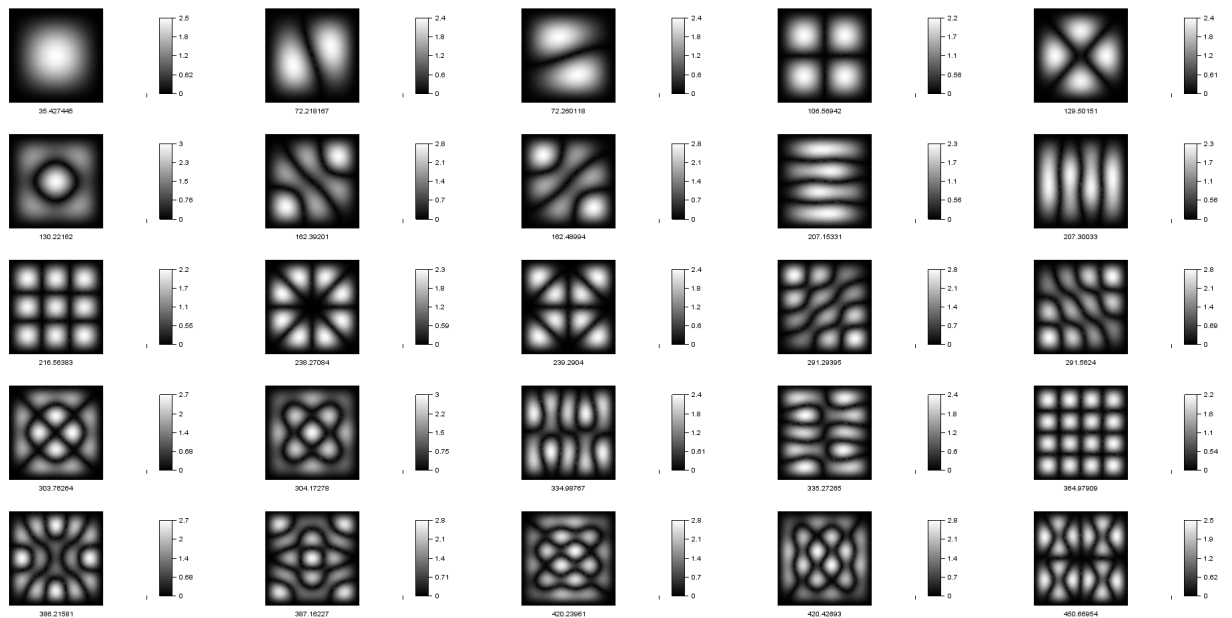


Figura 4.19: Autofunções/linhas nodais. Placa quadrada de dimensão 1.0. Formulação conforme.

4.4 Variação do coeficiente de Poisson ν

Vimos, no Capítulo 1, que o Coeficiente de Poisson ν , parâmetro presente na EDP, é a razão entre deformações horizontais e verticais da placa quando ela é excitada. Esse parâmetro depende, portanto, do material da placa. Para placas que não sofrem tais deformações quando excitadas, podemos considerar $\nu = 0.0$ [12] e, para placas de metal, ν é aproximadamente igual a 0.3. Esse parâmetro está presente na constante $D = \frac{Eh^3}{12(1-\nu^2)}$ da EDP (1.1) e, portanto, influencia diretamente a frequência de vibração $\omega = \sqrt{\frac{\lambda D}{\rho}}$. Entretanto, essa constante não precisa aparecer no problema de autovalor ($\Delta\Delta u = \lambda u$) se a condição de contorno considerada for a de *bordo grampeado*. Como discutimos na Subseção 1.4.2, ao menos teoricamente uma mudança no parâmetro ν não deve afetar a solução do problema de autovalor. Apesar de termos trabalhado com as condições de contorno do

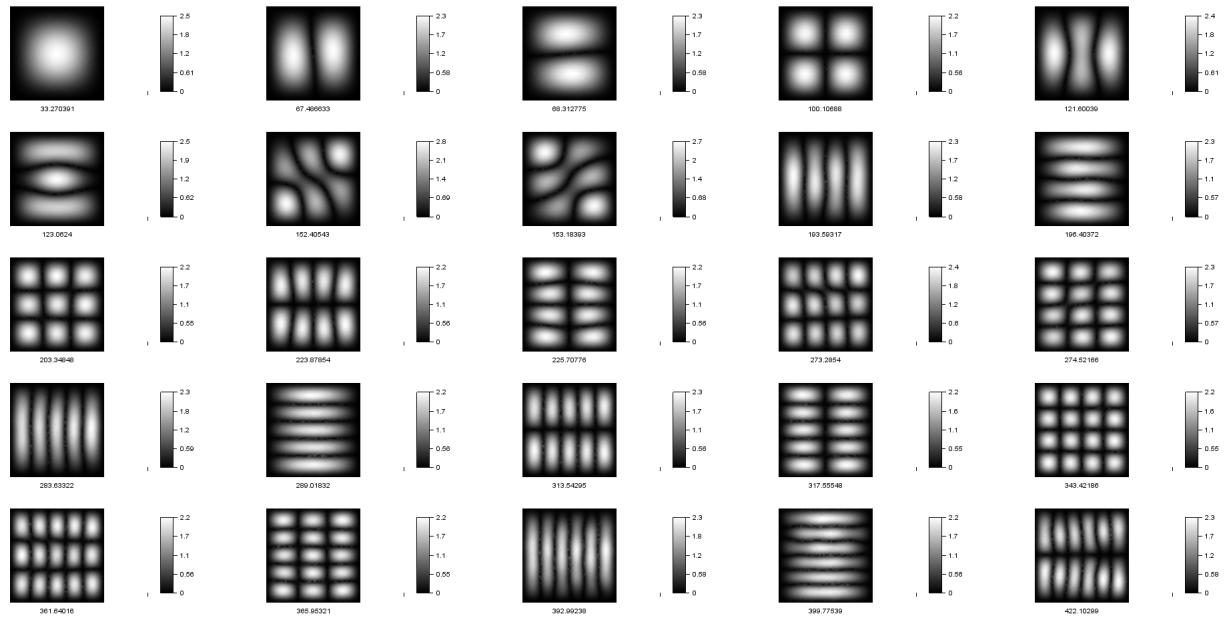


Figura 4.20: Autofunções/linhas nodais. Placa quadrada de dimensão 1.0. Formulação conforme18.

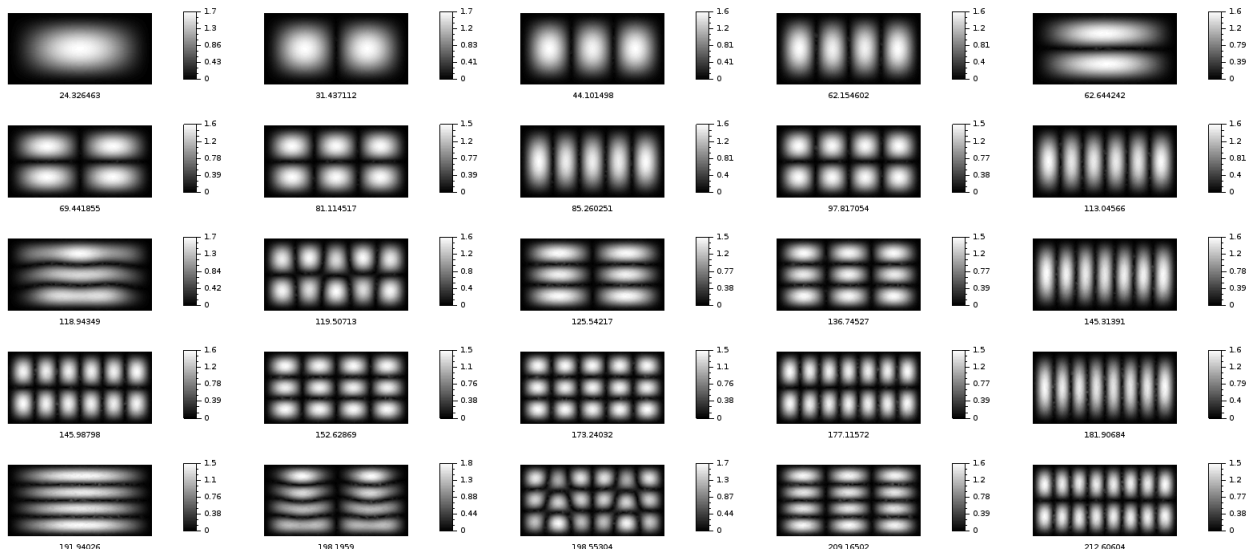


Figura 4.21: Autofunções/linhas nodais. Placa retangular de dimensão 2.0×1.0 . Formulação não conforme.

bordo grampeado, fizemos testes, resolvendo o problema de autovalor para outros valores de ν para perceber possíveis variações nos resultados. A teoria nos diz que não devemos esperar variações, mas não esperamos valores exatamente iguais pois existem erros numéricos envolvidos. Os valores de ν foram escolhidos no intervalo $[0, 1)$, a placa utilizada foi uma placa quadrada de lado 1.0, com 3826 elementos triangulares. Escolhemos para ν os valores 0.0, 0.6 e 0.9 além do valor $\nu = 0.3$, valor padrão utilizado.

Observamos, na Tabela (4.27), um leve aumento dos autovalores com a diminuição do parâmetro ν , mas não é claro porque isso acontece. O teste com $\nu = 0.0$ apresentou valores mais próximos dos valores de referência disponíveis, mas entre um valor e outro de ν não há muita diferença entre os resultados obtidos. Sendo assim, não há porque considerar a formulação com $\nu = 0.0$ melhor que as demais pois é possível que, com malhas mais finas, esses valores sejam atingidos mesmo para $\nu = 0.3$. A maior diferença se dá para $\nu = 0.9$, que apresenta os valores mais baixos.

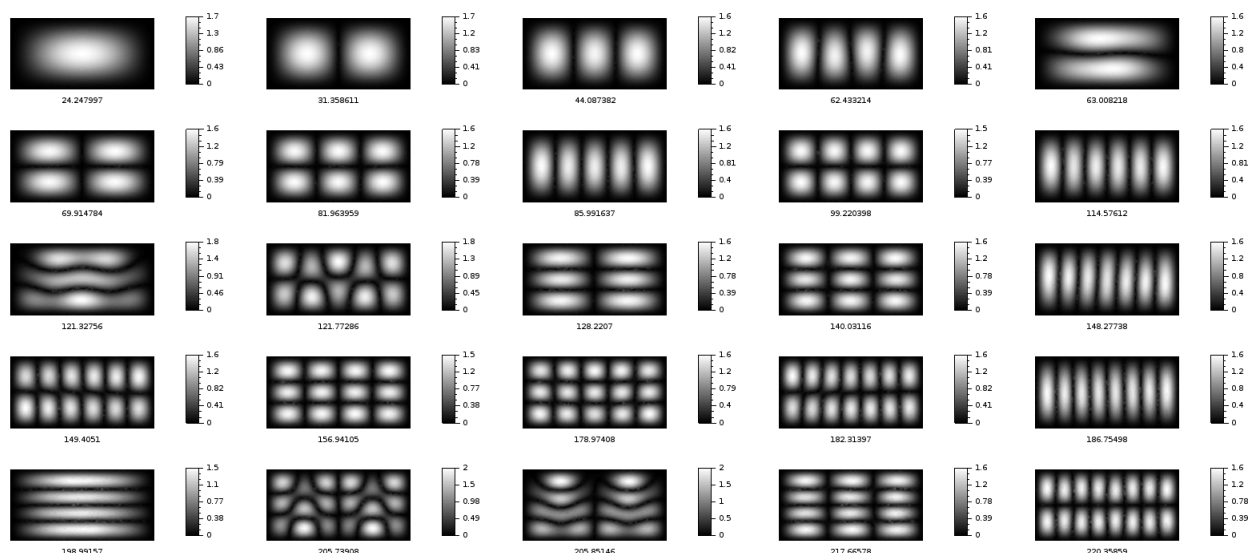


Figura 4.22: Autofunções/linhas nodais. Placa retangular de dimensão 2.0×1.0 . Formulação conforme.

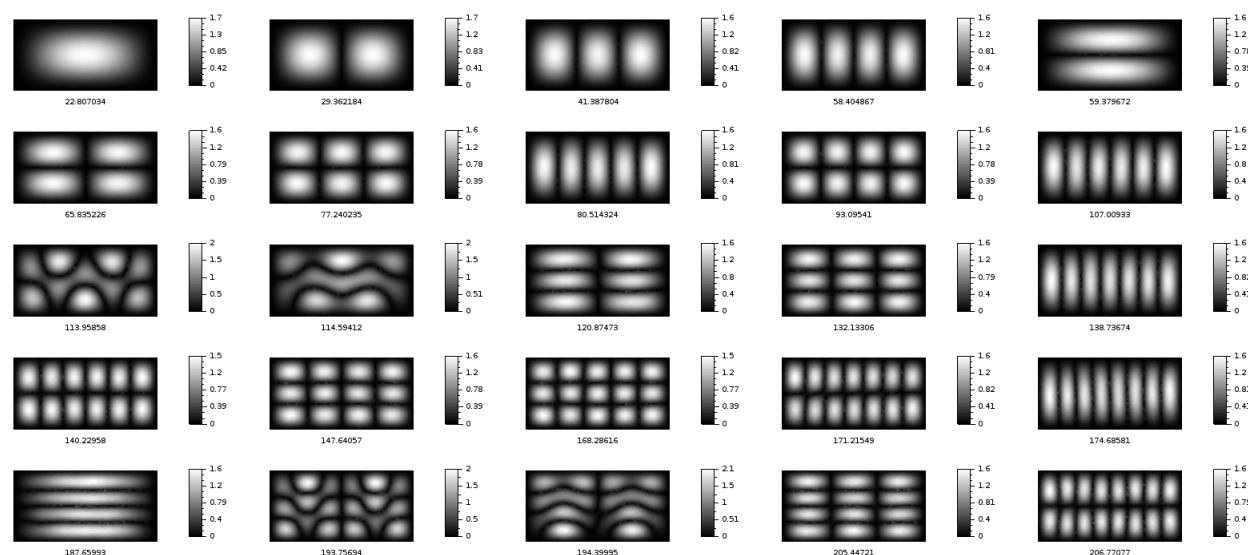


Figura 4.23: Autofunções/linhas nodais. Placa retangular de dimensão 2.0×1.0 . Formulação conforme18.

As linhas nodais das autofunções relativas a cada valor de ν podem ser observadas nas Figuras 4.28, 4.29, e 4.30, onde percebemos um padrão dessas linhas para todos os casos. Observamos que possível perceber que até a 16^o imagem as linhas nodais são essencialmente as mesmas, caracterizando os mesmos modos de vibração e, que as diferenças observadas nos modos 17^o ao 24^o, podem perfeitamente ser devidas ao fenômenos de *ressonância* que discutiremos na Seção 4.5.

4.5 Autovalores múltiplos - ressonâncias

Nesta seção falaremos de um fenômeno interessante que pode ser observado nas imagens das linhas nodais para placas de certos formatos. Esse fenômeno é o efeito da combinação linear de autofunções associadas a um mesmo autovalor ou frequência. Sempre que temos duas autofunções associadas a um mesmo autovalor, qualquer combinação linear das duas também é uma autofunção associada a esse mesmo autovalor e, por esse motivo, o número de autofunções associadas “cresce”

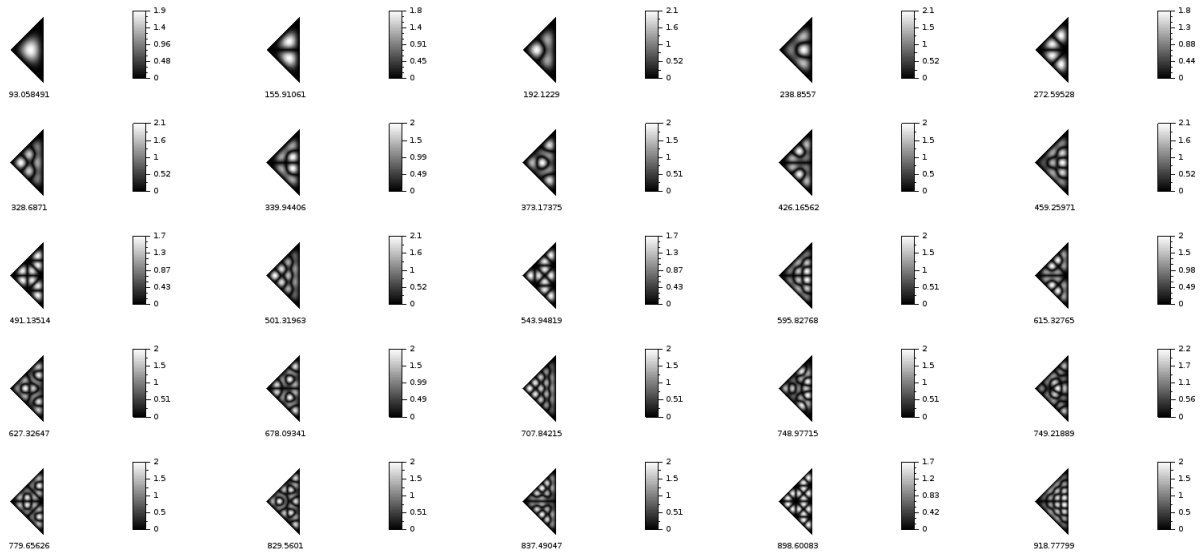


Figura 4.24: Autofunções/linhas nodais. Placa triangular. Formulação não conforme.

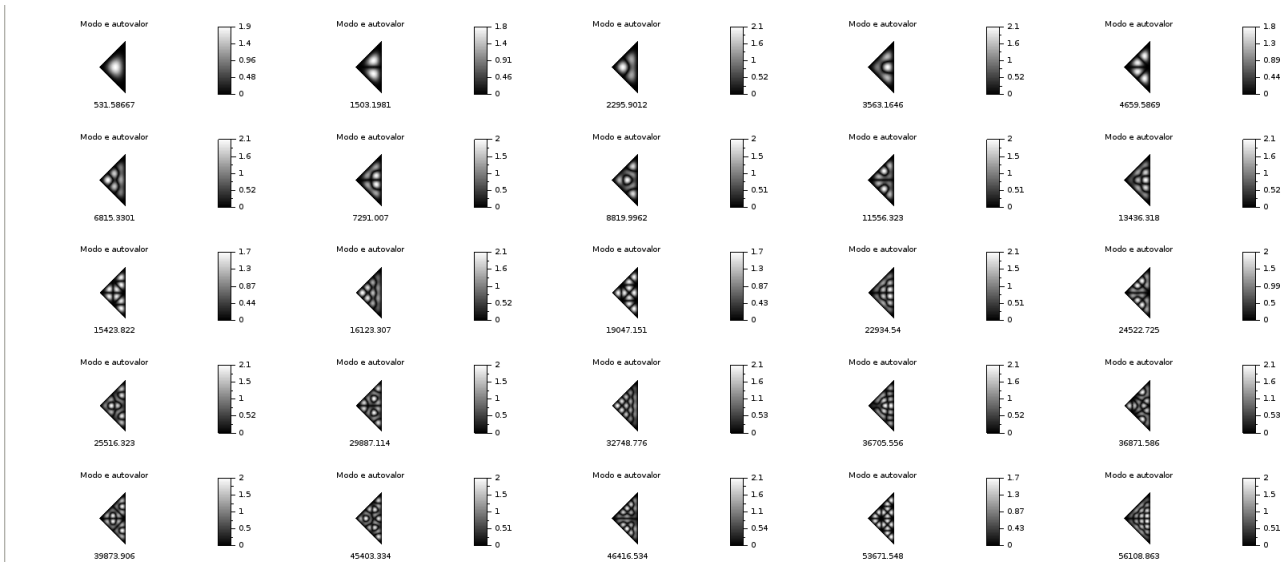


Figura 4.25: Autofunções/linhas nodais. Placa triangular. Formulação conforme. Aqui, em particular, abaixo de cada figura temos o autovalor correspondente.

muito. Chamaremos esse efeito de *ressonância*. Fisicamente, ressonância é usualmente definida como o estado de um sistema que vibra em frequência própria (natural) com amplitude acentuadamente maior, como resultado de estímulos externos de mesma frequência que a frequência natural deste sistema. Nos apropriamos desta terminologia no sentido de considerar a combinação de modos de vibração (nossas autofunções) associados a uma mesma frequência (autovalor).

Esse estudo será feito com base nos resultados numéricos obtidos para placas retangulares. Vale ressaltar que, por se tratar de uma aproximação, não obtivemos autovalores exatamente iguais. Usaremos aqui, como já temos feito em seções anteriores, os coeficiente de frequência como representantes dos autovalores. Além disso, nosso estudo será limitado à lista dos 25 primeiros modos de vibração. O objetivo aqui não é saber quantas ressonâncias ocorrem no total, mas identificar possíveis casos presentes nesse conjunto de dados e as possíveis combinações que ocorrem.

Esse estudo foi inspirado no fenômeno equivalente, observado nas linhas nodais provenientes da

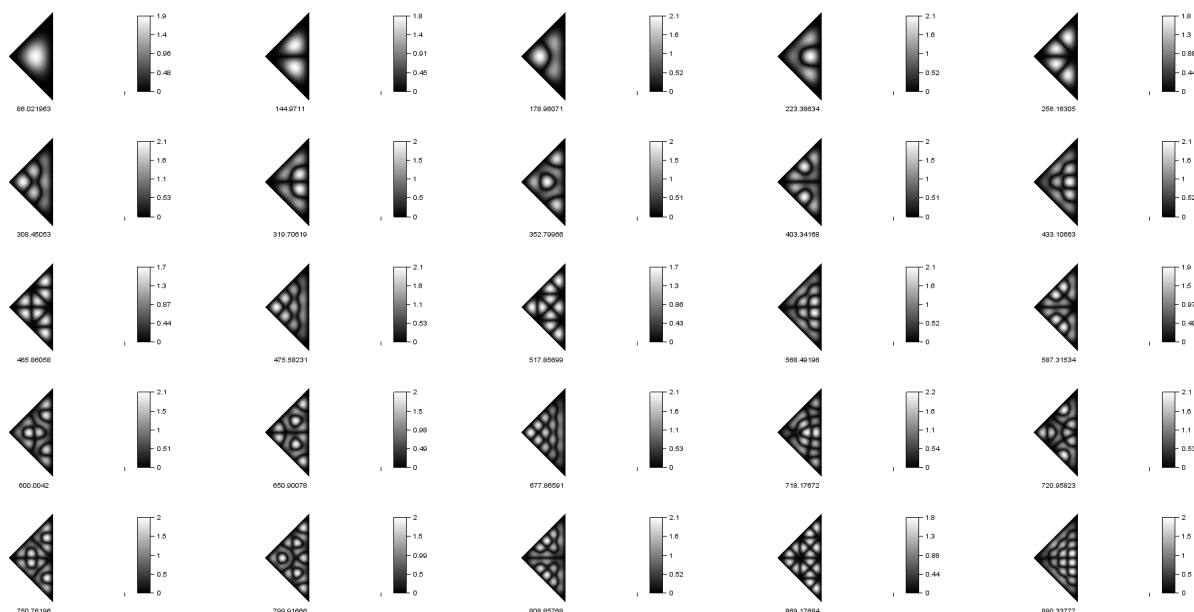


Figura 4.26: Autofunções/linhas nodais. Placa triangular. Formulação conforme18.

Malha quadrada de lado 1.0				Valores de referência disponíveis - A. Leissa
Coeficientes de frequência para os diferentes valores do parâmetro				
0.0	0.3	0.6	0.9	
35.84116667	35.77696973	35.60616422	34.45828801	35.9866
72.88870799	72.66790869	72.08198303	68.27718633	
72.89667935	72.67622477	72.09383394	68.31378482	73.40 ou 73.41
107.1844194	106.7276606	105.5353925	98.12652489	108.22 ou 108.27
130.1323503	129.5071733	127.8614712	117.6628926	131.64
130.7946493	130.1867144	128.5856537	118.6469847	132.18 ou 132.25
162.7902445	161.8279	159.3216542	144.4450138	164.99 ou 165.15
162.7983303	161.8360356	159.3546683	144.5945295	
207.206373	205.7967033	202.127136	180.6035243	
207.2465698	205.8538461	202.2192744	180.8283156	210.35
216.2510002	214.6218487	210.436163	186.7101328	219.32
237.7528247	235.8688665	231.033081	203.6539753	
238.8325656	236.9646418	232.1711255	205.0530468	
289.8726618	287.1359041	280.1637226	242.4062898	
289.9365838	287.1858737	280.2295801	242.6684576	295.69
302.3433137	299.5797654	292.4707833	253.0548159	
302.5911858	299.8166692	292.6788842	253.2267624	
332.5445306	329.1412083	320.4936327	274.1656064	
332.640544	329.2664381	320.6960191	274.6546329	
361.6812658	357.5619679	347.263031	294.1129842	370.66
382.038613	377.5581662	366.2758337	308.2171981	
383.429061	378.9877515	367.8473008	310.3701927	
415.3398363	410.4076017	397.8374918	332.5556377	
415.4085738	410.4634151	397.9265739	332.8482133	
444.4791244	438.7572739	424.3831634	351.6404372	

Figura 4.27: Lista dos 25 primeiros coeficientes de frequência de uma placa quadrada, com 3826 elementos, para diferentes valores de ν . Comparação dos resultados obtidos com a variação de ν com os valores de referência das tabelas 4.22 e 4.24 de [8].

vibração de uma membrana retangular de dimensão $a \times b$ com o *bordo preso* (condição de contorno $u = 0$). Esse é um problema de autovalor cuja solução analítica é possível e conhecida: as autofunções

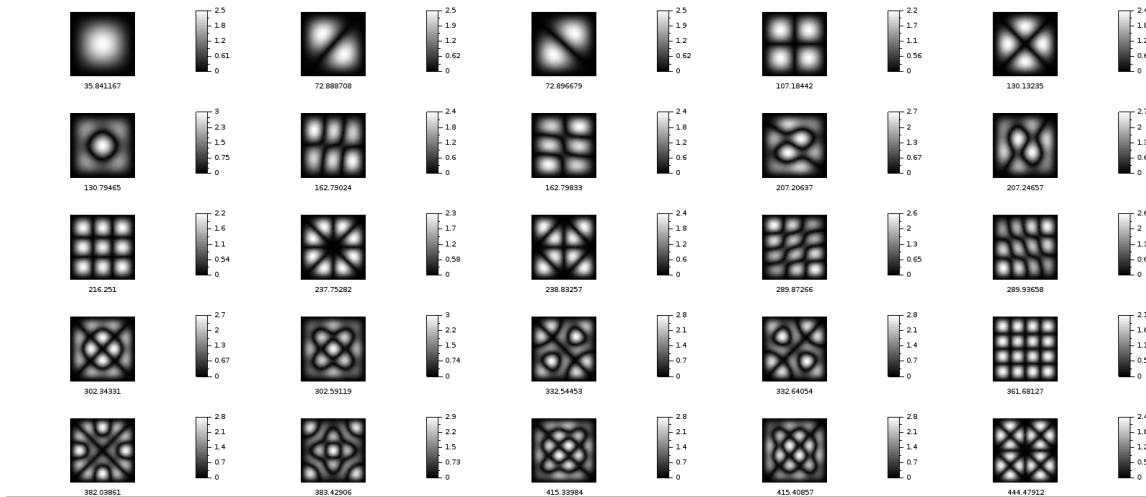


Figura 4.28: Primeiras 25 autofunções/linhas nodais. $\nu = 0.0$.

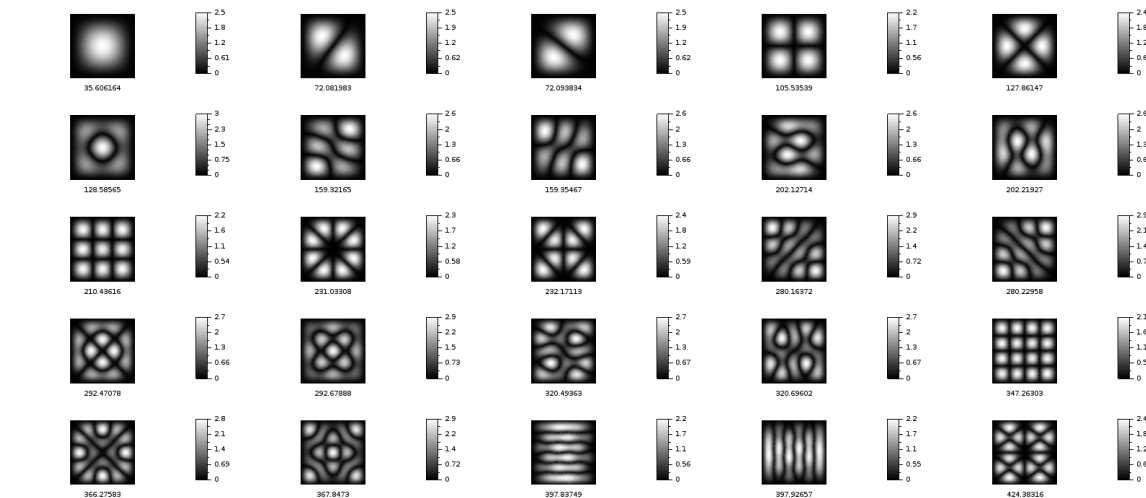


Figura 4.29: Primeiras 25 autofunções/linhas nodais. $\nu = 0.6$.

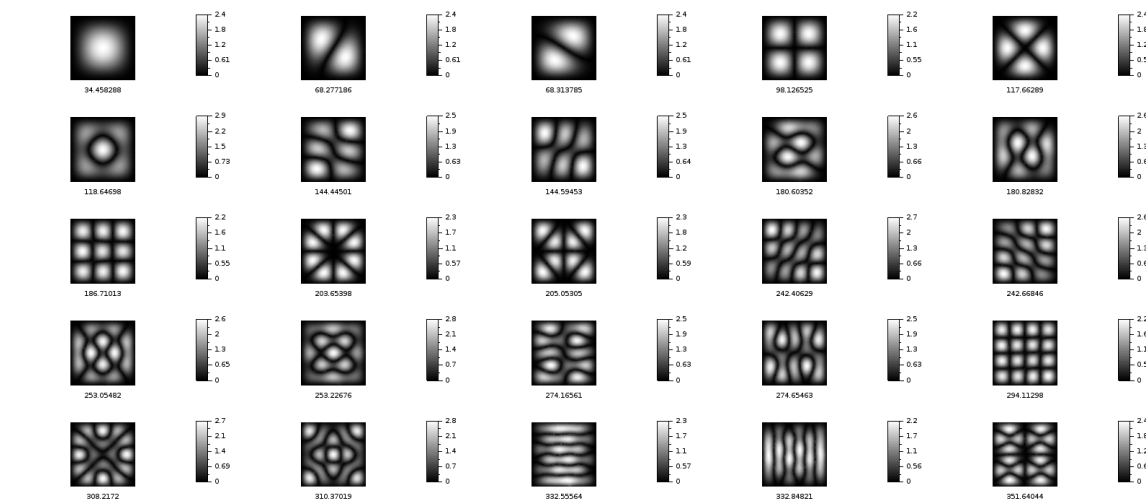


Figura 4.30: Primeiras 25 autofunções/linhas nodais. $\nu = 0.9$.

$u(x, y)$ são dadas pelo produto $\sin(\frac{n\pi x}{a})\sin(\frac{m\pi y}{b})$, $m, n \in \mathbb{Z}$ e, existe uma relação entre os autovalores λ , as dimensões a e b da membrana e os parâmetros m e n do modo de vibração (m, n) : $\frac{\lambda}{\pi^2} =$

$\left(\frac{m^2}{a^2} + \frac{n^2}{b^2}\right)$. Além disso, é possível mostrar que as linhas nodais (curvas no plano para as quais $u(x, y) = 0$) são retas paralelas horizontais e verticais [2].

Autovalores múltiplos sempre ocorrem quando a razão entre os lados a e b do domínio retangular for um número racional, caso em que é possível mostrar que a equação $\frac{n^2}{a^2} + \frac{m^2}{b^2} = \frac{n'^2}{a^2} + \frac{m'^2}{b^2}$ tem soluções não triviais para m, n, m' e n' [2]. Se a placa for quadrada, i.e., se $a = b$, então a relação se simplifica de modo que o que se busca é saber de quantas maneiras é possível escrever um número k^2 como a soma de dois quadrados: $p^2 + q^2 = k^2$. Por exemplo, os pares $(m, n) = (1, 2)$ e $(m', n') = (2, 1)$ satisfazem essa equação para $k = \sqrt{5}$ e, portanto, são modos de vibração associados ao mesmo autovalor λ , que é tal que $k = \frac{\sqrt{\lambda}}{\pi}$. Entretanto, nem sempre esses dois modos ficam visíveis dessa forma pois quando há combinação de modos, outras linhas nodais – diferentes de linhas verticais e horizontais – podem ocorrer [2]. Assim, sempre que curvas diferentes daquelas esperadas ocorrem podemos dizer que elas são resultados de uma combinação linear. A Figura 4.31 ilustra isso. Ela contém alguns zeros da combinação linear $\alpha \sin(mx) \sin(nx) + \beta \sin(nx) \sin(mx)$, $\alpha, \beta \in \mathbb{R}$ para uma placa quadrada.

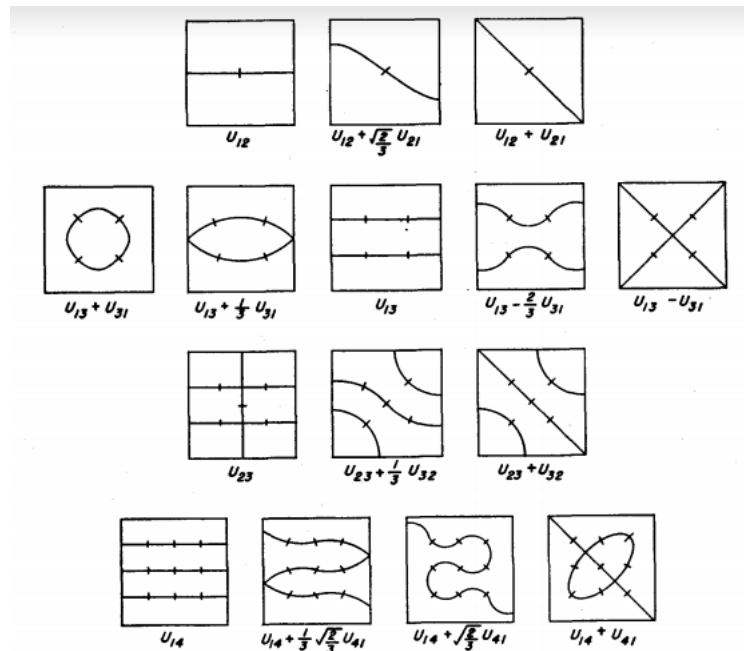


Figura 4.31: Algumas linhas nodais não usuais do problema de vibração da membrana quadrada de bordo preso. São resultado de combinações lineares de combinações lineares autofunções. u_{mn} indica o modo (m, n) e portanto a função $\sin(mx) \sin(nx)$. Fonte: livro *Methods of Mathematical Physics R. Courant e D. Hilbert* [2].

No caso que estudamos nesse trabalho, da vibração de uma placa com o bordo grampeado, não temos posse da solução analítica e, portanto, não há como saber, previamente, as características das linhas nodais. Entretanto, nossos resultados para placas retangulares mostram um padrão de linhas horizontais e verticais paralelas como aqueles da membrana, o que nos motivou, apesar de o problema da membrana ser de outra natureza, a tomar essas linhas como base do que seria esperado para as linhas nodais da placa grampeada. Chamaremos os modos de vibração com essa característica de *modos puros*. Nosso programa fornece, como resultado, autovalores e suas autofunções associadas, mas ele não distingue ou seleciona uma autofunção específica associada a um mesmo autovalor, i.e., não temos controle sobre que tipo de autofunção (relativa a um modo puro ou uma combinação)

aparecerá como resultado. No entanto, sabendo que esse fenômeno de ressonância pode ocorrer, foi feita uma investigação visual a fim de identificar modos de vibração associados a um mesmo autovalor e combinações lineares de modos puros associados a um mesmo autovalor. A ideia aqui não é saber exatamente como os modos foram combinados, mas apenas identificá-los. Para isso, a Figura 4.31, apesar de ser relativa a um problema diferente, pode ajudar na interpretação das curvas que aparecem no problema da placa.

Uma forma de começar a investigação por ressonâncias é buscar, na lista dos parâmetros de frequência de cada placa, valores muito próximos. Como a nossa lista de coeficientes de frequência está organizada em ordem crescente, então coeficientes de frequência próximos são consecutivos. Por exemplo, a placa quadrada de dimensão 1.0 possui muitos coeficientes de frequência próximos que destacamos em azul na tabela 4.4.

25 primeiros coeficientes de frequência normalizados - placa quadrada					
1°	35.72774893	9°	204.696752	17°	297.6505649
2°	72.48367519	10°	204.7840985	18°	326.1088889
3°	72.50355581	11°	213.3529428	19°	326.53636
4°	106.3358756	12°	234.2818675	20°	354.3250514
5°	129.0566273	13°	235.4477953	21°	373.8409449
6°	129.6812386	14°	284.9497531	22°	375.390582
7°	160.9867224	15°	285.0669003	23°	406.1667518
8°	161.0921438	16°	297.1960939	24°	407.1553746
				25°	433.8572598

Tabela 4.4: 25 primeiros coeficientes de frequência normalizados da placa quadrada.

Observamos nas imagens da Figura 4.32 as linhas nodais das autofunções relativas a esses coeficientes de frequência próximos e percebemos linhas curvas, diferente da esperadas para os modos puros. Veremos mais adiante que nem sempre valores próximos indicam linhas curvas e ressonâncias e que a placa quadrada pode ser considerada como um caso peculiar por apresentar tantos casos de ressonância. A busca por linhas curvas também pode iniciar uma busca por candidatos à ressonância. Lendo as figuras da esquerda para a direita e de cima para baixo, identificamos, pela ordem em que aparecem e, além daqueles indicados na tabela, os modos de vibração 7 e 8, 12 e 13, 21 e 22 e, 23 e 24, que podem indicar uma combinação linear de autofunções relativas a um mesmo coeficiente de frequência. Temos então 10 candidatos, obtidos por meios de observação diferentes.

O gráfico 4.33 pode usado para buscar autovalores próximos e sua vantagem é que ele contém informação de placas retangulares de diferentes proporções.

Esse gráfico foi construído com informações de 17 placas retangulares de dimensão $c \times 1.0$, com $1 \leq c \leq 3$, variando de 0.125 em 0.125. As imagens das linhas nodais para cada uma dessas placas estão disponíveis no Apêndice A.

Cada cor da Figura 4.33 representa uma posição na lista ordenada de autovalores. Fixada uma cor, cada ponto corresponde a um valor de c . Esses pontos foram ligados, formando linhas que nos ajudam a perceber valores próximos por meio do encontro de linhas de diferentes cores. Para a placa quadrada, verificamos os encontros na reta vertical $c=1.0$, onde as linhas que representam os coeficientes de frequência citados anteriormente se encontram: 2 e 3, 5 e 6, 7 e 8, 9 e 10.

Na reta vertical $c=1.25$ observamos o encontro das linhas verde escuro e roxa, representantes dos modos de número 4 e 5. Para $c=1.5$, temos o encontro das linhas amarela e verde escuro,

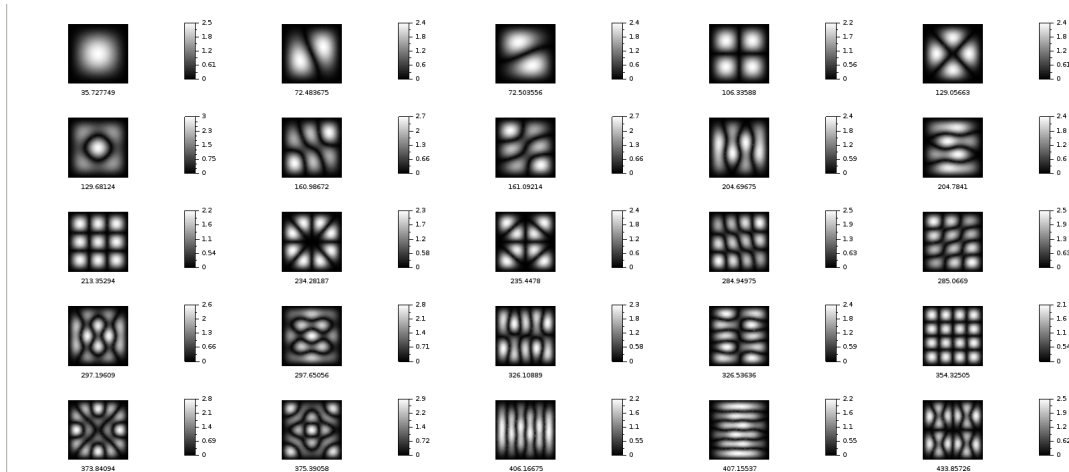


Figura 4.32: Autofunções da placa quadrada de dimensão 1.0.

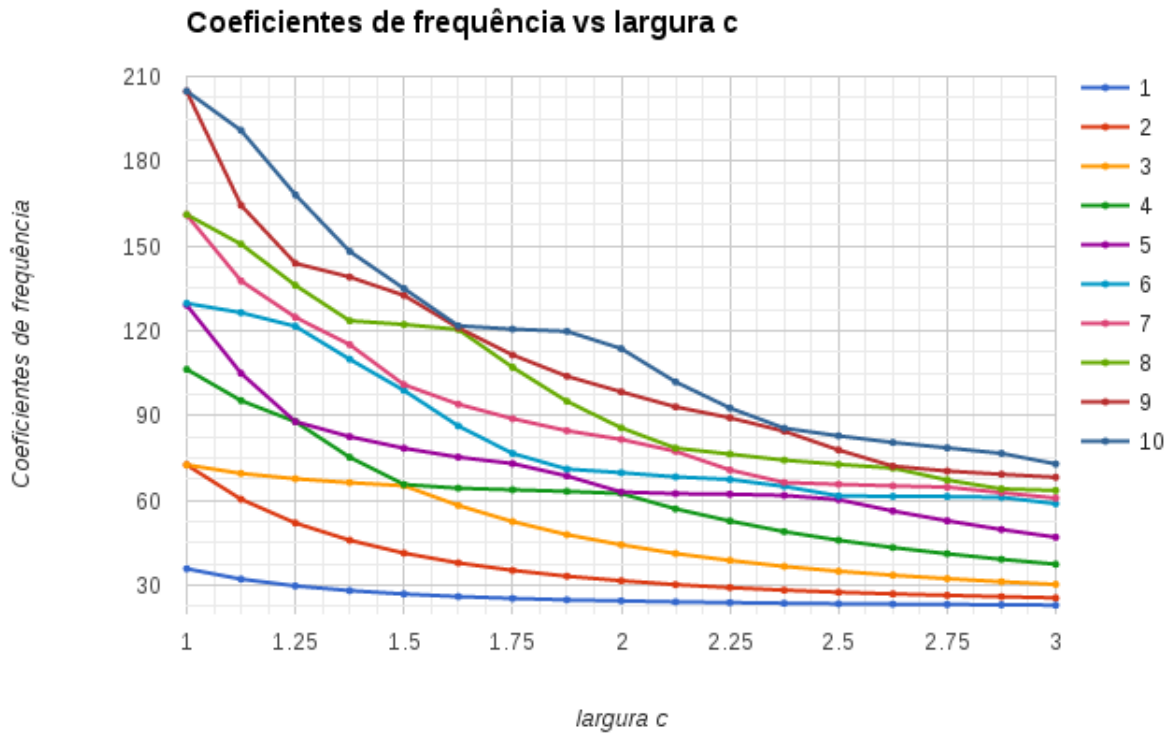


Figura 4.33: Evolução dos 10 primeiros coeficientes de frequência. Placas de dimensão $1.0 \times c$, com $1 \leq c \leq 3$. Foram feitas 17 malhas, cada uma com 3000 elementos triangulares, em média.

representantes dos modos de número 3 e 4; para $c=1.625$, o encontro das linhas 8, 9 e 10 e, para a reta vertical $c=2.0$, observamos novamente o encontro das linhas verde e roxa, dos modos 4 e 5. A partir desses candidatos podemos observar os modos de vibração relativos a eles nas imagens 4.35, 4.36, 4.37 e 4.38, respectivamente, e confrontar se esses modos são aparentemente puros ou combinados. Na Figura 4.35, relativa à $c=1.250$, os modos número 4 e 5 parecem ser uma combinação linear, no sentido que eles apresentam linhas curvas. Na Figura 4.36, relativa à $c=1.5$, identificamos os modos listados como (1,2) e (3,1), respectivamente, na Figura 4.37, relativa à $c=1.625$, o 8º modo foi identificado como (4,2) e os modos 9º e 10º parecem ser uma perturbação – que aqui tanto pode

ser uma ressonância como uma imprecisão numérica que influenciou na qualidade da figura – dos modos puros (1,3) e (5,1) e, na Figura 4.38, identificamos os modos listados como (4,1) e (1,2).

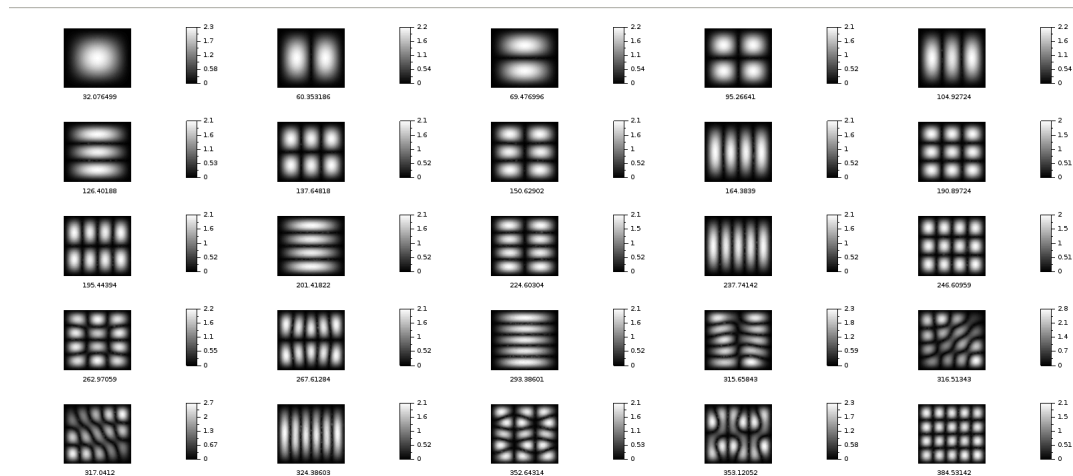


Figura 4.34: Primeiras 25 autofunções/linhas nodais. Placa retangular de dimensão $c \times 1.0$, com $c = 1.125$.

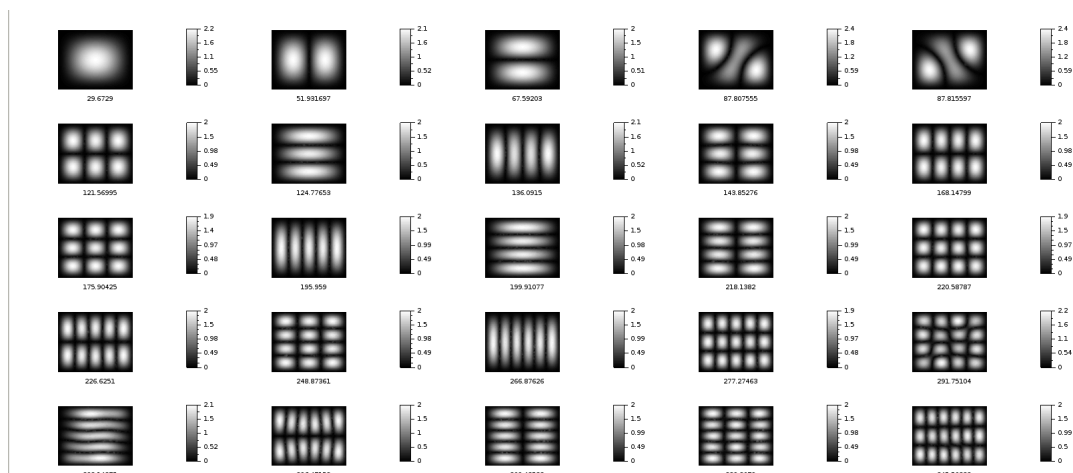


Figura 4.35: Primeiras 25 autofunções/linhas nodais. Placa retangular de dimensão $c \times 1.0$, com $c = 1.250$.

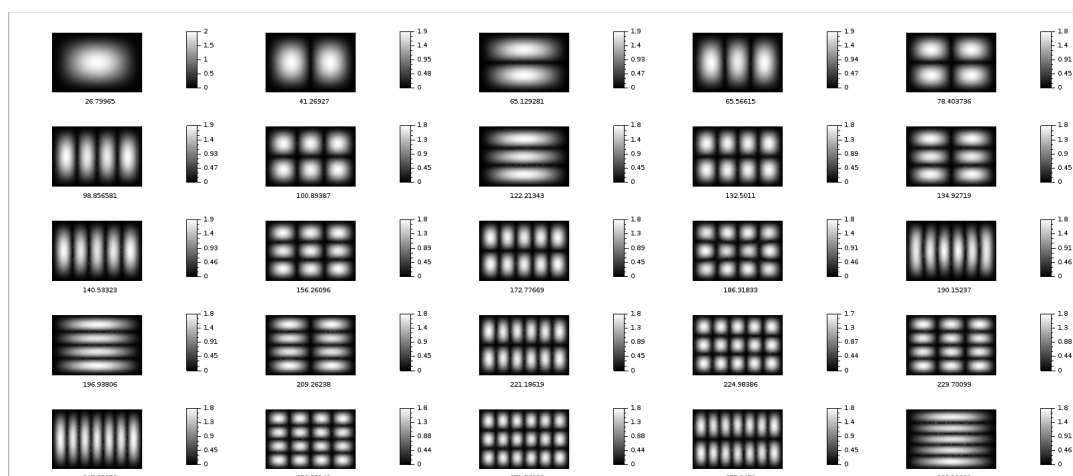


Figura 4.36: Primeiras 25 autofunções/linhas nodais. Placa retangular de dimensão $c \times 1.0$, com $c = 1.5$.

Apesar de, na busca por linhas curvas encontrarmos modos do tipo (m, n) bem definidos, isso

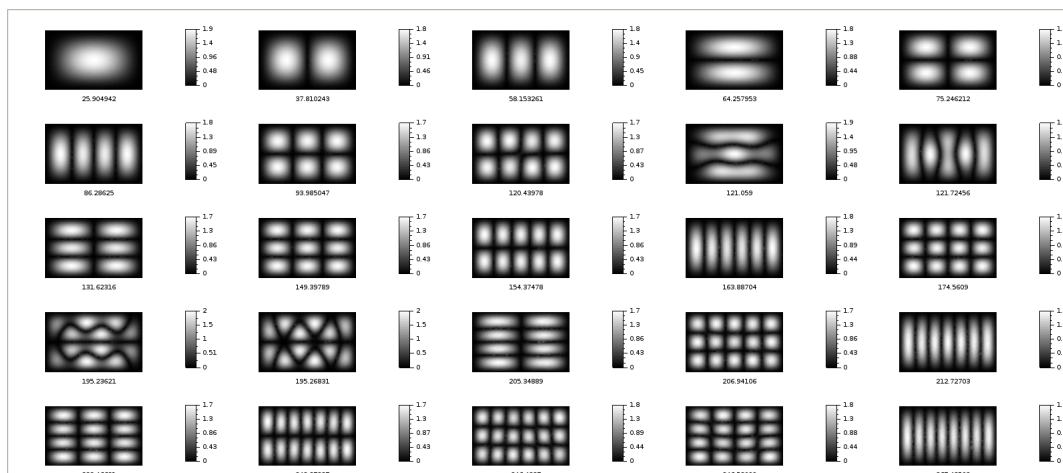


Figura 4.37: Primeiras 25 autofunções/linhas nodais. Placa retangular de dimensão $c \times 1.0$, com $c = 1.625$.

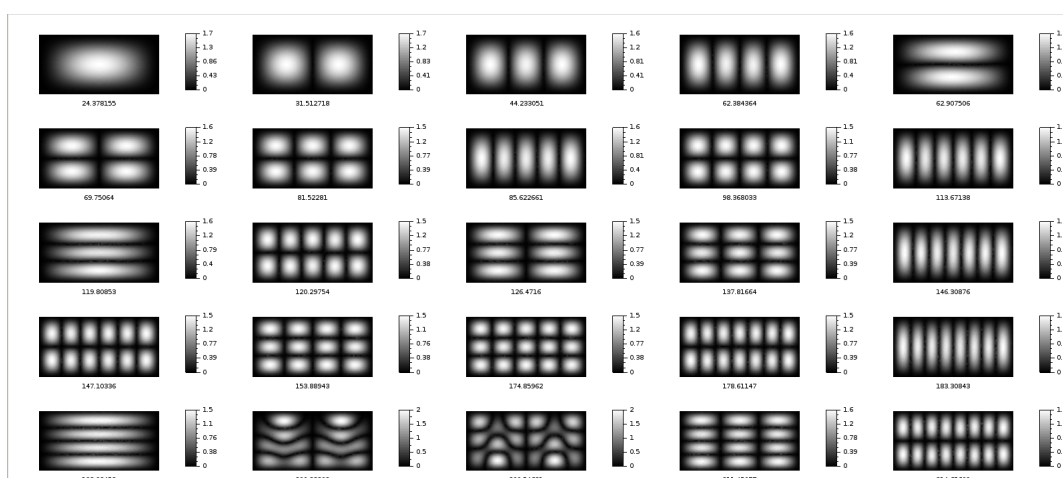


Figura 4.38: Primeiras 25 autofunções/linhas nodais. Placa retangular de dimensão $c \times 1.0$, com $c = 2.0$.

não é um problema. Quando olhamos para a evolução dos modos de vibração com a variação da proporção da placa, os casos em que os valores próximos não parecem ser ressonância (i.e., estão bem definidos) nos ajudam a identificar modos envolvidos numa combinação que aparece em alguma outra placa.

Para visualizar melhor as possíveis combinações dos modos de vibração, construímos outro tipo de gráfico. Na Figura 4.39, a evolução dos coeficientes de frequência com a variação da proporção da placa retangular se organiza por modo de vibração e não por ordem em que aparecem. Fixada uma cor, cada ponto do gráfico corresponde a um valor de c . Esses pontos também foram ligados de modo que cada curva colorida corresponde a um modo de vibração (m, n) . As curvas com mesmo valor de n tem a mesma cor base, mas com a intensidade aumentando com o valor de m . Cruzamentos dessas curvas indicam que os modos de vibração possuem o mesmo coeficiente de frequência e por isso, nos permite não só localizar as ressonâncias mas também os modos de vibração envolvidos. Os dados para gerar esse gráfico foram organizados manualmente, com base na identificação dos modos de vibração feita pela observação das imagens das linhas nodais de cada placa – como fizemos nos exemplos anteriores. Além disso, para visualizar melhor os cruzamentos é necessário uma escolha adequada dos modos que serão plotados. Escolhemos os modos (m, n) , $1 \leq m, n \leq 4$, para serem plotados.

A construção foi feita de maneira “empírica”, por observação e identificação e interpretação dos modos de vibração nas imagens das linhas nodais. Situações ambíguas – i.e. modos de vibração mais complicados de distinguir por se tratar de combinação de modos puros – foram completadas “na mão”. Por exemplo: os modos (3,1) e (2,2) não estão claros na placa $c=1.25$, mas na placa $c=1.125$ e $c=1.5$ eles aparecem claramente e em ordem diferentes. Eles são o 5º e o 4º para a placa $c=1.125$ e os 4º e 5º modos na placa $c=1.500$. Veja Figuras 4.34 e 4.36. Supondo que os coeficientes de frequência variem continuamente em função de c , podemos dizer que essa troca de posição nos indica que para algum valor de c entre 1.125 e 1.5 esses dois modos tiveram coeficientes de frequência iguais, que podem ter gerado uma combinação destes. Isso pode ser notado na placa $c=1.25$ (Figura 4.35), pela imagens dos modos 4 e 5, para as quais inferimos que se trata de uma combinação dos modos (3,1) e (2,2). Assim, completamos o gráfico para esses modos com um ponto preto, utilizando uma média dos coeficientes de frequência dos modos 4 e 5 da placa $c=1.250$. A cor preta indica a ambiguidade na identificação dos modos puros nessa placa.

A partir do exemplo acima, elegemos as principais características do nosso gráfico (Figura 4.39).

Os pontos pretos nos cruzamentos indicam que a cor está indefinida, pois os coeficientes de frequência de dois modos estão muito próximos. Pontos pretos com um quadrado cinza em volta indicam que houve uma combinação linear de modos. Se essa combinação for de modos puros (m, n) com $1 \leq m, n \leq 4$, não há nada escrito em volta. Caso contrário, havendo um modo com n ou m maior do que 4 envolvido na ressonância, anotamos ao lado qual é esse modo.

Temos três pontos pretos sem o quadrado cinza em volta: do encontro das linhas (4,3) e (3,4) para $c=1.0$, das linhas (3,1) e (1,2) para $c=1.5$ e das linhas (4,1) e (1,2) para $c=2.0$. Para esses pontos, os modos puros aparecem nitidamente nas imagens, mas os coeficientes de frequência são tão próximos que não os distinguimos nesse gráfico e no gráfico da Figura 4.33.

Quando aparecem modos não puros ou quase puros mas um pouco “perturbados”, colocamos, junto ao ponto, uma figura correspondente aos modos que correspondem àquele autovalor. Na maioria dos casos, identificamos dois modos não puros. Mas há um caso diferente, em que aparecem três modos, e que já tinha sido identificado no gráfico da Figura 4.33. Trata-se dos modos 8, 9 e 10 da placa $c=1.625$. Um deles, o (4,2), está bem claro, mas os outros dois, o 9º e o 10º, parecem ter sofrido uma “perturbação” dos modos (1,3) e (5,1).

As curvas incompletas no gráfico correspondem a modos cujos autovalores – ou coeficientes de frequência – saíram do conjunto dos 25 primeiros (e portanto menores) que estamos apresentando. Também é interessante como a escolha que fizemos dos modos plotados (isto é, $1 \leq n, m \leq 4$) permite ver como aqueles que têm o mesmo valor de n vão se juntando à medida que c cresce.

Em resumo, esse gráfico é uma forma de apresentar uma interpretação dos nossos resultados principais – as linhas nodais da vibração – pela maneira como ele foi construído. E, depois de pronto, ele nos ajuda a inferir ressonâncias em placas não preestabelecidas aqui, i.e. para valores de c entre os valores utilizados. Se considerarmos que o autovalores (e portanto os coeficientes de frequência) variam continuamente em função de c , não é preciso se limitar a olhar cruzamentos nas linhas verticais para os valores de c pré-estabelecidos, afinal, não é só nesses pontos que pode haver cruzamentos.

Usando os valores de c como parâmetro listamos os seguintes cruzamentos: próximo à reta $c=1.250$: modos (3,2) e (1,3); (2,3) e (4,1); (3,3) e (4,2); (2,4) e (4,3). Próximo à reta $c=1.375$: (4,1) e (1,3); (1,4) e (4,3). Próximo a reta $c=1.5$: (4,1) e (3,2); (4,2) e (2,3). Entre as retas $c=1.750$

e $c=2.0$: modos (4,1) e (2,2). Aqui, a continuidade é importante para poder afirmar que existe um valor de c entre os valores tabelados para o qual os autovalores são iguais. Isto posto, para uma investigação mais completa, seria necessário descobrir com mais precisão de c para o qual os modos puros se cruzam, construir uma placa com essa proporção e obter as imagens.

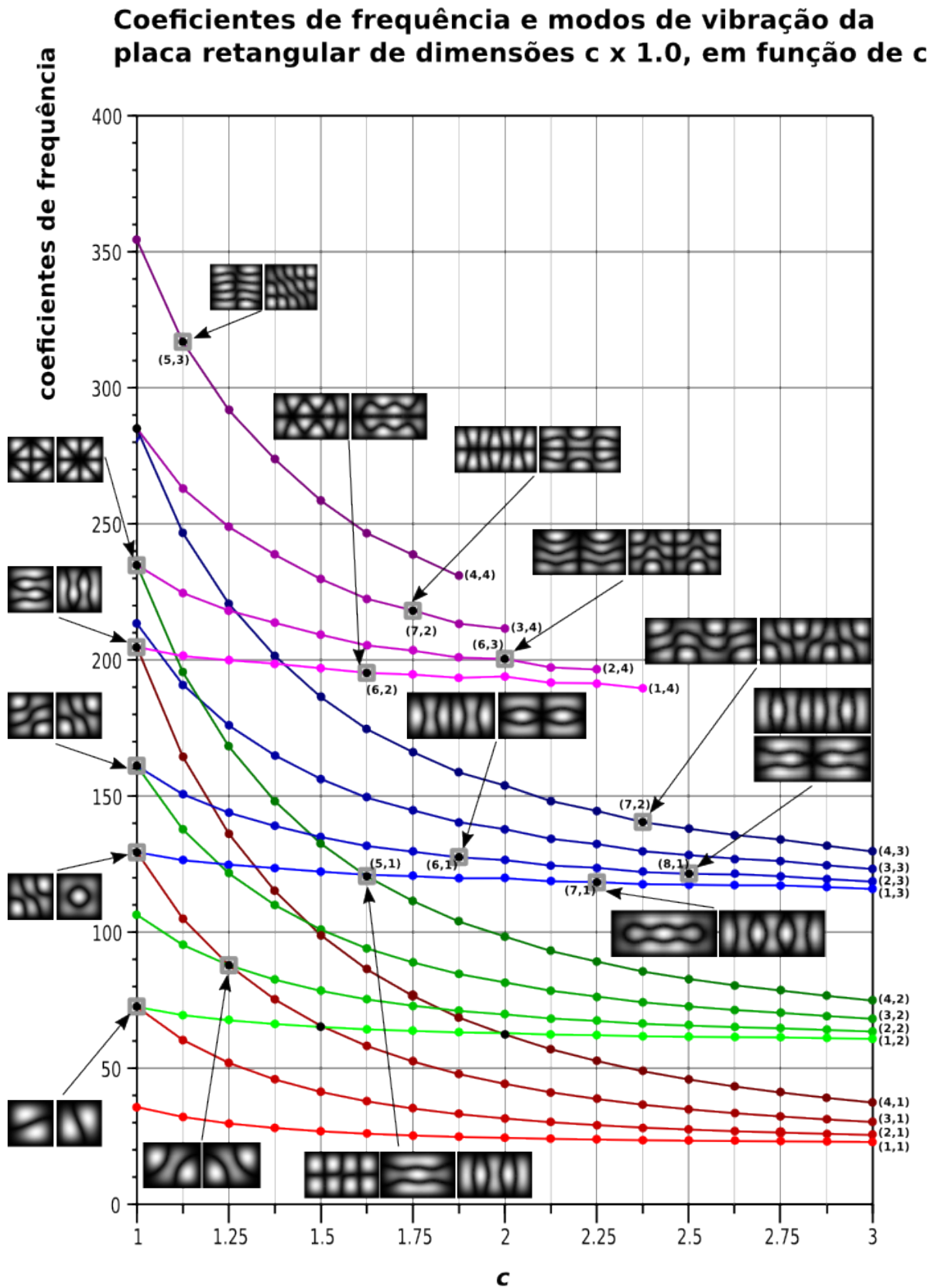


Figura 4.39: Ressonâncias. Placas de dimensão $c \times 1.0$, com $1 \leq c \leq 3$.

Capítulo 5

Conclusão

Neste capítulo apresentaremos as principais conclusões que obtivemos ao longo deste trabalho.

O objetivo de obter um software capaz de fornecer dados para obtenção de imagens das linhas nodais da vibração de placas de diferentes formatos poligonais foi cumprido. Implementamos e obtivemos resultados para três formulações: a aproximação polinomial quadrática *não conforme*, e duas aproximações polinomiais de quinto grau conformes, que chamamos de *conforme* e *conforme18* e, com as quais foi possível gerar as imagens pretendidas, como vimos por exemplo, nas figuras do Capítulo 4.

Esperávamos que as formulações conformes nos fornecessem os melhores resultados devido à sua característica de aproximar “por dentro” do espaço de funções admissíveis. Entretanto foi a quadrática, não conforme e mais simples, que apresentou resultados mais satisfatórios no sentido da convergência do primeiro coeficiente de frequência para o valor de referência.

As formulações de quinto grau, *conforme* e *conforme18*, foram implementadas como uma alternativa à primeira implementação de quinto grau conforme – que apresentou uma instabilidade com relação aos refinamentos de malhas, caracterizada principalmente pela inversão da matriz C_i (cuja descrição foi dada no Capítulo 2) – para a qual não obtivemos resultados relevantes e que por isso não recebeu um nome especial. Tal formulação conforme já se mostrava mais dispendiosa em termos de tempo de execução e espaço de memória, devido ao alto grau da aproximação polinomial e às inversões de matrizes de grande dimensão e, isso não foi diferente para as duas alternativas propostas.

No caso da formulação *conforme*, observamos que ela se tornou mais estável com relação à variação das malhas, mas sua execução – por possuir várias etapas adicionais geradas pelas interpolações – ficou bastante demorada, cerca de 13 horas para uma malha de aproximadamente 3000 elementos triangulares.

A formulação *conforme18* possui uma implementação mais concisa, apesar da dificuldade teórica com a qual nos deparamos para cuidar da restrição da derivada normal como polinômio cúbico na aresta. Essa é uma solução que garante uma homogeneidade na distribuição das variáveis nodais no elemento finito, propriedade que pode ser relevante para o desempenho numérico, mas que tem desdobramentos que devem ser tratados com cuidado na implementação, como por exemplo a etapa da inversão de matrizes. Essa formulação tem um tempo médio de execução um pouco menor, se comparada com a anterior – cerca de 6 horas para uma malha com 3000 elementos – mas ela apresenta um problema de instabilidade com relação a algumas malhas. Acreditamos que essa instabilidade não seja do mesmo tipo daquela primeira formulação conforme, que motivou esta

implementação, pois ela não se dá com o refinamento da malha. Simplesmente há malhas para as quais o programa não pôde ser executado até o fim. Vimos na Tabela 4.2 que as malhas para as quais não obtivemos resultados não eram tão finas. Com base nisto, percebemos que há aspectos na implementação que ainda precisam ser melhorados.

Apesar dessas questões e limitações, ainda sim, essas duas formulações nos forneceram resultados suficientes para que a análise do Capítulo 4 pudesse ser feita. Conseguimos executar os programas para diversas malhas e refinamentos e as imagens obtidas também apresentam boa qualidade no sentido de representarem bem os modos de vibração, como vimos nas figuras 4.21, 4.22 e 4.21 do Capítulo 4, por exemplo.

Acreditamos que as duas implementações *conforme* e *conforme18* podem ser melhoradas em vários aspectos e, para isso vislumbramos possibilidades numa organização da implementação e otimização dos códigos que gere menos custo nas operações computacionais, ou no uso de uma base não canônica para os polinômios aproximadores que ajude na eficiência numérica e, talvez, no estudo do uso de um sistema de coordenadas não cartesianas.

O estudo cuidadoso que foi feito com relação à formulação da EDP desde a modelagem física, com a energia potencial, e da sua forma fraca permitiu entender melhor o problema, a EDP e as constantes nela envolvidas. Uma delas nos chamou muito a atenção: o coeficiente de Poisson ν . Vimos que ele está associado às propriedades físicas do material, que aparece na modelagem da energia potencial associada a este problema, na constante $D = \frac{Eh^3}{12(1-\nu^2)}$ e na formulação fraca do problema de autovalor. Vimos também que, para o caso especial em que a condição de contorno considerada é a de *bordo grampeado*, essa constante desaparece do problema de autovalor, de modo que o valor escolhido para ela na forma fraca é irrelevante para as soluções (autovalores e autofunções), apesar de ν continuar influenciando a frequência de vibração. Os testes realizados para diferentes valores do parâmetro ν também nos mostraram que essa influência é pequena e esta conclusão é confirmada pelas imagens das linhas nodais para os diferentes valores ν que usamos (Figuras 4.28, 4.29 e 4.30). As diferenças encontradas nos autovalores e, portanto, no coeficientes de frequência podem ser devidas apenas a erros numéricos naturais (erro de arredondamento e erro do método).

Este fato nos levou à seguinte pergunta: será então, que, estabelecida/fixada a condição de contorno de *bordo grampeado*, os modos de vibração de uma placa de material elástico, isotrópico e homogêneo, são essencialmente os mesmos, para qualquer material com essas propriedades? Nossas considerações teóricas e resultados sobre a variação do ν nos dizem que sim. Esse fato é curioso e interessante do ponto de vista físico – pensando em como placas de diferentes materiais vibram ou devem ter o mesmo comportamento nas vibrações — e também do ponto de vista matemático, pois, uma vez fixada esta condição de contorno temos liberdade de alterar a forma fraca para uma mais conveniente matematicamente e mais fácil de lidar.

Algumas trabalhos da literatura propõem a solução deste problema de autovalor com formas fracas e funcionais, a serem minimizados, mais simples do que aquela que utilizamos, mas só depois deste estudo é que foi possível entender o porquê. Neste sentido, foi importante estudar o efeito da variação de ν , mesmo para o caso da placa grampeada, onde não esperávamos grandes variações.

Observamos também que as linhas nodais que obtivemos para a para a placa retangular são muito parecidas com aquelas provenientes da vibração da membrana com fronteira presa. Esse fato também nos pareceu curioso e interessante, pois a modelagem deste problema para a placa é muito

mais complicada que o caso da membrana e, a implementação numérica também segue essa mesma característica. Uma impressão que fica é que poderíamos ter usado o modelo da membrana, ou que não é preciso toda essa modelagem de placas finas metálicas. Mas isso não é verdade. Observamos que essa semelhança se dá no caso especial da placa e membrana retangulares. Para fazer tal afirmação seria preciso um estudo mais completo dessa semelhança entre os modos puros, tanto para as placas retangulares, como para outros formatos e uma busca pela relação entre autovalores, frequência e dimensão do domínio, como existe para a membrana.

O estudo da evolução dos autovalores conforme a variação da proporção de uma placa retangular nos permitiu visualizar e identificar combinações lineares de alguns modos de vibração, fenômeno que chamamos de *ressonância*. Apesar de ter sido construído através de uma interpretação dos modos de vibração nas imagens que obtivemos numericamente, o gráfico 4.39 é interessante e nos permite investigar além dos valores preestabelecidos para a proporção da placa.

Tendo em vista essas considerações, enxergamos possibilidades e investigações para trabalhos futuros. Além da implementação computacional para o problema com o bordo livre que caracteriza melhor o problema de Chladni – já manifesto anteriormente – vemos algumas outras, ainda no caso de condição de contorno *bordo grampeado*:

- nos valer de soluções conhecidas para a vibração de uma barra rígida, de material com as mesmas propriedades que a placa, para estudar as soluções do problema no caso da placa.
- investigar a relação entre os parâmetros dos modos de vibração da placa retangular (m, n) , suas dimensões e os autovalores;
- estudar modos de vibração e sua semelhança com os modos de vibração da membrana para placas de outros formatos.

Trabalhamos com vários aspectos do problema: a modelagem, a teoria, a implementação e interpretação de resultados e, apesar de não termos nos aprofundado muito em cada uma dessas etapas, foi interessante poder trabalhar com um pouco de tudo e sentir a pesquisa de um tema “do início ao fim”, isto é, desde a motivação experimental até resultados visuais computacionais.

Apêndice A

Figuras: Modos de vibração de placas retangulares

Cada figura a seguir contém as imagens dos 25 primeiros modos de vibração para placas retangulares de tamanho $1 \times c$ – com $1 \leq c \leq 3$ e c variando de 1.125 em 1.125 – que foram usadas para a construção do gráfico 4.39 de ressonâncias do capítulo 4. O número abaixo de cada uma das 25 imagens da figura é o coeficiente de frequência associado ao modo de vibração.

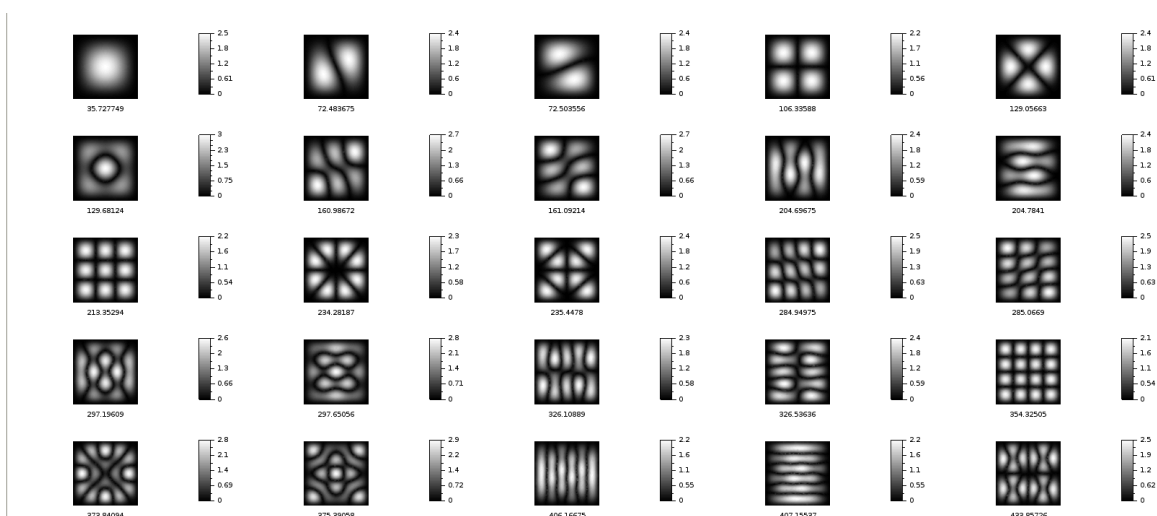


Figura A.1: Placa retangular de dimensão $c \times 1.0$, com $c = 1.0$.

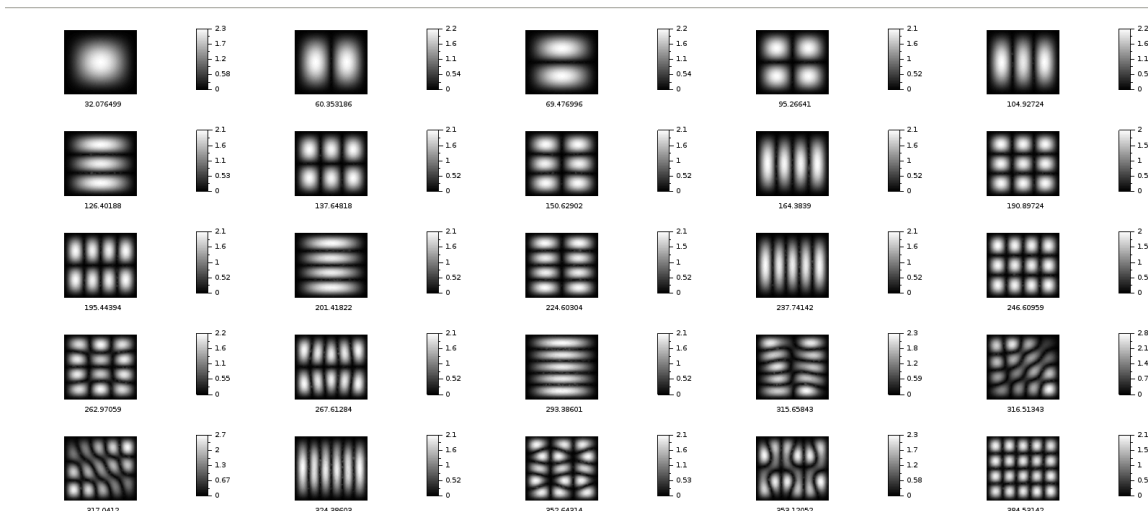


Figura A.2: Placa retangular de dimensão $c \times 1.0$, com $c = 1.125$.

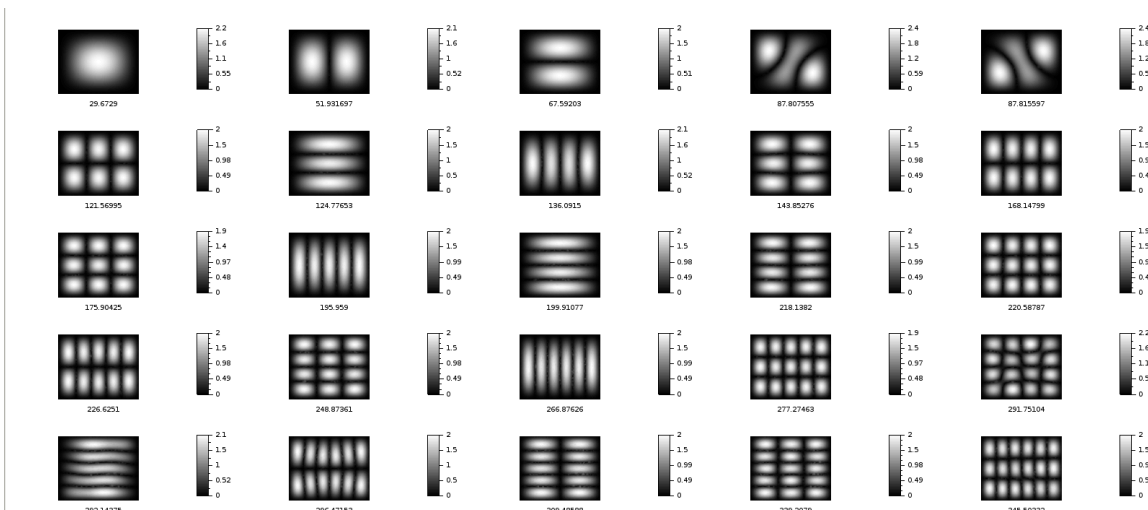


Figura A.3: Placa retangular de dimensão $c \times 1.0$, com $c = 1.250$.

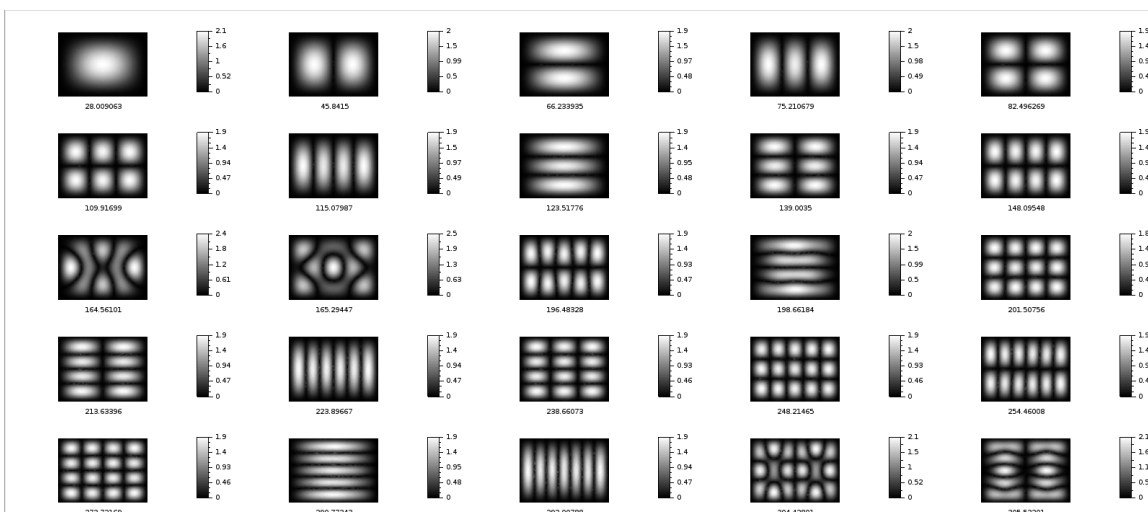


Figura A.4: Placa retangular de dimensão $c \times 1.0$, com $c = 1.375$.

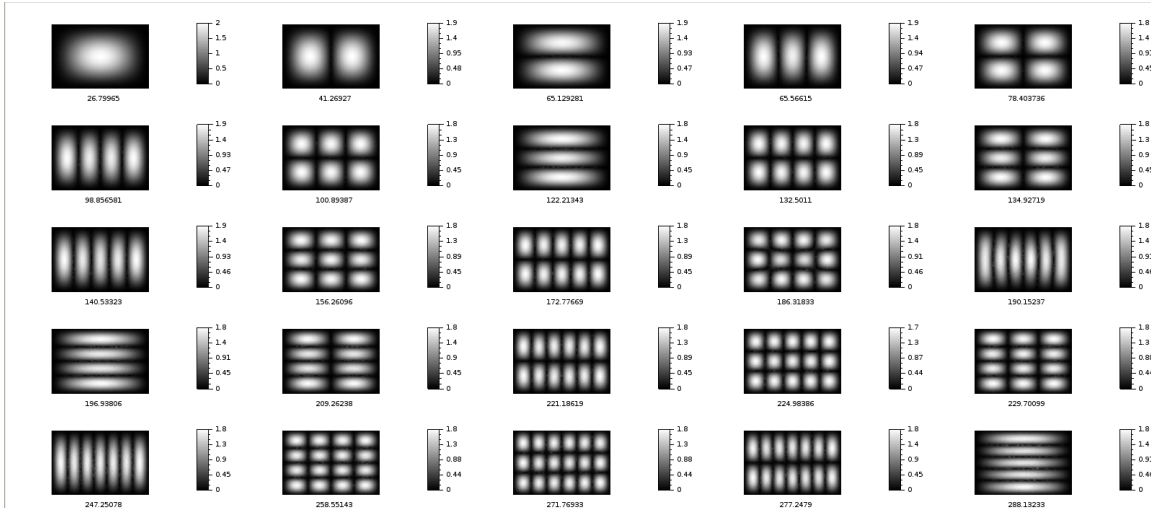


Figura A.5: Placa retangular de dimensão $c \times 1.0$, com $c = 1.5$.

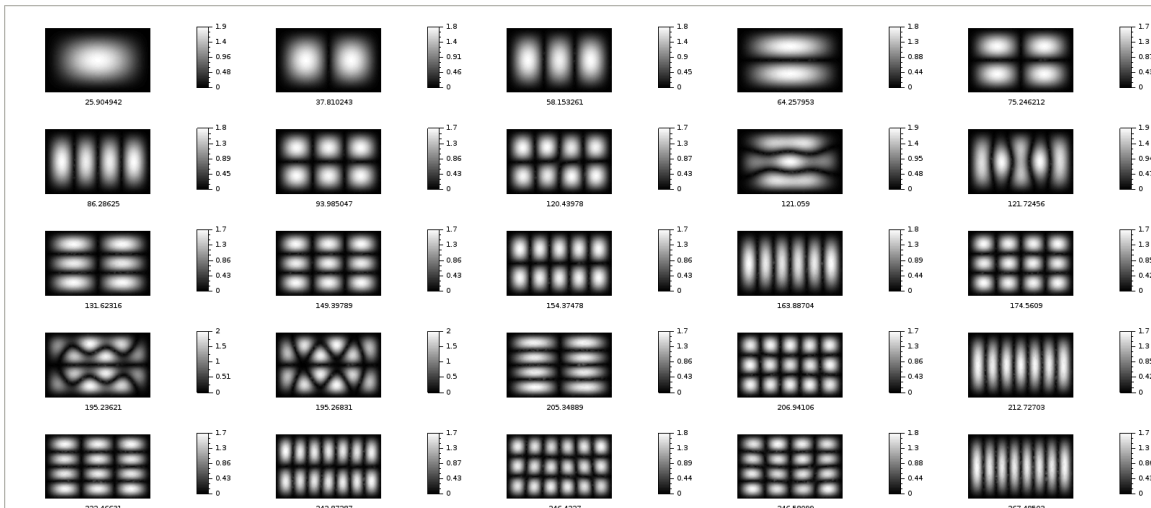


Figura A.6: Placa retangular de dimensão $c \times 1.0$, com $c = 1.625$.

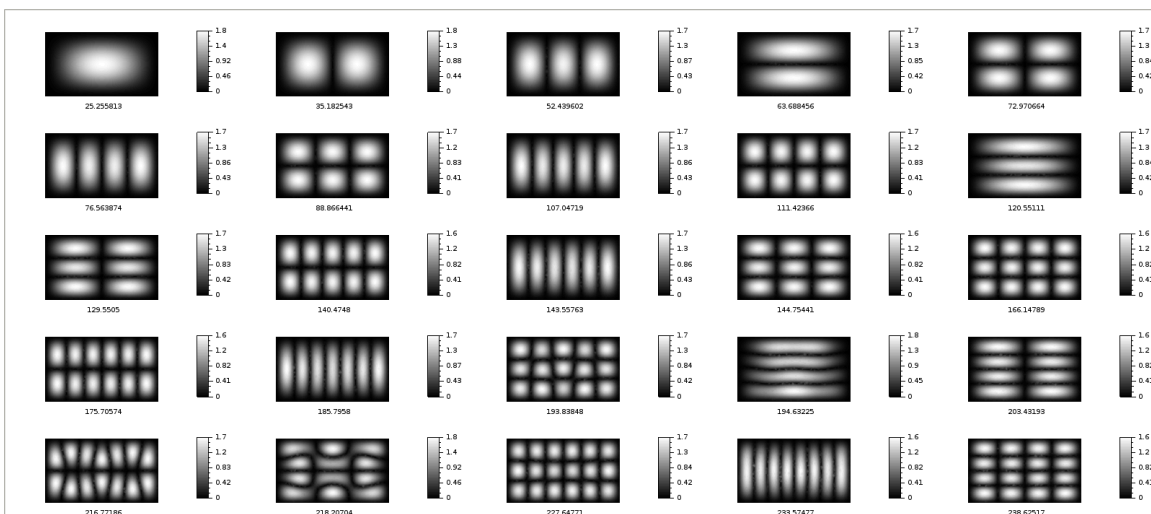


Figura A.7: Placa retangular de dimensão $c \times 1.0$, com $c = 1.750$.

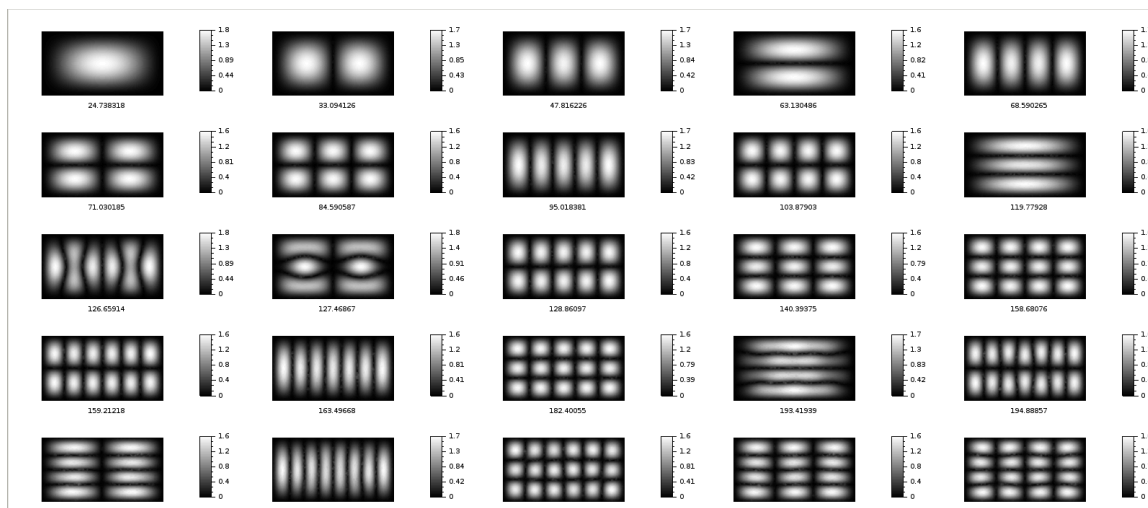


Figura A.8: Placa retangular de dimensão $c \times 1.0$, com $c = 1.875$.

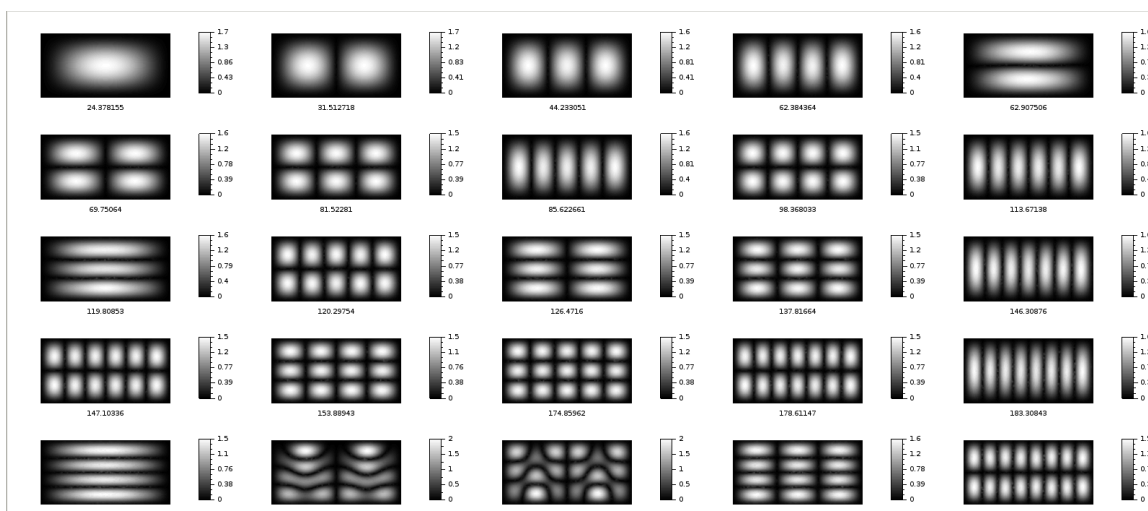


Figura A.9: Placa retangular de dimensão $c \times 1.0$, com $c = 2.0$.

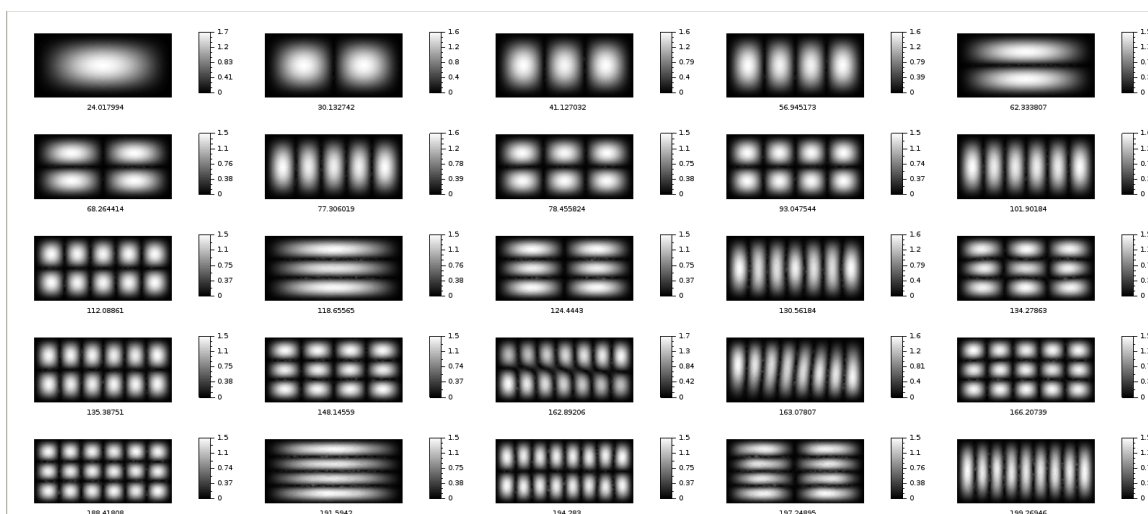


Figura A.10: Placa retangular de dimensão $c \times 1.0$, com $c = 2.125$.

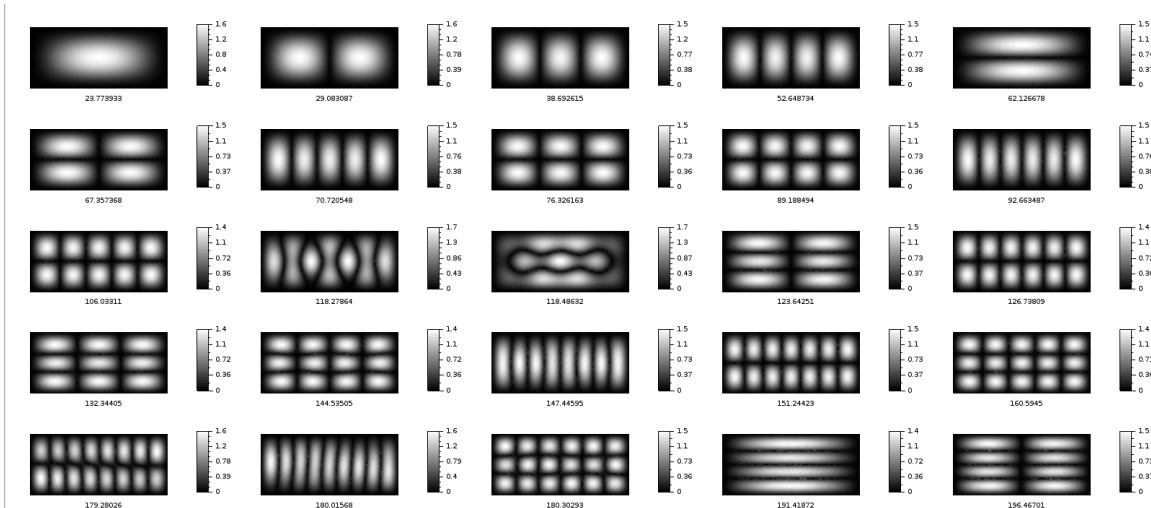


Figura A.11: Placa retangular de dimens~ao $c \times 1.0$, com $c = 2.250$.

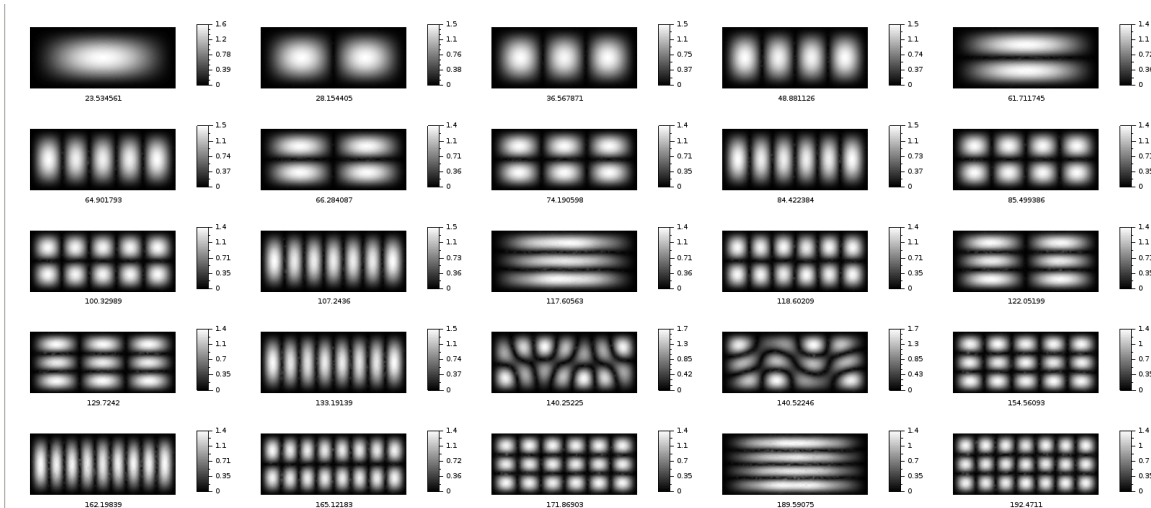


Figura A.12: Placa retangular de dimens~ao $c \times 1.0$, com $c = 2.375$.

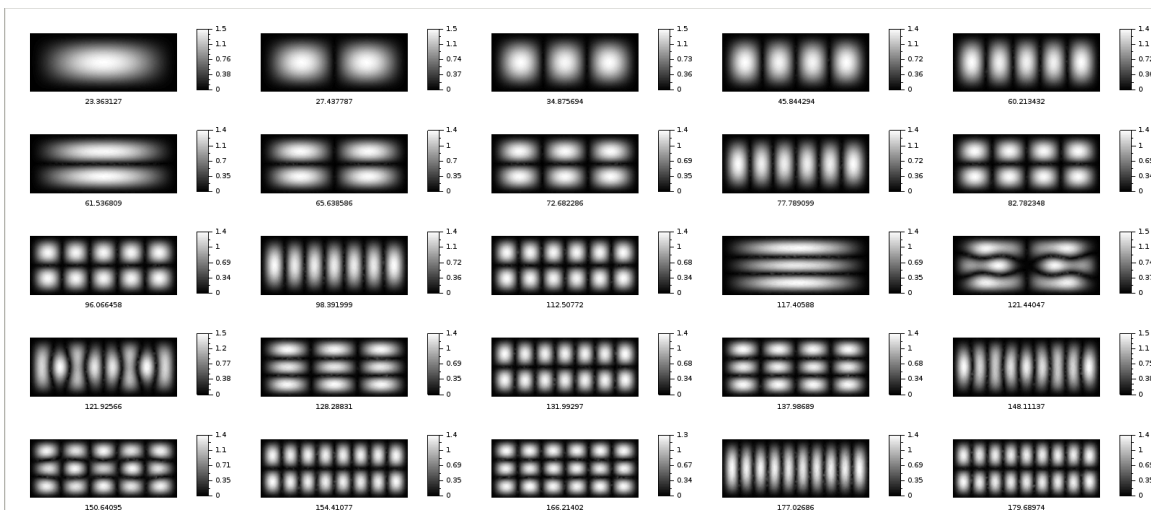


Figura A.13: Placa retangular de dimens~ao $c \times 1.0$, com $c = 2.500$.

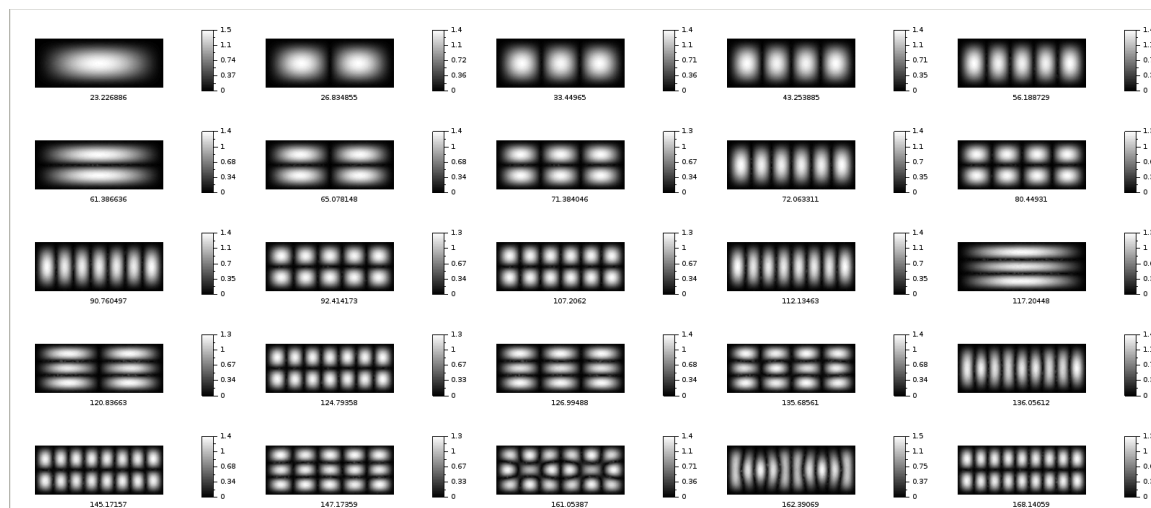


Figura A.14: Placa retangular de dimens~ao $c \times 1.0$, com $c = 2.625$.

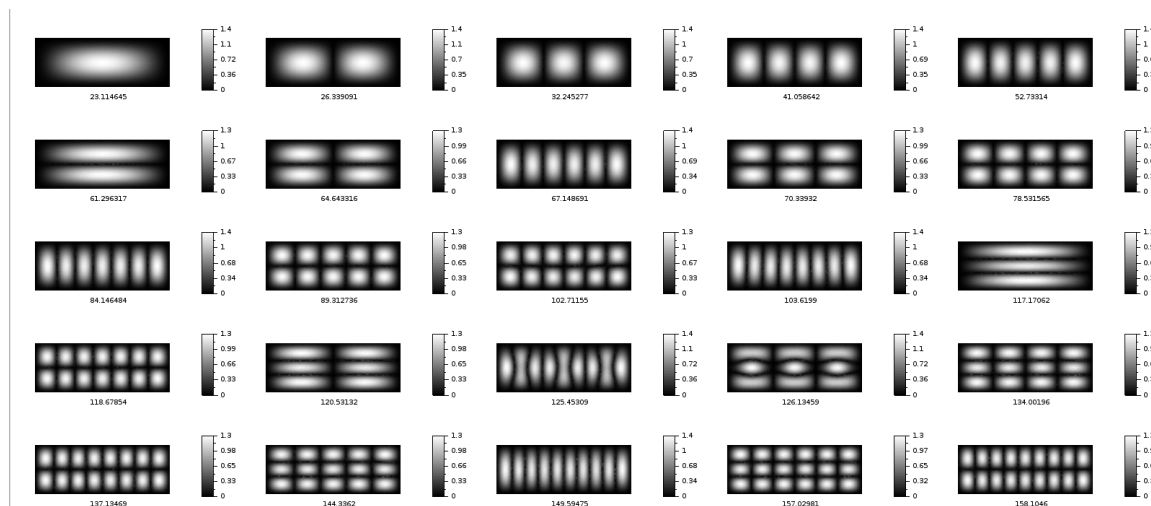


Figura A.15: Placa retangular de dimens~ao $c \times 1.0$, com $c = 2.750$.

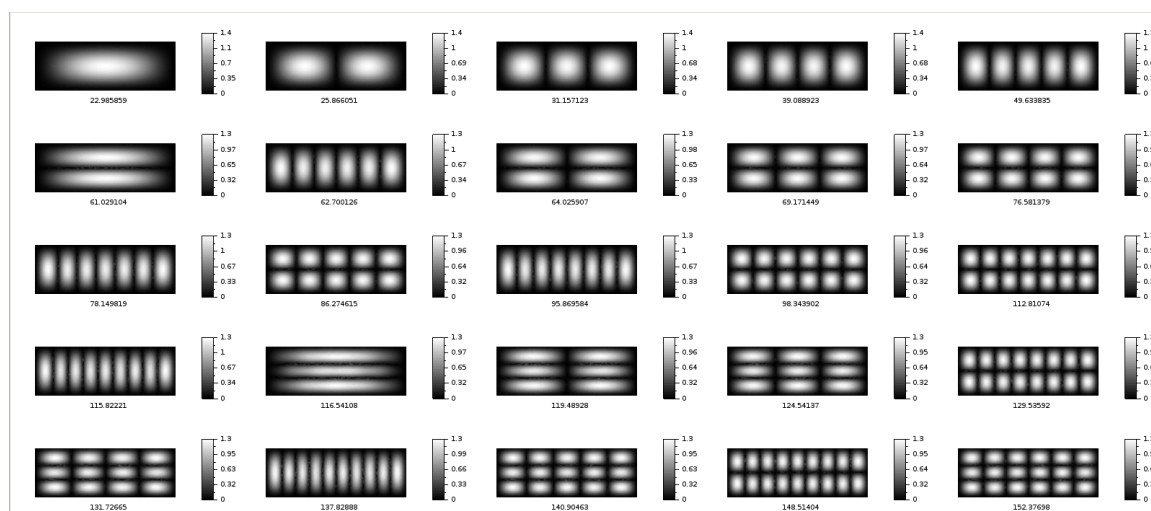


Figura A.16: Placa retangular de dimens~ao $c \times 1.0$, com $c = 2.875$.

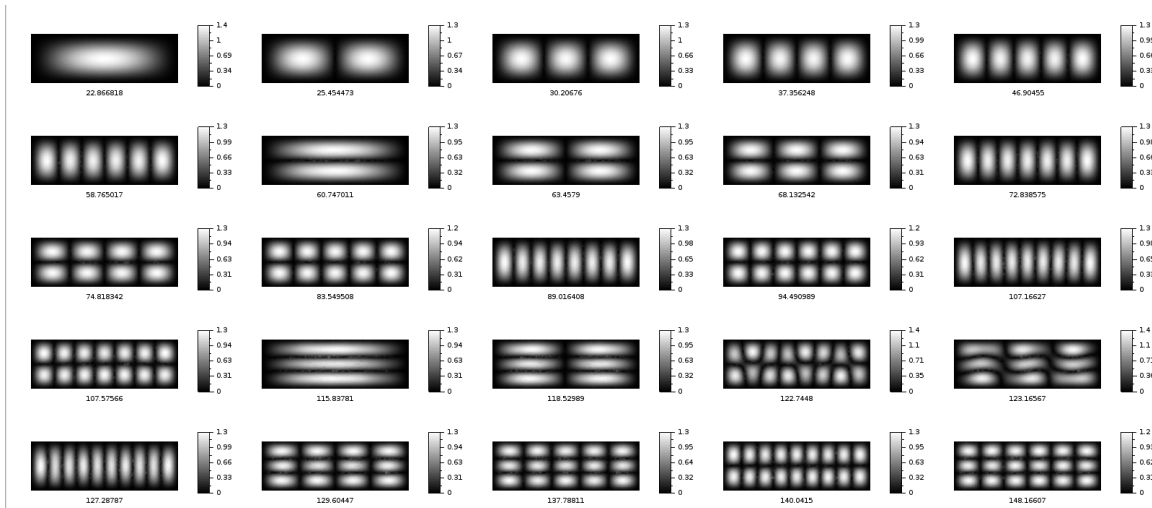


Figura A.17: Placa retangular de dimens~ao $c \times 1.0$, com $c = 3.0$.

Apêndice B

Códigos em Fortran 90

B.1 Formulação quadrática

```

eta.f90
Page 1 of 20
Thu 26 Jan 2017 08:08:32 PM BRST

1 PROGRAM Dani
2
3 !-----
4 ! *.....Elementos Finitos : Elemento triangular não conforme
5 ! quadrático Versão 3 .....**
6
7 ! Este programa calcula a discretização da integral variacional para o
8 ! problema de autovalores do
9 ! biaplaciano e monta um problema de autovalores generalizados. Este
10 ! por sua vez é resolvido pela função
11 ! dsygv do Lapack. Ao final, ele prepara arquivos de leitura para a
12 ! plotagem gráfica pelo Scilab
13
14 ! ALTERAÇÕES NESTA VERSÃO: Estou usando matrizes das integrais P, e as
15 ! matrizes D e E para montagem da matriz de massa
16 ! Na versão anterior a matriz de massa era obtida
17 ! via leitura de arquivo. Código mais
18 ! enxuto
19
20 ! Funcionando Status:
21
22 !
23
24 ! Uses: Subrotinas dstrf e datri do lapack para inverter
25 ! matrizes
26 ! SUBROUTINE dsygv( ITYPE, JOBZ, UPLO, N, A, LDA, B, LDB, W, WORK,
27 ! lwork, info) do Lapack
28 ! para a solução do problema de autovalores
29 ! generalizados
30
31 ! Subrotina 'dqetri' do lapack para inversão de
32 ! matrizes
33
34 !-----
35 Enderecos
36
37 !'/home/danielapm/Documents/Malha/triangle_02/Qua.5.ele'
38 lab
39 !'/home/daniela/Documents/Malha/triangle_02/Quar.1.ele'
40 casa
41 !'/home/posmap/daniela/Documents/Malha/triangle_02/Qua2.1.ele' rede
42 !ME
43 !-----
44
45 Implicit none
46 ! Variáveis da modelagem
47
48 Integer :: nele,nnos,nospe,nedqes ! Numero de elementos
49 triangulares da malha, numero de nós(vértices)
50
51 !da malha, nº de nós por elemento
52 triangular,numero de aresta,
53 respectivamente
54 !Serão lidos nos arquivos .ele , .node e
55 .edge
56
57 - 1 -

```

```

eta.f90
Page 2 of 20
Thu 26 Jan 2017 08:08:32 PM BRST

37
38 Integer, allocatable, dimension (:, :) :: fix, bordo ! vetor que armazena
39 a informação sobre o nós que ficarão fixos e sobre
40 os nós do bordo, respectivamente.
41
42 Integer :: r, dimensao ! dimensão final das matrizes de
43 massa e rigidez,
44 !i.e. depois das condições de
45 contorno serem
46 add.
47
48 Integer :: bordo fixo=1, nn fix !bordo fixo recebe os valores 1 ou 0
49 e indica se o bordo está ou não fixo; !nn fix é a quantidade de nós fixos
50 da malha
51
52 Integer, allocatable, dimension (:, :) :: edge !Matriz que armazenará
53 os pontos iniciais e finais de cada aresta, terá dimensao 3*nedqes
54
55 Double precision, allocatable, dimension (:, :) :: x,y ! Vetores que
56 armazenam as coordenadas (x,y) de cada nó: (x(i), y(i))
57
58 Double precision, allocatable, dimension (:, :) :: normal ! Vetor vai
59 representar a matriz que contém as coordenadas dos vetores normais
60
61 Double Precision, allocatable, dimension (:, :) :: S, M ! Vetores que
62 representam as Matrizes de Rigidez e de Massa.
63
64 Integer :: ierr, dierr ! controle da alocação
65 Integer :: i,j,k ! Contadores
66 Integer :: contabilizou cc
67 Double precision :: tempol,tempo2
68
69 ! Variáveis que a função dsygv necessita
70
71 Double precision, allocatable, dimension (:, :) :: w, work !w é um vetor
72 que receberá os n= r, autovalores
73 Character :: jobz='V', uplo='U'
74 Integer :: info, itype=1, lda, ldb, lwork
75
76 ! Leitura de arquivos .edge, .node e .ele para alocação das variáveis
77
78 !Leitura do arquivo .ele gerado pelo Triangle. Malha com ordem 2
79 Open(40,file='/home/daniela/Documents/Malha/triangle_02/quadrado.5.ele',
80 status='old')
81 Read(40,*) nele, nospe
82 print*, "Cada elemento triangular tem ",nospe,"nós"
83
84 !Leitura do arquivo .node gerado pelo Triangle
85 Open(41, file =
86 '/home/daniela/Documents/Malha/triangle_02/quadrado.5.node', status='old')
87 Read(41,*) nnos
88
89 !Leitura do arquivo .edge gerado pelo Triangle - malha de ordem 2
90 Open(42, file=
91 '/home/daniela/Documents/Malha/triangle_02/quadrado.5.edge', status='old')
92 Read(42,*) nedqes
93
94 dimensao=nnos
95
96 ! Alocação das variáveis alocações
97 allocate (T(7,nele), stat = ierr)
98
99 - 2 -

```

```

eta.f90
Page 3 of 20
Thu 26 Jan 2017 08:08:32 PM BRST

92 allocate (bordo(nnos),fix(nnos), stat = ierr)
93 if (ierr/=0) then
94 print*, "Erro de alocação do variavel bordo"
95 stop
96 end if
97
98 allocate (x(nnos), y(nnos), stat = ierr)
99 if (ierr/=0) then
100 print*, "Erro de alocação das variáveis x e y"
101 stop
102 end if
103
104 allocate (edge(3,nedqes), normal (2,nedqes), stat = ierr)
105 if (ierr/=0) then
106 print*, "Erro de alocação do variavel edge"
107 stop
108 end if
109
110 print*, "nnos, nele, nedqes", nnos, nele, nedqes
111
112 Call Le arquivos(nele, nnos, nospe, nedqes, x, y, bordo, T, bordo fixo,
113 edge)
114
115 !Verifica quantos (nn fix) e quais nós da malha que estão fixos (vetor
116 fix)
117 Call Define_condicoes_contorno(nnos,bordo,bordo_fixo,dimensao, r, fix,
118 nn fix)
119
120 !A partir daqui, o valor de r é conhecido e posso alocar as matrizes S e M
121 allocate (M(r,r), S(r,r), stat = ierr)
122 if (ierr/=0) then
123 print*, "Erro de alocação das variáveis S e M"
124 stop
125 end if
126
127 contabilizou cc = 0
128
129 Call Define vetores normais(nedqes,nnos,edge,normal, x,y)
130
131 ! Monta matrizes de rigidez e massa globais
132 print*, "entrei em monta matriz"
133 Call Monta_matrizes (nele, nnos, nospe,nedqes,edge,normal, x, y, fix, T,
134 nn fix,r, dimensao, S, M, contabilizou cc)
135 print*, "sai de monta matriz"
136
137 !Registra em arquivo as matrizes de Rigidez e de Massa iniciais, pois
138 elas serão modificadas pela função dsygv
139 !Call Escreve_matrizes(r,M,S)
140
141 print*, "Dimensão final das matrizes:",r
142
143 lda=r
144 ldb=r
145 lwork=3*r-1 ! Tentar um valor melhor para lwork. Ver documentação da fc
146 dsygv
147
148 print*, "lwork",lwork
149
150 !---- Alocação das variáveis para dsygv-----
151
152 allocate (w(r), work(lwork), stat = ierr)
153 if (ierr/=0) then
154 print*, "Erro de alocação das variáveis w e work"
155 stop
156
157 - 3 -

```

```

eta.f90
Page 4 of 20
Thu 26 Jan 2017 08:08:32 PM BRST

154 print*, "entrei em DSyGV - resolvendo o autovalor generalizado"
155
156 Call dsygv (itype, jobz, uplo, r, S, lda, M, ldb, w, work, lwork, info)
157 if (info .eq. 0) then
158 print*, "info=",info, "Sucesso na resolução do problema de autovalor
159 generalizado" ! Controle da função dsygv: info=0 indica sucesso nos
160 calculos
161 end if
162
163 ! Impressão dos autovalores e autovetores em arquivo
164 Call Imprime_autovetores(r,w,S)
165 print*, "Sai de imprime autovetores"
166
167 ! Prepara arquivos para o scilab
168 print*, "entrei em dados plotagem"
169 Call Dados_plotagem(nedqes,nnos,nele,x,y,S,w,T,r,fix)
170 print*, "acabei!"
171
172 END PROGRAM Dani
173
174 !-----Subrotinas-----
175 !-----LEITURA DE
176 ARQUIVOS-----
177
178 Subroutine Le_arquivos (nele, nnos, nospe, nedqes, x, y, bordo, T,
179 bordo_fixo, edge)
180
181 Implicit none
182 Integer, intent(in) :: nele, nnos, nospe, bordo_fixo, nedqes
183 Integer, intent(out) :: T(7,nele) ! T é matriz
184 (nospe+1)x(nele) que na coluna 1 guarda o numero
185 do triangulo i, e seus vertices
186 (i 1, i 2, i 3, i 4, i 5, i 6),
187 !nas linhas seguintes, segundo a
188 numeração global da malha
189
190 Integer, intent(out) :: bordo(nnos) ! Esses inteiros recebem
191 valores 0 ou 1 e marcam os vertices que estão no bordo
192
193 Double precision, intent(out) :: x(nnos), y(nnos)
194 !double precision, dimension (36) :: S2 ! matriz simetrica cte
195 da integral 2
196
197 Integer, intent(out) :: edge(3,nedqes) ! matriz que guarda os
198 pontos final e inicial das arestas da malha
199
200 ! Variáveis locais
201 Integer :: i,j,k
202 Double precision :: c,b
203
204 ! Leitura do arquivo .ele gerado pelo Triangle. Malha com ordem 2
205 Do i=1,nele
206 Read(40,*) T(1,j),T(2,j),T(3,j),T(4,j),T(5,j),T(6,j),T(7,j)
207 End do
208 Close(40)
209
210 !Leitura do arquivo .node gerado pelo Triangle
211
212 Do j=1, nnos
213 Read(41,*) c, x(i), y(i), b, bordo(i) ! a malha quadrado e
214 tri escaleno têm 5 parametros pra serem lidos.
215 End Do
216
217 - 4 -

```

```

eta.f90
Page 5 of 20
Thu 26 Jan 2017 08:08:32 PM BRST

209
210 Do i=1, nedges
211 Read(42,*) edge(1,i),edge(2,i),edge(3,i)
212 end do
213 Close(42)
214
215
216 End subroutine Le_arquivos
217
218 !-----DEFINIÇÃO DOS VETORES
219 NORMAIS
220
221 Subroutine Define vetores normais(nedges,nnos,edge,normal, x,v)
222
223 Implicit none
224 Integer, intent(in) :: nedges, nnos
225 Integer, intent(in) :: edge(3,nedges)
226 Double precision, intent(out) :: normal(2,nedges) ! matriz de vetores
227 normais. Cada coluna i tem as coordenadas do i-ésimo vetor normal:
228 (normal(1,i),normal(2,i))
229 Double precision,intent(in) :: x(nnos),v(nnos)
230
231 !Variáveis locais
232
233 Integer :: i,i,k
234 Double precision :: normal unitaria(2,nedges), norma(nedges)
235
236 Do i=1,nedges
237 !A aresta i tem pto inicial edge(2,i) e pto final edge(3,i), segundo a
238 informação que o arquivo .edge fornece
239 !As coordenadas desses pontos são [x(edge(2,i)); y(edge(2,i))] e
240 [x(edge(3,i)); y(edge(3,i))]
241 !As coordenadas dos vetores normais sao definidas pela rotacao da
242 aresta i, por um angulo de 90 graus no sentido anti-horário
243 !print*,edge(2,i),edge(3,i)
244 !print*,edge(2,i),edge(3,i)
245 if(edge(2,i) .LT. edge(3,i)) then
246 normal(1,i)=(y(edge(3,i))-y(edge(2,i)))
247 normal(2,i)=x(edge(3,i))-x(edge(2,i))
248 end if
249 if (edge(2,i) .GT. edge(3,i)) then
250 normal(1,i)=(y(edge(2,i))-y(edge(3,i)))
251 normal(2,i)=x(edge(2,i))-x(edge(3,i))
252 end if
253 End do
254 ! tornando a normal unitária
255 Do i=1,nedges
256 norma(i) = sqrt(normal(1,i)**2 + normal(2,i)**2)
257 normal unitaria(1,i)=normal(1,i)/norma(i)
258 normal unitaria(2,i)=normal(2,i)/norma(i)
259
260 normal(1,i) = normal unitaria(1,i)
261 normal(2,i) = normal unitaria(2,i)
262 End do
263 End Subroutine Define vetores normais
264
265 !-----DEFINIÇÃO DAS CONDIÇÕES DE
266 CONTORNO

```

- 5 -

```

eta.f90
Page 6 of 20
Thu 26 Jan 2017 08:08:32 PM BRST

267 enquanto, define quais vertice da malha permanecerão fixos.
268
269 Subroutine Define condicoes contorno(nnos,bordo,bordo fixo,dimensao, r, fix
270 ,nn_fix)
271
272 Integer, intent(in) :: nnos, bordo(nnos), bordo fixo, dimensao
273 Integer, intent(out) :: fix(nnos),r,nn_fix
274
275 !Variáveis locais
276 Integer :: i,j
277
278 If (bordo fixo.eq.1) then
279 print*, "BORDO FIXO!"
280 Do i=1,nnos
281 fix(i)=bordo(i) ! Condição de bordo fixo.
282 End do
283 End if
284
285 nn_fix=0
286
287 !Laco no numero de nós da malha. Verificação da quantidade dos que estão
288 fixos.
289 Do i=1,nnos
290 if ((fix(i).eq.1) ) then ! se o vertice i esta fixo,
291 nn_fix=nn_fix+1
292 end if
293 End do
294
295 r=dimensao-nn_fix ! dimensao das matrizes S e M globais, após
296 contabilizar as condições de contorno.
297 print*, "nn_fix,dimensao, r",nn_fix,dimensao,r
298
299 End Subroutine Define condicoes contorno
300
301 !-----MONTAGEM DAS MATRIZES DE MASSA E RIGIDEZ
302 GLOBAIS
303
304 Subroutine Monta matrizes(nele, nnos, nospe,nedges,edge,normal, x, v, fix, T
305 , nn_fix,r, dimensao, S, M, contabilizou cc)
306
307 Implicit none
308 Integer, intent(in) :: nele, nnos, nospe,r, nedges, nn_fix, dimensao
309 Integer, intent(in) :: T(7,nele), fix(nnos), edge(3,nedges)
310 Double precision, intent(in) :: x(nnos), v(nnos), normal(2,nedges)
311
312 Double precision,intent(out) :: S(r,r), M(r,r)
313 Integer, intent(out) :: contabilizou cc
314
315 ! Variáveis locais
316
317 Double Precision :: a(3),b(3),ji ! a e b são vetores que contem as
318 coordenadas do vetor normal n=(a,b)
319 Double precision, allocatable, dimension (:,:) :: S, M ! matrizes
320 auxiliares para a montagem de M e S
321 Integer, allocatable, dimension (:,:) :: vi ! Vetor auxiliar que guarda
322 os vertices do i-ésimo triângulo ! segundo a numeração
323 global da malha
324
325 Integer i,j,k,l,ierr, n_i(3)

```

- 6 -

```

eta.f90
Page 7 of 20
Thu 26 Jan 2017 08:08:32 PM BRST

324 Integer :: pot(6,2)
325
326
327 allocate(S (1:dimensao,1:dimensao), M (1:dimensao,1:dimensao), vi(1:nospe),
328 stat=ierr)
329 if(ierr/=0) then
330 print*, "Erro na alocação das variáveis M,S, e vi"
331 stop
332 end if
333
334 !Montagem da matriz pot (potencias de x e y)
335 Do k=1,2
336 Do j=0,2 ! 2 é grau da aproximação
337 Do i=0,2
338 pot(k,i)=i-i
339 pot(k,2)=1
340 k=k+1
341 End do
342 End do
343
344 ! Inicialização de S e M com zero
345 Do i=1,nnos
346 S (i,:) = 0.000
347 M (i,:) = 0.000
348 End do
349
350 Call Monta_matriz_P(P,pot,2,6)
351
352
353 Do i=1,nele !-----Laco no número de
354 triângulos
355
356 Do i=1,nospe
357 vi(i)=T(i+1,i) ! Os vertices do triângulo i são: T(2,i), T(3,i),
358 T(4,i), T(5,i), T(6,i) e T(7,i)
359 End do
360
361 Ji=((x(vi(2))-x(vi(1)))*(v(vi(3))-v(vi(1)))- (x(vi(3))-x(vi(1)))*(v(vi(2)
362 ))-v(vi(1)))
363
364 !-----Definição da matriz de vetores normais locais n
365
366 !Vamos estabelecer uma numeração local para os vetores normais globais
367 cada elemento triangular i tem 3 vetores normais: n i(j), j=1,2,3
368
369 j=1
370 Do while (i.LE.nedges)
371 if( ((vi(1) .eq. edge(2,j)) .and. (vi(2) .eq. edge(3,j))) .or. ((vi(2)
372 ) .eq. edge(2,j)) .and. (vi(1) .eq. edge(3,j))) then
373 n i(3)= ! n i(3) é vetor oposto ao vertice 3 e é o i-ésimo vetor
374 normal da tabela normal
375 i=nedges+1
376 else
377 i=i+1
378 end if
379 End do
380
381 j=1
382 Do while (i.LE.nedges)
383 if( ((vi(2) .eq. edge(2,j)) .and. (vi(3) .eq. edge(3,i))) .or. ((vi(3)
384 ) .eq. edge(2,j)) .and. (vi(2) .eq. edge(3,i))) then
385 n i(1)= ! n i(1) é vetor oposto ao vertice 1 e é o i-ésimo
386 vetor normal da tabela normal
387 j=nedges+1

```

- 7 -

```

388
389 end if
390 End do
391
392 j=1
393 Do while (i.LE.nedges)
394 if( ((vi(1) .eq. edge(2,i)) .and. (vi(3) .eq. edge(3,i))) .or. ((vi(3)
395 ) .eq. edge(2,j)) .and. (vi(1) .eq. edge(3,j))) then
396 n i(2)= ! n i(2) é vetor oposto ao vertice 2 e é o i-ésimo vetor
397 normal da tabela normal
398 j=nedges+1
399 else
400 i=i+1
401 end if
402 End do
403
404 Do j=1,3
405 a(j)=normal(1,n_i(j))
406 b(j)=normal(2,n_i(j))
407 End do
408
409 ! ----- Montagem da matriz C, que relaciona as variáveis nodais com os
410 parametros da aproximação. Um="alfa ...!"
411 Call Monta_matriz_C (C,x,y,vi,nnos,nospe,a,b,i)
412 Call Monta_matriz_D (D,x,y,vi,nospe,nnos,2,6,i)
413 Call Monta_matriz_E (E,x,y,vi,nospe,nnos,2,6,pot)
414 Call Monta_matriz_Si (Si,C,Si,Sigma, x,y,vi,nnos,nospe)
415 Call Monta_matriz_Mi (Mi,D,E,C,P,ji)
416
417
418 !----- Monta matrizes de rigidez e massa globais S e M
419
420 ! Para cada triângulo i, as matrizes recebem nas posições (vi(k), vi(l))
421 ! a componente (k,l) das matrizes Si e Mi
422
423 Do l=1,nospe
424 Do k=1, nospe
425 !print*, "posições nao nulas da matriz de massa:",vi(l),vi(k)
426 S (vi(k),vi(l)) = S (vi(k),vi(l)) + Si(k,l)
427 M (vi(k),vi(l)) = M (vi(k),vi(l)) + Mi(k,l)
428 End do
429 End do
430
431 !----- FIM DO LACO NO NUMERO DE
432 TRIÂNGULOS
433
434 Call Contabiliza condicoes de contorno (S ,fix,nnos,contabilizou cc,r)
435 print*, "Contou com condições de contorno?",contabilizou cc
436
437 Call Redimensiona matrizes(dimensao,r,M,S,M ,S )
438
439 CONTAINS
440 Double Precision Function Det (A,n)
441
442 implicit none
443 integer :: n ! n é a dimensao da matriz A
444 double precision, dimension (n,n) :: A
445
446 ! Variáveis locais
447
448 integer :: lda
449 integer, dimension( n ) :: ipiv
450 integer :: info, i

```

- 8 -

```

eta.f90
Page 9 of 20
Thu 26 Jan 2017 08:08:32 PM BRST

441 double precision :: determinante
442 determinante=1.000
443 lda=n
444
445 ! Decomposição LU da matriz A
446 Call dgetrf (n,n,A,lda,ipiv,info)
447
448 if (info /= 0) then
449 stop "Matriz é numericamente singular! Decomposição LU não é unica"
450 end if
451
452 ! Cálculo do determinante de A:
453 do i=1,n
454 determinante=determinante*A(i,i)
455 end do
456 Det=determinante
457
458 End function Det
459
460 End Subroutine Monta matrizes
461
462 Subroutine Monta matriz Mi (Mi,D,E,C,P, Ji)
463
464 Implicit none
465 Double precision, intent(in) :: Ji, D(6,6), E(6,6), C(6,6), P(6,6)
466 Double precision, intent(out) :: Mi(6,6)
467
468 ! Variáveis locais
469 Integer :: i,k,l
470 Double precision :: F(6,6), Aux in(6,6), Aux out(6,6)
471
472 Aux in(1:6,1:6)=P(1:6,1:6)
473 F=matmul(D,E)
474
475 Call Calcula matriz semelhante(F,6,6,Aux in,6,6,Aux out)
476 !Aux out=F^T*Aux in*F
477
478 Aux in(1:6,1:6)=Aux out(1:6,1:6)
479
480 Call Calcula matriz semelhante(C,6,6,Aux in,6,6,Aux out)
481 !Aux out=C^T*Aux in*C
482
483 Mi=Ji*0.500*(Aux out+transpose(Aux out))
484
485 ! Teste de simetria de Mi
486 Do k=1,6
487 if (Mi(k,l).ne.Mi(k,l)) Print*, "Matriz Mi não é simétrica. Erro no elemento Mi", k,l
488 End do
489
490 End do
491
492 End Subroutine Monta_matriz_Mi
493
494 Subroutine Monta matriz Si (Ji,C,Si,sigma, x,v,vi,nnos,nospe)
495
496 Implicit none
497 Double precision, intent(out) :: Si(6,6)
498 Double precision, intent(in) :: Ji, sigma
499 Double precision, intent(in) :: x(nnos), y(nnos), C(6,6)
500 Integer, intent(in) :: nnos, nospe, vi(nospe)
501
502

```

- 9 -

```

eta.f90
Page 10 of 20
Thu 26 Jan 2017 08:08:32 PM BRST

505 Integer :: i,j,k,l
506 Double Precision, dimension (1,6) :: Dxx,Dyy,Dxy ! ! Matrizes do operador
507 Double Precision, dimension (6,6) :: A,Aux_out,B,G,I_1,I_2,I_3,I_4
508 Double Precision, dimension (1,1) :: P
509 Double Precision, dimension (1,1) :: Aux in
510
511 P(1,1)=0.500
512
513 !Definição de Dxx, Dyy e Dxy, as matrizes de derivação
514 Dxx(1:1,1:6)=0.000
515 Dyy(1:1,1:6)=0.000
516 Dxy(1:1,1:6)=0.000
517
518 Dxx(1,4)=2.000
519 Dxy(1,5)=1.000
520 Dyy(1,5)=2.000
521
522 Aux in=P ! P é de dim 1
523
524 ! Matriz da forma quadratica da Integral do quadrado de wxx
525 Call Calcula matriz semelhante(Dxx,1,6,Aux in,1,Dxx,1,6,I_1)
526 !I_1=Dxx^T*Aux in*Dxx
527
528 ! Matriz da forma quadratica da Integral do quadrado de wvy
529 Call Calcula matriz semelhante(Dyy,1,6,Aux in,1,Dyy,1,6,I_2)
530 !I_2=Dxx^T*Aux in*Dxx
531
532 !Matriz da forma quadratica da Integral do quadrado de wxy
533 Call Calcula matriz semelhante(Dxy,1,6,Aux in,1,Dxy,1,6,I_3)
534 !I_3=Dxx^T*Aux in*Dxx
535
536 !Call Calcula matriz semelhante(C,6,6,A,6,C,6,6,Aux out) !Aux out=C^T*A*C
537 !I_3=0.500*(transpose(Aux out)+Aux out)
538
539 ! Matriz da forma bilinear da Integral do quadrado de wvy*wxx
540 !Para ser simetrica, ela deve ser montada considerando a soma
541 (Dxx^T)*P*Dyy + (Dyy^T)*P*Dxx
542
543 Call Calcula matriz semelhante(Dxx,1,6,Aux in,1,Dyy,1,6,A)
544 !A=Dxx^T*Aux in*Dyy
545 Call Calcula matriz semelhante(Dyy,1,6,Aux in,1,Dxx,1,6,B)
546 !B=Dyy^T*Aux in*Dxx
547 I_4=0.500*(A+B)
548
549 !Call Calcula matriz semelhante(C,6,6,G,6,C,6,6,Aux out) !Aux out=C^T*G*C
550 !I_4=0.500*(transpose(G)+G)
551 !I_4=G
552
553 G=(I_1+I_2+2*0.000*(1.D0-sigma)*I_3+2*0.00*sigma*I_4)
554
555 Call Calcula matriz semelhante(C,6,6,G,6,C,6,6,Aux out) !Aux out=C^T*Aux*C
556 !Si=Ji*0.500*(transpose(Aux out)+Aux out) ! simetrização. sem ela S
557 global ficou assimetrica..
558 !Si=Ji*Aux out
559
560 ! Teste de simetria de Si
561 Do k=1,6
562 if (Si(k,l).ne.Si(k,l)) Print*, "Matriz Si não é simétrica. Erro no elemento Si", k,l
563 End do

```

- 10 -

```

eta.f90
Page 11 of 20
Thu 26 Jan 2017 08:08:32 PM BRST

566 Implicit none
567 Integer, intent(out) :: P(n,n)
568 Integer, intent(in) :: pot (6,2)
569 Integer, intent(in) :: grau_ aproxim
570
571 ! Variáveis locais
572 Integer :: n,k,i,j
573 Double precision :: numerador,denominador !
574 !var auxiliares, pois Fat é fc inteira, o quociente tava dando um num
575 inteiro.
576 !n é a dimensao de P, e depende do grau do polinomio que sera integrado.
577 !n=21 se grau_ aproxim =5
578 !n=10 se grau_ aproxim =3
579 !Essas sao as duas possibilidades nesse programa
580
581 j=(grau_ aproxim+2)*(grau_ aproxim+1)/2 ! soma de +n1 elementos da p.a. de
582 razao 1, cujo 1º elemento é 1.
583 Do k=1,j
584 Do i=1,j
585 numerador=(Fat(pot(k,1)+pot(i,1)))*(Fat(pot(k,2)+pot(i,2)))
586 denominador=(Fat(pot(k,1)+pot(i,1))+pot(k,2)+pot(i,2)+2)
587 P(k,i)=numerador/denominador ! Divisão entre dois numeros reais
588 End do
589 End do
590
591 CONTAINS
592 Integer Function Fat(n) !Função que calcula o fatorial de um
593 numero inteiro >= 0
594
595 Implicit none
596 Integer, intent (in) :: n
597 Integer :: produto, i
598
599 produto=1
600 Do i=1,n
601 produto=produto*i
602 End do
603 Fat=produto
604
605 End Function Fat
606
607 End Subroutine Monta matriz P
608
609 Subroutine Monta matriz D (D,x,y,vi,nospe,nnos,grau_ aproxim,n,i)
610
611 !Montagem da matriz D, que relaciona os parametros alfa's com os
612 parametros alfa's
613 ! Open (101,
614 file="/home/posmap/daniela/Documents/fortran/Teste naoconforme D.txt",
615 status='old')
616
617 Implicit none
618 Double precision, intent(out) :: D(n,n)
619 Double precision, intent(in) :: x(nnos), y(nnos)
620 Integer, intent(in) :: i,vi(nospe)
621 Integer, intent(in) :: nospe,nnos, n, grau_ aproxim
622
623 ! Variáveis locais
624 Integer :: i,p,l,m, inicio bloco
625 Double precision :: soma,formula,produto,determinante
626 Double precision :: x_(1:3), y_(1:3)

```

- 11 -

```

eta.f90
Page 12 of 20
Thu 26 Jan 2017 08:08:32 PM BRST

628 x_(3)=x(vi(3))-x(vi(1))
629 x_(2)=x(vi(2))-x(vi(1))
630 v_(3)=y(vi(3))-y(vi(1))
631 y_(2)=y(vi(2))-y(vi(1))
632
633 Do j=0,grau_ aproxim
634 inicio_bloco=1+(j*(j+1))/2
635 Do p=0,j
636 Do l=0,j
637 soma=0.000
638 Do m=0,l
639 ! Queremos calcular
640 (Binomial(i-p,l-m))*(Binomial(p,m))*(x(vi(3))**(l-m))*(x(vi(2))**(
641 j+m-l-p))*(y(vi(3))**(m))*(y(vi(2))**(p-m))
642 !mas vamos separar esses fatores para facilitar
643 produto=Binomial(i-p,l-m)*Binomial(p,m)
644 if (produto .eq. 0.000) then !se produto é zero, a formula é
645 negativos,para os quais !não podemos calcular as
646 pontencias dos xi's
647 formula=0.000
648 else ! i.e. se os fatores do produto forem ambos nao nulos, não
649 teremos expoentes negativos
650 formula=produto*((x_(3))**(l-m))*(x_(2))**(j+m-l-p)*(y_(3))**(m)*(
651 y_(2))**(p-m) )
652 end if
653
654 if (isnan(formula)) then ! Verificar a ocorrencia de NaN
655 print*, "expoentes negativos para ",i-p,l,m,"e",p,m
656 end if
657 soma=soma+formula
658 End do
659 D(inicio_bloco+1, inicio_bloco+p)=soma
660 End do
661 End do
662
663 CONTAINS
664 Integer Function Fat(n) !Função que calcula o fatorial de um
665 numero inteiro >= 0
666
667 Implicit none
668 Integer, intent (in) :: n
669 Integer :: produto, i
670
671 produto=1
672 Do i=1,n
673 produto=produto*i
674 End do
675 Fat=produto
676
677 End Function Fat
678
679 Integer Function Binomial(n,p)
680 ! Função que retorna o coeficiente binomial de dois inteiros quaisquer.
681 !Combinação de n, de p a p. Se p>n, binomial = 0. n e p devem ser nao
682 negativos!
683

```

- 12 -


```
687 Integer :: bin
688
689 if (p.GT.n) then ! se p>n, então o binomial é zero
690   bin= 0
691 else
692   bin=Fat(n)/(Fat(p) * Fat(n-p))
693 end if
694 Binomial=bin
695
696 End function Binomial
697
698 Double precision Function Det (A,n)
699
700 Implicit none
701 Integer :: n ! n é a dimensao da matriz A
702 Double precision, dimension (n,n) :: A
703
704 ! Variáveis locais
705
706 Integer :: lda
707 Integer, dimension (n) :: ipiv
708 Integer :: info, i
709 Double precision :: determinante
710
711 determinante=1.0D0
712 lda=n
713
714 ! Decomposição LU da matriz A
715 Call dgetrf (n,n,A,lda,ipiv,info)
716
717 if (info /= 0) then
718   stop 'Matriz é numericamente singular! Decomposição LU não é unica'
719 end if
720
721 ! Calculo do determinante de A:
722 Do i=1,n
723   determinante=determinante*A(i,i)
724 End do
725 Det=determinante
726
727 End function Det
728
729 End Subroutine Monta_matriz_D
730
731 Subroutine Monta_matriz_E (E,x,y,vi,nospe,nnos,grau_aprox,n,pot)
732
733 Implicit none
734 Double precision, intent(out) :: E(n,n)
735 Double precision, intent(in) :: x(nnos),y(nnos)
736 Integer, intent(in) :: vi(nospe), pot(6,2)
737 Integer, intent(in) :: nnos, nospe, n, grau_aprox
738
739 ! Variáveis locais
740 Integer :: i,k
741
742 E=0.0D0
743 !Diagonal de E vale 1.0
744 Do j=1,n
745   E(j,j)=1.0D0
746 End do
747
748 ! Linha l da matriz tem o polinomio de grau 2 nas variaveis xl,vl
749 Do k=1,6
750   E(1,k)=(x(vi(1))*pot(k,1))*y(vi(1))*pot(k,2)
751
```

```
752 End do
753
754 !Demais linhas, acima da diagonal principal:
755
756 !"Bloco grau 1"
757 E(2,4)=2.0D0*x(vi(1))
758 E(2,5)=v(vi(1))
759
760 E(3,5)=x(vi(1))
761 E(3,6)=2.0D0*y(vi(1))
762
763 CONTAINS
764
765 Double precision Function Det (A,n)
766
767 Implicit none
768 Integer :: n ! n é a dimensao da matriz A
769 Double precision, dimension (n,n) :: A
770
771 ! Variáveis locais
772
773 Integer :: lda
774 Integer, dimension (n) :: ipiv
775 Integer :: info, i
776 Double precision :: determinante
777
778 determinante=1.0D0
779 lda=n
780
781 ! Decomposição LU da matriz A
782 Call dgetrf (n,n,A,lda,ipiv,info)
783
784 if (info /= 0) then
785   stop 'Matriz é numericamente singular! Decomposição LU não é unica'
786 end if
787
788 ! Calculo do determinante de A:
789 Do i=1,n
790   determinante=determinante*A(i,i)
791 End do
792 Det=determinante
793
794 End function Det
795
796 End Subroutine Monta_matriz_E
797
798 Subroutine Monta_matriz_C (C,x,y,vi,nnos,nospe,a,b,k)
799
800 Implicit none
801 Integer, intent(in) :: nnos, nospe, k, vi(nospe)
802 Double precision, intent(in) :: a(3),b(3), x(nnos),y(nnos)
803 Double precision, intent(out) :: C(6,6)
804
805 !Variáveis locais
806 Integer :: i,j
807 Double precision :: C (6,6)
808 C (1:6,1:6)=0.0D0
809
810 Do i=1,3
811   C (i,1)=1.0D0
812   C (i+3,1)=0.0D0
813   C (i,2)=x(vi(i))
814   C (i+3,2)=a(i)
815 End do
816
```

```
817 C (j,3)=y(vi(j))
818 C (j,4)=b(i)
819 C (i,4)=x(vi(i))*x(vi(i))
820 C (j+3,4)=2*a(j)*x(vi(j+3))
821 C (i,3)=x(vi(i))*y(vi(i))
822 C (i,3,5)= a(i)*y(vi(i+3))+b(i)*x(vi(i+3))
823 C (j,6)=y(vi(j))*y(vi(j))
824 C (i+3,6)=2*b(i)*y(vi(i+3))
825
826 End do
827
828 ! inversao da matriz C
829 Call Inverte_matriz (C ,C,6,i)
830
831 End Subroutine Monta_matriz_C
832
833 !-----CONTABILIZAR NA MONTAGEM DAS MATRIZES AS CONDICÖES DE
834 !CONTORNO-----!
835
836 Subroutine Contabiliza_condicoes_de_contorno (S ,M ,fix,nnos,
837 contabilizou_cc,r)
838
839 Implicit none
840 Integer, intent(in) :: nnos, fix(nnos),r
841 Integer, intent(out) :: contabilizou_cc
842 Double precision, intent(inout) :: M (nnos,nnos), S (nnos,nnos)
843
844 !Variáveis locais
845 Integer :: i,l
846
847 ! Utilizando a info dos vértices que estão fixos na montagem das
848 !matrizes: As linhas e colunas relativas aos vértices que estão
849 !fixos são deletadas, uma vez que o valor da função nesses pontos já é
850 !conhecido
851 print*,"Contabilizando as condicoes de contorno"
852
853 ! Laco no numero de nós. Verificacao dos vértices que estão fixos
854 Do i=nnos,1,-1
855   if ((fix(i).eq. 1) .and. (i.ne.nnos)) then ! se o vertice i esta fixo
856     ! e se este não corresponde a
857     ! ultima linha, então
858     ! deslocamos as linhas e as
859     ! colunas da matriz para
860     ! cima e para a esquerda
861
862     Do i=1,nnos-1
863       S (j,:)=S (j+1,:)
864       M (i,:)=M (i+1,:)
865       M (:,j)=M (:,j+1)
866     End do
867   end if
868 End do
869 contabilizou_cc=1
870
871 End Subroutine Contabiliza_condicoes_de_contorno
872
873 !-----Redimensiona matrizes-----
874 Subroutine Redimensiona_matrizes(dimensao,r,M,S,M_-,S)
875
876 Implicit none
877 Integer, intent(in) :: r, dimensao
878 Double precision, intent (in) :: M (dimensao,dimensao),S (dimensao,dimensao)
879 Double precision, intent(out) :: M(r,r),S(r,r)
```

```
877
878 Do i=1,r
879   Do i=1,r
880     S(i,j)=S (i,j)
881     M(i,j)=M (i,j)
882   End do
883 End do
884
885 ! Teste de simetria das matrizes de massa e rigidez
886 Do i=1,r
887   Do j=1,r
888     if (S(i,j).ne.S(j,i)) Print*,"Matriz S não é simetrica. Erro no
889     elemento S", i, j
890     if (M(i,j).ne.M(j,i)) Print*,"Matriz M não é simetrica.",M(i,j),"e
891     diferente de",M(j,i)
892   End do
893 End do
894
895 End subroutine Redimensiona matrizes
896
897 !-----
898 Subroutine Inverte_matriz (A,invA,n,k)
899
900 !Essa subrotina inverte a matriz A e devolve sua inversa na matria invA
901
902 Implicit none
903 Integer, intent(in):: n,k !k indica o k-esimo triangulo. NO caso de
904 problemas, quero saber em qual triangulo ele aconteceu.
905 Double precision,intent(in) :: A (n,n)
906 Double precision,intent(out) :: invA (n,n)
907
908 ! Variáveis locais
909 Integer :: m, lda, lwork
910 Double precision, dimension (n) :: work
911 Double precision, dimension (n, n) :: B, C1,C2, I , D1, D2 ! matriz que
912 será fatorizada A= PLU
913 Double precision :: normal,norma2, soma1 (6), soma2(6) ! a norma
914 de matriz que será utilizada é a norma do sup
915 Integer, dimension (n) :: ipiv
916 Integer :: info1,info2,i,l ! inseri nova variavel info2, para que elas
917 nao se confundam nas chamadas dessas duas funções.
918
919 m=n
920 lda=n
921 lwork =n
922 B=A
923
924 ! Matriz Identidade
925 I=0.0D0
926
927 Do j=1,6
928   I(j,j)=1.0D0
929 End do
930
931 Call dgetrf(m,n,B,lda,ipiv,info1) ! Computa a fatorização LU da matriz B=A
932
933 if (info1 .ne. 0) then
934   print*,"Função inverte_matriz. Fatorização LU comprometida no
935   triangulo",k,"da malha."
936   if (info1 > 0)then
937     print*,"-info1=",info1
938     print*,"o valor de U na diaqonal",info1," é zero. E ese valor é ", B(
939     info1,info1)
940   Do j=1,6
```

```

eta.f90
Page 17 of 20
Thu 26 Jan 2017 08:08:32 PM BRST

936 end if
937 if (info1 < 0) then
938 print*, "info1=", info1, "0 valor (-info)-esimo é ilegal"
939 end if
940 stop
941 else
942 !print*, "info1=", info1, "Sucesso na fatorização LU"
943 !call dgetri (n, B, lda, ipiv, work, lwork, info2)
944 if (info2 .ne. 0) then
945 print*, "info2=", info2
946 print*, "Erro ao inverter a matriz C relativa ao triangulo", k
947 else
948 ! print*, "Inversão realizada com sucesso no triangulo", k
949 end if
950 end if
951 invA=B
952 C1=matmul(invA,A) ! A^-1*A tem que dar a Id
953 C2=matmul(A,invA) ! A*A^-1 tem que dar a Id
954 D1=C1-I
955 D2=C2-I
956
957 ! Verificando a distancia se A*A^-1 = Id : Faremos usando usando a norma
958 do sup ||A|| = maximo da soma dos modulos das linhas da matriz
959
960 Do l=1,3
961 somal(l)=0.00
962 soma2(l)=0.00
963 Do i=1,3
964 somal(l) = somal(l) + abs(D1(l,i))
965 soma2(l) = soma2(l) + abs(D2(l,i))
966 End do
967 End do
968 normal=max(somal(1), somal(2), somal(3))
969 norma2=max(soma2(1), soma2(2), soma2(3))
970
971 ! Se uma dessas normas for muito grande, sinalizar para o usuário
972 if (normal >= 10.0-10) then ! a precisão aqui é de 10^-16. Vou
973 considerar razoável erros até a decima casa decimal
974 print*, "Testando a inversão:"
975 print*, "ATENÇÃO! INVERSAO DE MATRIZ COM problemas NO TRIANGULO", k
976 end if
977 !print*, "norma de A^-1*A - Id = ", k, normal
978 !print*, "norma de A*A^-1 -Id = ", k, norma2
979
980 End Subroutine Inverte matriz
981 !-----
982 !-----MATRIZES
983 !-----
984 !-----
985 Subroutine Calcula_matriz_semelhante(A,nA,mA,S,nS,B,nB,mB,produto)
986 ! Retorna em produto uma matriz "semelhante" a Matriz S. produto= A^T*S*B
987 ! Essa função é mais geral pois permite o fazer o produto a esquerda e a
988 direita com matrizes diferentes e não necessariamente quadradas.
989 ! A tem dimensão nxA, S é quadrada e tem dimensão nS e B tem dimensão
990 nBxB
991
992 Implicit none
993 Integer, intent(in) :: nS, nA, mA, nB, mB
994 Double precision, intent(in) :: A(nA,mA), S(nS,nS), B(nB,mB)
995 Double precision, intent(out), dimension(1:mA,1:mB) :: produto

```

- 17 -

```

eta.f90
Page 18 of 20
Thu 26 Jan 2017 08:08:32 PM BRST

997 Double precision :: M1(mA,nS), M2(mA,mB)
998
999 !print*, "dimensão de A", nA, mA, "dimensão de S", nS, "Dimensão de B", nB, mB
1000 if (nA==nS) then
1001 M1=matmul(transpose(A),S)
1002 ! print*, "Tamanho de M1", size(M1)
1003 else
1004 print*, "Impossível multiplicar matrizes, dimensões não batem"
1005 stop
1006 end if
1007 if (nS==mB) then
1008 M2=matmul(M1,B)
1009 !print*, "Tamanho de M2", size(M2)
1010 else
1011 print*, "Impossível multiplicar matrizes, dimensões não batem"
1012 stop
1013 end if
1014 produto(1:mA,1:mB)=M2(1:mA,1:mB)
1015
1016 End subroutine Calcula matriz semelhante
1017
1018 !-----REGISTRO DAS MATRIZES DE RIGIDEZ E DE MASSA EM ARQUIVO
1019 !-----
1020
1021
1022 Subroutine Escreve matrizes(r,M,S)
1023
1024 Implicit none
1025 Integer :: nnos,r
1026 Double precision :: M(r,r), S(r,r)
1027
1028 !Variáveis locais
1029 Integer :: i,j
1030
1031 Open(43, file=
1032 '/home/daniela/Documents/fortran/placa_naoconforme/Saida/Matriz_rigidez.txt',
1033 status='old')
1034 Open(44, file=
1035 '/home/daniela/Documents/fortran/placa_naoconforme/Saida/Matriz_massa.txt',
1036 status='old')
1037 Write(43,*) "Dimensão da matriz:",r
1038 Write(44,*) "Dimensão da matriz:",r
1039 Do j=1,r
1040 Do i=1,r
1041 Write(43,*) S(i,j)
1042 Write(44,*) M(i,j)
1043 End do
1044 End do
1045 ! escrever em forma de matriz:
1046 Write(43,*)
1047 Write(44,*)
1048 Write(44,*)
1049 Do i=1,r
1050 Write(43, '(12f9.3)'), S(i,:)
1051 Write(44, '(12f9.3)'), M(i,:)
1052 End do
1053
1054 End subroutine Escreve matrizes
1055
1056

```

- 18 -

```

eta.f90
Page 19 of 20
Thu 26 Jan 2017 08:08:32 PM BRST

1057 !-----IMPRESSÃO DOS AUTOVALORES E AUTOVETORES EM ARQUIVO
1058 !-----
1059 Subroutine Imprime_autovetores(r,w,S)
1060
1061 Implicit none
1062 Integer, intent(in) :: r
1063 Double precision, intent(in) :: w(r), S(r,r)
1064
1065 !Variáveis locais
1066 Integer :: i,j
1067
1068 print*, "Estou em imprimir autovetores, r=",r
1069
1070 Open(45,file=
1071 '/home/daniela/Documents/fortran/placa_naoconforme/Saida/Autovetores.txt',
1072 status='old')
1073 Write(45,*) r ! escreve 25 dos r primeiros autovalores
1074 Do j=1,25
1075 Write(45,*) w(j)
1076 End do
1077 Write(*,*) "Primeiro autovalor:", w(1)
1078
1079 !Do i=1,r
1080 !Write(45,*)
1081 !Write(45,*) "Autovalor", i,":", w(i)
1082 !Write(45,*) "autovetor associado:"
1083 !Do i=1, r
1084 !Write(45, '(f24.20)'), S(j,i)
1085 !End do
1086 !End do
1087 Close(45)
1088
1089 End subroutine Imprime autovetores
1090
1091 !----- ARQUIVOS PARA O SCILAB (função
1092 feC)-----
1093 ! Só vale para o anzats Linear, arrumar outra função do
1094 scilab-----
1095 Subroutine Dados_plotagem(nedqes,nnos,nele,x,v,S,w,T,r,fix)
1096
1097 Implicit none
1098 Integer, intent(in) :: nedqes, nnos,r,nele, T(7,nele), fix(nnos)
1099 Double precision, intent(in) :: x(nnos), y(nnos), w(r), S(r,r)
1100
1101 ! Variáveis locais
1102 Integer :: i,j,k,l,p ! contadores
1103
1104 Open (50,file=
1105 '/home/daniela/Documents/fortran/placa_naoconforme/Saida/coordxy02_scilab.
1106 txt', status='old')
1107 p=nnos-nedqes ! é o numero de
1108 vértices da malha, sem considerar os pontos medios dos trianquulos
1109
1110 Do i=1,p
1111 Write(50,*) x(i), y(i)
1112 End do
1113
1114 Open (51,file=
1115 '/home/daniela/Documents/fortran/placa_naoconforme/Saida/T02_scilab.txt',
1116 status='old')
1117 Do i=1,nele
1118 Write(51,*) T(1,i), T(2,i), T(3,i), T(4,i), T(5,i), T(6,i), T(7,i)

```

- 19 -

```

eta.f90
Page 20 of 20
Thu 26 Jan 2017 08:08:32 PM BRST

1112 End do
1113
1114 Open (52,file=
1115 '/home/daniela/Documents/fortran/placa_naoconforme/Saida/autofunc02_scilab.
1116 txt', status='old')
1117
1118 Do k=1,25 ! ao inves de escrever todos os r autovetores .. escreverei só
1119 os 25 primeiros autovetores.
1120 Do j=1,p
1121 !Do i=1,nnos
1122 !se o vértice estava fixo, escreva 0.0, caso contrario, escreva o
1123 proximo elemento do vetor S(i)
1124 if (fix(j).eq.l) then
1125 Write(52,*) 0.00
1126 else
1127 Write(52,*) S(l+r*(k-1))
1128 Write(52,*) S(l,k)
1129 l=l+1
1130 end if
1131 End do
1132 End do
1133 Close(50)
1134 Close(51)
1135 Close(52)
1136
1137 End subroutine Dados_plotagem
1138
1139

```

- 20 -

B.2 Formulação de quinto grau - *conforme*

```

beta.f90
Page 1 of 27
Thu 26 Jan 2017 08:18:28 PM BRST

1 PROGRAM Dani
2
3 !-----
4 ! *.....Elementos Finitos : Elemento triangular com aproximação de
5 quinto grau - variação do elemento conforme ....**
6
7 ! Este programa calcula a discretização da integral variacional para o
8 problema de autovalores do
9 bilaplaciano e monta as matrizes de massa e rigidez para o problema de
10 autovalores generalizados.
11 ! Este por sua vez é resolvido pela função dsygv do Lapack.
12 ! Ao final, este programa prepara arquivos de leitura para a plotagem
13 gráfica pelo Scilab.
14
15 ! Nesta variação do elemento conforme, usamos interpolação polinomial
16 para alterar as variáveis nodais,
17 criando um elemento finito tal que é possível fazer a aproximação no
18 triângulo padrão e evitar assim diversas
19 inversões da matriz que relaciona coeficientes e variáveis nodais.
20
21
22
23
24
25
26
27
28
29
30
31
32
33
34
35
36
37
38
39
40
41
42
43
44
45
46
47
48
49
50
51
52
53

```

```

beta.f90
Page 2 of 27
Thu 26 Jan 2017 08:18:28 PM BRST

55 Integer, allocatable, dimension (:,:) :: edge
56 ! Matriz que armazenara os pontos iniciais e finais de cada aresta.
57
58
59 !Double precision, allocatable, dimension (:,:) :: x,fix,y,fix
60 !Vetores que armazenam as coordenadas dos nós que ficarão fixos
61 !essas coordenadas são lidas no arquivo condicoes de contorno
62
63 Double precision, allocatable, dimension (:,:) :: x,y
64 !Vetores que armazenam as coordenadas (x,y) de cada nó:
65 !(x(i), y(i)) são as coordenadas do i-ésimo nó.
66
67 Double precision, allocatable, dimension (:,:) :: normal
68 !Matriz que contém as coordenadas dos vetores normais
69
70 Double Precision, allocatable, dimension (:,:) :: S, M
71 ! Matrizes de Rigidez e de Massa globais.
72
73 Integer :: i,j,k !Contadores
74 Integer :: contabilizou cc ! indica se as condições de contorno foram ou
75 não contabilizadas.
76 !Aqui, a variável pode ser do tipo booleana.
77 Integer :: ierr, dierr ! indicadores de erro na alocação de memória
78 Character (len=15) :: malha
79
80
81
82
83
84
85
86
87
88
89
90
91
92
93
94
95
96
97
98
99
100
101
102
103
104
105
106
107
108

```

```

beta.f90
Page 3 of 27
Thu 26 Jan 2017 08:18:28 PM BRST

111 nvertices=nnos-nedges
112 dimensao=nvertices-nedges !dimensao inicial das matrizes globais.
113 esse é o numero total de variáveis nodais: 6por vertices e 1 por aresta
114
115
116 ! Alocação de variáveis
117 allocate (T(7,nele), stat = ierr)
118 if (ierr/=0) then
119 print*, "Erro de alocação do variável T"
120 stop
121 end if
122
123 allocate (bordo(nnos),fix(nnos), stat = ierr)
124 if (ierr/=0) then
125 print*, "Erro de alocação do variável bordo"
126 stop
127 end if
128
129 allocate (x(nnos), y(nnos), stat = ierr)
130 if (ierr/=0) then
131 print*, "Erro de alocação das variáveis x e y"
132 stop
133 end if
134
135 allocate (edge(3,nedges), normal(2,nedges), stat = ierr)
136 if (ierr/=0) then
137 print*, "Erro de alocação do variável edge"
138 stop
139 end if
140
141 ! Leitura das demais informações dos arquivos provenientes do gerador
142 de malhas
143 Call Le_arquivos(nele, nnos, nedges, x, y, bordo, T, bordo_fixo,edge)
144
145 fix=0
146
147 !Esta função verifica os vértices da malha que estão fixos e guarda a
148 informação no vetor fix. Se fixo, fix(i)=1, caso contrário, fix(i)=0
149 Call Define_condicoes_contorno(nnos,nvertices,dimensao,r,fix,bordo,
150 bordo_fixo,nv_fix,nm_fix) ! Varredura na malha, só diz respeito aos
151 nós, e não às variáveis
152 print*, "sai de def cc"
153
154
155 !Depois de definir as condições de contorno, sabemos a dimensão final r
156 das matrizes de massa e rigidez.
157 allocate (M(r,r), S(r,r), stat = ierr)
158 if (ierr/=0) then
159 print*, "Erro de alocação das variáveis S e M"
160 stop
161 end if
162
163 contabilizou_cc = 0
164 print*, "entrei em de def normais"
165 Call Define_vetores_normais(nedges,nnos,edge,normal,x,y)
166 print*, "sai de def normais"
167
168
169 !-----FUNÇÃO PRINCIPAL: MONTAGEM DAS MATRIZES PARA O PROBLEMA DE
170 AUTOVALORES GENERALIZADOS-----!
171 !Monta matrizes de rigidez e massa, locais e globais, bem como todas as
172 matrizes auxiliares necessários
173
174 print*, "entrei em monta matriz"
175 Call Monta_matrizes
176 (nele, nnos, nospe, nedges,edge,normal,x, y, fix, T, S, M,r,
177 contabilizou_cc,nv_vertice, dimensao,nvertices,nm_fix,nv_fix)
178
179
180
181
182
183
184
185
186
187
188
189
190
191
192
193
194
195
196
197
198
199
200
201
202
203
204
205
206
207
208
209
210
211
212
213
214
215
216
217
218
219
220
221
222
223
224
225
226
227
228
229

```

```

beta.f90
Page 4 of 27
Thu 26 Jan 2017 08:18:28 PM BRST

169
170 !if (allocated (bordo)) deallocate (bordo, stat=dierr)
171 ! print*, "Erro de desalocação da variável bordo"
172 ! stop
173 !end if
174
175 !if (allocated (edge)) deallocate (edge, stat=dierr)
176 !if (dierr/=0) then
177 ! print*, "Erro de desalocação da variável edge"
178 ! stop
179 !end if
180
181 !if (allocated (normal)) deallocate (normal, stat=dierr)
182 !if (dierr/=0) then
183 ! print*, "Erro de desalocação da variável normal"
184 ! stop
185 !end if
186
187 !Registra em arquivo as matrizes de Rigidez e de Massa iniciais,
188 pois elas serão modificadas pela função dsygv
189 ! if (contabilizou cc .eq. 1) then
190 ! Call Escreve_matrizes(r,M,S)
191 !else
192 !Call Escreve_matrizes(dimensao,M,S)
193 ! end if
194
195 !Inicialização de variáveis que serão usadas na função dsygv
196 lda=r
197 ldb=r
198 lwork=3*r-1
199
200 !Alocação das variáveis w e work. Fizemos isso só aqui, pois
201 precisávamos do valor da dimensão final r das
202 ! matrizes
203 allocate (w(r), work(lwork), stat = ierr)
204 if (ierr/=0) then
205 print*, "Erro de alocação das variáveis w e work"
206 stop
207 end if
208
209 ! Resolve o problema generalizado de autovalores do tipo Au=B(lambda)u:
210 print*, "entrei em DSYGV"
211 Call dsygv (itype, jobz, upto, r, S, lda, M, ldb, w, work, lwork, info)
212 Print*, "info DSYGV=",info ! Controle da função dsygv: info=0 indica
213 sucesso nos cálculos
214 Write(*,*) "Primeiro autovalor: ",w(1)
215 !write(*,*) "Na impressão de dados plotagem e autovalores"
216 ! Impressão dos autovalores e autovetores em arquivo
217 Call Imprime_autovetores(r,w,S)
218
219 ! Prepara arquivos para o scilab
220 print*, "entrei em Dados Plotagem"
221 Call Dados_plotagem(nedges,nnos,nele,x,y,S,T,r,fix)
222 print*, "Ufa, acabou!"
223
224 END PROGRAM Dani
225
226 !-----Subrotinas que serão usadas no programa
227 principal-----!
228
229
230
231
232
233
234
235
236
237
238
239
240
241
242
243
244
245
246
247
248
249

```

```

beta.f90
Page 5 of 27
Thu 26 Jan 2017 08:18:28 PM BRST

230 ! Subrotina diferente daquelas das outras implementações pois decidimos
231 uma ordem para os vetores arestas na leitura.
232
233 Implicit none
234 !----- Variáveis dummy-----!
235 Integer, intent(in) :: nele, nnos, bordo fixo, nedges
236 Integer, intent(out) :: T(7,nele), bordo(nnos)
237 ! I é matriz (nospe+1)x(nele) que na coluna j guarda o numero
238 ! do triângulo i, e seus nós (i,1,2,3,4,5 e i,6) nas linhas
239 seguintes, segundo a numeração global da malha.
240 ! As tres primeiras são vertice de triangulo e os outros tres sao
241 pontos medios das arestas.
242
243 Double precision, intent(out) :: x(nnos), y(nnos) ! As posições desse
244 vetor de inteiros recebem valores 0 ou 1. Os vertice que estão no
245 bordo sao marcados com 1
246 Integer, intent(in) :: edge(3,nedges)
247 ! Matriz que guarda o numero da aresta da malha e os pontos final e
248 inicial dessas,
249 ! nessa ordem, nas linhas 1,2 e 3 respectivamente.
250
251 !----- Variáveis locais-----!
252 Integer :: i,j,maior
253 Double precision :: c,b
254
255 !Leitura do arquivo .ele gerado pelo Triangulo. Malha com ordem 2
256 Do j=1,nele
257 Read(40,*) T(1,i),T(2,i),T(3,i),T(4,i),T(5,i),T(6,i),T(7,i)
258 End do
259 Close(40)
260
261 !Leitura do arquivo .node gerado pelo Triangulo
262 Do i=1,nnos
263 Read(41,*) c, x(i), y(i), b, bordo(i) ! Malha quadrado e
264 de menor indice.
265 End do
266 Close(41)
267
268 !Leitura do arquivo .edge gerado pelo Triangulo - malha de ordem 2
269 !NOVO: Ordenação do vetor edge de modo que edge(2,i) guarde sempre o nó
270 de menor indice.
271 Do i=1, nedges
272 Read(42,*) edge(1,i),edge(2,i),edge(3,i)
273 If(edge(2,i) > edge(3,i)) then
274 edge(2,i)=edge(3,i)
275 edge(3,i)=edge(2,i)
276 End if
277 End do
278 Close(42)
279
280 End subroutine Le arquivos
281
282 !-----DEFINIÇÃO DOS VETORES
283 NORMAIS-----!
284
285 Subroutine Define vetores normais(nedges,nnos,edge,norm,x,y)
286 Implicit none
287 !----- Variáveis dummy-----!
288 Integer, intent(in) :: nedges, nnos
289 Double precision, intent(in) :: x(nnos), y(nnos)
290 Integer, intent(in) :: edge(3,nedges)
291 Double precision, intent(out) :: normal(2,nedges)
292
293
294
295
296
297
298
299
300
301
302
303
304
305
306
307
308
309
310
311
312
313
314
315
316
317
318
319
320
321
322
323
324
325
326
327
328
329
330
331
332
333
334
335
336
337
338
339
340
341
342
343
344

```

```

beta.f90
Page 6 of 27
Thu 26 Jan 2017 08:18:28 PM BRST

287
288 !-----Variáveis locais-----!
289 Integer :: i,maior
290 Double precision :: normal unitaria(2,nedges), norma(nedges)
291
292 !As coordenadas desses pontos são [x(edge(2,i)); y(edge(2,i))] e
293 [x(edge(2,i)); y(edge(2,i))]
294 !As coordenadas do vetor aresta são:
295 [x(edge(3,i))-x(edge(2,i)); y(edge(3,i))-y(edge(2,i))]
296 !As coordenadas dos vetores normais sao definidas pela rotação da aresta
297 i,
298 !por um angulo de 90 graus no sentido anti-horário
299 print*, "Estou dentro de def normais"
300 Do i=1,nedges
301 !Definimos as coordenadas x e y do i-ésimo vetor normal:
302 (normal(1,i);normal(2,i))
303 normal(1,i)=v(edge(2,i))-v(edge(3,i))
304 normal(2,i)=x(edge(3,i))-x(edge(2,i))
305 End do
306 Do i=1,nedges
307 norma(i) = sqrt(normal(1,i)**2 + normal(2,i)**2)
308 normal unitaria(1,i)=normal(1,i)/norma(i)
309 normal unitaria(2,i)=normal(2,i)/norma(i)
310 normal(1,i) = normal unitaria(1,i)
311 normal(2,i) = normal unitaria(2,i)
312 End do
313 print*, "Saindo de Define vetores normais"
314 End Subroutine Define vetores normais
315
316 !-----DEFINIÇÃO DAS CONDIÇÕES DE
317 CONTORNO-----!
318
319 ! Esta subrotina define as condições de contorno que serao utilizadas.
320 ! (Nesse caso), define quais e quantos nós da malha permanecerao fixos.
321
322 Subroutine Define condicoes contorno(nnos,nvertices,dimensao,r,fix,bordo,
323 bordo_fixo,nv_fix,nm_fix)
324 Implicit none
325 Integer, intent(in) :: nnos, bordo(nnos), bordo fixo, dimensao,nvertices
326 Integer, intent(out) :: r, nv_fix, nm_fix, fix(nnos)
327
328 !Variáveis locais
329 Integer :: i,k
330
331 if (bordo_fixo.eq.1) then
332 print*, "BORDO FIXO!"
333 Do i=1,nnos
334 fix(i)=bordo(i) ! Condição de bordo fixo. O vetor fix é igual ao
335 vetor bordo
336 End do
337 End if
338
339 nv_fix=0 ! numero de vertice fixos
340 nm_fix=0 ! numero de ptos medios de aresta fixos
341
342 !Contando quantos pontos fixo sao vertice
343 Do i=1,nvertices
344

```

```

beta.f90
Page 7 of 27
Thu 26 Jan 2017 08:18:28 PM BRST

348 End do
349
350 !Contando quantos pontos fixos sao pontos medios
351 Do i=1+nvertices,nnos
352 if ((fix(i).eq.1) ) then ! se o vertice i esta fixo,
353 nm_fix=nm_fix+1
354 end if
355 End do
356
357 r=dimensao-(3*nv_fix+nm_fix) ! dimensão das matrizes de massa e rigidez
358
359 End Subroutine Define condicoes contorno
360
361 !-----MONTAGEM DAS MATRIZES DE MASSA E RIGIDEZ
362 GLOBAIS-----!
363
364 Subroutine Monta_matrizes&
365 (nele,nnos,nospe,nedges,edge,norm,x,v,fix,T,S,M,r,contabilizou cc,
366 nv_vertice,dimensao,nvertices,nm_fix,nv_fix)
367 Implicit none
368 Integer, intent(in) :: nele, nnos, nospe,r, nedges, dimensao , nvertices,
369 nv_vertice
370 Integer, intent(in) :: T(7,nele), fix(nnos), edge(3,nedges), nv_fix, nm_fix
371 Integer, intent(out) :: contabilizou cc
372 Double precision, intent(in) :: x(nnos), y(nnos), normal(2,nedges)
373 Double precision, intent(out) :: S(r,r), M(r,r)
374
375 !----- Variáveis
376 locais-----!
377
378
379 Double Precision :: a(3),b(3),J1
380 ! a e b sao vetores que contem as coordenadas do vetor normal unitário
381 n=(a,b), em cada triangulo Ti
382
383 Double Precision, Dimension(21,21) :: Si, Mi ! Matrizes de rigidez e
384 massa elementares
385 Double Precision, Dimension(21,21) :: inv A,C,D,E,P,NC,F ! Matrizes
386 auxiliares na montagem de Mi e Si
387 Double precision, Dimension (10,10) :: P1,D1,E1 ! Matrizes auxiliares na
388 montagem de Mi e Si
389 Double precision, allocatable :: S (:,:), M (:,:)
390 !matrizes auxiliares para a montagem de M e S (globais)
391
392 Integer :: pot(21,2)
393 ! Matriz auxiliar para montagem das matrizes P e P1.
394 ! Essa matriz guarda as potencias de x e y para uso em.
395 ! A potencia do x está na coluna 1 e a do y, na coluna 2
396
397 Integer, allocatable :: vi(:)
398 ! Vetor auxiliar que guarda a numeracao global dos nos do iésimo
399 triangulo.
400
401 Integer :: ui(21)
402 ! Vetor auxiliar que guarda as posições globais de cada variável nodal
403 do i-ésimo triangulo.
404 ! Será usado na montagem das matrizes globais
405
406 Integer :: ierr, i,j,k, n_i(3), fim(3),inicio(3), inicio_local(nedges),

```

```

beta.f90
Page 8 of 27
Thu 26 Jan 2017 08:18:28 PM BRST

407 iniciais e finais de cada aresta local
408
409 Double precision, parameter :: siqma = 0.300 ! parametro da edp:
410 coeficiente de poisson
411
412 print*, "Dimensao inicial da matriz global:",dimensao
413 Allocate (vi(nospe), S (dimensao,dimensao), M (dimensao,dimensao), stat=
414 ierr)
415 if (ierr/=0) then
416 print*, "Erro de alocação das variáveis vi,S,M"
417 stop
418 end if
419
420 !Inicialização de S e M com zero
421 S = 0.000
422 M = 0.000
423
424 !Montagem da matriz pot (potencias de x e y)
425 Do i=0,5 ! 5 é grau da aproximação
426 Do j=0,i
427 pot(k,1)=i-1
428 pot(k,2)=j
429 k=k+1
430 End do
431 End do
432
433 ! Leitura da matriz que relaciona os coeficientes da aproximação com as
434 (novas) variáveis nodais.
435 !Nesse programa, essa independe da geometria da malha
436
437 Open(120,file=
438 '/home/daniela/Documents/fortran/placa_conforme_nova/Entrada/inversaDani.t
439 xt', status='old')
440 Do i=0,2
441 !print*
442 !print*, "Coluna de ",i+1,"a",5+5*i
443 Do j=1,21
444 Read(120,*) inv A(i,j*5+1),inv A(i,j*5+2),inv A(i,j*5+3),inv A(i,j*5+4),
445 inv A(i,j*5+5)
446 !
447 ! print*,inv A(i,j*5+1),inv A(i,j*5+2),inv A(i,j*5+3),inv A(i,j*5+4),inv
448 A(i,j*5+5)
449 End do
450 Do i=1,21
451 Read(120,*) inv A(i,16),inv A(i,17),inv A(i,18),inv A(i,19),inv A(i,20),
452 inv A(i,21)
453 End do
454 Close(120)
455
456 !Montagem da Matriz das integrais P e P1.
457 !Essas matriz sao constantes e não depende da geometria da malha
458 Call Monta_matriz_P (P1,pot,3,10) ! para ser usada em Si
459 Call Monta_matriz_P (P,pot,5,21) ! para ser usada em Mi
460 !Call Escreve_Matriz em Arquivo (P1,21,60,"Matriz P.txt","old")
461
462 !-----Escrita de arquivo sobre o estudo da inversao de
463 matrizes-----!
464 Open(110,file="/home/daniela/Documents/fortran/placa_conforme/Estudo_invers

```

```

beta.f90
Page 9 of 27
Thu 26 Jan 2017 08:18:28 PM BRST

460
461 ! -----LACO NO NUMERO DE TRIANGULOS
462 ! -----!
463
464 Do i=1,nle
465 !Essa matriz é remontada para cada triângulo e não pode sofrer
466 !influência da que foi montada no laço anterior
467 D=0.000
468
469 Do j=1,nospe
470 vi(i)=T(i+1,i) ! Os vertices do triângulo i são: T(2,i), T(3,i),
471 T(4,i), T(5,i), T(6,i) e T(7,i)
472 End Do
473 Ji=(x(vi(2))-x(vi(1)))*(v(vi(3))-v(vi(1))) - (x(vi(3))-x(vi(1)))*(v(vi(2)
474 ))-y(vi(1))) !Determinante da matriz de mudança de coordenadas
475 !print*, "triangulo i, Ji =",i,Ji
476
477 !-----LISTA LOCAL DE VETORES NORMAIS
478 !-----!
479 !-----Definição do vetor que guarda o indice global do vetor
480 normal, nas posições locais 1,2 ou 3:
481 !Vamos estabelecer uma numeração local para os vetores normais
482 globais. Cada elemento triangular i tem 3 vetores normais: n i(i),
483 j=1,2,3
484 !Essa numeração local é a mesma para as arestas.
485
486 j=1
487 Do while (i.LE.nedges)
488 if ((vi(1).eq.edge(2,i)) .and. (vi(2).eq.edge(3,i))) .or. ((vi(2)
489 .eq.edge(2,i)) .and. (vi(1).eq.edge(3,i))) then
490 n i(3)=1 !n i(3) é vetor oposto ao vertice 3 e é o j-ésimo vetor
491 normal da tabela normal
492 if (vi(1) == edge(2,i)) then
493 inicio_local(j)=1
494 fim_local(i)=2
495 else
496 inicio_local(j)=2
497 fim_local(i)=1
498 end if
499 i=nedges+1
500 else
501 j=j+1
502 End if
503 End Do
504
505 j=1
506 Do while (i.LE.nedges)
507 if ((vi(2).eq.edge(2,i)) .and. (vi(3).eq.edge(3,i))) .or. ((vi(3)
508 .eq.edge(2,i)) .and. (vi(1).eq.edge(3,i))) then
509 n i(1)=1 !n i(1) é vetor oposto ao vertice 1 e é o i-ésimo
510 vetor normal da tabela normal (tal tabela segue a indexação da
511 lista de arestas)
512 if (vi(2) == edge(2,i)) then
513 inicio_local(j)=2
514 fim_local(i)=3
515 else
516 inicio_local(j)=3
517 fim_local(i)=2
518 end if
519 j=nedges+1
520 End while

```

```

beta.f90
Page 10 of 27
Thu 26 Jan 2017 08:18:28 PM BRST

514 end if
515 End do
516
517 j=1
518 Do while (i.LE.nedges)
519 if ((vi(1).eq.edge(2,i)) .and. (vi(3).eq.edge(3,i))) .or. ((vi(3)
520 .eq.edge(2,i)) .and. (vi(1).eq.edge(3,i))) then
521 i(2)=1 !n i(2) é vetor oposto ao vertice 2 e é o j-ésimo vetor
522 normal da tabela normal
523 if (vi(1) == edge(2,i)) then
524 inicio_local(j)=1
525 fim_local(i)=3
526 else
527 inicio_local(j)=3
528 fim_local(i)=1
529 end if
530 j=nedges+1
531 else
532 j=j+1
533 End if
534 End do
535 !print*, "inicio local e fim local"
536 !print*, inicio_local,fim_local
537 !print*,
538 !Pontos iniciais e finais (globais) das arestas locais. A numeração
539 local das arestas é a mesma das normais:
540 Do k=1,3
541 inicio(k)=edge(2,n i(k))
542 fim(k)=edge(3,n i(k))
543 !print*, "Aresta",k," do triângulo",i,"tem inicio e fim global nos
544 !vertices:",inicio(k),fim(k)
545 !print*, "Estes correspondem aos pontos locais
546 !, inicio_local(n i(k)), fim_local(n i(k))
547 !print*, "n i(k)",n i(k)
548 End do
549 !O triângulo i,tem vetores normais unitarios n i(i), i=1,2,3 e estes
550 !tem coordenadas a(i),b(i), i=1,2,3
551 Do j=1,3
552 a(j)=normal(1,n i(i))
553 b(j)=normal(2,n i(i))
554 End do
555
556 !Montagem do Vetor que guarda o indice global de cada variavel nodal do
557 triângulo Ti, em suas posições 1,2,...,21
558 Call Monta_Var nodais (vi,ui,nvertices,nv vertice)
559
560 !Call Monta matriz C (C,x,v,vi,i,nle,nospe,a,b) ! A matriz C
561 !relaciona as variáveis nodais com os parâmetros da aproximação. alfa=C*u
562 !Call Monta matriz D (D,x,v,vi,nospe,5,21) ! A matriz D, que relaciona
563 !os parâmetros a1,...,a21 com os parâmetros alfa's, da aproximação em Ti
564 e em To respectivamente
565 !Call Monta matriz D (D1,x,v,vi,nospe,3,10) ! É como a matriz D, mas
566 !de dim menor.
567 !Call Monta matriz E (E,x,v,vi,nospe,5,21,pot)
568 !Call Monta matriz E (E1,x,v,vi,nospe,3,10,pot)
569
570 Call Monta matriz F(F,21,nnos,nospe,vi,x,y)
571 Call Monta matriz NC BETA (NC,i,x,v,vi,nospe,fin,finicio_local,fim_local,
572 nedges,n i, nnos)
573 !Call Monta matriz NC (NC,i,x,v,vi,nospe,fin,finicio_local,fim_local,nedges)
574
575 !Call Escreve Matriz em Arquivo (NC,21,61,"Matriz_NC.txt","old") !
576 Para teste

```

- 9 -

- 10 -

```

beta.f90
Page 11 of 27
Thu 26 Jan 2017 08:18:28 PM BRST

568 !Call Escreve_Matriz_em_Arquivo (E1,21,63,"Matriz_E1.txt","old") !
569 Para teste
570 !Call Escreve_matrizes (21,P,C,D,D)
571
572 Call Monta matriz Mi (Ji,F,NC,P,inv A,Mi) !Matriz de massa elementar
573 Call Monta matriz Si (Ji,F,P1,inv A,NC,Si,sigma,x,v,vi,nnos,nospe) !
574 Matriz de rigidez elementar
575
576 !Call Escreve_matrizes(21,Mi,Si)
577
578 !-----Montagem das matrizes de rigidez e massa globais S e M :
579 !-----!
580 Call Monta_matrizes_globais(S,M,Si,Mi,ui,dimensao)
581
582 End Do !----- FIM DO LACO (em i) NO NUMERO DE
583 TRIANGULOS-----!
584 Close(10)
585 !print*, inicio_local e fim_local"
586 !print*, inicio_local,fim_local
587 !print*
588
589 Call Contabiliza_condicoes_de_contorno (S,M,fix,nnos, contabilizou_cc,r,
590 dimensao,nvertices, nv fix, nm fix)
591
592 !if (contabilizou_cc .eq. 1) then
593 Call Redimensiona_matrizes(dimensao,r,M,S,M,S)
594 !else
595 ! Call Redimensiona_matrizes(dimensao,dimensao,M,S,M,S) ! nesse caso,
596 ! não há redimensionamento, as matrizes continuam com a mesma dimensao
597 !end if
598
599 !Call Escreve_matrizes(r,M,S)
600
601 End Subroutine Monta_matrizes
602
603 !-----Subrotinas usadas em Monta Matriz
604 !-----!
605
606 Subroutine Monta matriz NC BETA (NC,i,x,v,vi,nospe,fin,finicio_local,fim_local,
607 nedges,n i, nnos)
608 ! Esta matriz relaciona dois conjuntos de tipos de variáveis nodais no
609 elemento triangular, para a aproximação de 5º grau.
610 Implicit none
611 Double precision, intent(out) :: NC (21,21)
612 Double precision, intent(in) :: x(nnos),v(nnos)
613 Integer, intent(in) :: i,nedges, nnos
614 Integer, intent(in) :: inicio(3),fim(3),inicio_local(nedges),fim_local(
615 nedges),n i(3)
616
617 !Variaveis locais
618 Integer :: i,k
619 Double precision :: l(3)
620 NC=0.000
621 !Locos Id:
622 Do i=1,3
623 Do k=1,3
624 if(k==i) then
625 NC(i,k)=1.000
626 NC(j+12,k+9)=1.000

```

- 11 -

```

beta.f90
Page 12 of 27
Thu 26 Jan 2017 08:18:28 PM BRST

626 End do
627 End do
628
629 Do i=1,3 ! laco nas arestas do triângulo
630 l(i)=sqrt((x(fim(i))-x(inicio(i)))**2 + (v(fim(i))-v(inicio(i)))**2)
631
632 !Valores de u no ponto medio da aresta 1: !Posições onde sinal é
633 relevante tem marcação '!', neste caso é no fim da aresta
634 NC(3+j, inicio_local(n i(j)))+0.500
635 NC(3+i, fim_local(n i(i)))+0.500
636
637 NC(3+j, inicio_local(n i(j))+3) = 0.1562500*(x(fim(i))-x(inicio(i))) !
638 NC(3+j, fim_local(n i(j))+3) = -0.1562500*(x(fim(j))-x(inicio(j))) !
639 NC(3+j, inicio_local(n i(j))+6) = 0.1562500*(v(fim(i))-v(inicio(i))) !
640 NC(3+i, fim_local(n i(i))+6) = -0.1562500*(v(fim(i))-v(inicio(i))) !
641
642 NC(3+i, inicio_local(n i(i))+9) = 0.01562500*(x(fim(i))-x(inicio(i)))**2
643 NC(3+j, inicio_local(n i(j))+12) = 0.0312500*(x(fim(i))-x(inicio(i)))*(y(fim
644 (i))-v(inicio(i)))
645 NC(3+i, fim_local(n i(i))+12) = 0.0312500*(x(fim(i))-x(inicio(i)))*(v(fim(i)
646 (i))-y(inicio(i)))
647 NC(3+i, inicio_local(n i(i))+15) = 0.01562500*(y(fim(i))-v(inicio(i)))**2
648 NC(3+i, fim_local(n i(i))+15) = 0.01562500*(v(fim(i))-v(inicio(i)))**2
649
650 !Valores de u_x no ponto medio da aresta 1: !Posições onde sinal é
651 relevante tem marcação '!', neste caso é no inicio da aresta
652 NC(6+i, inicio_local(n i(i))) = 1.87500*(x(fim(i))-x(inicio(i)))/(l(i)**2) !
653 NC(6+j, fim_local(n i(j))) = 1.87500*(x(fim(j))-x(inicio(j)))/(l(j)**2) !
654
655 NC(6+i, inicio_local(n i(i))+3) = -0.437500*(x(fim(i))-x(inicio(i)))**2/(l(i)
656 (j)**2)
657 NC(6+j, fim_local(n i(j))+3) = -0.437500*(x(fim(i))-x(inicio(i)))**2/(l(i)
658 (j)**2)
659 NC(6+j, inicio_local(n i(j))+6) = -0.437500*(x(fim(j))-x(inicio(j)))*(y(fim
660 (i))-v(inicio(i)))/(l(i)**2)
661 NC(6+i, inicio_local(n i(i))+12) = 0.062500*(y(fim(i))-v(inicio(i)))*(x(fim(i)
662 (i))-x(inicio(i)))/(l(i)**2)
663 NC(6+j, inicio_local(n i(j))+15) = -0.0312500*(x(fim(j))-x(inicio(j)))*(y(f
664 im(i))-v(inicio(i)))/(l(i)**2)
665 NC(6+i, fim_local(n i(i))+15) = 0.0312500*(x(fim(i))-x(inicio(i)))*(v(fim(i)
666 (j))-y(inicio(j)))/(l(j)**2)
667
668 NC(i+6,i+18) = (v(fim(i)) - v(inicio(i)))/l(i)
669
670 !Valores de u_y no ponto medio da aresta 1: !Posições onde sinal é
671 relevante tem marcação '!', neste caso é no inicio da aresta
672 NC(9+i, inicio_local(n i(i))) = 1.87500*(v(fim(i))-v(inicio(i)))/(l(i)**2) !
673 NC(9+j, fim_local(n i(j))) = 1.87500*(v(fim(j))-v(inicio(j)))/(l(j)**2) !
674
675 NC(9+i, inicio_local(n i(i))+3) = -0.437500*(x(fim(i))-x(inicio(i)))*(v(fim(i)
676 (j))-v(inicio(j)))/(l(j)**2)
677 NC(9+j, fim_local(n i(j))+3) = -0.437500*(x(fim(i))-x(inicio(i)))*(v(fim(i)
678 (j))-v(inicio(j)))/(l(j)**2)
679 NC(9+i, inicio_local(n i(i))+6) = -0.437500*(y(fim(i))-v(inicio(i)))*(v(fim(i)
680 (j))-v(inicio(j)))/(l(j)**2)
681 NC(9+j, inicio_local(n i(j))+6) = -0.437500*(y(fim(j))-v(inicio(j)))/(l(j)**2)
682
683

```

- 12 -

```

beta.f90
Page 13 of 27
Thu 26 Jan 2017 08:18:28 PM BRST

676 NC(9+j, inicio local(n,i,j))+0 = -0.0312500*(y(fim(j))-y(inicio(j)))*x(
677 fim(i))-x(inicio(i))**2)/(l(i)**2)
678 NC(9+j, fim local(n,i,j))+9 = 0.0312500*(y(fim(i))-y(inicio(i)))*x(fim(i)
679 )-x(inicio(i))**2)/(l(i)**2)
680 NC(9+i, inicio local(n,i,j))+12 = -0.062500*(x(fim(i))-x(inicio(i)))*(y(
681 fim(i))-y(inicio(i))**2)/(l(i)**2)
682 NC(9+i, fim local(n,i,j))+15 = 0.0312500*(y(fim(i))-y(inicio(i)))*(y(fim(i)
683 )-x(inicio(i))**2)/(l(i)**2)
684 NC(j+9, j+18) = (x(fim(j)) - x(inicio(j)))/l(j)
685 End do
686 End Subroutine
687
688 Subroutine Monta matriz NC (NC,i,x,y, inicio,fim, inicio local,fim local,
689 nedques)
690 ! Esta matriz relaciona dois conjuntos de tipos de variáveis nodais no
691 elemento triangular, para a aproximação de 5º grau.
692 ! Funciona bem para malhas simples. A versão beta é mais geral
693 Implicit none
694 Double precision :: NC (21,21)
695 Integer :: x(*),y(*), l(3)
696 Integer :: i,nedques
697 Integer :: inicio(3),fim(3), inicio local(nedques), fim local(nedques)
698
699 !Variáveis locais
700 Integer :: i,k, sinal1, sinal2, resto
701 NC=0.0
702
703 resto=mod(i,2)
704
705 if(resto == 0) then ! i é par e portanto
706 sinal1=1
707 sinal2=-1
708 ! print*, "0 triângulo", i, " é par", sinal1,sinal2
709 end if
710 if(resto == 1) then ! i é ímpar
711 sinal1=-1
712 sinal2=1
713 ! print*, "0 triângulo", i, " é ímpar", sinal1,sinal2
714 end if
715
716 !Blocos Id:
717 Do i=1,3
718 Do k=1,3
719 if(k==j) then
720 NC(i,k)=1.0
721 NC(i+15,k+12)=1.0
722 NC(i+15,k+15)=1.0
723 end if
724 End do
725 End do
726
727
728
729
730
731
732

```

```

beta.f90
Page 14 of 27
Thu 26 Jan 2017 08:18:28 PM BRST

734 l(j)=sqrt((x(fim(j))-x(inicio(j)))**2 + (y(fim(j))-y(inicio(j)))**2)
735 if (i==1) then
736 !Valores de u no ponto medio da aresta 1 -- verificar sinais
737 NC(3+i,2)=0.5
738 NC(3+i,3)=0.5
739 NC(3+i,5)=sinal2*0.15625*(x(fim(i))-x(inicio(i)))
740 NC(3+i,8)=sinal2*0.15625*(y(fim(i))-y(inicio(i)))
741 NC(3+i,9)=sinal1*0.15625*(y(fim(i))-y(inicio(i)))
742 NC(3+i,11)=0.015625*(x(fim(i))-x(inicio(i)))**2
743 NC(3+i,12)=0.015625*(x(fim(i))-x(inicio(i)))*(y(fim(i))-y(inicio(i)))
744 NC(3+i,14)=0.03125*(x(fim(i))-x(inicio(i)))*(y(fim(i))-y(inicio(i)))
745 NC(3+i,15)=0.03125*(x(fim(i))-x(inicio(i)))*(y(fim(i))-y(inicio(i)))
746 NC(3+i,17)=0.015625*(y(fim(i))-y(inicio(i)))**2
747 NC(3+i,18)=0.015625*(y(fim(i))-y(inicio(i)))**2
748
749 !Valores de u,x no ponto medio da aresta 1
750 NC(6+i,2)=sinal1*1.875*(x(fim(i))-x(inicio(i)))/(l(i)**2)
751 NC(6+i,3)=sinal2*1.875*(x(fim(i))-x(inicio(i)))/(l(i)**2)
752 NC(6+i,5)=-0.4375*(x(fim(i))-x(inicio(i)))/(l(i)**2)
753 NC(6+i,6)=-0.4375*(x(fim(i))-x(inicio(i)))/(l(i)**2)
754 NC(6+i,8)=-0.4375*(x(fim(i))-x(inicio(i)))*(y(fim(i))-y(inicio(i)))/(l(i)
755 )**2)
756 NC(6+i,9)=-0.4375*(x(fim(i))-x(inicio(i)))*(y(fim(i))-y(inicio(i)))/(l(i)
757 )**2)
758 NC(6+i,11)=sinal1*0.03125*(x(fim(i))-x(inicio(i)))*(x(fim(i))-x(inicio
759 (i))**2)/(l(i)**2)
760 NC(6+i,14)=sinal1*0.0625*(y(fim(i))-y(inicio(i)))*(x(fim(i))-x(inicio
761 (i))**2)/(l(i)**2)
762 NC(6+i,17)=sinal1*0.03125*(x(fim(i))-x(inicio(i)))*(y(fim(i))-y(inicio
763 (i))**2)/(l(i)**2)
764 NC(6+i,18)=sinal2*0.03125*(x(fim(i))-x(inicio(i)))*(y(fim(i))-y(inicio
765 (i))**2)/(l(i)**2)
766 NC(7,19)=-y(fim(i)) - y(inicio(i))/l(i)
767
768 !Valores de u,y no ponto medio da aresta 1
769 NC(9+i,2)=sinal1*1.875*(y(fim(i))-y(inicio(i)))/(l(i)**2)
770 NC(9+i,3)=sinal2*1.875*(y(fim(i))-y(inicio(i)))/(l(i)**2)
771 NC(9+i,5)=-0.4375*(x(fim(i))-x(inicio(i)))*(y(fim(i))-y(inicio(i)))/(l(i)
772 )**2)
773 NC(9+i,6)=-0.4375*(x(fim(i))-x(inicio(i)))*(y(fim(i))-y(inicio(i)))/(l(i)
774 )**2)
775 NC(9+i,8)=-0.4375*(y(fim(i))-y(inicio(i)))**2/(l(i)**2)
776 NC(9+i,9)=-0.4375*(y(fim(i))-y(inicio(i)))**2/(l(i)**2)
777 NC(9+i,11)=sinal1*0.03125*(y(fim(i))-y(inicio(i)))*(x(fim(i))-x(inicio
778 (i))**2)/(l(i)**2)
779 NC(9+i,12)=sinal2*0.03125*(y(fim(i))-y(inicio(i)))*(x(fim(i))-x(inicio
780 (i))**2)/(l(i)**2)
781 NC(9+i,14)=sinal1*0.0625*(x(fim(i))-x(inicio(i)))*(y(fim(i))-y(inicio
782 (i))**2)/(l(i)**2)
783 NC(9+i,15)=sinal2*0.0625*(x(fim(i))-x(inicio(i)))*(y(fim(i))-y(inicio
784 (i))**2)/(l(i)**2)
785 NC(9+i,17)=sinal2*0.03125*(y(fim(i))-y(inicio(i)))*(y(fim(i))-y(inicio
786 (i))**2)/(l(i)**2)
787 NC(9+i,18)=sinal2*0.03125*(y(fim(i))-y(inicio(i)))*(y(fim(i))-y(inicio
788 (i))**2)/(l(i)**2)
789 NC(10,19)=(x(fim(i)) - x(inicio(i)))/l(i)
790
791 end if
792

```

```

beta.f90
Page 15 of 27
Thu 26 Jan 2017 08:18:28 PM BRST

787 NC(3+i,3)=0.5
788 NC(3+i,6)=sinal2*0.15625*(x(fim(i))-x(inicio(i)))
789 NC(3+i,9)=sinal1*0.15625*(y(fim(i))-y(inicio(i)))
790 NC(3+i,11)=0.015625*(x(fim(i))-x(inicio(i)))**2
791 NC(3+i,12)=0.015625*(x(fim(i))-x(inicio(i)))*(y(fim(i))-y(inicio(i)))
792 NC(3+i,14)=0.03125*(x(fim(i))-x(inicio(i)))*(y(fim(i))-y(inicio(i)))
793 NC(3+i,15)=0.03125*(x(fim(i))-x(inicio(i)))*(y(fim(i))-y(inicio(i)))
794 NC(3+i,17)=0.015625*(y(fim(i))-y(inicio(i)))**2
795 NC(3+i,18)=0.015625*(y(fim(i))-y(inicio(i)))**2
796 NC(3+i,16)=0.015625*(y(fim(i))-y(inicio(i)))**2
797 NC(3+i,18)=0.015625*(y(fim(i))-y(inicio(i)))**2
798
799 !Valores de u,x no ponto medio da aresta 2
800 NC(6+i,1)=sinal1*1.875*(x(fim(i))-x(inicio(i)))/(l(i)**2)
801 NC(6+i,3)=sinal2*1.875*(x(fim(i))-x(inicio(i)))/(l(i)**2)
802 NC(6+i,4)=-0.4375*(x(fim(i))-x(inicio(i)))/(l(i)**2)
803 NC(6+i,6)=-0.4375*(x(fim(i))-x(inicio(i)))/(l(i)**2)
804 NC(6+i,7)=-0.4375*(x(fim(i))-x(inicio(i)))/(l(i)**2)
805 NC(6+i,9)=-0.4375*(x(fim(i))-x(inicio(i)))*(y(fim(i))-y(inicio(i)))/(l(i)
806 )**2)
807 NC(6+i,10)=sinal1*0.03125*(x(fim(i))-x(inicio(i)))*(x(fim(i))-x(inicio
808 (i))**2)/(l(i)**2)
809 NC(6+i,12)=sinal2*0.03125*(x(fim(i))-x(inicio(i)))*(x(fim(i))-x(inicio
810 (i))**2)/(l(i)**2)
811 NC(6+i,13)=sinal1*0.0625*(y(fim(i))-y(inicio(i)))*(x(fim(i))-x(inicio
812 (i))**2)/(l(i)**2)
813 NC(6+i,15)=sinal2*0.0625*(y(fim(i))-y(inicio(i)))*(x(fim(i))-x(inicio
814 (i))**2)/(l(i)**2)
815 NC(8,20)=-y(fim(j)) - y(inicio(j))/l(j)
816
817 !Valores de u,y no ponto medio da aresta 2
818 NC(9+i,1)=sinal1*1.875*(y(fim(i))-y(inicio(i)))/(l(i)**2)
819 NC(9+i,3)=sinal2*1.875*(y(fim(i))-y(inicio(i)))/(l(i)**2)
820 NC(9+i,4)=-0.4375*(x(fim(i))-x(inicio(i)))*(y(fim(i))-y(inicio(i)))/(l(i)
821 )**2)
822 NC(9+i,6)=-0.4375*(x(fim(i))-x(inicio(i)))*(y(fim(i))-y(inicio(i)))/(l(i)
823 )**2)
824 NC(9+i,10)=sinal1*0.03125*(y(fim(i))-y(inicio(i)))*(x(fim(i))-x(inicio
825 (i))**2)/(l(i)**2)
826 NC(9+i,12)=sinal2*0.03125*(y(fim(i))-y(inicio(i)))*(x(fim(i))-x(inicio
827 (i))**2)/(l(i)**2)
828 NC(9+i,13)=sinal1*0.0625*(x(fim(i))-x(inicio(i)))*(y(fim(i))-y(inicio
829 (i))**2)/(l(i)**2)
830 NC(9+i,15)=sinal2*0.0625*(x(fim(i))-x(inicio(i)))*(y(fim(i))-y(inicio
831 (i))**2)/(l(i)**2)
832 NC(9+i,17)=sinal2*0.03125*(y(fim(i))-y(inicio(i)))*(y(fim(i))-y(inicio
833 (i))**2)/(l(i)**2)
834 NC(9+i,18)=sinal2*0.03125*(y(fim(i))-y(inicio(i)))*(y(fim(i))-y(inicio
835 (i))**2)/(l(i)**2)

```

```

beta.f90
Page 16 of 27
Thu 26 Jan 2017 08:18:28 PM BRST

840 NC(3+i,7)=sinal2*0.15625*(y(fim(i))-y(inicio(i)))
841 NC(3+i,10)=0.015625*(x(fim(i))-x(inicio(i)))**2
842 NC(3+i,11)=0.015625*(x(fim(i))-x(inicio(i)))**2
843 NC(3+i,12)=0.015625*(x(fim(i))-x(inicio(i)))*(y(fim(i))-y(inicio(i)))
844 NC(3+i,14)=0.03125*(x(fim(i))-x(inicio(i)))*(y(fim(i))-y(inicio(i)))
845 NC(3+i,16)=0.015625*(y(fim(i))-y(inicio(i)))**2
846 NC(3+i,17)=0.015625*(y(fim(i))-y(inicio(i)))**2
847
848 !Valores de u,x no ponto medio da aresta 3
849 NC(6+i,1)=sinal1*1.875*(x(fim(i))-x(inicio(i)))/(l(i)**2)
850 NC(6+i,2)=sinal2*1.875*(x(fim(i))-x(inicio(i)))/(l(i)**2)
851 NC(6+i,4)=-0.4375*(x(fim(i))-x(inicio(i)))/(l(i)**2)
852 NC(6+i,5)=-0.4375*(x(fim(i))-x(inicio(i)))/(l(i)**2)
853 NC(6+i,7)=-0.4375*(x(fim(i))-x(inicio(i)))/(l(i)**2)
854 NC(6+i,9)=-0.4375*(x(fim(i))-x(inicio(i)))*(y(fim(i))-y(inicio(i)))/(l(i)
855 )**2)
856 NC(6+i,10)=sinal1*0.03125*(x(fim(i))-x(inicio(i)))*(x(fim(i))-x(inicio
857 (i))**2)/(l(i)**2)
858 NC(6+i,11)=sinal2*0.03125*(x(fim(i))-x(inicio(i)))*(x(fim(i))-x(inicio
859 (i))**2)/(l(i)**2)
860 NC(6+i,13)=sinal1*0.0625*(y(fim(i))-y(inicio(i)))*(x(fim(i))-x(inicio
861 (i))**2)/(l(i)**2)
862 NC(6+i,16)=sinal1*0.03125*(x(fim(i))-x(inicio(i)))*(y(fim(i))-y(inicio
863 (i))**2)/(l(i)**2)
864 NC(6+i,17)=sinal2*0.03125*(x(fim(i))-x(inicio(i)))*(y(fim(i))-y(inicio
865 (i))**2)/(l(i)**2)
866 NC(9,21)=x(fim(j)) - x(inicio(j))/l(j)
867
868 !Valores de u,y no ponto medio da aresta 3
869 NC(9+i,2)=sinal2*1.875*(y(fim(i))-y(inicio(i)))/(l(i)**2)
870 NC(9+i,4)=-0.4375*(x(fim(i))-x(inicio(i)))*(y(fim(i))-y(inicio(i)))/(l(i)
871 )**2)
872 NC(9+i,5)=-0.4375*(x(fim(i))-x(inicio(i)))*(y(fim(i))-y(inicio(i)))/(l(i)
873 )**2)
874 NC(9+i,10)=sinal1*0.03125*(y(fim(i))-y(inicio(i)))*(x(fim(i))-x(inicio
875 (i))**2)/(l(i)**2)
876 NC(9+i,13)=sinal1*0.0625*(x(fim(i))-x(inicio(i)))*(y(fim(i))-y(inicio
877 (i))**2)/(l(i)**2)
878 NC(9+i,16)=sinal1*0.03125*(y(fim(i))-y(inicio(i)))*(y(fim(i))-y(inicio
879 (i))**2)/(l(i)**2)
880 NC(9+i,17)=sinal2*0.03125*(y(fim(i))-y(inicio(i)))*(y(fim(i))-y(inicio
881 (i))**2)/(l(i)**2)
882 NC(12,21)=(x(fim(i)) - x(inicio(i)))/l(i)
883
884 End if
885 End do
886 End Subroutine
887
888

```



```

beta.f90
Page 17 of 27
Thu 26 Jan 2017 08:18:28 PM BRST

893 Double precision, intent(out) :: P(n,n)
894 Integer, intent(in) :: pot (21,2)
895 Integer, intent(in) :: grau aprox
896
897 ! Variaveis locais
898 Integer :: n,k,i,l
899 Double precision :: numerador,denominador !
900 !var auxiliares, pois Fat é fç inteira. o quociente tava dando um num
901 inteiro.
902 !n é a dimensao de P, e depende do grau do polinomio que sera integrado.
903 !n=21 se grau aprox =5
904 !n=10 se grau aprox =3
905 !Essas sao as duas possibilidades nesse programa
906
907 i=(grau aprox+2)*(grau aprox+1)/2 ! soma de n+1 elementos da p.a. de
908 razao 1, cujo 1º elemento é 1.
909 Do k=1,i
910 Do i=1,i
911 numerador=(Fat(pot(k,1)+pot(i,1))*Fat(pot(k,2)+pot(i,2)))
912 denominador=(Fat(pot(k,1)+pot(i,1)+pot(k,2)+pot(i,2)+2))
913 P(k,i)=numerador/denominador
914 End do
915 End do
916
917 CONTAINS
918 Integer Function Fat(n) !Funcão que calcula o fatorial de um
919 numero inteiro >= 0
920
921 Implicit none
922 Integer, intent (in) :: n
923 Integer :: produto, i
924
925 produto=1
926 Do i=1,n
927 produto=produto*i
928 End do
929 Fat=produto
930 End Function Fat
931
932
933 End Subroutine Monta matriz P
934
935 Subroutine Monta_matriz_F(F,F,n,nnos,nospe,vi,x,y)
936
937 Implicit none
938 Double precision, intent(out) :: F(1:n,1:n)
939 Double precision, intent(in) :: x(nnos), y(nnos)
940 Integer, intent(in) :: vi(nospe)
941 Integer, intent(in) :: n, nospe, nospe
942
943 ! Variaveis locais
944 Integer :: i, ierr
945 Double precision :: x_(1:3), y_(1:3)
946
947 x (3)=x(vi(3))-x(vi(1))
948 x_(2)=x(vi(2))-x(vi(1))
949 y (3)=y(vi(3))-y(vi(1))
950 y_(2)=y(vi(2))-y(vi(1))
951
952 F(1:n,1:n)=0.000
953
954 Do j=1,6

```

- 17 -

```

beta.f90
Page 18 of 27
Thu 26 Jan 2017 08:18:28 PM BRST

955 End do
956
957 Do j=1,3
958 F(6+j,6+j)=x_(2)
959 F(9+j,9+j)=y_(3)
960
961 F(6+j,9+j)=y_(2)
962 F(9+j,6+j)=x_(3)
963
964 F(12+j,12+j)=x_(2)**2
965 F(12+j,15+j)=2*x_(2)*y_(2)
966 F(12+j,18+j)=y_(2)**2
967
968 F(15+j,12+j)=x_(2)*x_(3)
969 F(15+j,15+j)=x_(2)*y_(3)+x_(3)*y_(2)
970 F(15+j,18+j)=y_(2)*y_(3)
971
972 F(18+j,12+j)=x_(3)**2
973 F(18+j,15+j)=2*x_(3)*y_(3)
974 F(18+j,18+j)=y_(3)**2
975
976 End do
977 End Subroutine Monta_matriz_F
978
979
980 !-----Montagem da matriz de massa elementar Mi-----!
981 Subroutine Monta_matriz_Mi (Ji,F,NC,P,C,Mi)
982
983 Implicit none
984 !Variaveis dummy
985 Double precision, intent (in) , dimension (21,21) :: F,P,C,NC
986 Double precision, intent (out), dimension (21,21) :: Mi
987 Double precision, intent (in) :: Ji
988
989 !Variaveis locais
990 Integer :: i,j,k
991 Double precision, dimension (21,21) :: Aux,Aux simetrica
992
993 Aux=P ! Matriz auxiliar para que P não se modifique nesta função e possa
994 ser usada por outras
995
996 Call Calcula_matriz_s semelhante(C,Aux,21) ! Aux recebe C^T *Aux* C
997 Call Calcula_matriz_s semelhante(F,Aux,21) ! Aux recebe F^T *Aux* F
998 Call Calcula_matriz_s semelhante(NC,Aux,21) ! Aux recebe F^T *Aux* F
999
1000 ! Simetrizando a matriz Aux..
1001 !Isso é necessário pois o produto por F e por C não preservou a simetria
1002 de P
1003
1004 Aux simetrica=0.5*(transpose(Aux)+Aux)
1005
1006 Mi=Ji*Aux simetrica
1007
1008 ! Teste de simetria de Mi
1009 Do i=1,21
1010 Do j=i,21
1011 if (Mi(i,j) .ne. Mi(j,i)) print*,i,j,"Matriz Mi nao é simetrica"
1012 if (abs (Mi(i,i)-Mi(j,i)) >= 0.0000001) Print*, "Matriz Mi não é
1013 simetrica. Diferença no elemento",i,i
1014 End do
1015 End do
1016
1017

```

- 18 -

```

beta.f90
Page 19 of 27
Thu 26 Jan 2017 08:18:28 PM BRST

1019
1020 !-----Montagem da matriz de rigidez elementar Si-----!
1021 Subroutine Monta_matriz_Si (Ji,F,P,C,NC,Si,sigma, x,y,vi,nnos,nospe)
1022
1023 Implicit none
1024
1025 Double precision, intent(in), dimension (21,21) :: F,NC,C
1026 Double precision, intent(in), dimension (10,10) :: P
1027 Double precision, intent(out) :: Si(21,21)
1028 Double precision, intent(in) :: Ji, sigma
1029 Double precision, intent(in) :: x(nnos), y(nnos)
1030 Integer, intent(in) :: nnos, nospe, vi(nospe)
1031
1032 !Variaveis locais
1033 Integer :: i, j
1034 Double Precision, dimension (10,21) :: Dxx,Dyy,Dxy ! ! Matrices do
1035 operador derivação
1036 Double Precision, dimension (21,21) :: A,B,G,I 1.I 2.I 3.I 4.I 5.I 6.I
1037 matrices auxiliares
1038 Double precision :: a1,a2,a3,a4,a5,a6, f1, f2, f3
1039 Double Precision, dimension (10,10) :: Aux
1040
1041 !Definição de Dxx, Dyy e Dxy, as matrices de derivação
1042 Dxx=0.00
1043 Dyy=0.00
1044 Dxy=0.00
1045
1046 Dxx(1,4)=-2.00
1047 Dxx(2,7)=6.00
1048 Dxx(4,11)=-12.00
1049 Dxx(7,16)=-20.00
1050
1051 Dxx(3,8)=Dxx(1,4)
1052 Dxx(6,13)=Dxx(1,4)
1053 Dxx(10,19)=Dxx(1,4)
1054 Dxx(5,12)=Dxx(2,7)
1055 Dxx(9,18)= Dxx(2,7)
1056 Dxx(8,17)=Dxx(4,11)
1057
1058 Dxy(1,5)=1.00
1059 Dxy(2,8)=2.00
1060 Dxy(4,12)=3.00
1061 Dxy(5,13)=4.00
1062 Dxy(8,18)=6.00
1063
1064 Dxy(3,9)=Dxy(2,8)
1065 Dxy(6,14)=Dxy(4,12)
1066 Dxy(10,20)=Dxy(5,13)
1067 Dxy(7,17)=Dxy(5,13)
1068 Dxy(9,19)=Dxy(8,18)
1069
1070 Dyy(1,6)=-2.00
1071 Dyy(3,10)=6.00
1072 Dyy(6,15)=-12.00
1073 Dyy(10,21)=-20.00
1074
1075 Dyy(2,9)=Dyy(1,6)
1076 Dyy(4,13)=Dyy(1,6)
1077 Dyy(7,18)=Dyy(1,6)
1078 Dyy(5,14)=Dyy(3,10)
1079 Dyy(8,19)= Dyy(3,10)
1080
1081

```

- 19 -

```

beta.f90
Page 20 of 27
Thu 26 Jan 2017 08:18:28 PM BRST

1083
1084 ! Matriz da forma quadratica da Integral do quadrado de wxx
1085 Aux=P ! P é de dim 10
1086
1087 A=matmul(matmul(transpose(Dxx),Aux),Dxx) ! A tem dim 21
1088
1089 Call Calcula_matriz_s semelhante(C,A,21)
1090 Call Calcula_matriz_s semelhante(F,A,21)
1091 Call Calcula_matriz_s semelhante(NC,A,21)
1092
1093 I 1=0.500*(transpose(A)+A)
1094 ! Matriz da forma quadratica da Integral do quadrado de wyy
1095 Aux=P
1096
1097 A=matmul(matmul(transpose(Dyy),Aux),Dyy) ! A tem dim 21
1098 Call Calcula_matriz_s semelhante(C,A,21)
1099 Call Calcula_matriz_s semelhante(F,A,21)
1100 Call Calcula_matriz_s semelhante(NC,A,21)
1101
1102 I 6=0.500*(transpose(A)+A)
1103 ! Matriz da forma quadratica da Integral do quadrado de wxy
1104 Aux=P
1105
1106 A=matmul(matmul(transpose(Dxy),Aux),Dxy) ! A tem dim 21
1107 Call Calcula_matriz_s semelhante(C,A,21)
1108 Call Calcula_matriz_s semelhante(F,A,21)
1109 Call Calcula_matriz_s semelhante(NC,A,21)
1110
1111 I 4=0.500*(transpose(A)+A)
1112 ! Matriz da forma bilinear da Integral do quadrado de wvy*wxx
1113 !Para I 4 ser simetrica, ela deve ser montada considerando a soma
1114 (Dxx^T)*P*Dvy + (Dvy^T)*P*Dxx
1115
1116 Aux=P
1117
1118 A=matmul(matmul(transpose(Dxx),Aux),Dvy) ! A tem dim 21
1119 B=matmul(matmul(transpose(Dvy),Aux),Dxx) ! B tem dim 21
1120 G=0.500*(A+B)
1121
1122 Call Calcula_matriz_s semelhante(C,G,21)
1123 Call Calcula_matriz_s semelhante(F,G,21)
1124 Call Calcula_matriz_s semelhante(NC,G,21)
1125 I_3=0.500*(transpose(G)+G)
1126
1127 ! Matrices I 5 e I 6 são novas, para o caso da aproximação de quinto
1128 grau ser feita diretamente no triangulo padrão
1129
1130 Aux=P
1131
1132 A=matmul(matmul(transpose(Dxx),Aux),Dxy) ! A tem dim 21
1133 B=matmul(matmul(transpose(Dxy),Aux),Dxx) ! B tem dim 21
1134 G=0.500*(A+B)
1135
1136 Call Calcula_matriz_s semelhante(C,G,21)
1137 Call Calcula_matriz_s semelhante(F,G,21)
1138 Call Calcula_matriz_s semelhante(NC,G,21)
1139 I_2=0.500*(transpose(G)+G)
1140
1141 Aux=P
1142
1143 A=matmul(matmul(transpose(Dvy),Aux),Dxy) ! A tem dim 21
1144 B=matmul(matmul(transpose(Dxy),Aux),Dvy) ! B tem dim 21
1145 G=0.500*(A+B)

```

- 20 -


```

beta.f90
Page 21 of 27
Thu 26 Jan 2017 08:18:28 PM BRST

1146
1147 Call Calcula matriz semelhante(C,G,21)
1148 Call Calcula matriz semelhante(F,G,21)
1149 Call Calcula matriz semelhante(HC,G,21)
1150 I 5=0.500*(transpose(G)+G)
1151
1152 ! Fim da montagem das matrizes auxiliares
1153
1154 ! Definição dos coeficientes para a montagem de Si
1155
1156 f1=(x(vi(3))-x(vi(1)))**2 + (y(vi(3)) - y(vi(1)))**2
1157 f2=(x(vi(2)) - x(vi(1)))*(x(vi(3)) - x(vi(1))) + (y(vi(2)) - y(vi(1)))*y(vi(3)
1158 ) - (x(vi(1)) - x(vi(1)))**2 + (y(vi(2)) - y(vi(1)))**2
1159 f3=(x(vi(2))-x(vi(1)))**2 + (y(vi(2)) - y(vi(1)))**2
1160
1161 a1=(f1**2)/Ji**3
1162 a2=-4*f2*f1/Ji**3
1163 a3=2*(f2**2 + sigma*(Ji**2))/Ji**3
1164 a4=(4*f3**2+2*(1-sigma)*Ji**2)/Ji**3
1165 a5=-4*f2*f3/Ji**3
1166 a6=f3**2/Ji**3
1167
1168 Si=a1*I 1+a2*I 2+a3*I 3+a4*I 4+a5*I 5+a6*I 6
1169
1170 ! Teste de simetria das matrizes de rigidez
1171 Do i=1,21
1172 Do j=i,21
1173 If (Si(i,j) .ne. Si(j,i)) Print*,i,j,"Matriz Si nao é simetrica"
1174 If (abs(M(i,i) - M(i,i))) >= 0.0000001 Print*, "Matriz Mi não é
1175 simetrica. Diferença no elemento",i,j
1176 End do
1177 End do
1178
1179 End Subroutine Monta_matriz_Si
1180
1181
1182 !-----Monta vetor de variaveis nodais
1183
1184 !Essa subrotina monta um vetor ui, para cada triangulo i, análogo ao
1185 vetor v1 que relaciona os
1186 índices locais e globais dos nós; mas ui considera todas as variáveis
1187 incidentes em cada nó,
1188 !Dessa forma a dimensão de ui é 21, o numero de variáveis totais por
1189 elemento
1190 !As variáveis estão aqui ordenadas como nas matrizes elementares:
1191 !u1,u2,u3,ux1,ux2,ux3,uy1,uy2,uy3, ..., uyy1,uyy2,uyy3, e as derivadas
1192 normais de u nos pontos medios das arestas.
1193
1194 Subroutine Monta Var nodais (vi,ui,nvertices,nv vertice)
1195 Implicit none
1196 Integer, intent(in) :: vi(6)
1197 Integer, intent(in) :: ui(21)
1198 Integer, intent(in) :: nvertices,nv_vertice !numero total de vertice da
1199 malha e numero de variáveis por vertice
1200
1201 ! Var locais
1202 Integer :: l,i,k

```

- 21 -

```

beta.f90
Page 22 of 27
Thu 26 Jan 2017 08:18:28 PM BRST

1205 if (k .le. 3*nv_vertice) then ! Então estamos sobre os vertice
1206 l=i+int((k-1)/3)
1207 i=l+mod((k-1),3)
1208 nvertices*(l-1)
1209 else ! Caso contrarios, estamos sobre arestas
1210 i=4+ mod(k-1,3)
1211 ui(k)=-vi(i) + nvertices*(nv_vertice-1)
1212 end if
1213
1214 End do
1215
1216 End Subroutine Monta Var nodais
1217
1218 Subroutine Monta matrizes globais(S ,M ,Si,Mi,ui,dimensao)
1219 Implicit none
1220 Integer, intent(in) :: dimensao,ui(21)
1221 Double Precision, intent(in) :: Si(21,21),Mi(21,21)
1222 Double Precision, intent(inout) :: S (dimensao,dimensao),M (dimensao,
1223 dimensao)
1224 ! Variáveis locais
1225 Integer :: l,k
1226
1227 Do l=1,21
1228 Do k=l,21
1229 !print*, "posições nao nulas da matriz de massa:",vi(l),vi(k)
1230 S (ui(k),ui(l))= S (ui(k),ui(l)) + Si(k,l)
1231 M (ui(k),ui(l))= M (ui(k),ui(l)) + Mi(k,l)
1232 End do
1233 End do
1234
1235 End Subroutine Monta matrizes globais
1236
1237 !-----CONTABILIZAR NA MONTAGEM DAS MATRIZES, AS CONDIÇÕES DE
1238 CONTORNO-----
1239 Subroutine Contabiliza condicoes de contorno (S ,M ,fix,nnos,
1240 contabilizou_cc,r,dimensao,nvertices,nv_fix,nm_fix)
1241 Implicit none
1242 Integer, intent(in) :: nnos,fix(nnos),r,dimensao,nvertices, nv_fix,nm_fix
1243 Integer, intent(out) :: contabilizou_cc
1244 Double precision, intent(inout) :: M (dimensao,dimensao), S (dimensao,
1245 dimensao)
1246 !Variáveis locais
1247 Integer :: i,j,k,n, ierr ! nv_fix: numero de vertice de triangulos q
1248 estão fixos e nm_fix: numero de ptos medios q estão fixos na malha
1249 Integer, allocatable :: eliminar(:) ! matriz que contém os
1250 índices das variáveis nodais que serao eliminadas
1251 !-----Condição de Pontos fixos,
1252 do bordo ou outros -----
1253 ! Utilizando a info dos vértices que estão fixos na montagem das
1254 matrizes: As linhas e colunas relativas aos vértices que estão
1255 fixos são deletadas, uma vez que o valor da função nesses pontos já é
1256 conhecido, e não é necessário resolver o problema para esses pontos.

```

- 22 -

```

beta.f90
Page 23 of 27
Thu 26 Jan 2017 08:18:28 PM BRST

1262 !o valor de w e de suas primeiras derivadas: w,wx,wy, e dw/dn,
1263 !(este é o valor nos pontos medios das arestas)
1264 !Nesse caso, para cada vertice fixo, que for vertice de triangulo, temos
1265 que excluir as linhas da matriz que correspondem aos valores
1266 de w,wx,wy nesse vertice, i.e., para cada vertice i que for vertice de
1267 triangulo, temos 3 linhas e colunas para excluir.
1268 !Para cada vertice que for pto medio de arestas, 1 linha e 1 coluna.
1269
1270 print*,"Contabilizando as condicoes de contorno, r=",r
1271 n=3*nv_fix+nm_fix
1272
1273 allocate (eliminar(1:n),varnod_eliminar(4,nnos), stat = ierr)
1274 if (ierr/=0) then
1275 Print*,"Erro de alocação do variavel eliminar e varnod_eliminar"
1276 stop
1277 end if
1278 !montando o vetor eliminar, das linhas e colunas que serao eliminadas.
1279 esse vetor tem tamanho nv_fix*3+nm_fix
1280 Do i=1,nvertices
1281 if (fix(i).eq. 1) then ! se o vertice i esta fixo,
1282 varnod_eliminar(1,k)=i
1283 Do i=0,2
1284 eliminar(k+nv_fix*i)=nvertices*i ! quando em eliminar, o valor
1285 #, nas posições das linhas que serao eliminadas.
1286 varnod_eliminar(j+2,k)= nvertices*i
1287 End do
1288 k=k+1
1289 end if
1290 End do
1291 k=1
1292 ! Laco no numero de nós que são pontos medios de triangulos. Verificação
1293 daqueles que estão fixos
1294 Do i=nvertices+1,nnos
1295 if (fix(i).eq.1) then
1296 eliminar(k+3*nv_fix)=i+5*nvertices !5=nv_vertice-1 esse 3 sao de
1297 quantas variáveis por vertice iremos eliminar, no caso sao só 3, o
1298 valor de w de suas primeiras derivadas
1299 varnod_eliminar(1,k+nv_fix)=i
1300 varnod_eliminar(2,k+nv_fix)=i+5*nvertices
1301 !print*,"posicao",k+3*nv_fix,"do vetor eliminar
1302 recebe",nvertices*5+i
1303 k=k+1
1304 End if
1305 End do
1306 Do i=n,1,-1 ! laco decrescente no numero de variaveis, para o
1307 redimensionamento da matriz
1308 if (eliminar(i).ne. dimensao) then ! se eliminar(i) nao for a ultima
1309 linha/coluna então faremos o deslocamento das linhas e colunas abaixo
1310 e a direita de eliminar(i) até dimensao-1.
1311 !print*,"Vertice",eliminar(i),"esta fixo." ! Deslocamos a matriz
1312 uma unidade para cima e para a esquerda, respect.
1313 Do i=eliminar(i),dimensao-1
1314 S (i,:)=S (i+1,:)
1315 S (:,i)=S (:,i+1)
1316 M (i,:)=M (i+1,:)
1317 M (:,i)=M (:,i+1)
1318 End do
1319 End if
1320 End do

```

- 23 -

```

beta.f90
Page 24 of 27
Thu 26 Jan 2017 08:18:28 PM BRST

1316 contabilizou_cc=1
1317
1318 End Subroutine Contabiliza condicoes de contorno
1319
1320 !-----Redimensiona matrizes-----
1321 Subroutine Redimensiona_matrizes(dimensao,r,M,S,M,S_)
1322 Implicit none
1323 Integer, intent(in) :: dimensao,r
1324 Double Precision, intent(in) :: M (dimensao,dimensao),S (dimensao,dimensao)
1325 Double precision, intent(out) :: M(r,r),S(r,r)
1326 !Variáveis locais
1327 Integer :: i,j
1328 print*,"Redimensionando as matrizes, de dim",dimensao,"para",r
1329 Do i=1,r
1330 S (i,:)=S (i,j)
1331 M (i,i)=M (i,i)
1332 End do
1333
1334 ! Teste de simetria das matrizes de massa e rigidez
1335 Do i=1,r
1336 Do j=i,r
1337 if (S(i,i).ne.S(j,i)) Print*,"Matriz S não é simetrica. Erro no
1338 elemento S", i, j
1339 if (M(i,i).ne.M(j,i)) Print*,"Matriz M não é simetrica.",M(i,i),"e
1340 diferente de",M(i,i)
1341 End do
1342 End do
1343
1344 End subroutine Redimensiona matrizes
1345
1346 !-----Matrizes
1347 semelhantes-----
1348 Subroutine Calcula matriz semelhante(A,S,n)
1349 ! Transforma a Matriz S numa matriz semelhante a ela. S= A*T*S*A
1350 Implicit none
1351 Integer :: n
1352 Double precision, dimension(n,n) :: A,S
1353 ! Variáveis locais
1354 Double precision, dimension (n,n) :: M
1355
1356 M=matmul(transpose(A),S)
1357 S=matmul(M,A)
1358
1359 End subroutine Calcula_matriz_semelhante
1360
1361 !----- Subrotina GERAL para escrever uma matriz quadrada num
1362 arquivo-----
1363 Subroutine Escreve Matriz em Arquivo (M,dimensao,unidade,nome_arquivo,stat)
1364 Implicit none
1365 Double Precision :: M(dimensao,dimensao)

```

- 24 -

```

beta.f90
Page 25 of 27
Thu 26 Jan 2017 08:18:28 PM BRST

1379 Integer :: unidade,dimensao
1380
1381 ! Variaveis locais
1382 Integer:: i,j
1383
1384 Open(unidade,file=nome_arquivo,status=stat)
1385 ! Write(unidade,*), "Dimensao da matriz:",dimensao
1386 Write(unidade,*)
1387 Do i=1,dimensao
1388   ! Write(unidade,*), "Coluna",i
1389   Do j=1,dimensao
1390     ! Write(unidade, '(21F12.3)'), M(i,:);
1391     ! Write(unidade, '(21F7.4)'), M(i,:);
1392     Write(unidade,*) M(i,i)
1393   End do
1394 End do
1395
1396 ! escrever em forma de matriz:
1397 Write(unidade,*)
1398 Write(unidade,*)
1399 Write(unidade,*)
1400 Write(unidade,*)
1401 Do i=1,dimensao
1402   Write(unidade, '(21F9.5)'), M(i,1:21)
1403   ! Write(44, '(21F10.6)'), M(i,20:35)
1404 End do
1405
1406 Close(unidade)
1407
1408 End Subroutine Escreve_matriz_em_arquivo
1409
1410 !-----REGISTRO DAS MATRIZES DE RIGIDEZ E DE MASSA EM ARQUIVO ----->
1411 .txt-----!
1412
1413 Subroutine Escreve_matrizes(r,M,S)
1414
1415 Implicit none
1416 Integer:: r
1417 Double precision:: M(r,r), S(r,r)
1418
1419 !Variaveis locais
1420 Integer:: i,j
1421
1422 Open(43, file=
1423   '/home/daniela/Documents/fortran/placa conforme nova/Entrada/Matriz rigid >
1424   ez.txt', status='old')
1425 Open(44, file=
1426   '/home/daniela/Documents/fortran/placa conforme nova/Entrada/Matriz massa >
1427   .txt', status='old')
1428 Write(43,*) "Dimensao da matriz:",r
1429 Write(44,*) "Dimensao da matriz:",r
1430 Do j=1,r
1431   ! Write(44,*) "Coluna",j
1432   Do i=1,r
1433     Write(43,*) S(i,i)
1434     Write(44,*) M(i,i)
1435   ! Write(44, '(F23.12)'), M(i,i)
1436 End do
1437 End do
1438

```

- 25 -

```

beta.f90
Page 26 of 27
Thu 26 Jan 2017 08:18:28 PM BRST

1439 ! escrever em forma de matriz:
1440 Write(43,*)
1441 Write(43,*)
1442 Write(44,*)
1443 Write(44,*)
1444 Do i=1,21
1445   Write(43, '(21F10.6)'), S(i,:)
1446   Write(44, '(21F10.6)'), M(i,11:21)
1447 End do
1448
1449 End subroutine Escreve_matrizes
1450
1451 !-----IMPRESSÃO DOS AUTOVALORES E AUTOVETORES EM ARQUIVO ----->
1452 .txt-----!
1453
1454 Subroutine Imprime_autovetores(r,w,S)
1455
1456 Implicit none
1457 Integer, intent(in) :: r
1458 Double precision, intent(in) :: w(r),S(r,r)
1459
1460 !Variaveis locais
1461 Integer :: i,j
1462
1463 !Open(60, file='/home/daniela/Documents/fortran/placa conforme nova/Saida/A >
1464   utovetores.txt', status='old')
1465 !Write(60,*) r
1466 !Write(60,*) "Primeiro autovalor:",w(1)
1467 !Do i=1,25
1468   ! Write(60,*) w(i)
1469 !End do
1470
1471 Open(70, file=
1472   '/home/daniela/Documents/fortran/placa conforme nova/Saida/Autovetores.txt >
1473   ', status='old')
1474 Write(70,*) r
1475 Write(70,*) "Primeiro autovalor:",w(1)
1476 Write(70,*)
1477 Do i=1,25
1478   Write(70,*) w(i)
1479 End do
1480
1481 End subroutine Imprime_autovetores
1482
1483 !----- ARQUIVOS PARA O SCILAB (função >
1484   fec)-----!
1485 ! Só vale para o anzats linear. arrumar outra função do >
1486   scilab-----!
1487
1488 Subroutine Dados_plotagem(nedges,nnos,nele,x,y,S,T,r,fix)
1489
1490 Implicit none
1491 Integer, intent(in) :: nedges,nnos,r,nele, T(7,nele),fix(nnos)
1492 Double precision, intent(in) :: x(nnos), v(nnos), S(r,r)
1493
1494 ! Variáveis locais
1495 Integer :: i,i,k,l,p ! contadores
1496
1497 Open (50, file=
1498   '/home/daniela/Documents/fortran/placa conforme nova/Saida/coordxy02 scil >
1499   b.txt', status='old')
1500 p=nnos-nedges
1501 ! é o numero de

```

- 26 -

```

beta.f90
Page 27 of 27
Thu 26 Jan 2017 08:18:28 PM BRST

1495 !----- vertices da malha, sem considerar os pontos medios dos triangulos ----->
1496 Do i=1,p
1497   Write(50,*) x(i), y(i)
1498 End do
1499
1500 Open (51, file=
1501   '/home/daniela/Documents/fortran/placa conforme nova/Saida/T02 scilab.txt' >
1502   ', status='old')
1503 Do i=1,nele
1504   Write(51,*) T(1,i), T(2,i), T(3,i), T(4,i), T(5,i), T(6,i), T(7,i)
1505 End do
1506
1507 Open (52, file=
1508   '/home/daniela/Documents/fortran/placa conforme nova/Saida/autofunc02 scil >
1509   ab.txt', status='old')
1510
1511 !l=1
1512 Do k=1,25 ! escreve 25 das r autofunções
1513   l=1
1514   Do i=1,p
1515     !se o vertice estava fixo, escreva 0.0, caso contrario, escreva o >
1516     proximo elemento da matriz S
1517     if (fix(i).eq.1) then
1518       Write(52,*) 0.00
1519     else
1520       Write(52,*) S(l,k)
1521     end if
1522     l=l+1
1523   End do
1524 End do
1525
1526 Close(50)
1527 Close(51)
1528 Close(52)
1529
1530 End subroutine Dados_plotagem
1531
1532
1533

```

- 27 -

B.3 *Formulação de quinto grau - confome 18*

```

gama.f90
Page 1 of 26
Thu 26 Jan 2017 08:16:40 PM BRST

1 PROGRAM Dani
2
3 !-----
4 !**.....Elementos Finitos : Elemento trianqulo com
5 aproximação de quinto grau.....** !
6 grau: 2ª variação do elemento conforme de quinto
7
8 ! Neste caso, estamos impondo que o a derivada normal do polinomio de
9 quinto grau (que a principio tem grau 4) é um polinomio
10 cúbico. Dessa forma, as variáveis nodais dos vértices continuam
11 determinando tal polinomio cúbico, o que garante a continuidade
12 da derivada normal entre os elementos, caracterizando a conformidade
13 desse elemento.
14 ! Ainda, tal restrição, faz com que a derivada normal seja derivada
15 apenas pelas variáveis de vértices e portando
16 ela deixa de ser uma variável nodal. Tal variação do elemento de quinto
17 grau passa agora a ter apenas 18 coeficientes,
18 ao invés de 21 e assim, esperamos que o efeito numérico causado por essa
19 diminuição e pela uniformidade com relação à distribuição
20 das variáveis nodais sejam positivamente
21 relevante.
22
23 !
24 !
25 ! O objetivo deste programa é resolver o problema de autovalor
26 generalizado do tipo  $Ax=B(\lambda)x$  resultante da
27 discretização (via elementos finitos) da integral variacional para o
28 problema de autovalores do bilaplaciano,
29 com condição de contorno de Dirichlet e Newman homogêna. (Bordo
30 fixo)
31 ! O programa recebe informações sobre a malha que é utilizada na
32 aproximação/discretização e
33 monta as matrizes A e B, chamadas de matrizes de rigidez e massa,
34 respectivamente.
35 ! Para a resolução efetiva do problema de autovalor, utilizamos uma
36 subrotina do LAPACK: Linear Algebra Package.
37 ! Ao final, este programa prepara arquivos para a plotagem gráfica (via
38 Scilab) das soluções aproximadas obtidas.
39
40 !
41 !
42 ! *..... Subrotinas externas utilizadas - LAPACK:
43 .....*
44
45 ! - DSYGV(ITYPE, JOBZ, UPLO, N, A, LDA, B, LDB, W, WORK, lwork, info):
46 dupla precisão. Resolve um problema
47 de autovalor generalizado do tipo  $Ax=B(\lambda)x$ , onde A, e B são
48 matrizes simétricas e B é positiva definida
49
50 !
51 ! - DGETRF() : para fatoração
52 PLU
53
54 !
55 ! - dgetri(): para a inversão de matrizes, a partir da fatoração LU
56 obtida da função DGETRF
57 !
58 ! - dpotrf(): para a fatoração de
59 Cholesky
60
61 !
62
63
64
65
66
67
68
69
70
71
72
73
74
75
76
77
78
79
80
81
82
83
84
85
86
87
88
89
90
91
92
93
94
95
96
97
98
99
100
101
102
103
104
105
106
107
108
109
110
111
112
113
114
115
116
117
118
119
120
121
122
123
124
125
126
127
128
129
130
131

```

```

gama.f90
Page 2 of 26
Thu 26 Jan 2017 08:16:40 PM BRST

33 !
34 !-----
35
36 !'/home/daniela/Documents/Malha/triangle_02/Quar.1.ele' lab
37 !'/home/daniela/Documents/Malha/triangle_02/Quar.1.ele' casa
38 !'/home/posmap/daniela/Documents/Malha/triangle_02/Quar.1.ele' redeIME
39
40 Implicit none
41
42 !----- Variáveis globais da
43 modelagem-----
44
45 Integer :: nele,nnos,nospe,nedqes ! Parâmetros da malha: #de
46 elementos triangulares, #nós, #nós por elemento, #arestas,
47 respectivamente.
48 !São lidos nos arquivos externos
49 .ele, .node e .edge
50
51 Integer :: nv,vertice,nvertices !#variáveis nodais por vértice de
52 triângulo, #nós da malha que são vértices de triângulos.
53
54 Integer :: dimensao ! dimensao inicial das matrizes de massa e
55 rigidez globais
56
57 Integer, allocatable, dimension (:,:) :: T,edge !matriz que contém
58 parâmetros da malha: #de cada elemento triangular e seus
59 respectivos vertices segundo
60 a numeração global da malha
61
62 Integer, allocatable, dimension (:,:) :: fix, bordo ! vetor que armazena
63 a informação sobre o nós que ficarão fixos e sobre
64 os nós do bordo (marca 1 se o nó
65 está fixo ou é de bordo e marca 0
66 caso contrário), respectivamente.
67
68 Integer :: r ! dimensão das matrizes de massa e
69 rigidez depois das condições de contorno serem
70 contabilizadas.
71
72 Integer :: bordo fixo=1 !Condição de contorno: bordo fixo recebe os
73 valores 1, se o bordo for fixo ou 0, caso contrário.
74
75 Integer :: nv fix !nv fix é a quantidade de vertices fixos,
76 definido pela condição de contorno
77
78
79
80
81
82
83
84
85
86
87
88
89
90
91
92
93
94
95
96
97
98
99
100
101
102
103
104
105
106
107
108
109
110
111
112
113
114
115
116
117
118
119
120
121
122
123
124
125
126
127
128
129
130
131

```

```

gama.f90
Page 3 of 26
Thu 26 Jan 2017 08:16:40 PM BRST

78 Double precision, allocatable, dimension(:) :: w, work !w é um vetor
79 que recebe os r autovalores
80 Character :: jobz='V', uplo='U'
81 Integer :: info, itype=1, lda, ldb, lwork
82
83 !-----
84 !-----Início-----
85
86 nv,vertice = 6 ! # variáveis por vertice
87 nospe=3 ! # nós por elemento.
88 !Vamos ler apenas as informações dos 3 vértices de cada elemento
89
90 !-- Leitura de arquivos .edge, .node e .ele: Fornecem os parâmetros da
91 malha que serão usados para a alocação da memória para algumas variáveis
92 ----
93
94 !Leitura do arquivo .ele gerado pelo Triangle. Malha com ordem 2
95 Open(40,file='/home/daniela/Documents/Malha/triangle_02/quadrado.5.ele',
96 status='old')
97 Read(40,*) nele
98
99 !Leitura do arquivo .node gerado pelo Triangle
100 Open(41, file
101 '/home/daniela/Documents/Malha/triangle_02/quadrado.5.node', status='old')
102 Read(41,*) nnos
103
104 !Leitura do arquivo .edge gerado pelo Triangle - malha de ordem 2 !
105 Open(42, file=
106 '/home/daniela/Documents/Malha/triangle_02/quadrado.5.edge', status='old')
107 Read(42,*) nedqes
108
109 !-----
110 !-----
111
112 nvertices= nnos-nedqes
113 dimensao=6*nvertices
114
115 !----- Alocando as variáveis
116 alocáveis-----
117 allocate (T(1:4,1:nvertices), stat = ierr)
118 if (ierr/=0) then
119 print*, "Erro de alocação do variavel T"
120 stop
121 end if
122
123 allocate (bordo(1:nvertices), fix(1:nvertices), stat = ierr)
124 if (ierr/=0) then
125 print*, "Erro de alocação do variavel bordo"
126 stop
127 end if
128
129 allocate (x(1:nvertices), y(1:nvertices), stat = ierr)
130 if (ierr/=0) then
131 print*, "Erro de alocação das variáveis x e y"
132 stop
133 end if
134
135 allocate (edge(3,nedqes), normal(2,nedqes), stat = ierr)
136 if (ierr/=0) then
137 print*, "Erro de alocação do variavel edge e normal"
138 stop
139 end if
140
141
142
143
144
145
146
147
148
149
150
151
152
153
154
155
156
157
158
159
160
161
162
163
164
165
166
167
168
169
170
171
172
173
174
175
176
177
178
179
180
181
182
183
184
185

```

```

gama.f90
Page 4 of 26
Thu 26 Jan 2017 08:16:40 PM BRST

134 !-----
135
136 print*, "nvertices,nele,nedqes",nvertices,nele,nedqes
137
138 Call Le_arquivos(nele, nvertices, nedqes, x, v, bordo, T, edge)
139
140 Call Define_condicoes_contorno(nvertices,fix,bordo,dimensao, bordo_fixo,r,
141 nv fix) ! Varredura na malha, só diz respeito aos nós, e não às variáveis
142
143 !A partir daqui, o valor de r é conhecido e posso alocar as matrizes S e M
144 allocate (M(1:r,1:r), S(1:r,1:r), stat = ierr)
145 if (ierr/=0) then
146 print*, "Erro de alocação das variáveis S e M"
147 stop
148 end if
149
150 contabilizou_cc = 0
151
152 Call Define_vetores_normais(nedqes,nnos,edge,normal, x,y)
153
154 !-----FUNÇÃO PRINCIPAL: MONTAGEM DAS MATRIZES DE MASSA E RIGIDEZ
155 PARA O PROBLEMA DE AUTOVALOR-----
156 !-----Monta matrizes de rigidez e massa, locais e globais, bem como
157 todas as matrizes auxiliares necessárias-----
158
159 print*, "Entrando em monta matriz"
160 Call Monta_matrizes (nele, nospe,x, y, fix, T, S, M,r,contabilizou_cc,
161 nv,vertice, dimensao,nvertices,nv fix, nedqes,edge,normal)
162
163 print*, "Sai de monta matriz"
164
165 !---- Registro em arquivo das matrizes de Rigidez e de Massa que serão
166 usadas em dsygv -----
167
168 !Open(43,
169 file='/home/daniela/Documents/fortran/placa_conforme_18_coef/Matriz_rigid
170 ez.txt', status='old')
171 !Open(44,
172 file='/home/daniela/Documents/fortran/placa_conforme_18_coef/Matriz_massa
173 .txt', status='old')
174
175 !Call Escreve_Matrizes(r,M,S)
176
177 !-----
178 !-----
179
180
181
182
183
184
185
186
187
188
189
190
191
192
193
194
195
196
197
198
199
200
201
202
203
204
205
206
207
208
209
210
211
212
213
214
215
216
217
218
219
220
221
222
223
224
225
226
227
228
229
230
231

```

```

gama.f90
Page 5 of 26
Thu 26 Jan 2017 08:16:40 PM BRST

186
187 Print*, "info=",info ! Controle da função dsyav: info=0 indica
188 sucesso nos cálculos
189 print*, "primeiro autovalor", w(1)
190 if (info.ne.0) then
191 print*, "Problema de autovalor não resolvido"
192 stop
193 end if
194 ! Impressão dos autovalores e autovetores em arquivo
195 Call Imprime_autovetores(r,w,S)
196
197 print*, "entrei em dados plotagem"
198
199 ! Prepara arquivos para plotar gráficos no scilab
200 Call Dados_plotagem(nvertices,nele,x,v,S,T,r,fix)
201
202 print*, "Enfim, acabou!"
203
204 END PROGRAM Dani
205
206 !-----Subrotinas-----
207 Utilizadas-----
208 !-----LEITURA DE
209 ARQUIVOS-----
210 Subroutine Le_arquivos (nele, nvertices, nedges, x, v, bordo, T, edae)
211
212 Implicit none
213 Integer, intent(in) :: nele, nvertices, nedges
214 Integer, intent(out) :: T(1:4,1:nele) ! T é matriz (nospe+1)x(nele) que
215 na coluna i guarda o numero
216 !do triangulo i, e seus vértices
217 ! (i 1, i 2, i 3)
218 !nas linhas seguintes, segundo a
219 !numeração global da malha
220
221 Integer, intent(out) :: bordo(1:nvertices), edae(1:3,1:nedges) !As
222 posições desse vetor de inteiros recebem valores 0 ou 1, conforme o
223 vértice for ou não for de fronteira, respectivamente
224
225 Double precision, intent(out) :: x(1:nvertices), y(1:nvertices)
226 !Integer, intent(out) :: edae(1:3,1:nedges) ! matriz que guarda o
227 numero da aresta da malha e os pontos final e inicial dessas,
228 !nessa ordem, nas linhas
229 ! 1,2 e 3 respectivamente
230
231 ! Variáveis locais
232 Integer :: i
233 Double precision :: c,b
234
235 ! Leitura do arquivo .ele gerado pelo Triangle. Malha com ordem 2
236 Do j=1,nele
237 Read(40,*) T(1,i),T(2,i),T(3,i),T(4,i)
238 End do
239 Close(40)
240
241 !Leitura do arquivo .node gerado pelo Triangle
242 Do j=1, nvertices
243 Read (41,*) c, x(i), y(i),b, bordo(i) ! Nas malhas triangular
244 tri isosceles e retangulos, temos os quatro parametros
245 End do
246 Close (41)
247
248 !Leitura do arquivo .edge gerado pelo Triangle

```

```

gama.f90
Page 6 of 26
Thu 26 Jan 2017 08:16:40 PM BRST

242 End do
243 Close(42)
244
245 End subroutine Le_arquivos
246
247 !-----DEFINIÇÃO DOS VETORES
248 NORMAIS-----
249 Subroutine Define_vetores_normais(nedges,nnos,edae,norma1, x,v)
250
251 Implicit none
252 Integer, intent(in) :: nedges, nnos
253 Double precision, intent(in) :: x(1:nnos),y(1:nnos)
254 Integer, intent(in) :: edae(1:3,1:nedges)
255
256 Double precision, intent(out) :: normal(1:2,1:nedges) ! matriz de vetores
257 normais.
258 !Cada coluna i tem as
259 !coordenadas do i-ésimo vetor
260 !normal: (normal(1,i),normal(2,i))
261
262 !Variáveis locais
263 Integer :: i, ierr
264 Double precision, allocatable, dimension(:) :: norma
265 Double precision, allocatable, dimension(:,:) :: normal unitaria
266
267 allocate(normal unitaria(1:2,1:nedges), norma(1:nedges), stat=ierr)
268 if (ierr/=0) then
269 print*, "Erro na alocação da variável normal unitaria e norma"
270 stop
271 end if
272
273 !---Definindo as coordenadas x e y do i-ésimo vetor normal:
274 [normal(1,i);normal(2,i)]----
275 Do i=1,nedges
276 !A aresta i tem o pt inicial edae(2,i) e o pt final edae(3,i)
277 !As coordenadas desses pontos são [x(edae(2,i)); y(edae(2,i))] e
278 [x(edae(3,i)); y(edae(3,i))]
279 !As coordenadas dos vetores normais são definidas pela rotação da
280 aresta i, por um ângulo de 90 graus no sentido anti-horário
281
282 if(edae(2,i) .LT. edae(3,i)) then
283 normal(1,i)=y(edae(2,i))-y(edae(3,i))
284 normal(2,i)=x(edae(3,i))-x(edae(2,i))
285 end if
286
287 if (edae(2,i) .GT. edae(3,i)) then
288 normal(1,i)=y(edae(3,i))-y(edae(2,i))
289 normal(2,i)=x(edae(2,i))-x(edae(3,i))
290 end if
291 end do
292
293 !----- Tornando a normal unitária-----
294 Do i=1,nedges
295 norma(i) = sqrt(normal(1,i)**2 + normal(2,i)**2)
296 normal unitaria(1,i)=normal(1,i)/norma(i)
297 normal unitaria(2,i)=normal(2,i)/norma(i)
298
299 normal(1,i) = normal unitaria(1,i)
300 normal(2,i) = normal unitaria(2,i)
301 End do

```

```

gama.f90
Page 7 of 26
Thu 26 Jan 2017 08:16:40 PM BRST

301
302 !-----DEFINIÇÃO DAS CONDIÇÕES DE
303 CONTORNO-----
304 !Esta subrotina define as condições de contorno que serão utilizadas.
305 !Por enquanto, define quais nós da malha permanecerão fixos e guarda a
306 informação no vetor fix.
307 !Também conta o número de vértices fixo, e guarda em nv fix
308
309 Subroutine Define_condicoes_contorno(nvertices,fix,bordo,dimensao,
310 bordo_fixo,nv_fix)
311
312 Implicit none
313 Integer, intent(in) :: nvertices, bordo(nvertices),bordo_fixo, dimensao
314 Integer, intent(out) :: r, nv_fix, fix(nvertices)
315
316 !Variáveis locais
317 Integer :: i
318
319 if (bordo_fixo.eq.1) then
320 print*, "BORDO FIXO!"
321 fix(1:nvertices)=bordo(1:nvertices)
322 end if
323
324 nv_fix=0
325
326 !Laco no numero de vertices de triangulos. Verificação da quantidade dos
327 que estão fixos.
328 Do i=1,nvertices
329 if ((fix(i).eq. 1) ) then ! se o vertice i esta fixo,
330 nv_fix=nv_fix+1
331 end if
332 End do
333
334 print*, "nv fix, nvertices, dimensao", nv_fix, nvertices, dimensao
335 r=dimensao-3*nv_fix ! dimensao das matrizes S e M globais, após
336 contabilizar as condições de contorno.
337
338 End Subroutine Define_condicoes_contorno
339
340 !-----MONTAGEM DAS MATRIZES DE MASSA E RIGIDEZ
341 GLOBAIS-----
342 Subroutine Monta_matrizes (nele, nospe, x, y, fix, T, S, M, r, contabilizou_cc,
343 nv_vertice, dimensao, nvertices, nv_fix, nedges, edae, normal)
344
345 Implicit none
346 Integer, intent(in) :: nele, nospe, nv_fix, nedges
347 Integer, intent(in) :: T(1:4,1:nele), fix(1:nvertices), edae(3,nedges)
348 Double precision, intent(in) :: x(1:nvertices), y(1:nvertices), normal(2,
349 nedges)
350 Double precision, intent(out) :: S(1:r,1:r), M(1:r,1:r)
351 Integer, intent(out) :: contabilizou_cc
352 Integer, intent(in) :: nv_vertice, nvertices, dimensao, r ! dimensao é a
353 dimensao das matrizes de massa de e de rigidez, antes da contabilização
354 das condições de contorno
355
356 !---Variáveis locais-----
357
358
359
360

```

```

gama.f90
Page 8 of 26
Thu 26 Jan 2017 08:16:40 PM BRST

361 e massa elementares
362 Double Precision, Dimension(1:21,1:21) :: P ! Matrizes auxiliares na
363 montagem de M1.
364 Double Precision, Dimension(1:18,1:18) :: F
365 Double Precision, Dimension(1:21,1:18) :: C
366 Double precision, dimension(1:10,1:10) :: P1 ! Matrizes auxiliares na
367 montagem de S1.
368 Double precision, allocatable, dimension (:,:) :: S, M ! matrizes
369 auxiliares para a montagem de M e S (globais)
370 Integer :: pot(1:21,1:2) ! Matriz que vai guardar as potencias de x e y
371 para uso na montagem das matrizes P,P1, E e E1.
372 ! A potencia de x está na coluna 1 e a do y, na
373 coluna 2
374
375 Integer, allocatable, dimension(:) :: vi ! Vetor auxiliar que guarda os
376 vertices do mesmo triangulo segundo a numeração global da malha.
377 Integer :: n_i(3), u_i(1:18) ! Vetor auxiliar que guarda as posições
378 globais de cada variável nodal do i-ésimo triangulo.
379 ! Será usado na montagem das matrizes globais
380
381 Integer :: i,i,k, ierr ! contadores, controle de alocação de memória
382 Double precision, parameter :: sigma = 0.300
383
384 allocate(S (1:dimensao,1:dimensao), M (1:dimensao,1:dimensao), vi(1:nospe),
385 stat=ierr)
386 if(ierr/=0) then
387 print*, "Erro na alocação das variáveis M ,S , e vi"
388 stop
389 end if
390
391 print* "Dimensao inicial da matriz global:",dimensao
392 !Open(102,
393 file='/home/daniela/Documentos/fortran/placa conforme grau5/Matriz massa el
394 ementar.txt', status='old')
395 !Open(103, para a montagem de M e S (globais)
396 file='/home/daniela/Documentos/fortran/placa conforme grau5/Espectro.txt',
397 status='old')
398
399 !Inicialização de S e M com zero
400 S (1:dimensao, 1:dimensao)= 0.000
401 M (1:dimensao, 1:dimensao)= 0.000
402
403 !Montagem da matriz pot (potências de x e y)
404 k=1
405 Do i=0,5 ! 5 é grau da aproximação
406 Do i=0,i
407 !print*, "k", k
408 pot(k,1)=i
409 pot(k,2)=i
410 k=k+1
411 End do
412 End do
413
414 !Montagem da Matriz das integrais P e P1. Essas matrizes são constantes,
415 não depende da geometria da malha.
416 Call Monta_matriz_P (P1,pot,10) ! para ser usada em S1
417 Call Monta_matriz_P (P,pot,21) ! para ser usada em M1
418 !Call Escreve_Matriz em Arquivo (P,21,60,"Matriz P.txt","old")
419
420 !-----LACO NO NÚMERO DE TRIANGULOS
421 -----

```

```

gama.f90
Page 9 of 26
Thu 26 Jan 2017 08:16:40 PM BRST

411 Do j=1,nospe
412 vi(i)=T(i+1,i) !Os vertices do trianulo i são: T(2,i), T(3,i), T(4,i)
413 End Do
414
415 Ji=(x(vi(2))-x(vi(1)))*(y(vi(3))-y(vi(1))) - (x(vi(3))-x(vi(1)))*(y(vi(2)
416 ))-y(vi(1))) ! Determinante da matriz de mudança de coordenadas
417
418 !-----Definição do vetor n i que guarda o indice global do vetor
419 normal, nas posições locais 1,2 ou 3:
420 !Vamos estabelecer uma numeração local para os vetores normais globais.
421 cada elemento triangular i tem 3 vetores normais: n_i(j), j=1,2,3
422 j=1
423 Do while (i.LE.nedges)
424 if( ((vi(2).eq.edge(2,j)).and.(vi(2).eq.edge(3,j))) .or. ((vi(2)
425 .eq.edge(2,i)).and.(vi(1).eq.edge(3,i))) then
426 n i(3)=1 !n i(3) é vetor oposto ao vertice 3 e é o i-ésimo
427 vetor normal da tabela normal
428 j=edges+1
429 else
430 j=i+1
431 End if
432 End do
433 j=1
434 Do while (i.LE.nedges)
435 if( ((vi(2).eq.edge(2,i)).and.(vi(3).eq.edge(3,i))) .or. ((vi(3)
436 .eq.edge(2,j)).and.(vi(2).eq.edge(3,j))) then
437 n i(1)=1 !n i(1) é vetor oposto ao vertice 1 e é o j-ésimo
438 vetor normal da tabela normal (tal tabela seque a indexação da
439 lista de arestas)
440 j=edges+1
441 else
442 j=i+1
443 End if
444 End do
445 j=1
446 Do while (i.LE.nedges)
447 if( ((vi(1).eq.edge(2,i)).and.(vi(3).eq.edge(3,i))) .or. ((vi(3)
448 .eq.edge(2,j)).and.(vi(1).eq.edge(3,j))) then
449 n i(2)=1 !n i(2) é vetor oposto ao vertice 2 e é o i-ésimo vetor
450 normal da tabela normal
451 j=edges+1
452 else
453 j=i+1
454 End if
455 End do
456
457 ! O trianulo i,tem vetores normais, n i(i), i=1,2,3 e estes tem
458 coordenadas a(i),b(j), j=1,2,3
459 Do i=1,3
460 a(i)=normal(1,n i(i))
461 b(j)=normal(2,n i(j))
462 End do
463
464 Call Monta_Var_nodais (vi,ui,nvertices,nv_vertice) ! Monta Vetor que
465 guarda o indice global de cada variavel nodal do trianulo Ti, em suas
466 posições 1,2,...,21
467
468 Call Monta matriz C (C(Ji,a,b,nvertices,x,v,vi,nospe,i) ! Montagem da
469 matriz C, que relaciona as variáveis nodais (01,02,...,018) com os
470 parâmetros (a1, a2, ..., a21) da aproximação. a=C*u
471
472 Call Monta matriz F (F,18,nvertices,nospe,vi,x,y) ! Matriz que
473 relaciona o vetores de variáveis nodais u e ũ.

```

- 9 -

```

gama.f90
Page 10 of 26
Thu 26 Jan 2017 08:16:40 PM BRST

462
463 Call Monta matriz Si (Ji,P1,C,F,Si,sigma,x,v,vi,nvertices,nospe) ! Matriz
464 de rigidez elementar
465
466 !----Montagem das matrizes de rigidez e massa globais S e M a partir
467 de Si e Mi:-----!
468 Call Monta matrizes globais(S ,M ,Si,Mi,ui,dimensao)
469
470 End Do !----- FIM DO LACO (em i) NO NUMERO DE
471 TRIANGULOS-----!
472
473 !Close(102) ! Fechando o arquivo de testes
474
475 Call Contabiliza_condicoes_de_contorno (S_M_fix,nv_fix,r,dimensao,
476 nvertices,contabilizou cc)
477
478 Call Redimensiona_matrizes(dimensao,r,M,S,M,S_) ! S_ e M_ são passadas
479 para as matrizes S e M, de dimensão r
480
481 End Subroutine Monta_matrizes
482
483 !-----Subrotinas usadas em Monta Matriz
484
485 Subroutine Monta_matriz C (C,Ji,a,b,nvertices,x,v,vi,nospe,k)
486
487 ! Essa é a matriz que relaciona coeficientes da aproximação polinomial
488 com as variáveis nodais.
489 ! Nesse programa, C é matriz 18x21, pois temos polinômio de grau 5, com
490 21 coeficientes, e 18 variáveis nodais que o determinarão.
491 ! As 18 variáveis nodais são suficientes pois esses polinômios são tais
492 que sua derivada normal nas arestas do trianulo padrão
493 são polinômios cúbicos. Fizemos essa imposição no trianulo padrão, onde
494 fazemos a aproximação polinomial.
495 ! dessa forma, C passa a ser constante em relação aos parâmetros da malha.
496
497 Implicit none
498 Integer, intent(in) :: k,nospe,nvertices,vi(nospe)
499 Double precision, intent(in) :: Ji, a(3),b(3),x(nvertices),y(nvertices)
500 Double precision, intent(out) :: C(1:21,1:18)
501
502 !Variáveis locais
503 Integer :: i
504 Double precision, dimension (1:21,1:18) :: M_chapeu, inv_M_chapeu
505 Double precision, dimension (1:21,1:18) :: inclusao ! Representa a
506 aplicação linear inclusão de R^18 em R^18 x R^21
507 Double precision :: a (3), b (3) !imagens das coordenadas do vetor normal
508 (a,b) pela transformação DL
509 Double precision :: x (3), y (3)
510
511 x (3)=x(vi(3))-x(vi(1))
512 x (2)=x(vi(2))-x(vi(1))
513 y (3)=y(vi(3))-y(vi(1))
514 y (2)=y(vi(2))-y(vi(1))
515
516 ! Coordenadas das imagens dos vetores normais no plano \xi \eta
517 Do i=1,3
518 a (i)=(y (3)*a(i)-y (2)*b(i))/Ji
519 b (i)=(-x (3)*a(i)+x (2)*b(i))/Ji
520 End do
521
522 !Open(104,

```

- 10 -

```

gama.f90
Page 11 of 26
Thu 26 Jan 2017 08:16:40 PM BRST

515 file="/home/daniela/Documentos/fortran/placa_conforme_I8coef/Entrada/M_chap
516 eu.txt", status='old')
517 !Do j=1,18
518 ! Read(104,*) M_chapeu(i,:)
519 !End do
520
521 ! Montagem da matriz M chapeu, que deverá ser invertida em seguida.
522 M_chapeu(1:21,1:21)=0.000
523
524 Do i=1,3
525 M_chapeu(i,1)= 1.000
526 M_chapeu(i+3,2)= 1.000
527 M_chapeu(i+6,3)= 1.000
528 M_chapeu(i+9,4)= 2.000
529 M_chapeu(i+12,5)= 1.000
530 M_chapeu(i+15,6)= 2.000
531 End do
532
533 M_chapeu(2,2)= 1.000
534 M_chapeu(2,4)= 1.000
535 M_chapeu(2,7)= 1.000
536 M_chapeu(2,11)= 1.000
537 M_chapeu(2,16)= 1.000
538
539 M_chapeu(3,3)= 1.000
540 M_chapeu(3,6)= 1.000
541 M_chapeu(3,10)= 1.000
542 M_chapeu(3,15)= 1.000
543 M_chapeu(3,21)= 1.000
544
545 M_chapeu(5,4)= 2.000
546 M_chapeu(5,7)= 3.000
547 M_chapeu(5,11)= 4.000
548 M_chapeu(5,16)= 5.000
549
550 M_chapeu(6,5)= 1.000
551 M_chapeu(6,9)= 1.000
552 M_chapeu(6,20)= 1.000
553
554 M_chapeu(8,5)= 1.000
555 M_chapeu(8,8)= 1.000
556 M_chapeu(8,12)= 1.000
557 M_chapeu(8,17)= 1.000
558
559 M_chapeu(9,6)= 2.000
560 M_chapeu(9,10)= 3.000
561 M_chapeu(9,15)= 4.000
562 M_chapeu(9,21)= 5.000
563
564 M_chapeu(11,7)= 6.000
565 M_chapeu(11,11)= 12.000
566 M_chapeu(11,16)= 20.000
567
568 M_chapeu(12,8)= 2.000
569 M_chapeu(12,13)= 2.000
570 M_chapeu(12,19)= 2.000
571
572 M_chapeu(14,8)= 2.000
573 M_chapeu(14,12)= 3.000
574 M_chapeu(14,17)= 4.000
575
576 M_chapeu(15,9)= 2.000
577 M_chapeu(15,14)= 3.000

```

- 11 -

```

gama.f90
Page 12 of 26
Thu 26 Jan 2017 08:16:40 PM BRST

578 M_chapeu(15,20)= 4.000
579
580 M_chapeu(17,9)= 2.000
581 M_chapeu(17,13)= 2.000
582 M_chapeu(17,18)= 2.000
583
584 M_chapeu(18,10)= 6.000
585 M_chapeu(18,15)= 12.000
586 M_chapeu(18,21)= 20.000
587
588 !Parte 3x21 não constante
589
590 M_chapeu(19,16)=5.000*a (3)
591 M_chapeu(19,17)=b_ (3)
592
593 M_chapeu(20,20)=a (2)
594 M_chapeu(20,21)=5.000*b_ (2)
595
596 M_chapeu(21,16)=5.000*a (1)
597 M_chapeu(21,17)= -4.000*a (1)+b_ (1)
598 M_chapeu(21,18)=3.000*a (1)-2.000*b_ (1)
599 M_chapeu(21,19)=2.000*a (1)+3.000*a (1)
600 M_chapeu(21,20)=a (1)-4.000*b_ (1)
601 M_chapeu(21,21)=5.000*b_ (1)
602
603 Call Inverte_matriz (M_chapeu,inv M_chapeu,21,k)
604
605 !Montagem da matriz inclusão
606 inclusao(1:21,1:18)=0.000
607
608 Do i=1,18
609 inclusao(i,i)=1.000
610 End do
611
612 C=matmul (inv M_chapeu,inclusao)
613
614 ! Close(104)
615
616 End Subroutine Monta_matriz C
617
618 Subroutine Monta_matriz F(F,n,nvertices,nospe,vi,x,y)
619
620 ! F é matriz 18x18 que relaciona as variáveis nodais do trianulo padrão
621 ũ com aquelas do trianulo arbitrário u
622 ũ=Fu
623
624 Implicit none
625 Double precision, intent(out) :: F(1:n,1:n)
626 Double precision, intent(in) :: x(1:nvertices), y(1:nvertices)
627 Integer, intent(in) :: vi(1:nospe)
628 Integer, intent(in) :: n, nvertices, nospe
629
630 ! Variáveis locais
631 Integer :: i
632 Double precision :: x (1:3), y (1:3)
633
634 x (3)=x(vi(3))-x(vi(1))
635 x (2)=x(vi(2))-x(vi(1))
636 y (3)=y(vi(3))-y(vi(1))
637 y (2)=y(vi(2))-y(vi(1))
638
639 F(1:n,1:n)=0.000
640
641 Do j=1,3
642 F(j,j)=1.000

```

- 12 -

```

gama.f90
Page 13 of 26
Thu 26 Jan 2017 08:16:40 PM BRST

642 End do
643 Do i=1,3
644 F(3+i,3+i)=x (2)
645 F(6+i,6+i)=y (3)
646
647 F(3+i,6+i)=y (2)
648 F(6+i,3+i)=x (3)
649
650 F(9+i,9+i)=x (2)**2
651 F(9+i,12+i)=2*x (2)*y (2)
652 F(9+i,15+i)=y (2)**2
653
654 F(12+i,9+i)=x (2)*x (3)
655 F(12+i,12+i)=x (2)*y (3)+x (3)*y (2)
656 F(12+i,15+i)=y (2)*y (3)
657
658 F(15+i,9+i)=x (3)**2
659 F(15+i,12+i)=2*x (3)*y (3)
660 F(15+i,15+i)=y (3)**2
661
662 End do
663
664 End Subroutine Monta matriz F
665
666
667 !-----Montagem da matriz das integrais
668 Subroutine Monta_matriz_P(P,pot,n)
669
670 Implicit none
671 Double precision, intent(out) :: P(1:n,1:n)
672 Integer, intent(in) :: pot (1:21,1:2)
673
674 ! Variaveis locais
675 Integer :: i,k,l
676 Double precision :: numerador,denominador ! var auxiliares. pois Fat é
677 fc inteira, mas o quociente tava deve ser um numero real
678
679 !n é a dimensao de P, e depende do grau do polinomio que sera integrado.
680 !n=21 se grau aprox =5
681 !n=10 se grau aprox =3 . Essas sao as duas possibilidades nessa subrotina
682
683 Do k=1,n
684 Do i=1,n
685 numerador=((Fat(pot(k,1)+pot(i,1,1))*Fat(pot(k,2)+pot(i,2,2)))
686 denominador=(Fat(pot(k,1)+pot(i,1,1)+pot(k,2)+pot(i,2,2)))
687 P(k,i)=numerador/denominador
688
689 End do
690 End do
691
692 ! Teste de simetria
693 if (n==21) then
694 Do i=1,21
695 Do j=1,21
696 if (P(i,j) .ne. P(j,i)) print*,i,j,"Matriz P nao é simetrica"
697 End do
698 End if
699
700 if (n==10) then
701 Do i=1,10
702 Do j=1,10
703 if (P(i,i) .ne. P(i,i)) print*,i,i,"Matriz P nao é simetrica"
704 End do
705

```

- 13 -

```

gama.f90
Page 14 of 26
Thu 26 Jan 2017 08:16:40 PM BRST

706 End do
707 end if
708
709 CONTAINS
710 Integer Function Fat(n) !Função que calcula o fatorial de um numero
711 inteiro >= 0
712
713 Implicit none
714 Integer, intent (in) :: n
715 Integer :: produto, i
716
717 produto=1
718 Do i=1,n
719 produto=produto*i
720 End do
721 Fat=produto
722
723 End Function Fat
724
725 End Subroutine Monta matriz P
726
727 !---Montagem da matriz de massa elementar Mi-----!
728 Subroutine Monta matriz Mi (i,Ji,P,C,F,Mi)
729
730 Implicit none
731 Double precision, intent(in) :: P(1:21,1:21),C(1:21,1:18), F(1:18,1:18)
732 Double precision, intent(out), dimension(1:18,1:18) :: Mi
733 Double precision, intent(in) :: Ji
734 Integer, intent(in) :: i
735
736 !Variaveis locais
737 Integer :: j,k
738 Double precision :: A(1:18,1:18),Aux(1:21,1:21),Aux_out(1:18,1:18),
739 Aux simetrica(1:18,1:18)
740
741 Aux(1:21,1:21)=P(1:21,1:21) ! Matriz auxiliar para que P não se modifique
742 nesta função e possa ser usada por outras
743
744 Call Calcula matriz semelhante(C,21,18,Aux,21,C,21,18,A) ! A =
745 C**T*Aux in C . A tem dim 18
746 Call Calcula matriz semelhante(F,18,18,A,18,F,18,18,Aux_out) !
747 Aux_out=F**T*A**F , Aux_out tem dimensão 18
748
749 !Simetrizando a matriz Aux out
750 Aux_simetrica=0.500*(transpose(Aux_out)+Aux_out)
751
752 !Mi(1:18,1:18)=Ji**Aux out(1:18,1:18)
753 Mi(1:18,1:18)=Ji**Aux simetrica(1:18,1:18)
754
755 !Teste de simetria
756 Do j=1,18
757 Do k=1,18
758 if (Mi(i,k) .ne. Mi(k,i)) print*,i,j,"Matriz Mi nao é simetrica"
759 if (abs (Mi(j,k)-Mi(k,j)) >= 1.0-7 ) Print*, "Matriz Mi não é
760 simetrica. Diferenca :", (Mi(i,j)-Mi(k,i))
761 End do
762 End do
763
764 End Subroutine Monta matriz Mi
765
766 !----Montagem da matriz de rigidez elementar Si----!
767 Subroutine Monta_matriz_Si (Ji,P,C,F,Si,sigma,x,y,vi,vertices,nospe) !

```

- 14 -

```

gama.f90
Page 15 of 26
Thu 26 Jan 2017 08:16:40 PM BRST

765 Implicit none
766
767 Double precision, intent(in) :: Ji, sigma
768 Double precision, intent(in) :: F(1:18,1:18),C(1:21,1:18), P(1:10,1:10)
769 Double precision, intent(in) :: x(1:nvertices), y(1:nvertices)
770 Integer, intent(in) :: nvertices,nospe, vi(1:nospe)
771
772 Double precision, intent(out) :: Si (1:18,1:18)
773
774 !Variaveis locais
775 Integer :: i,j
776 Double Precision, dimension (1:10,1:21) :: Dxx,Dvy,Dxy ! ! Matrices do
777 operador derivação
778 Double Precision, dimension (1:18,1:18) :: I 1,I 2,I 3,I 4,I 5,I 6
779 matrices auxiliares, parcelas da integral
780 Double precision :: A(1:21,1:21),A (1:21,1:21),G(1:21,1:21),B(1:18,1:18),
781 Aux_out(1:18,1:18)
782 Double precision :: a1,a2,a3,a4,a5,a6,f1,f2,f3
783
784 Double Precision, dimension (1:10,1:10) :: Aux
785
786 !Definição de Dxx, Dvy e Dxy, as matrizes de derivação
787 Dxx=0.000
788 Dvy=0.000
789 Dxy=0.000
790
791 Dxx(1,4)=2.000
792 Dxx(2,7)=6.000
793 Dxx(4,11)=12.00
794 Dxx(7,16)=20.00
795
796 Dxx(3,8)=Dxx(1,4)
797 Dxx(6,13)=Dxx(1,4)
798 Dxx(10,19)=Dxx(1,4)
799 Dxx(5,12)=Dxx(2,7)
800 Dxx(9,18)= Dxx(2,7)
801 Dxx(8,17)=Dxx(4,11)
802
803 Dxy(1,5)=1.000
804 Dxy(2,8)=2.000
805 Dxy(4,12)=3.000
806 Dxy(5,13)=4.000
807 Dxy(8,18)=6.000
808
809 Dxy(3,9)=Dxy(2,8)
810 Dxy(6,14)=Dxy(4,12)
811 Dxy(10,20)=Dxy(5,13)
812 Dxy(7,17)=Dxy(5,13)
813 Dxy(9,19)=Dxy(8,18)
814
815 Dvy(1,6)=2.000
816 Dvy(3,10)=6.000
817 Dvy(6,15)=12.000
818 Dvy(10,21)=20.000
819
820 Dvy(2,9)=Dvy(1,6)
821 Dvy(4,13)=Dvy(1,6)
822 Dvy(7,18)=Dvy(1,6)
823 Dvy(5,14)=Dvy(3,10)
824 Dvy(8,19)= Dvy(3,10)
825 Dvy(9,20)=Dvy(6,15)
826
827 Aux(1:10,1:10)=P(1:10,1:10) ! P é de dim 10

```

- 15 -

```

gama.f90
Page 16 of 26
Thu 26 Jan 2017 08:16:40 PM BRST

827
828 ! Matriz da forma quadratica da Integral do quadrado de w xx
829 Call Calcula matriz semelhante(Dxx,10,21,Aux,10,Dxx,10,21,A) ! A tem dim
830 21, A=Dxx**T*Aux*Dxx A, nA, mA, nS, B, nB, mB, produto
831 Call Calcula matriz semelhante(C,21,18,A,21,C,21,18,B) ! B tem dim 18,
832 B=C**T*A**C
833 Call Calcula matriz semelhante(F,18,18,B,18,F,18,18,Aux_out) ! Aux_out
834 tem dim 18, Aux_out=F**T*B**F
835
836 I_1=0.500*(transpose(Aux_out)+Aux_out)
837
838 ! Matriz da forma quadratica da Integral do quadrado de wvy
839 Call Calcula matriz semelhante(Dvy,10,21,Aux,10,Dvy,10,21,A) ! A tem dim
840 21, A=Dxx**T*Aux*Dxx
841 Call Calcula matriz semelhante(C,21,18,A,21,C,21,18,B) ! B tem dim 18,
842 B=C**T*A**C
843 Call Calcula matriz semelhante(F,18,18,B,18,F,18,18,Aux_out) ! Aux_out
844 tem dim 18, Calcula Aux_out=F**T*B**F
845
846 I_6=0.500*(transpose(Aux_out)+Aux_out)
847
848 ! Matriz da forma quadratica da Integral do quadrado de wxy
849 Call Calcula matriz semelhante(Dxy,10,21,Aux,10,Dxy,10,21,A) ! A tem dim
850 21, A=Dxx**T*Aux*Dxx
851 Call Calcula matriz semelhante(C,21,18,A,21,C,21,18,B) ! B tem dim 18,
852 B=C**T*A**C
853 Call Calcula matriz semelhante(F,18,18,B,18,F,18,18,Aux_out) ! Aux_out
854 tem dim 18, Calcula Aux_out=F**T*B**F
855
856 I_4=0.500*(transpose(Aux_out)+Aux_out)
857
858 !-----Matrizes de Formas Bilineares-----!
859 !Para simetrizar as formas bilineares, utilizaremos a matriz simétrica
860 0.5*((Dxx**T)**P**Dyy + (Dyy**T)**P**Dxx), que representa a mesma forma bilinear
861
862 ! Matriz da forma bilinear da Integral de wvy**wxx
863 Call Calcula matriz semelhante(Dxx,10,21,Aux,10,Dvy,10,21,A) ! A tem dim
864 21, A=Dxx**T*Aux*Dxx
865 Call Calcula matriz semelhante(Dvy,10,21,Aux,10,Dxx,10,21,A) ! A tem
866 dim 21, A =Dxx**T*Aux*Dxx
867 G=0.500*(A+A )
868 Call Calcula matriz semelhante(C,21,18,G,21,C,21,18,B) ! B tem dim 18,
869 B=C**T*A**C
870 Call Calcula matriz semelhante(F,18,18,B,18,F,18,18,Aux_out) ! Aux_out
871 tem dim 18, Calcula Aux_out=F**T*B**F
872
873 I_3=0.500*(transpose(Aux_out)+Aux_out)
874
875 ! Matriz da forma bilinear da Integral de wxy**wxx
876 Call Calcula matriz semelhante(Dxx,10,21,Aux,10,Dxy,10,21,A) ! A tem dim
877 21, A=Dxx**T*Aux*Dxx
878 Call Calcula matriz semelhante(Dxy,10,21,Aux,10,Dxx,10,21,A) ! A tem
879 dim 21, A =Dxx**T*Aux*Dxx
880 G=0.500*(A+A )
881 Call Calcula matriz semelhante(C,21,18,G,21,C,21,18,B) ! B tem dim 18,
882 B=C**T*A**C
883 Call Calcula matriz semelhante(F,18,18,B,18,F,18,18,Aux_out) ! Aux_out
884 tem dim 18, Calcula Aux_out=F**T*B**F
885
886 I_2=0.500*(transpose(Aux_out)+Aux_out)
887
888 ! Matriz da forma bilinear da Integral de wyy**wxy

```

- 16 -


```

gama.f90
Page 17 of 26
Thu 26 Jan 2017 08:16:40 PM BRST
877 Call Calcula_matriz_semelhante(C,21,18,G,21,C,21,18,B) ! B tem dim 18,
      B=C^T*G*C
878 Call Calcula_matriz_semelhante(F,18,18,B,18,F,18,18,Aux out) ! Aux out
      tem dim 18, Calcula Aux_out=F^T*B*F
879
880 I 5=0.500*(transpose(Aux out)+Aux out)
881
882 ! Fim da montagem das matrizes auxiliares
883
884 ! Definição dos coeficientes das parcelas para a montagem de Si:
885
886 f1=(x(vi(3))-x(vi(1)))**2 + (v(vi(3)) - v(vi(1)))**2
887 f2=(x(vi(2)) - x(vi(1)))*(x(vi(3)) - x(vi(1))) + (v(vi(2)) - v(vi(1)))*v(vi(3)
      ) - v(vi(1)))
888 f3=(x(vi(2))-x(vi(1)))**2 + (v(vi(2)) - v(vi(1)))**2
889
890 a1=(f1**2)/ji**3
891 a2=-4.000*f2*f1/ji**3
892 a3=2.000*(f2**2 + sigma*(ji**2))/ji**3
893 a4=(4.000*f2**2+2.000*(1.000-sigma)*ji**2)/ji**3
894 a5=-4.000*f2*f3/ji**3
895 a6=f3**2/ji**3
896
897 Si=a1*I_1+a2*I_2+a3*I_3+a4*I_4+a5*I_5+a6*I_6
898
899 ! Teste de simetria das matrizes de rigidez
900 Do i=1,18
901   Do j=i,18
902     if (Si(i,j) .ne. Si(j,i)) print*,i,j,"Matriz Si nao é simetrica"
903     if (abs (Mi(i,j)-Mi(j,i)) >= 0.0000001) Print*, "Matriz Mi não é
      simetrica. Diferença no elemento",i,j
904   End do
905 End do
906
907 End Subroutine Monta matriz Si
908
909 !-----Monta vetor de variáveis nodais
910 !-----!
911
912 !Essa subrotina monta um vetor ui, para cada triângulo i, análogo ao
913 vetor vi que relaciona os
914 índices locais e globais dos nós; mas ui considera todas as variáveis
915 incidentes em cada nó.
916 !Dessa forma a dimensão de ui é 18, o número de variáveis totais por
917 elemento.
918 !As variáveis estão aqui ordenadas como nas matrizes elementares:
919 u1,u2,u3,ux1,ux2,ux3,uy1,uy2,uy3,....,uyv1,uyv2,uyv3.
920
921 Subroutine Monta Var nodais (vi,ui,nvertices,nv vertice)
922 Implicit none
923
924 ! Variáveis fantoches (Dummy)
925 Integer, intent(out) :: ui(1:18)
926 Integer, intent(in) :: vi(1:3), nvertices,nv vertice
927
928 ! Variáveis locais
929 Integer :: l,k
930
931 Do k=1,3*nv vertice
932   l=1+int((k-1)/3)
933   i=1+mod((k-1),3)
934   ui(k)=vi(i) + nvertices*(l-1)
935
936
937
938
939
940
941
942
943
944
945
946
947
948
949
950
951
952
953
954
955
956
957
958
959
960
961
962
963
964
965
966
967
968
969
970
971
972
973
974
975
976
977
978
979
980
981
982
983
984
985
986
987
988

```

```

gama.f90
Page 18 of 26
Thu 26 Jan 2017 08:16:40 PM BRST
936
937 End Subroutine Monta Var nodais
938
939
940 Subroutine Monta matrizes globais(S ,M ,Si,Mi,ui,dimensao)
941
942 Implicit none
943
944 !Variáveis Dummy
945 Integer, intent(in) :: dimensao
946 Double Precision, intent(inout) :: S (1:dimensao,1:dimensao),M (1:
      dimensao,1:dimensao) ! Essas matrizes entram e saem dessa rotina a cada
      elemento triangular
947 Double Precision, intent(in) :: Si(1:18,1:18),Mi(1:18,1:18)
948 Integer, intent(in) :: ui(1:18)
949
950 !Variáveis locais
951 Integer :: l,k
952
953 Do l=1,18
954   Do k=1,18
955     S (ui(k),ui(l))= S (ui(k),ui(l)) + Si(k,l)
956     M (ui(k),ui(l))= M (ui(k),ui(l)) + Mi(k,l)
957   End do
958 End do
959
960 End Subroutine Monta matrizes globais
961 !-----CONTABILIZAR NA MONTAGEM DAS MATRIZES, AS CONDIÇÕES DE
      CONTORNO-----!
962
963 Subroutine Contabiliza condicoes de contorno (S ,M ,fix,nv fix,r,dimensao,
      nvertices,contabilizou cc)
964 Implicit none
965
966 Integer, intent(in) :: fix(nvertices),dimensao,nvertices,r,nv fix
967 Integer, intent(out) :: contabilizou cc
968 Double precision, intent(inout) :: M (1:dimensao,1:dimensao), S (1:
      dimensao,1:dimensao)
969
970 !Variáveis locais
971 Integer :: i,l,k,n, ierr !n é a dimensão do vetor eliminar
972
973 Integer, allocatable, dimension(:) :: eliminar
974
975 !-----Condição de bordo fixo
976 !-----!
977
978 ! Utilizando a info dos vértices que estão fixos na montagem das
979 matrizes: As linhas e colunas relativas aos vértices que estão
980 fixos são deletadas/anuladas, uma vez que o valor da função nesses
981 pontos já é conhecido.
982 ! Nesse caso, que temos 6 variáveis nodais por vertice, temos que
983 excluir/anular as linhas e colunas relativas as variáveis que temos
984 certeza que serão nulas:
985 ! o valor de w e de suas primeiras derivadas: w,wx,wy
986 ! Nesse caso, para cada nó fixo temos que anular as linhas da
987 matriz que correspondem aos valores
988 ! de w,wx,wy nesse vertice, i.e., para cada vertice i que for
989 vertice de triângulo, temos 3 linhas e colunas para excluir.
990
991 print*, "Contabilizando as condicoes de contorno"
992 print*, "nv fix,nvertices,dimensao,r",nv fix,nvertices,dimensao,r
993
994 n=3*nv_fix
995
996
997
998
999
1000
1001
1002
1003
1004
1005
1006
1007
1008
1009
1010
1011
1012
1013
1014
1015
1016
1017
1018
1019
1020
1021
1022
1023
1024
1025
1026
1027
1028
1029
1030
1031
1032
1033
1034
1035
1036
1037
1038
1039
1040
1041
1042
1043
1044
1045

```

```

gama.f90
Page 19 of 26
Thu 26 Jan 2017 08:16:40 PM BRST
991 if (ierr/=0) then
992   print*, "Erro de alocação da variável eliminar"
993   stop
994 end if
995
996 !Montagem do vetor eliminar, das linhas e colunas que serao eliminadas.
997 Esse vetor tem tamanho nv_fix*3
998
999 Do i=1,nvertices
1000   if (fix(i).eq. 1) then ! se o vertice i esta fixo,
1001     eliminar((k*nv_fix)+i)=nvertices*i ! quando em eliminar, a
      variável que será eliminada, nas posições das linhas que serão
      eliminadas.
1002     ! print*, "posicao",k*nv_fix*i,"do vetor eliminar
      recebe",nvertices*i+1
1003   End do
1004   k=k+1
1005 end if
1006 End do
1007
1008 Do i=n,1,-1 ! n=3*nv fix ! laço decrescente no numero de variáveis,
1009 para o redimensionamento da matriz ! se eliminar(i) nao
1010 if (eliminar(i).ne.dimensao) then
1011   for a ultima linha/coluna então faremos o deslocamento das linhas e
1012   colunas abaixo e a direita de eliminar(i) até
1013   dimensao-1.
1014   ! print*, "Vertice",eliminar(i),"esta fixo." ! Deslocamos a matriz
1015   uma unidade para cima e para a esquerda, respect.
1016   Do i=eliminar(i),dimensao-1
1017     S (i,:) = S (i+1,:)
1018     M (i,:) = M (i+1,:)
1019     M (i,i) = M (i,i+1)
1020   End do
1021 End if
1022 End do
1023
1024 contabilizou cc=1
1025 End Subroutine Contabiliza condicoes de contorno
1026
1027 !-----Redimensiona matrizes---
1028 Subroutine Redimensiona matrizes(dimensao,r,M,S,M ,S)
1029 Implicit none
1030
1031 Integer, intent(in) :: dimensao,r
1032 Double precision, intent (in) :: M (1:dimensao,1:dimensao),S (1:dimensao,1:
      dimensao)
1033 Double precision, intent (out) :: M (1:r,1:r), S (1:r,1:r)
1034
1035 !Variáveis locais
1036 Integer :: i,j
1037
1038 print*, "Redimensionando as matrizes, de dim",dimensao,"para",r
1039 Do i=1,r
1040   Do j=i,r
1041     S (i,j)=S (i,j)
1042     M (i,j)=M (i,j)
1043   End do
1044 End do
1045
1046 ! Teste de simetria das matrizes de massa e rigidez globais
1047 Do i=1,r

```

```

gama.f90
Page 20 of 26
Thu 26 Jan 2017 08:16:40 PM BRST
1049 End do
1050 End do
1051
1052 End subroutine Redimensiona matrizes
1053
1054
1055 !----- Calcula Matrizes "semelhantes" -----!
1056 Subroutine Calcula matriz semelhante(A,nA,nMA,S,nS,nB,nMB,produto)
1057 ! Retorna em produto uma matriz "semelhante" a Matriz S. produto= A^T*S*B
1058 ! Essa função é mais geral pois permite o fazer o produto a esquerda e a
1059 direita com matrizes diferentes e não necessariamente quadradas.
1060 ! A tem dimensão nxAxM, S é quadrada e tem dimensão nS e B tem dimensão
      nBxB.
1061
1062 Implicit none
1063 Integer, intent(in) :: nS, nA, nMA, nB, nMB
1064 Double precision, intent(in) :: A(nA,nA), S(nS,nS), B(nB,nB)
1065 Double precision, intent(out), dimension(1:nA,1:nB) :: produto
1066
1067 ! Variáveis locais
1068 Double precision :: M1(nA,nS),M2(nA,nB)
1069
1070 !print*, "dimensão de A",nA,nMA,"dimensão de S", nS, "Dimensao de B",nB,nMB
1071 if(nA==nS) then
1072   M1=matmul(transpose(A),S)
1073   ! print*, "Tamanho de M1", size(M1)
1074 else
1075   print*, "Impossível multiplicar matrizes, dimensões não batem"
1076 stop
1077 end if
1078 if(nS==nB) then
1079   M2=matmul(M1,B)
1080   ! print*, "Tamanho de M2", size(M2)
1081 else
1082   print*, "Impossível multiplicar matrizes, dimensões não batem"
1083 stop
1084 end if
1085 produto(1:nA,1:nB)=M2(1:nA,1:nB)
1086 End subroutine Calcula matriz semelhante
1087
1088
1089 !----- Subrotina GERAL para escrever uma matriz quadrada num
      arquivo-----!
1090 Subroutine Escreve_Matriz_em_Arquivo (M,dimensao,unidade,nome_arquivo,sta)
1091 Implicit none
1092
1093 Double Precision, intent(in) :: M(1:dimensao,1:dimensao)
1094 Character (len=20) :: nome_arquivo
1095 Character (len=3) :: sta ! status do arquivo: "old" or "new"
1096 Integer :: unidade, dimensao ! unidade onde o arquivo será aberto.
1097
1098 ! Variáveis locais
1099 Integer :: i
1100
1101 Open(unidade,file=nome_arquivo,status=sta)
1102 Write(unidade,*) "Matriz de dimensao:",dimensao
1103 Write(unidade,*)
1104 Do i=1,dimensao
1105   Write(unidade,*) M(i,:)
1106 End do
1107
1108
1109
1110
1111
1112
1113
1114
1115
1116
1117
1118
1119
1120
1121
1122
1123
1124
1125
1126
1127
1128
1129
1130
1131
1132
1133
1134
1135
1136
1137
1138
1139
1140
1141
1142
1143
1144
1145

```



```

gama.f90
Page 21 of 26
Thu 26 Jan 2017 08:16:40 PM BRST

1112
1113 End Subroutine Escreve matriz em arquivo
1114
1115 !-----REGISTRO DAS MATRIZES DE RIGIDEZ E DE MASSA EM ARQUIVO
1116 .txt-----!
1117
1118 Subroutine Escreve_matriz(r,M,S)
1119
1120 Implicit none
1121
1122 Integer, intent(in) :: r
1123 Double precision, intent(in) :: M(r,r), S(r,r)
1124
1125 !Variáveis locais
1126 Integer :: j
1127
1128 Open(43, file=
1129 /home/daniela/Documents/fortran/placa conforme l8coef/Saida/Matrix rigi
1130 ez.txt, status='old')
1131 Open(44, file=
1132 /home/daniela/Documents/fortran/placa conforme l8coef/saida/Matrix massa
1133 .txt, status='old')
1134 Write(43,*)r
1135 Write(44,*)r
1136 Do j=1,r
1137 Write(43,*)S(j,:)
1138 Write(44,*)M(1,:)
1139 End do
1140
1141 End subroutine Escreve matrices
1142
1143 !-----IMPRESSÃO DOS AUTOVALORES E AUTOVETORES EM ARQUIVO
1144 .txt-----!
1145
1146 Subroutine Imprime_autovetores(r,w,S)
1147
1148 Implicit none
1149 Integer, intent(in) :: r
1150 Double precision, intent(in) :: w(1:r), S(1:r,1:r)
1151
1152 !Variáveis locais
1153 Integer :: i,j
1154
1155 Open(45, file=
1156 /home/daniela/Documents/fortran/placa_conforme_l8coef/Autovetores.
1157 txt, status='old')
1158 Write(45,*)r
1159
1160 Do i=1,25 ! Vou escrever só os 25 primeiros, do total de r autovetores
1161 Write(45,*) w(i)
1162 End do
1163 Write(*,*) "Primeiro autovetor:" w(1)
1164 !Do i=1,
1165 ! Write(45,*)
1166 ! Write(45,*) "Autovetor", i,":", w(i)
1167
1168 ! Write(45,*)
1169 ! Write(45,*) "autovetor associado:"
1170 ! Do j=1, r
1171 ! Write(45, '(f30.24)') S(i,j)
1172 ! End do
1173 !End do

```

- 21 -

```

gama.f90
Page 22 of 26
Thu 26 Jan 2017 08:16:40 PM BRST

1169 End subroutine Imprime_autovetores
1170
1171 !----- ARQUIVOS PARA O SCILAB (função
1172 fec)
1173 ! A função FEC só vale para quando queremos plotar o valor de n os
1174 vértices do triângulo-----!
1175
1176 Subroutine Dados_plotagem(nvertices, nele, x, y, S, T, r, fix)
1177
1178 Implicit none
1179 Integer, intent(in) :: nvertices, r, nele, T(1:4,1:nele), fix(1:nvertices)
1180 Double precision, intent(in) :: x(1:nvertices), y(1:nvertices), S(1:r,1:r)
1181
1182 ! Variáveis locais
1183 Integer :: i, j, k, l ! contadores
1184
1185 Open (50, file=
1186 /home/daniela/Documents/fortran/placa conforme l8coef/Saida/coordxv02 sci
1187 lab.txt, status='old')
1188 Do i=1,nvertices
1189 Write(50,*) x(i), y(i)
1190 End do
1191
1192 Open (51, file=
1193 /home/daniela/Documents/fortran/placa conforme l8coef/Saida/T02 scilab.tx
1194 t, status='old')
1195 Do i=1,nele
1196 Write(51,*) T(1,i), T(2,i), T(3,i), T(4,i), T(4,i) ! Repeti o último,
1197 pois o arquivo T02 deve apresentar cinco dados, a informação do
1198 triângulo mais uma falq para o Scilab
1199 End do
1200
1201 Open (52, file=
1202 /home/daniela/Documents/fortran/placa conforme l8coef/Saida/autofunc02 sc
1203 ilab.txt, status='old')
1204 Do k=1,25 ! Escrever 25 dos r autovetores
1205 l=1
1206 Do i=1,nvertices
1207 ! se o vertice estava fixo, escreva 0.0, caso contrario, escreva o
1208 proximo elemento de S
1209 if (fix(i).eq.l) then
1210 Write(52,*) 0.00
1211 else
1212 Write(52,*) S(l,k)
1213 end if
1214 l=l+1
1215 End do
1216 End do
1217
1218 Close(50)
1219 Close(51)
1220 Close(52)
1221
1222 End subroutine Dados plotagem
1223
1224 Subroutine Espectro (A,n,i,simetrica)
1225 !Calcula os autovalores de uma matriz real
1226 !Se a matriz for simétrica, usa a função dsyev
1227 !Se a matriz for arbitraritia, usa a função dgeev
1228
1229 Implicit none

```

- 22 -

```

gama.f90
Page 23 of 26
Thu 26 Jan 2017 08:16:40 PM BRST

1223
1224 !Variáveis dummy
1225 Integer, intent(in) :: i,n
1226 Double precision, intent(in) :: A (1:n,1:n)
1227 Character*1, intent(in) :: simetrica ! se simetrica='S', então é
1228 simétrica, se 'N', não é simétrica
1229
1230 !Variáveis locais
1231 Integer :: lda, lwork, info, ierr
1232 Double precision, allocatable, dimension (:) :: work
1233 Double precision, allocatable, dimension (:) :: norma
1234 Double precision :: maior modulo, menor modulo
1235
1236 !Variáveis locais só para a função dsyev
1237
1238 Double Precision, allocatable, dimension (:) :: w
1239 Character*1 :: jobz, uplo='U'
1240
1241 !Variáveis para a função dgeev
1242
1243 Integer :: ldvr, ldvl
1244 Double Precision, allocatable, dimension (:) :: vl,vr
1245 Double Precision, allocatable, dimension (:) :: wr,wi
1246 Character*1 :: jobvl, jobvr
1247
1248 lda=n
1249
1250 if(simetrica == 'S') then ! Se a matriz A é simétrica
1251 lwork = max(1,3*n-1) ! é a dimensão do vetor work
1252 jobz='N' ! N=calcula apenas os autovalores; V=calcula autovalores e
1253 autovetores
1254
1255 !Alocar as variáveis alocaáveis
1256 allocate (lwork(1:lwork), w(1:n), stat = ierr)
1257 if (ierr/=0) then
1258 print*, "Erro de alocação das variáveis work e w"
1259 stop
1260 end if
1261
1262 !dsyev (jobz, uplo, n, A, lda, w, work, lwork, info)
1263 Call dsyev (jobz, uplo, n, A, lda, w, work, lwork, info) ! calcula os
1264 autovalores (e opcionalmente os autovetores) de uma matriz smetrica
1265 print*, "info espectro=", info
1266
1267 !Imprimir os 5 primeiros autovalores, se existirem valores negativos,
1268 estes aparecerão primeiro, pois os autovalores aparecem em ordem
1269 crescente
1270 Write(103,*) "Matriz simetrica, primeiros autovalores reais"
1271 write(103,*)
1272 Do j=1,n
1273 Write(103, '(I4,5E20.8)') i, w(1),w(2),w(3),w(4),w(5)
1274 Write(103, '(E20.8)') w(j)
1275 End do
1276 end if
1277
1278 if(simetrica == 'N') then ! Se a matriz A não é simétrica
1279 ldvl=n
1280 ldvr=n
1281 lwork = max(1,3*n) ! é a dimensão do vetor work
1282 jobvl='N' ! N=nao calcula autovetores à esquerda
1283 jobvr='N' ! N=nao calcula autovetores à direita
1284
1285 !Alocar as variáveis alocaáveis

```

- 23 -

```

gama.f90
Page 24 of 26
Thu 26 Jan 2017 08:16:40 PM BRST

1284 if (ierr/=0) then
1285 print*, "Erro de alocação das variáveis do caso não simetrico"
1286 stop
1287 end if
1288
1289 Call dgeev(jobvl, jobvr, n, A, lda, wr, wi, vl, ldvl,vr,ldvr, work, lwork
1290 , info)
1291 print*, "info espectro=", info
1292
1293 !Imprimir os 5 primeiros autovalores, se existirem valores negativos,
1294 estes aparecerão primeiro, pois os autovalores aparecem em ordem
1295 crescente
1296 !print*, "Matriz genérica, primeiros autovalores: parte real e parte
1297 imaginária"
1298 write(*,*)
1299
1300 !Cálculo do módulo de cada autovetor complexo
1301 Do i=1,n
1302 normal(i) = sqrt(wi(i)**2 + wr(i)**2)
1303 End do
1304
1305 maior modulo=maxval(norma)
1306 menor modulo=minval(norma)
1307
1308 !Do i=1,n
1309 ! write(103, '(I3,2E18.8,3x,2E18.8,3x,2E18.8,3x,2E18.8,3x,2E18.8)')
1310 i,wr(1),wi(1),wr(2),wi(2),wr(3),wi(3),wr(4),wi(4),wr(5),wi(5)
1311 ! write(103, '(2E18.8)') wr(i),wi(i)
1312 ! write(103, '(I3,1E18.8,2x,1E18.8)') i, menor modulo, maior modulo
1313 !End do
1314 end if
1315
1316 End subroutine
1317
1318 Subroutine Cholesky (A,n,i)
1319
1320 ! Calcula a decomposição de Cholesky para matrizes simétricas e definida
1321 positiva:
1322 ! Estamos usando essa função como critério para decidir sobre a
1323 positividade definida de uma matriz simétrica.
1324 ! Por se tratar de um teste, essa função não retorna a fatoração de
1325 Cholesky da matriz A, ele apenas testa indica se foi possível fazer a
1326 fatoração
1327
1328 Implicit none
1329 Double Precision, intent(in) :: A(1:n,1:n)
1330 Integer, intent(in) :: n, i
1331
1332 !Variáveis locais
1333 Double precision :: B(1:n,1:n)
1334 Character :: uplo='L'
1335 Integer :: lda, info
1336
1337 lda=n
1338 B(1:n,1:n)=A(1:n,1:n)
1339
1340 Call dpotrf(uplo, n, B, lda, info) ! função de calcula a fatoração de
1341 cholesky
1342 if (info/=0) then
1343 write(102,*) "Exitto matriz", i, " é positiva definida"
1344 !Do k=1,n
1345 ! write(*, '(21f10.4)') B(k,:)
1346 !End do

```

- 24 -

Referências Bibliográficas

- [1] Ciarlet, P. G.: *The Finite Element Method for Elliptic Problems*, V4. North-Holland Publishing Company, 1978. 19, 21, 28, 31, 36, 39
- [2] Courant, R. e D. Hilbert: *Methods of Mathematical Physics*, V1, edição 1. Interscience Publishers, Inc., New York, 1953. 5, 8, 14, 94
- [3] Evans, L. C.: *Partial Differential Equations*, edição 2. American Mathematical Society, 2010. 21, 31
- [4] Felippa, C. A.: *Kirchhoff Plates: Field Equations*. <http://www.colorado.edu/engineering/CAS/courses.d/AFEM.d/AFEM.Ch20.d/AFEM.Ch20.pdf>. Último acesso em 19/10/2016. xi, 2, 5
- [5] Fish, J. e T. Belytschko: *Um Primeiro Curso em Elementos Finitos*. LTC - Livros Técnicos e Científicos Editora S.A., 2009.
- [6] Gross, D., W. Hauger, W. W. J. Schröder e J. Bonet: *Engineering Mechanics 2: Mechanics of Materials*. Springer-Verlag Berlin Heidelberg, 2011. 2, 3
- [7] Grossmann, C., H. Roos e M. Stynes: *Numerical Treatment of Partial Differential Equations*. Springer-Verlag Berlin Heidelberg, 2005. 19, 28
- [8] Leissa, A. W.: *Vibration of Plates*. Nacional Aeronautics and Space Administration, 1969. xii, 77, 78, 79, 82, 83, 92
- [9] Müller, T.: *Numerical Chladni figures*. European Journal of Physics, 34:1067–1074, 2013. 79
- [10] N. Katz, A.G.Peano, M.R.: *Nodal Variables for Complete Conforming Finite Element for arbitrary polimomial order*. Computacional and Math Aplicacions, 4:85–112, 1978. 44
- [11] Provenzano, L.: *Eigenvalues of harmonic and poly-harmonic operators subject to mass density perturbations*. Tese de Doutorado, Universit'a degli Studi di Padova, 2012. (Capítulo 2). Disponível em <http://www.math.unipd.it/~proz/file/thesis.pdf>. Último acesso em 20/12/2016. 28
- [12] Rayleigh, J. W. S.: *The Theory of Sound*, V1. Dover Publications, 1945. xii, 3, 88
- [13] Rossin, T. D.: *Chladni's law for vibrating plates*. American Journal of Physics, 50:271–274, 1982. xi, 5
- [14] Sayas, F. J.: *A gentle introducrtion to the Finite Element Method*. 2008.
- [15] Schwarz, H.: *Finite Element Methods*. Academic Press, 1988. 5, 72
- [16] Shewchuk, J. R.: *Triangle: A Two-Dimensional Quality Mesh Generator and Delaunay Triangulator*. <https://www.cs.cmu.edu/~quake/triangle.html>. Último acesso em 19/10/2016. 77
- [17] Terzopoulos, D.: *Multi-Level Reconstruction of Visual Surfaces: Variational Principles and Finite Element Representations*. Massachusetts Institute of Technology Artificial Intelligence Laboratory, 1982.
- [18] Zienkiewicz, O. C.: *Finite Element Method*. Butterworth-Heinemann, 2000. 72